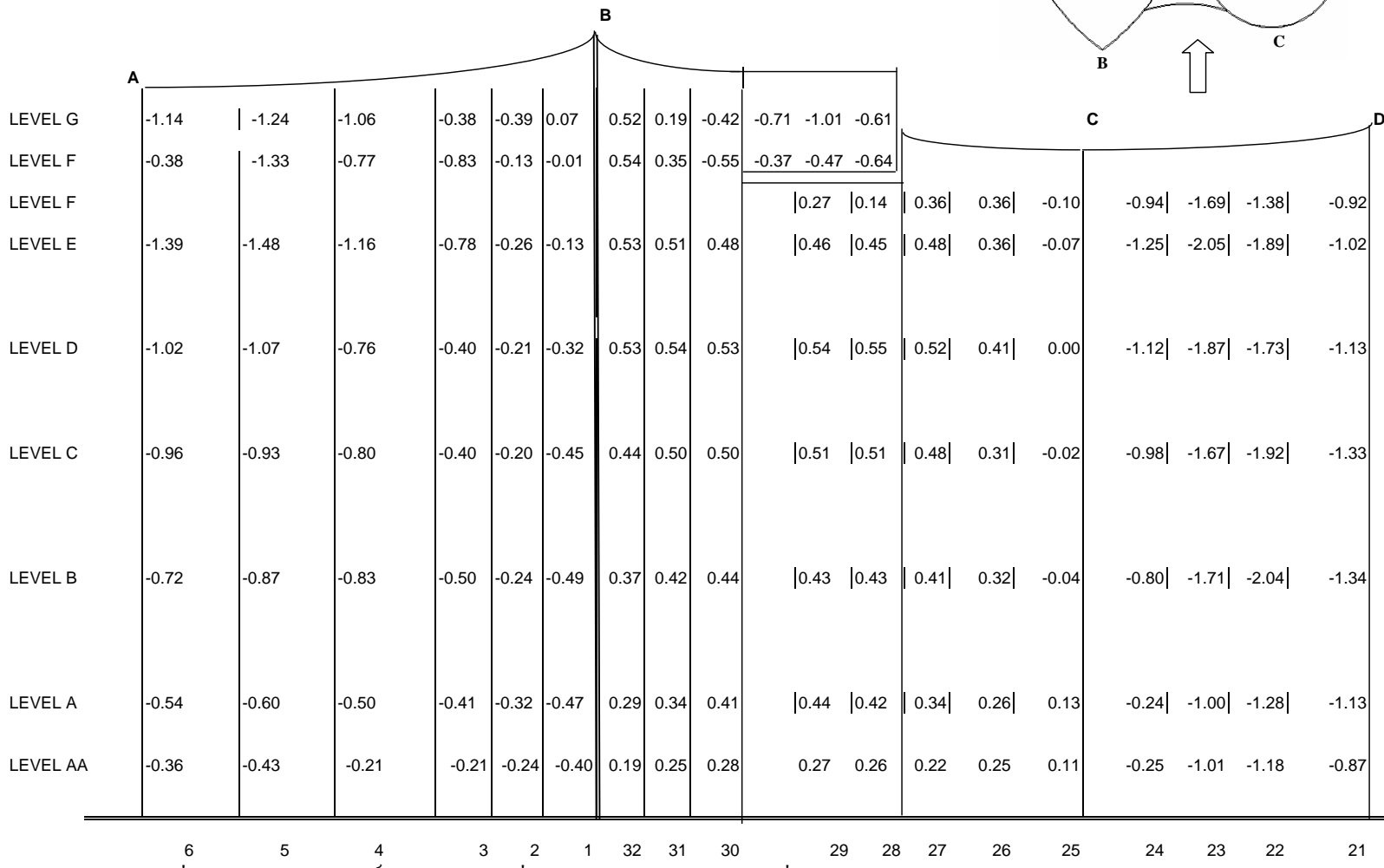
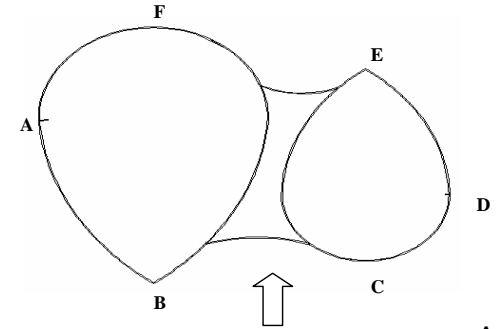


## ภาคผนวก ก

ตารางค่าสัมประสิทธิ์หน่วยแรงลมของอาคาร A ประกอบด้วย ค่าสัมประสิทธิ์หน่วยแรงลมเฉลี่ย, ค่าสัมประสิทธิ์ความดันลมแปรปรวน, ค่าสัมประสิทธิ์หน่วยแรงดันลมสูงสุด และค่าสัมประสิทธิ์หน่วยแรงดันลมสูงสุดในแต่ละทิศทางลม จำนวน 16 ทิศทาง รายละเอียดถูกเก็บไว้เป็นไฟล์ทางอิเล็กทรอนิกส์ไว้ในแผ่น CD-ROM ด้านท้ายเล่ม หรือจากรายงาน (Boonyapinyo et al. 2006)



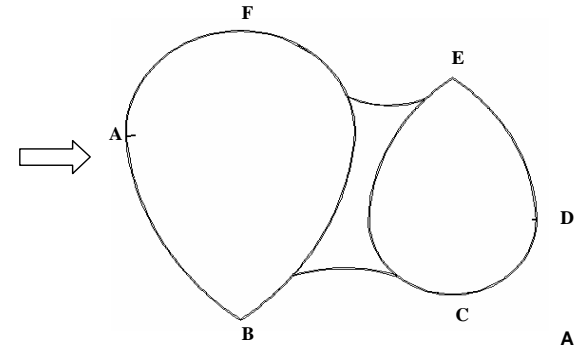
รูปที่ ก.1-1 ค่าสัมประสิทธิ์หน่วยแรงลมเฉลี่ย สำหรับอาคารด้านหน้า A เมื่อลมกระทำในทิศทาง 0 องศา



		E				F										A	
LEVEL G	70					-0.61											
LEVEL F	65					-0.64											
LEVEL F	62	-0.92	-0.55	-0.52	-0.48		-0.36	-0.38									
LEVEL E	58	-1.02	-0.62	-0.54	-0.47		-0.37	-0.34									
LEVEL D	48	-1.13	-0.52	-0.43	-0.42		-0.36	-0.37									
LEVEL C	38	-1.33	-0.64	-0.45	-0.40		-0.38	-0.39									
LEVEL B	25.4	-1.34	-0.80	-0.55	-0.40		-0.38	-0.40									
LEVEL A	12.7	-1.13	-0.84	-0.61	-0.38		-0.41	-0.41									
LEVEL AA	7.0	-0.87	-0.64	-0.52	-0.36		-0.36	-0.36									
		21	20	19	18	17	16	15	14	13	12	11	10	9	8	7	6

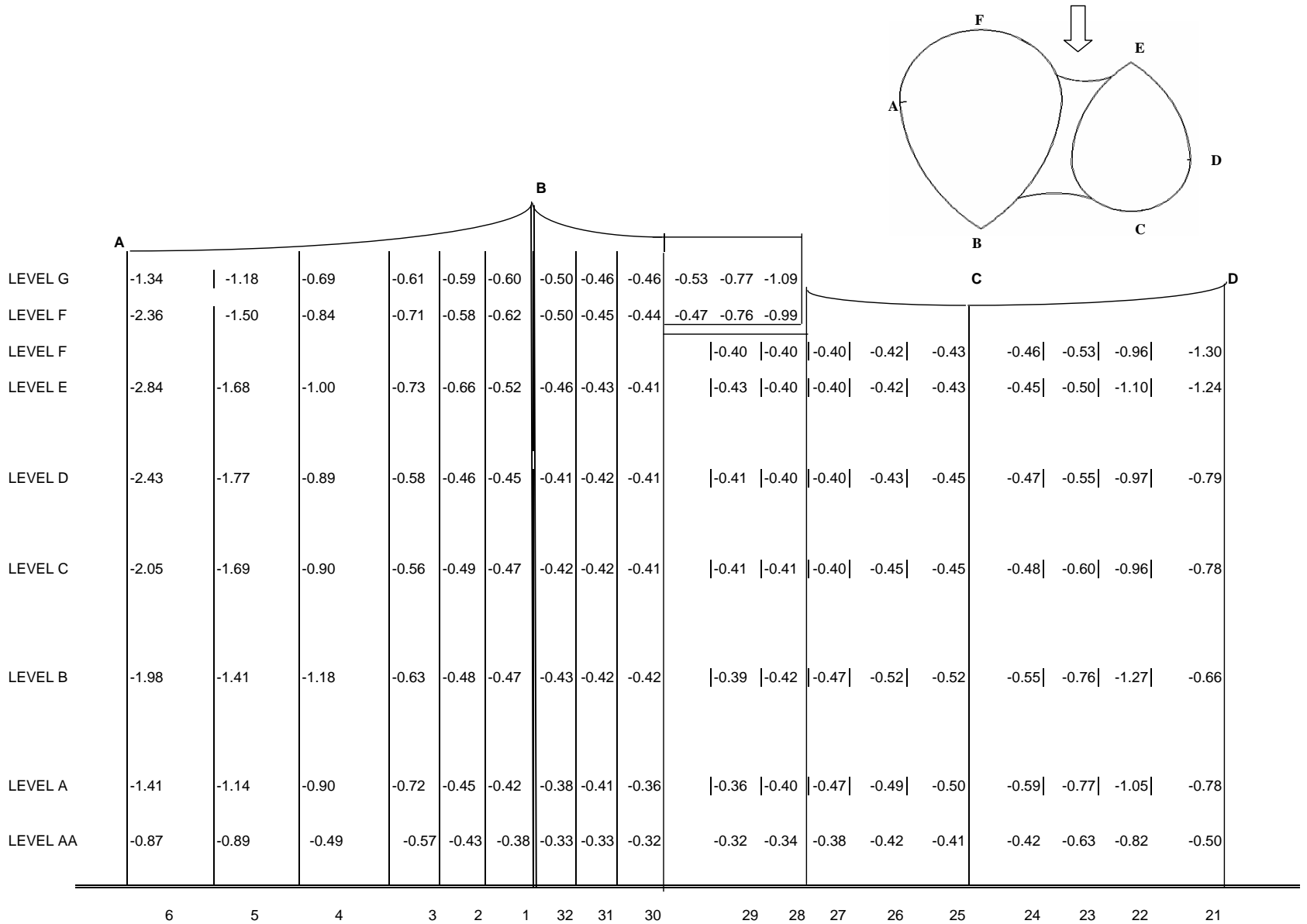
รูปที่ ก.1-2 ค่าสัมประสิทธิ์หน่วยแรงลมเฉลี่ย สำหรับอาคารด้านหลัง A เมื่อลมกระทำในทิศทางลม 0 องศา



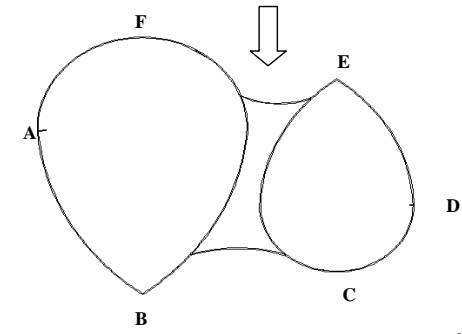


LEVEL G	70					E		-0.41		F							A
LEVEL F	65	D				-0.39		-0.45		-0.47	-0.55	-1.03	-1.64	-1.23	-0.42	0.38	
LEVEL F	62	-0.25	-0.22	-0.26	-0.30	-0.11	-0.28	-0.37	-0.47								
LEVEL E	58	-0.25	-0.25	-0.25	-0.26	-0.22	-0.29	-0.35	-0.40	-0.44	-0.41	-0.44	-1.01	-1.79	-1.47	-0.45	0.35
LEVEL D	48	-0.24	-0.24	-0.23	-0.25	-0.16	-0.22	-0.22	-0.41	-0.38	-0.35	-0.39	-1.03	-1.35	-1.14	-0.30	0.42
LEVEL C	38	-0.31	-0.31	-0.32	-0.31	-0.18	-0.23	-0.38	-0.39	-0.34	-0.33	-0.36	-1.01	-1.24	-0.95	-0.38	0.35
LEVEL B	25.4	-0.36	-0.35	-0.38	-0.40	-0.23	-0.19	-0.42	-0.46	-0.40	-0.35	-0.39	-0.88	-1.07	-1.12	-0.12	0.32
LEVEL A	12.7	-0.14	-0.29	-0.42	-0.42	0.11	0.12	-0.24	-0.44	-0.38	-0.33	-0.39	-0.89	-0.86	-0.77	-0.15	0.23
LEVEL AA	7.0	-0.10	-0.16	-0.21	-0.62	-0.04	0.01	-0.17	-0.20	-0.19	-0.25	-0.46	-0.01	-0.67	-0.46	-0.04	0.25
		21	20	19	18	17	16	15	14	13	12	11	10	9	8	7	6

รูปที่ ก.2-2 ค่าสัมประสิทธิ์หน่วยแรงลมเฉลี่ย สำหรับอาคารด้านหลัง A เมื่อลมกระทำในทิศทางลม 90 องศา

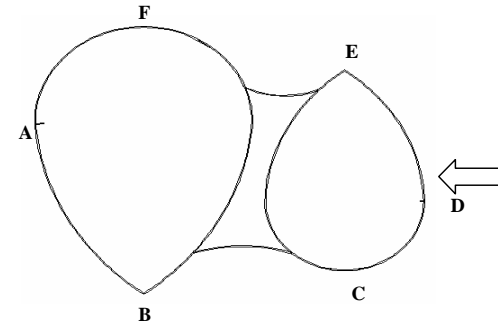


รูปที่ ก.3-1 ค่าสัมประสิทธิ์หน่วยแรงลมเฉลี่ย สำหรับอาคารด้านหน้า A เมื่อลมกระทำในทิศทาง 180 องศา



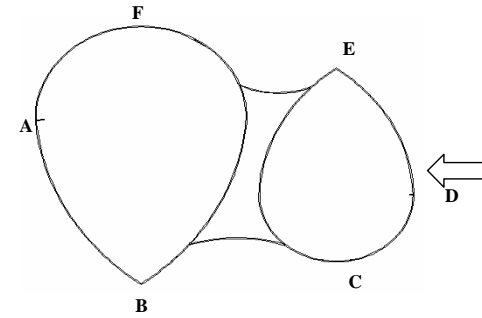
		E				F										A		
LEVEL G	70					-1.09												
LEVEL F	65					-0.99			0.06	0.22	0.45	0.55	0.10	-0.63	-2.03	-2.36		
LEVEL F	62	-1.30	-0.59	-0.31	-0.16	0.48	0.39	0.32	0.17									
LEVEL E	58	-1.24	-0.67	-0.31	-0.27	0.47	0.55	0.50	0.50	0.49	0.47	0.53	0.50	-0.11	-1.00	-2.28	-2.84	
LEVEL D	48	-0.79	-0.29	-0.10	-0.31	0.49	0.56	0.56	0.57	0.55	0.52	0.55	0.45	-0.01	-1.04	-2.11	-2.43	
LEVEL C	38	-0.78	-0.28	-0.05	-0.33	0.45	0.53	0.52	0.51	0.51	0.48	0.47	0.36	-0.13	-1.18	-2.04	-2.05	
LEVEL B	25.4	-0.66	-0.22	-0.07	-0.28	0.30	0.42	0.38	0.40	0.38	0.38	0.36	0.23	-0.31	-0.91	-1.89	-1.98	
LEVEL A	12.7	-0.78	-0.46	-0.28	-0.51	0.11	0.21	0.08	0.13	0.13	0.10	0.02	-0.23	-0.61	-1.09	-1.30	-1.41	
LEVEL AA	7.0	-0.50	-0.21	-0.17	-0.28	0.15	0.36	0.40	0.39	0.32	0.37	-0.05	0.00	-0.42	-0.51	-0.78	-0.87	
		21	20	19	18	17	16	15	14	13	12	11	10	9	8	7		6

รูปที่ ก.3-2 ค่าสัมประสิทธิ์หน่วยแรงลมเฉลี่ย สำหรับอาคารด้านหลัง A เมื่อลมกระทำในทิศทางลม 180 องศา



	A										C										D			
LEVEL G	-0.34	-0.30	-0.26	-0.27	-0.28	-0.26	-0.34	0.00	0.34	0.52	0.00	0.17	0.45	0.41	-0.12	-0.10	-0.13	-0.15	-0.33	-0.93	-0.82	-0.24	0.44	0.59
LEVEL F	-0.32	-0.32	-0.28	-0.28	-0.27	-0.27	-0.28	0.03	0.22	0.11	-0.09	-0.13	-0.29	-0.77	-1.08	-0.50	0.31	0.59						
LEVEL F										-0.14	-0.26	-0.10	-0.21	-0.55	-0.61	-0.53	-0.06	0.50						
LEVEL E	-0.35	-0.32	-0.30	-0.30	-0.28	-0.27	-0.09	0.19	0.19	-0.25	-0.28	-0.13	-0.17	-0.36	-0.59	-0.61	-0.32	0.34						
LEVEL D	-0.36	-0.36	-0.33	-0.33	-0.31	-0.30	-0.10	0.16	0.07	-0.16	-0.21	-0.18	-0.17	-0.29	-0.39	-0.55	-0.49	0.16						
LEVEL C	-0.39	-0.40	-0.37	-0.36	-0.36	-0.34	-0.14	0.01	-0.13	-0.04	-0.07	-0.13	-0.13	-0.14	-0.17	-0.20	-0.24	-0.18						
LEVEL B	-0.30	-0.33	-0.39	-0.40	-0.41	-0.44	-0.15	-0.09	-0.12	-0.06	-0.07	-0.08	-0.10	-0.12	-0.13	-0.13	-0.14	-0.16						
LEVEL A	-0.21	-0.26	-0.34	-0.37	-0.40	-0.43	-0.13	-0.12	-0.05															
LEVEL AA	-0.22	-0.26	-0.16	-0.22	-0.23	-0.41	-0.10	-0.06	-0.06															
	6	5	4	3	2	1	32	31	30	29	28	27	26	25	24	23	22	21						

รูปที่ ก.4-1 ค่าสัมประสิทธิ์หน่วยแรงลมเฉลี่ย สำหรับอาคารด้านหน้า A เมื่อลมกระทำในทิศทาง 270 องศา

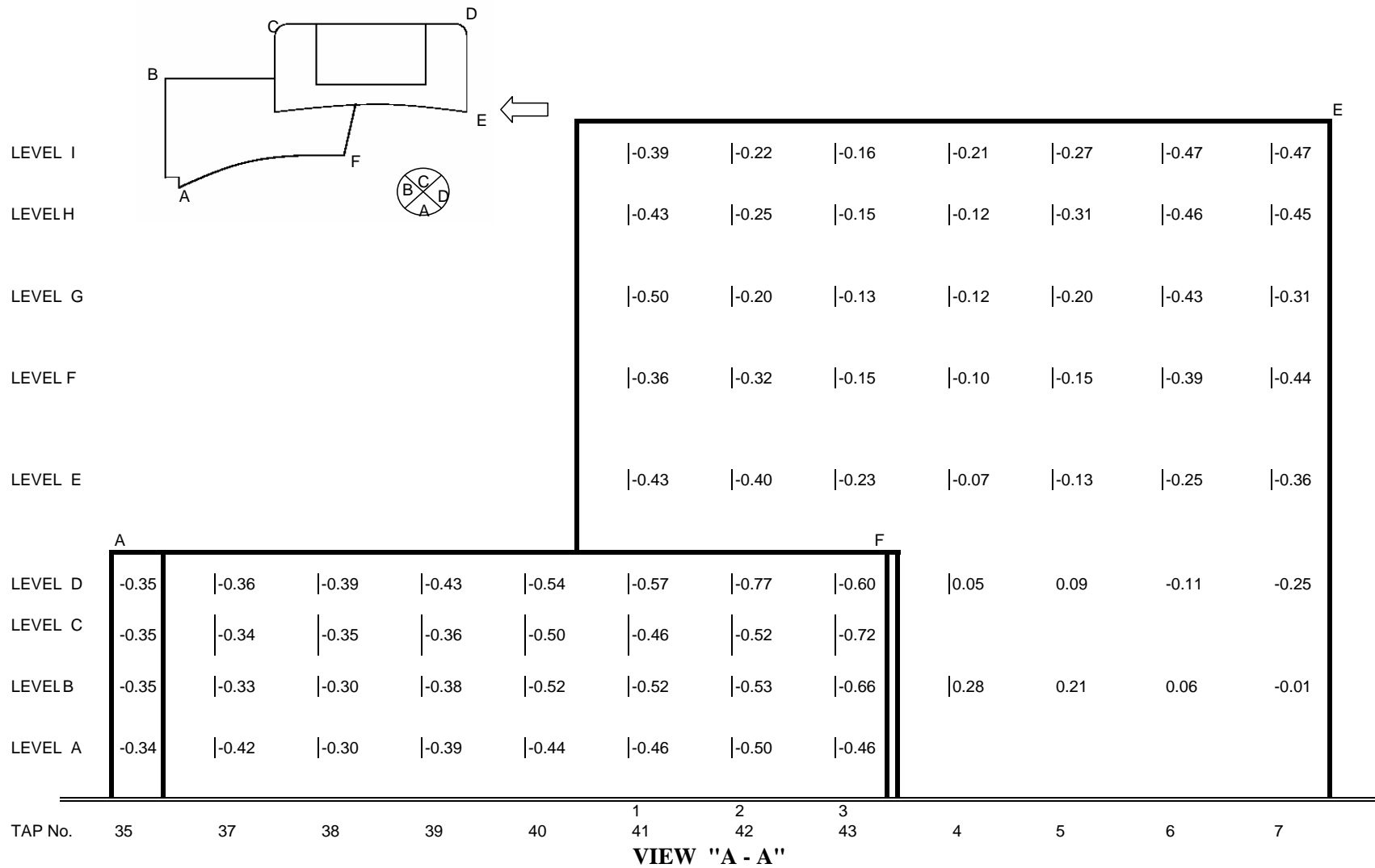


	E				F											A		
	D																	
LEVEL G	70						0.17											
LEVEL F	65						-0.12											
LEVEL F	62	0.59	0.34	0.07	-0.19	-0.56	-0.55	-0.48	-0.48									
LEVEL E	58	0.59	0.30	0.10	-0.27	-0.49	-0.49	-0.49	-0.45	-0.43	-0.27	-0.52	-0.81	-0.66	-0.39	-0.37	-0.35	-0.35
LEVEL D	48	0.50	0.38	0.26	-0.01	-0.43	-0.44	-0.44	-0.47	-0.50	-0.46	-0.45	-0.57	-0.54	-0.41	-0.36	-0.36	-0.36
LEVEL C	38	0.34	0.37	0.25	-0.05	-0.38	-0.43	-0.55	-0.58	-0.52	-0.47	-0.42	-0.57	-0.62	-0.47	-0.40	-0.39	-0.39
LEVEL B	25.4	0.16	0.18	0.09	-0.05	-0.41	-0.41	-0.68	-0.72	-0.51	-0.15	-0.20	-0.47	-0.68	-0.52	-0.38	-0.30	-0.30
LEVEL A	12.7	-0.18	-0.16	-0.16	-0.18	-0.67	-0.27	-0.20	-0.13	-0.09	-0.09	-0.15	-0.26	-0.27	-0.23	-0.19	-0.21	-0.21
LEVEL AA	7.0	-0.16	-0.14	-0.17	-0.14	-0.16	-0.14	-0.14	-0.12	-0.11	-0.08	-0.12	-0.01	-0.13	-0.11	-0.13	-0.22	-0.22
		21	20	19	18	17	16	15	14	13	12	11	10	9	8	7	6	

รูปที่ ก.4-2 ค่าสัมประสิทธิ์หน่วยแรงลมเฉลี่ย สำหรับอาคารด้านหลัง A เมื่อลมกระทำในทิศทางลม 270 องศา

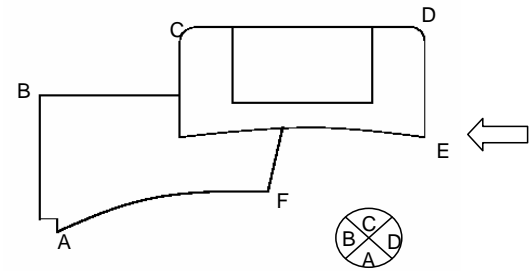
## ภาคผนวก ข

ตารางค่าสัมประสิทธิ์หน่วยแรงลมของอาคาร B กับอาคาร C ประกอบด้วย ค่าสัมประสิทธิ์หน่วยแรงลมเฉลี่ย, ค่าสัมประสิทธิ์ความดันลมแปรปรวน, ค่าสัมประสิทธิ์หน่วยแรงดันลมสูงสุด และค่าสัมประสิทธิ์หน่วยแรงดันลมสูงสุด ในแต่ละทิศทางลม จำนวน 16 ทิศทาง รายละเอียดถูกเก็บไว้เป็นไฟล์ทางอิเล็กทรอนิกส์ไว้ในแผ่น CD-ROM ด้านท้ายเล่ม หรือจากรายงาน (Boonyapinyo et al. 2006)



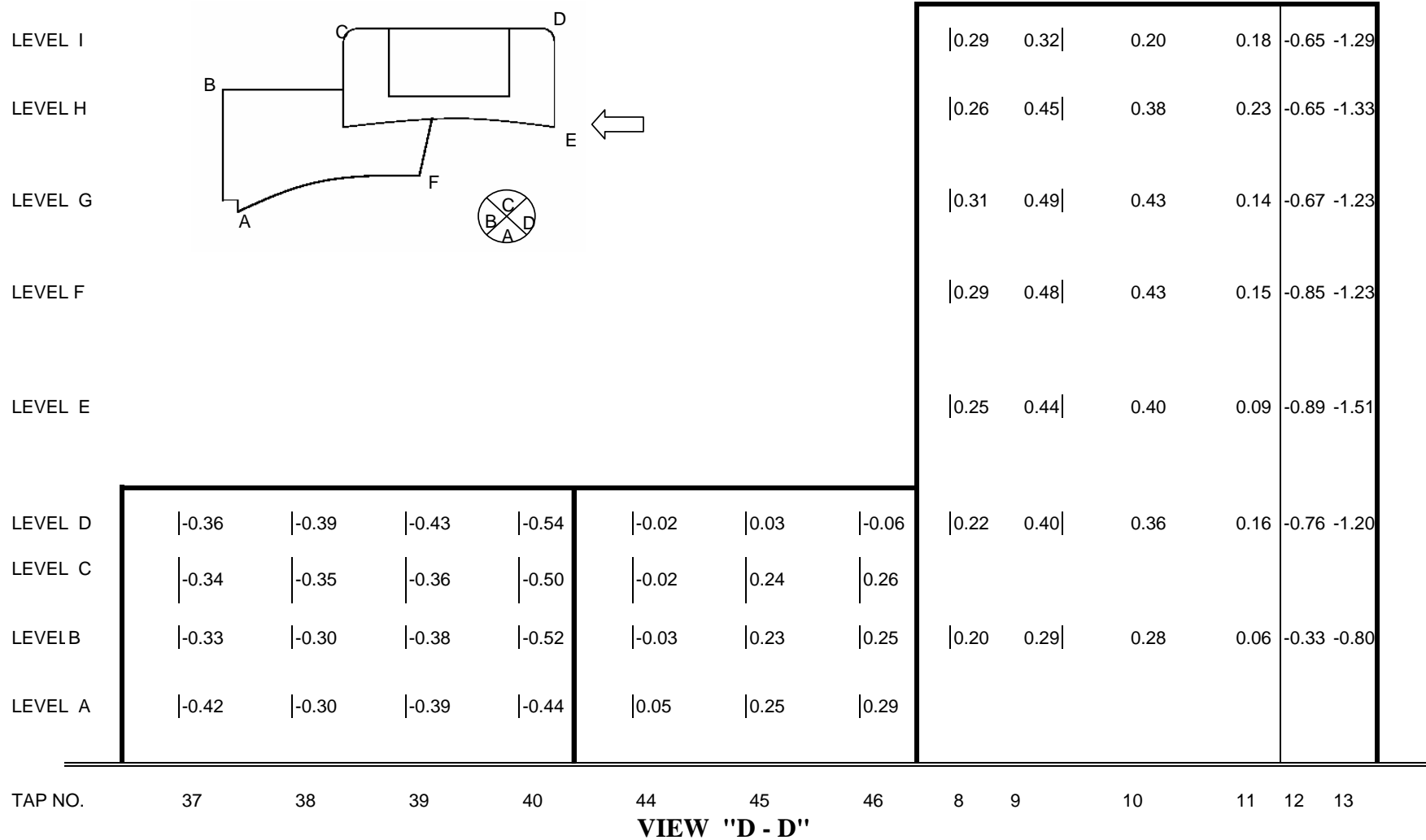
รูปที่ ข.1-1 ค่าสัมประสิทธิ์หน่วยแรงลมเฉลี่ย สำหรับมุมมองด้าน A-A ของอาคาร กับอาคาร C (ทิศทางลม 0 องศา)

	E								C					
LEVEL I	-0.65	-1.29	-0.77	-0.54	-0.38	-0.38	-0.46	-0.70	-0.50					
LEVEL H	-0.65	-1.33	-1.06	-0.47	-0.39	-0.43	-0.48	-0.69	-0.46					
LEVEL G	-0.67	-1.23	-1.11	-0.63	-0.42	-0.40	-0.47	-0.71	-0.46					
LEVEL F	-0.85	-1.23	-1.10	-0.64	-0.46	-0.43	-0.54	-0.64	-0.42					
LEVEL E	-0.89	-1.51	-1.09	-0.58	-0.41	-0.39	-0.56	-0.60	-0.41					
LEVEL D	-0.76	-1.20	-0.93	-0.53	-0.44	-0.39	-0.59	-0.65	-0.40	-0.38	-0.45	-0.45	-0.32	-0.27
LEVEL C										-0.34	-0.47	-0.48	-0.23	-0.26
LEVEL B	-0.33	-0.80	-0.56	-0.42	-0.47	-0.38	-0.45	-0.57	-0.37	-0.34	-0.44	-0.43	-0.22	-0.28
LEVEL A										-0.28	-0.41	-0.39	-0.16	-0.29
Tap No.	12	13	14	15	16	17	18	19	20	25	26	27	28	29

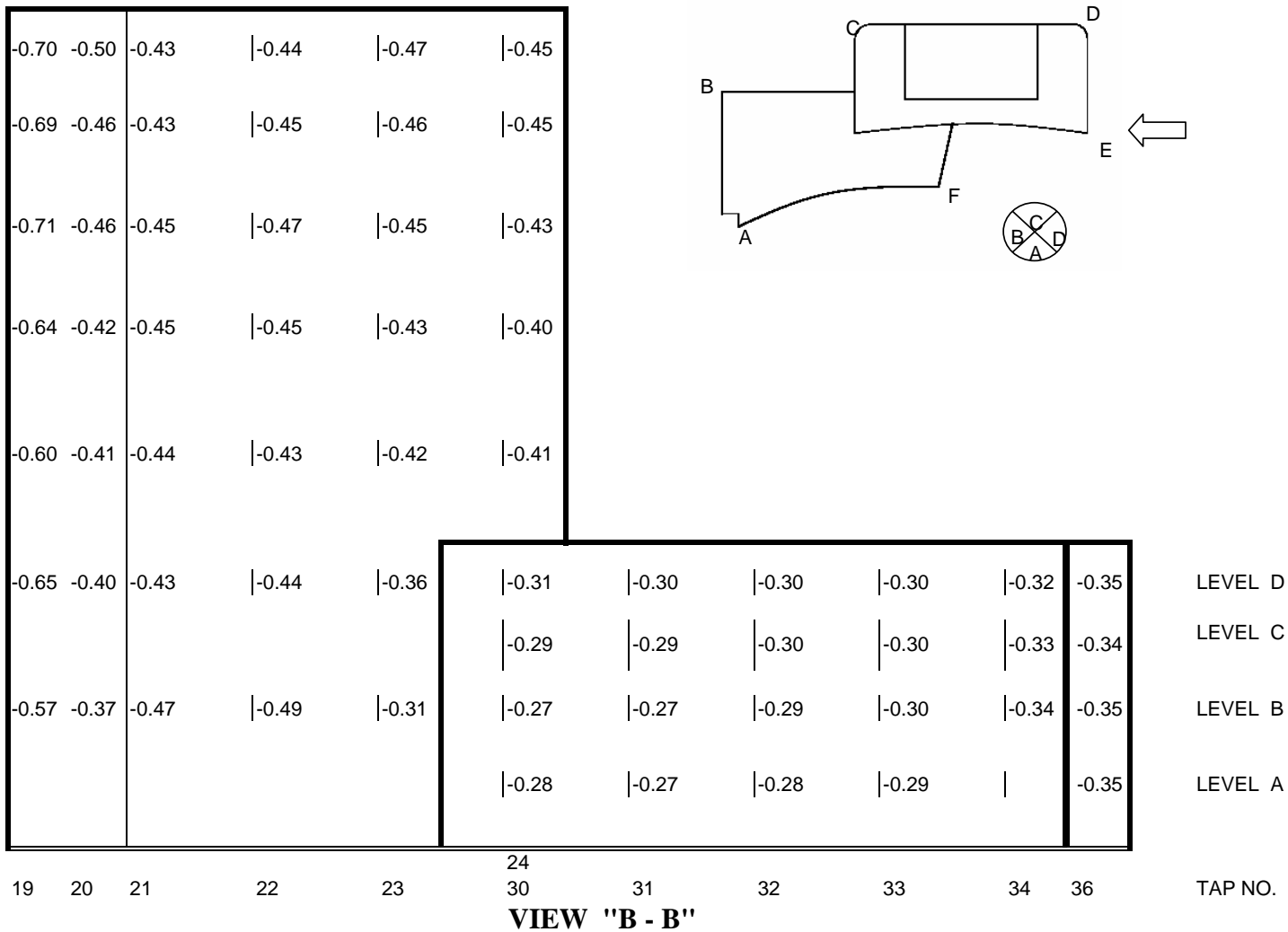


VIEW "C - C"

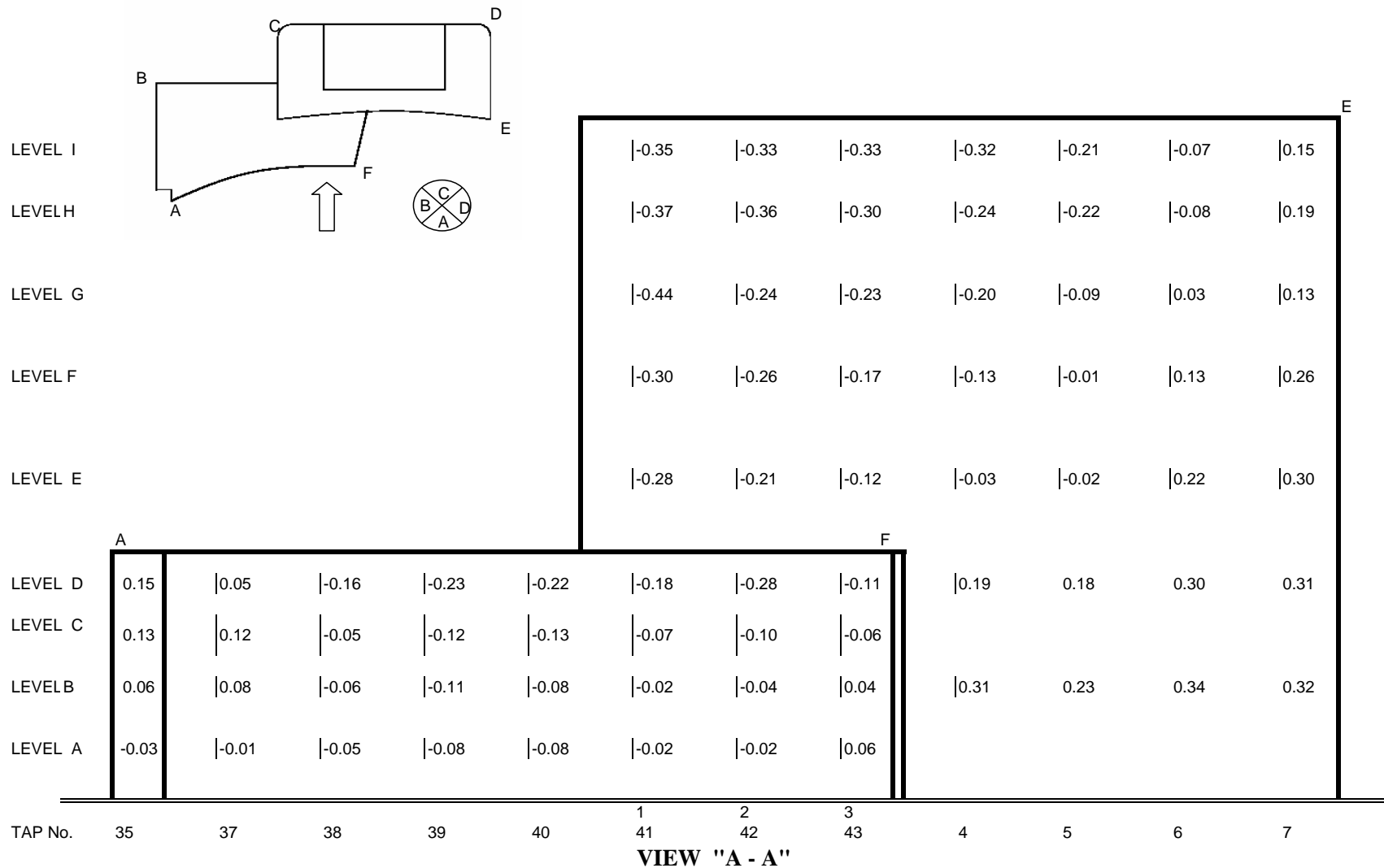
รูปที่ ข.1-2 ค่าสัมประสิทธิ์หน่วยแรงลมเฉลี่ย สำหรับมุมมองด้าน C-C ของอาคาร กับอาคาร C (ทิศทางลม 0 องศา)



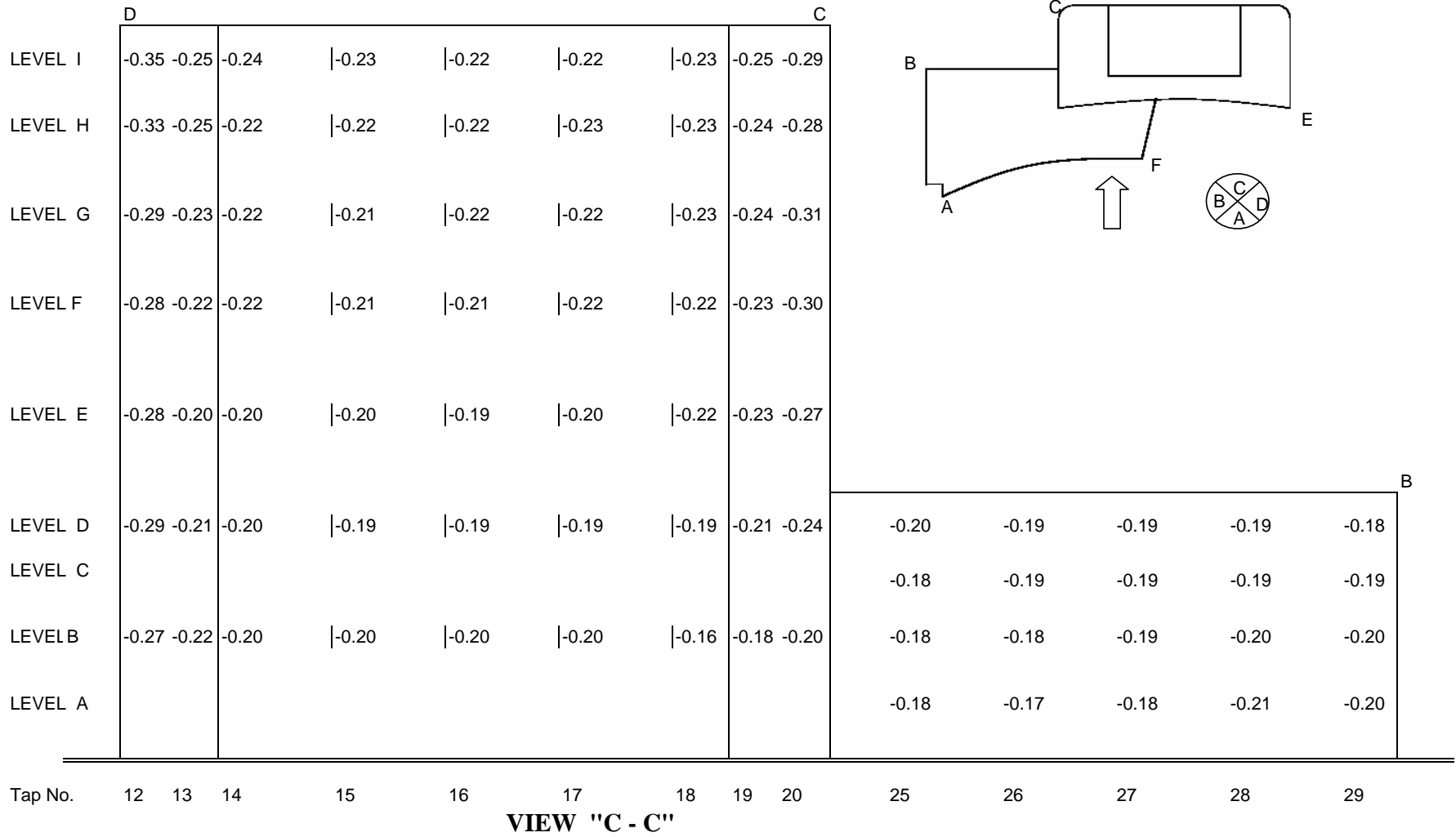
รูปที่ ข.1-3 ค่าสัมประสิทธิ์หน่วยแรงลมเฉลี่ย สำหรับมุมมองด้าน D-D ของอาคาร กับอาคาร C (ทิศทางลม 0 องศา)



รูปที่ ข.1-4 ค่าสัมประสิทธิ์หน่วยแรงลมเฉลี่ย สำหรับมุมมองด้าน B-B ของอาคาร กับอาคาร C (ทิศทางลม 0 องศา)

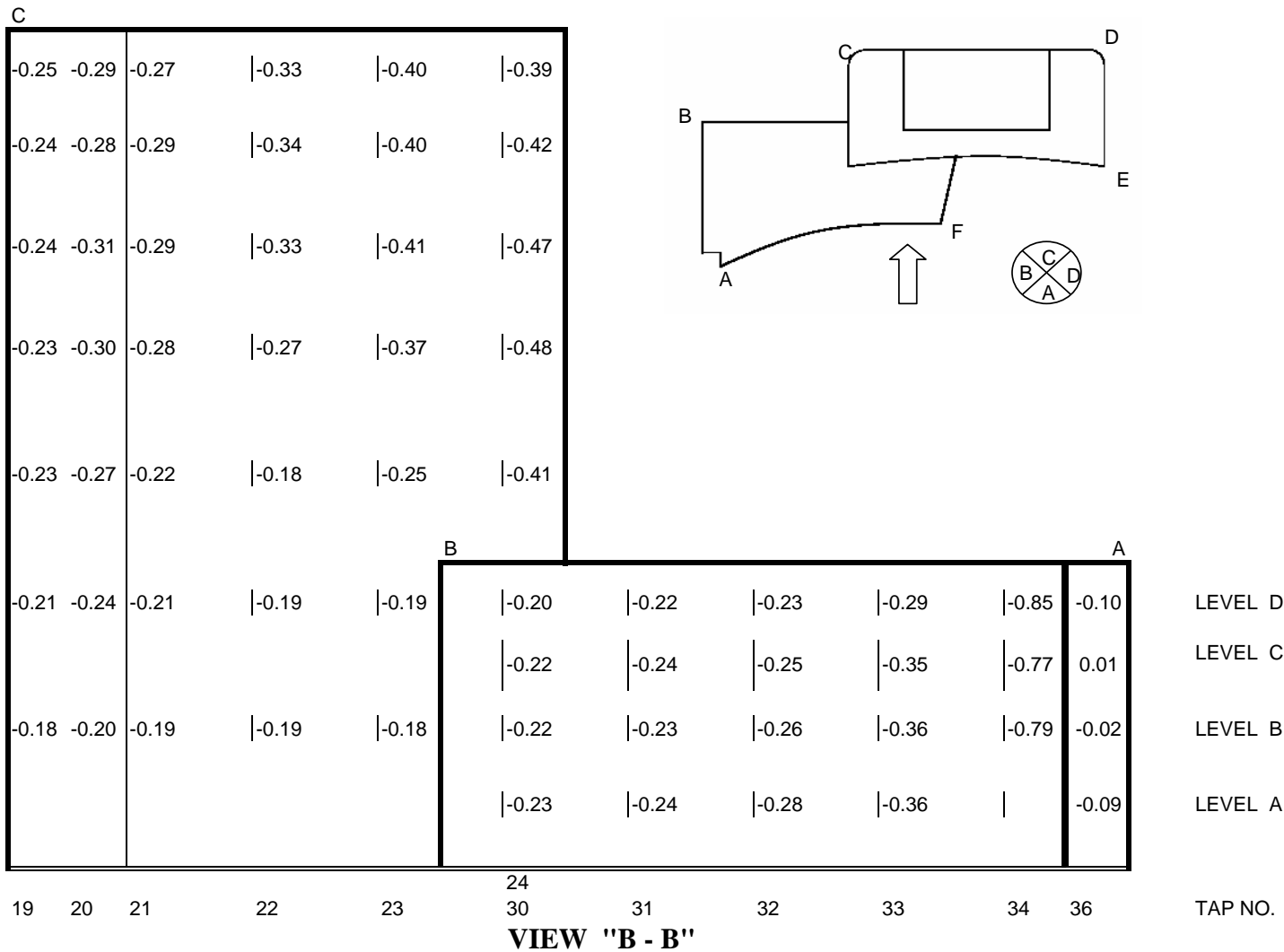


รูปที่ ข.2-1 ค่าสัมประสิทธิ์หน่วยแรงลมเฉลี่ย สำหรับมุมมองด้าน A-A ของอาคาร B กับอาคาร C (ทิศทางลม 90 องศา)

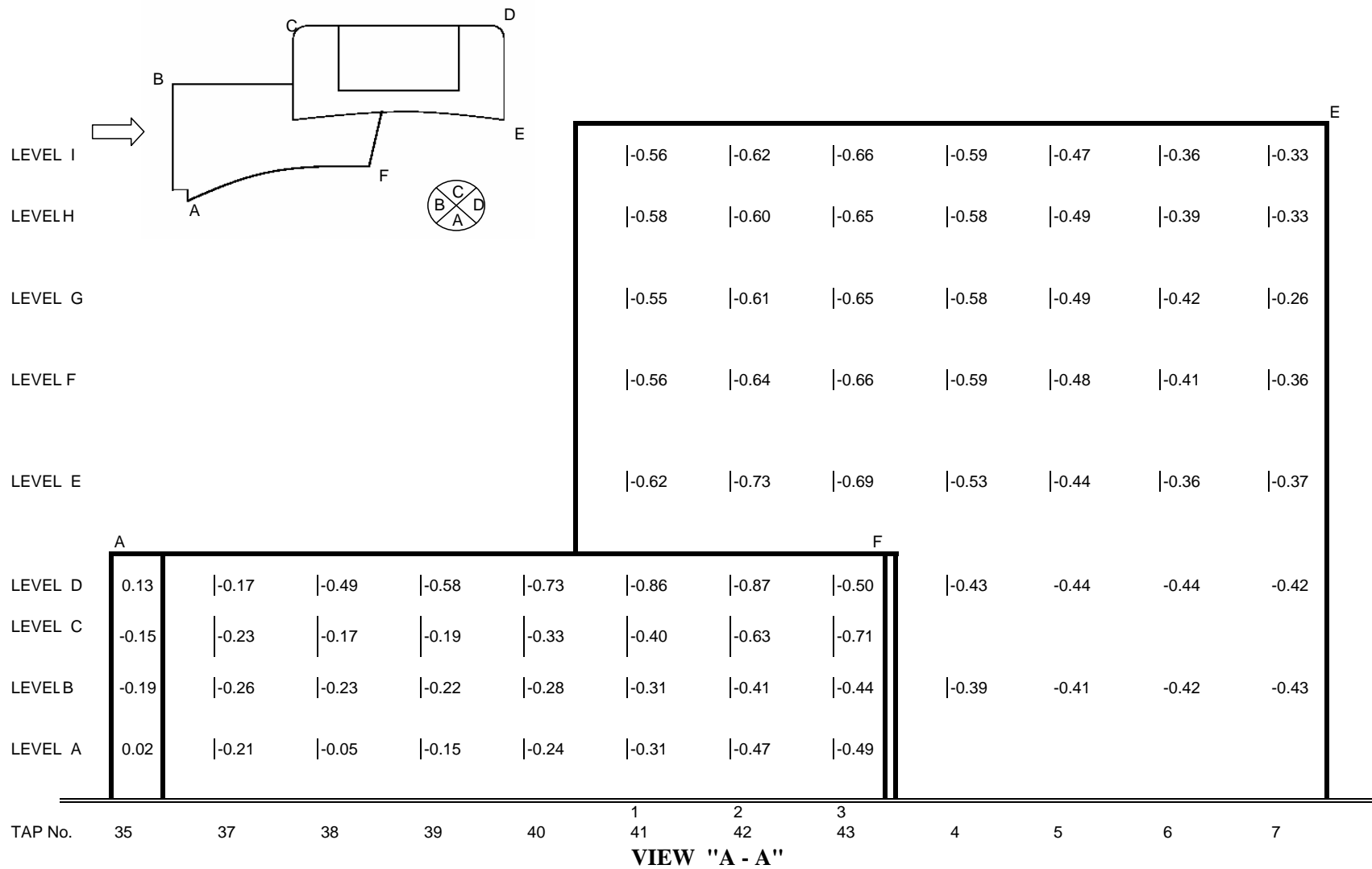


รูปที่ ข.2-2 ค่าสัมประสิทธิ์หน่วยแรงลมเฉลี่ย สำหรับมุมมองด้าน C-C ของอาคาร B กับอาคาร C (ทิศทางลม 90 องศา)

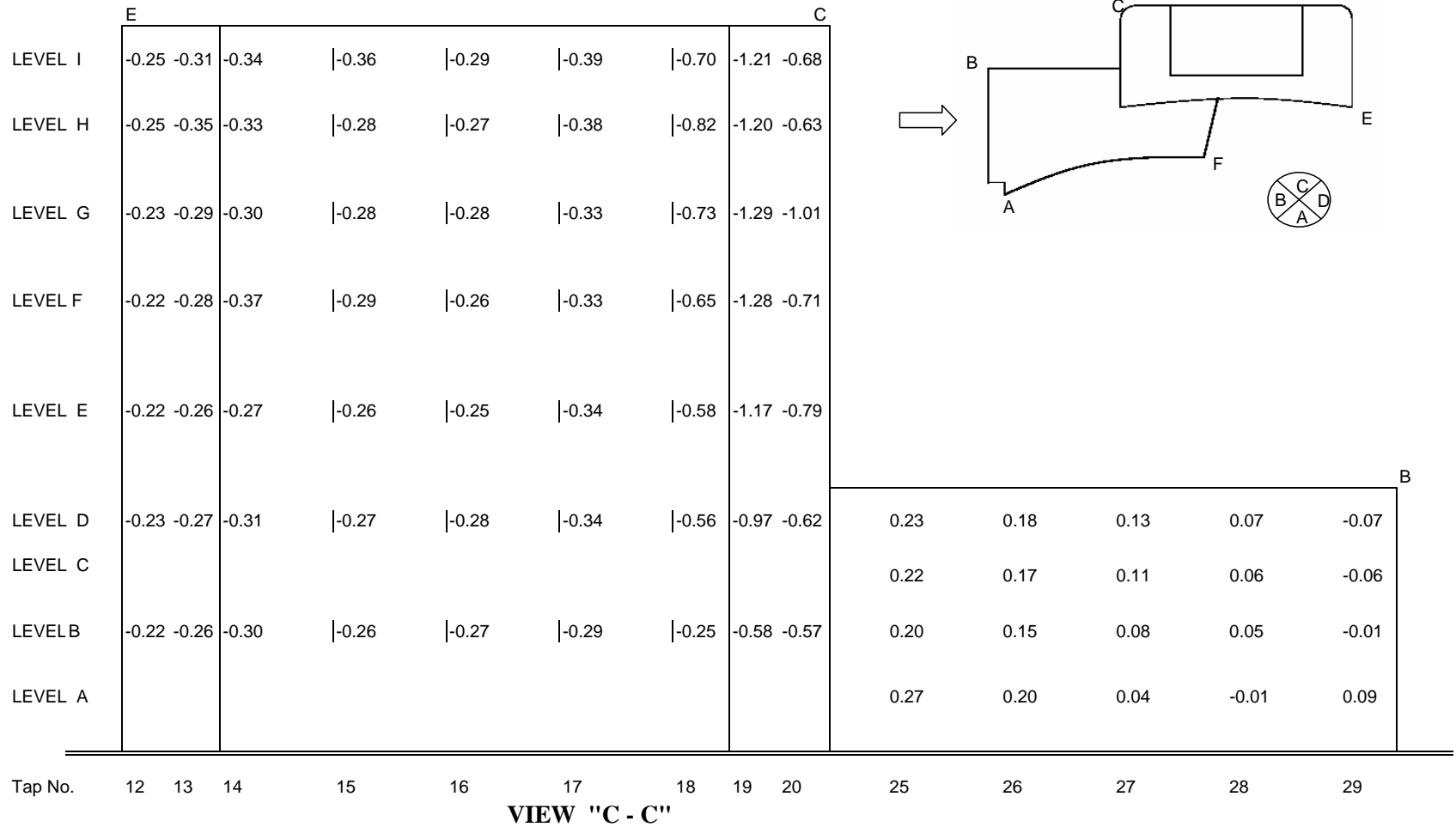




รูปที่ ข.2-4 ค่าสัมประสิทธิ์หน่วยแรงลมเฉลี่ย สำหรับมุมมองด้าน B-B ของอาคาร B กับอาคาร C (ทิศทางลม 90 องศา)



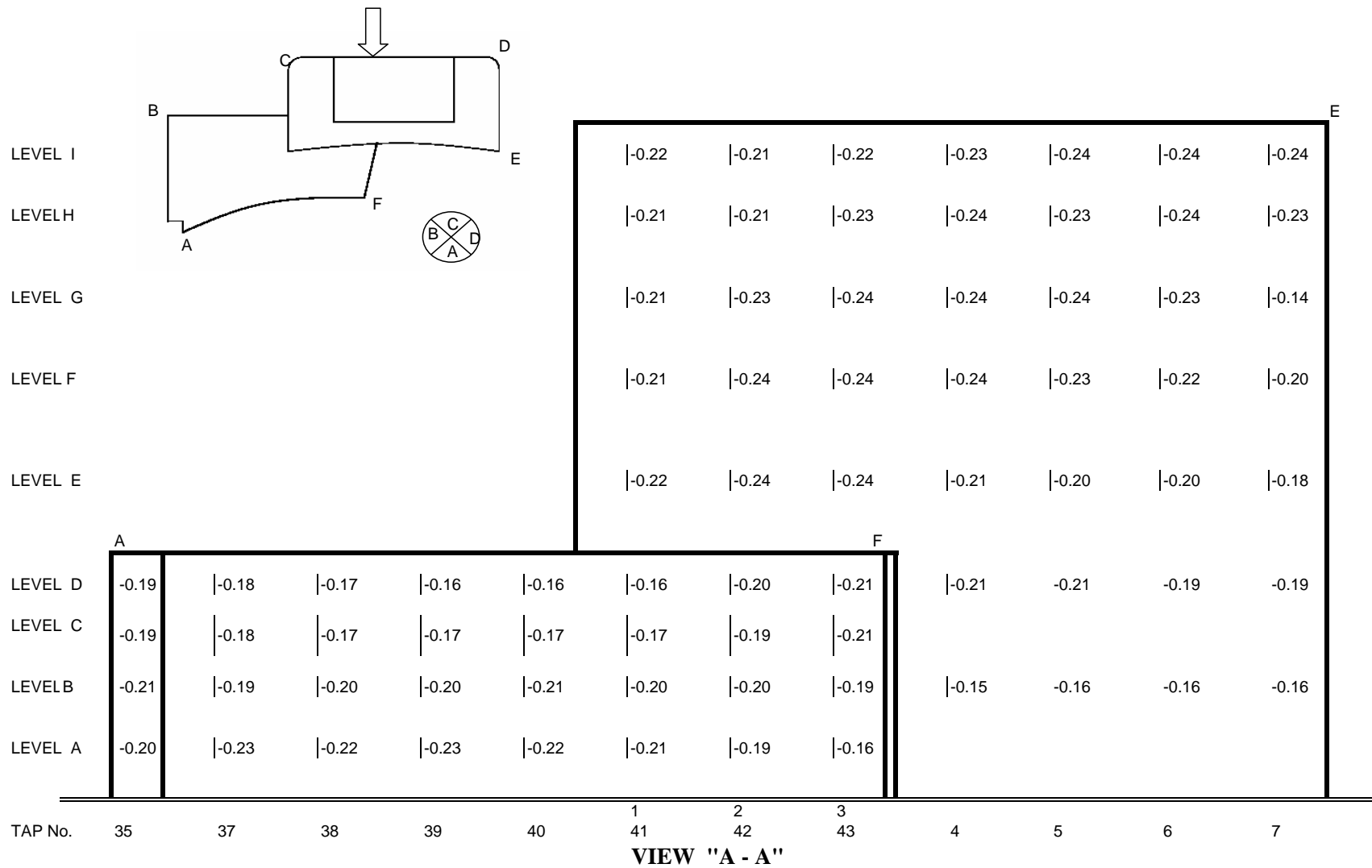
รูปที่ ข.3-1 ค่าสัมประสิทธิ์หน่วยแรงลมเฉลี่ย สำหรับมุมมองด้าน A-A ของอาคาร B กับอาคาร C (ทิศทางลม 180 องศา)



รูปที่ ข.3-2 ค่าสัมประสิทธิ์หน่วยแรงลมเฉลี่ย สำหรับมุมมองด้าน C-C ของอาคาร B กับอาคาร C (ทิศทางลม 180 องศา)



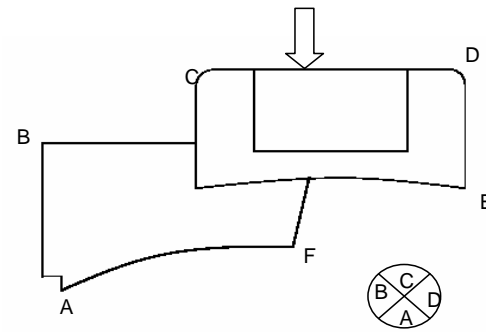




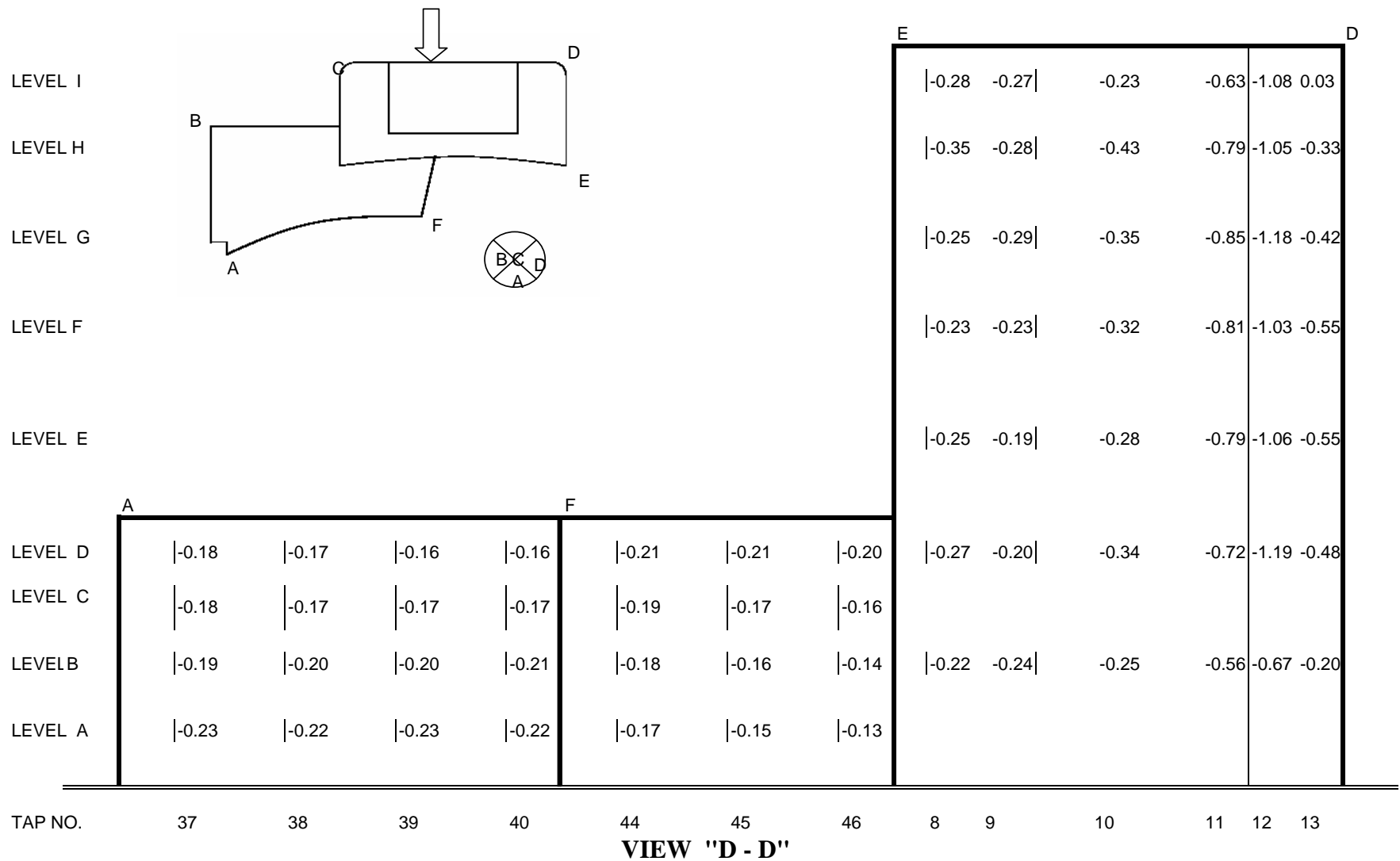
รูปที่ ข.4-1 ค่าสัมประสิทธิ์หน่วยแรงลมเฉลี่ย สำหรับมุมมองด้าน A-A ของอาคาร B กับอาคาร C (ทิศทางลม 270 องศา)

	E								C					
LEVEL I	-1.08	0.03	0.33	0.36	0.39	0.39	0.32	-0.09	-1.14					
LEVEL H	-1.05	-0.33	0.36	0.48	0.45	0.43	0.33	-0.10	-1.00					
LEVEL G	-1.18	-0.42	0.34	0.48	0.48	0.46	0.37	-0.25	-1.24					
LEVEL F	-1.03	-0.55	0.27	0.44	0.45	0.44	0.30	-0.14	-1.09					
LEVEL E	-1.06	-0.55	0.29	0.42	0.41	0.39	0.25	0.03	-0.80					
LEVEL D	-1.19	-0.48	0.18	0.30	0.32	0.31	0.14	-0.08	-0.51	0.14	0.18	0.08	-0.03	-0.14
LEVEL C										0.22	0.23	0.15	0.06	-0.10
LEVEL B	-0.67	-0.20	0.11	0.15	0.17	0.17	0.14	0.02	-0.10	0.18	0.20	0.16	0.05	-0.09
LEVEL A										0.17	0.19	0.15	0.07	-0.16
Tap No.	12	13	14	15	16	17	18	19	20	25	26	27	28	29

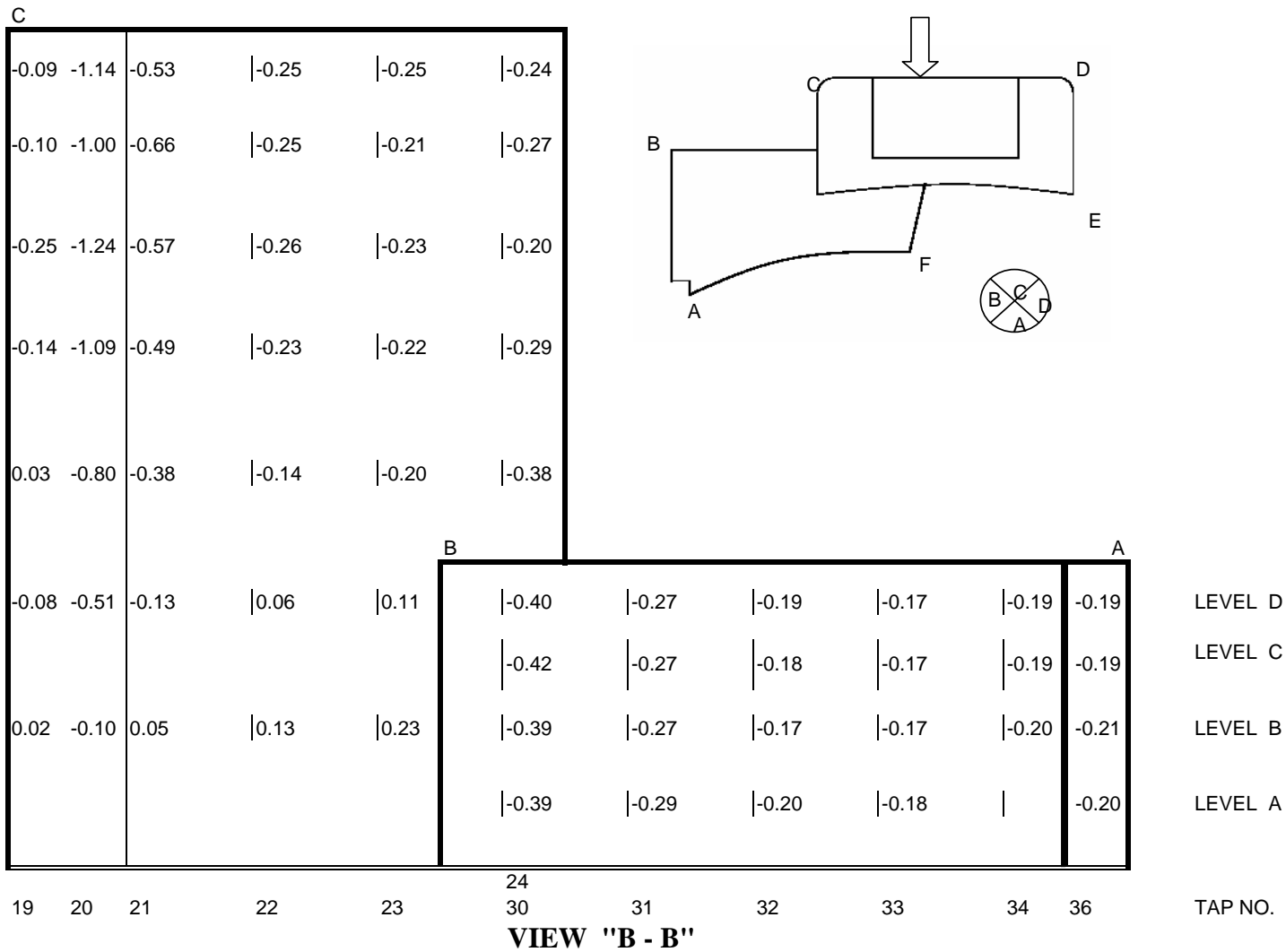
**VIEW "C - C"**



รูปที่ ข.4-2 ค่าสัมประสิทธิ์หน่วยแรงลมเฉลี่ย สำหรับมุมมองด้าน C-C ของอาคาร B กับอาคาร C (ทิศทางลม 270 องศา)



รูปที่ ข.4-3 ค่าสัมประสิทธิ์หน่วยแรงลมเฉลี่ย สำหรับมุมมองด้าน D-D ของอาคาร B กับอาคาร C (ทิศทางลม 270 องศา)



รูปที่ ข.4-4 ค่าสัมประสิทธิ์หน่วยแรงลมเฉลี่ย สำหรับมุมมองด้าน B-B ของอาคาร B กับอาคาร C (ทิศทางลม 270 องศา)

ภาคผนวก ก

ตารางค่าสัมประสิทธิ์หน่วยแรงดันสูงสุดเฉพาะจุด และค่าสัมประสิทธิ์หน่วยแรงคูดสูงสุด  
สูงสุดเฉพาะจุด ของอาคาร A

Tap A1 : ตำแหน่งที่ 1 ที่ระดับความสูง A

Extreme  $C_p$  max,  $C_p$  min

TAP	MAX	MIN
AA01	0.60	-2.32
AA02	0.60	-1.59
AA03	0.51	-1.05
AA04	0.55	-0.95
AA05	0.53	-1.56
AA06	0.61	-1.59
AA07	0.62	-1.39
AA08	0.54	-1.71
AA09	0.38	-1.24
AA10	0.13	-0.70
AA11	0.51	-1.11
AA12	0.66	-1.10
AA13	0.63	-1.19
AA14	0.72	-1.05
AA15	0.73	-1.04
AA16	0.67	-1.12
AA17	0.53	-1.94
AA18	0.36	-1.90
AA19	0.47	-1.11
AA20	0.43	-1.17
AA21	0.33	-1.76
AA22	0.33	-2.21
AA23	0.39	-1.76
AA24	0.38	-1.00
AA25	0.54	-0.95
AA26	0.69	-1.07
AA27	0.72	-0.90
AA28	0.71	-0.93
AA29	0.74	-0.96
AA30	0.76	-0.70
AA31	0.69	-1.63
AA32	0.70	-0.92
A01	0.59	-1.96
A02	0.59	-1.81
A03	0.54	-1.49
A04	0.42	-1.57
A05	0.50	-1.78
A06	0.59	-1.92
A07	0.71	-2.27
A08	0.52	-2.50
A09	0.46	-1.67
A10	0.26	-1.60
A11	0.54	-0.91
A12	0.40	-1.09
A13	0.49	-1.01
A14	0.47	-1.12
A15	0.48	-1.07
A16	0.70	-1.40
A17	0.61	-2.31
A18	0.36	-1.71

Extreme  $C_p$  max,  $C_p$  min

TAP	MAX	MIN
A19	0.27	-1.61
A20	0.28	-1.45
A21	0.32	-1.96
A22	0.30	-2.13
A23	0.40	-1.80
A24	0.48	-1.03
A25	0.73	-1.18
A26	0.70	-1.22
A27	0.73	-1.30
A28	0.82	-0.95
A29	0.84	-0.98
A30	0.86	-1.03
A31	0.73	-1.20
A32	0.78	-1.17
B01	0.80	-2.09
B02	0.83	-1.87
B03	0.84	-1.36
B04	0.79	-2.02
B05	0.77	-2.03
B06	0.80	-2.81
B07	0.72	-2.85
B08	0.82	-2.71
B09	0.77	-1.98
B10	0.74	-1.52
B11	0.80	-1.16
B12	0.83	-0.99
B13	0.75	-1.46
B14	0.77	-1.51
B15	0.78	-1.21
B16	0.84	-1.10
B17	0.78	-1.43
B18	0.87	-1.84
B19	0.79	-1.85
B20	0.69	-1.51
B21	0.62	-2.02
B22	0.09	-3.07
B23	0.05	-2.70
B24	0.04	-2.62
B25	0.83	-1.82
B26	0.88	-1.37
B27	0.83	-1.38
B28	0.85	-1.17
B29	0.89	-0.98
B30	0.86	-1.02
B31	0.86	-0.85
B32	0.80	-0.75
C01	0.94	-2.45
C02	0.90	-1.96
C03	0.87	-1.92
C04	0.93	-1.68

Extreme  $C_p$  max,  $C_p$  min

TAP	MAX	MIN
C05	0.89	-2.60
C06	0.84	-2.85
C07	0.90	-3.01
C08	0.90	-2.68
C09	0.90	-2.03
C10	0.93	-1.69
C11	0.87	-1.18
C12	0.90	-1.05
C13	0.89	-1.26
C14	0.92	-1.26
C15	0.97	-1.13
C16	1.05	-1.06
C17	0.94	-0.98
C18	0.97	-1.83
C19	0.94	-1.70
C20	0.88	-1.44
C21	0.78	-2.12
C22	0.00	-3.21
C23	0.07	-2.82
C24	0.15	-2.50
C25	1.07	-1.67
C26	0.99	-1.53
C27	0.97	-1.16
C28	0.98	-1.12
C29	0.91	-0.90
C30	0.92	-0.82
C31	0.93	-1.01
C32	0.91	-0.76
D01	0.96	-2.02
D02	0.99	-1.78
D03	0.95	-1.53
D04	1.00	-1.65
D05	0.95	-2.67
D06	0.90	-3.51
D07	0.92	-2.99
D08	0.92	-2.37
D09	0.93	-2.09
D10	0.92	-1.70
D11	0.89	-0.94
D12	0.94	-1.04
D13	1.00	-1.02
D14	1.00	-0.97
D15	1.02	-1.02
D16	0.95	-0.76
D17	0.98	-0.98
D18	0.91	-1.63
D19	0.98	-1.66
D20	0.95	-1.58
D21	0.89	-2.00
D22	0.41	-2.45

Extreme  $C_p$  max,  $C_p$  min

TAP	MAX	MIN
D23	0.57	-2.84
D24	0.54	-2.40
D25	1.01	-1.63
D26	0.98	-1.04
D27	0.95	-1.03
D28	0.99	-0.95
D29	0.93	-0.98
D30	1.02	-0.93
D31	0.97	-0.99
D32	1.04	-0.79
E01	0.96	-2.26
E02	0.95	-2.06
E03	0.96	-1.90
E04	1.08	-2.01
E05	0.99	-2.67
E06	0.87	-3.92
E07	0.94	-3.33
E08	0.98	-3.16
E09	1.02	-2.68
E10	0.99	-1.93
E11	0.88	-0.95
E12	0.96	-1.00
E13	0.97	-1.01
E14	0.93	-0.92
E15	0.92	-1.10
E16	0.94	-1.00
E17	0.89	-1.06
E18	0.89	-1.83
E19	0.85	-1.90
E20	1.04	-1.75
E21	0.96	-2.09
E22	0.75	-3.55
E23	0.96	-3.30
E24	0.90	-3.00
E25	1.01	-1.68
E26	0.96	-0.91
E27	0.90	-1.07
E28	0.91	-0.88
E29	0.97	-1.02
E30	0.97	-0.80
E31	0.95	-1.24
E32	1.00	-1.45
F01	1.06	-2.65
F02	0.98	-2.10
F03	1.04	-1.52
F04	1.01	-2.19
F05	0.96	-2.19
F06	0.89	-3.18
F07	0.89	-2.97
F08	0.97	-2.21

Extreme  $C_p$  max,  $C_p$  min

TAP	MAX	MIN
F09	1.03	-2.40
F10	0.94	-1.74
F11	0.91	-1.30
F12	0.88	-1.18
F13	0.91	-1.38
F14	0.77	-1.16
F15	0.70	-0.94
F16	0.88	-1.06
F17	0.92	-1.18
F18	0.87	-1.92
F19	0.77	-1.90
F20	0.88	-1.54
F21	0.94	-2.42
F22	0.84	-2.61
F23	1.03	-2.53
F24	0.97	-2.55
F25	0.86	-1.82
F26	0.79	-0.96
F27	0.80	-0.99
F28	0.85	-0.94
F29	0.95	-0.88
F30	1.09	-1.72
F31	0.94	-1.26
F32	0.97	-0.91
F33	0.89	-1.06
F34	0.86	-1.53
F35	0.37	-2.01
G01	0.92	-2.37
G02	0.97	-1.41
G03	0.90	-1.64
G04	0.92	-1.82
G05	0.88	-1.67
G06	0.74	-1.81
G30	1.01	-1.56
G31	0.93	-1.01
G32	0.96	-1.41
G33	1.01	-1.44
G34	0.99	-1.44
G35	0.80	-2.23
T01	0.29	-1.08
T02	0.32	-1.28
T03	0.28	-1.15
T04	0.22	-1.29
T05	0.19	-1.14
T06	0.13	-1.19
T07	0.18	-1.14
T08	0.23	-1.15
T09	0.19	-1.10
T10	0.01	-1.27
T11	-0.03	-1.06

Extreme  $C_p$  max,  $C_p$  min

TAP	MAX	MIN
T12	-0.03	-1.03
T13	0.07	-1.24
T14	0.02	-1.11
T15	-0.09	-1.20
T16	0.16	-0.93
T17	-0.11	-1.13
T18	-0.15	-1.22
T19	0.06	-1.06
T20	-0.02	-1.13
T21	-0.02	-1.08
T22	0.09	-1.21
T23	0.08	-1.50
T24	-0.11	-1.09
T25	-0.13	-1.15
T26	-0.21	-1.34
T27	-0.05	-1.60
T28	-0.13	-1.21
T29	0.05	-1.45
T30	0.05	-1.73
T31	-0.14	-1.39
T32	0.11	-1.24
T33	0.02	-1.31
T34	0.23	-1.20
T35	0.03	-1.81
T36	-0.03	-1.17
T37	-0.09	-1.27
T38	-0.04	-1.24
T39	0.86	-1.36
T40	0.90	-1.14
T41	0.14	-2.56
T42	0.98	-1.17
T43	0.10	-1.97
T44	0.94	-1.19
T45	0.06	-1.43
T46	0.25	-2.11
T47	0.53	-1.55
T48	0.01	-1.26
T49	0.59	-1.36
T50	0.58	-1.36
T51	0.51	-1.23
T52	0.59	-1.06
T53	-0.08	-1.15
T54	0.80	-1.14
T55	-0.13	-2.91
T56	1.03	-1.26
T57	0.29	-1.24
T58	-0.11	-1.27
T59	0.21	-1.32
T60	0.43	-1.51
T61	0.02	-1.73

Extreme  $C_p$  max,  $C_p$  min

---

TAP	MAX	MIN
T62	-0.07	-1.44
T63	0.70	-1.77
T64	0.56	-1.31
T65	0.98	-1.24
T66	0.86	-1.14
T67	1.07	-1.14
T68	0.95	-1.55
T69	1.18	-1.13
T70	0.85	-1.18
T71	0.83	-1.24

---

ภาคผนวก ง

ตารางค่าสัมประสิทธิ์หน่วยแรงดันสูงสุดเฉพาะจุด และค่าสัมประสิทธิ์หน่วยแรงคูดสูงสุด  
สูงสุดเฉพาะจุด ของอาคาร B กับอาคาร C

Tap A1 : ตำแหน่งที่ 1 ที่ระดับความสูง A

Extreme  $C_p$  max,  $C_p$  min

TAP	MAX	MIN
A25	0.78	-0.47
A26	0.61	-0.55
A27	0.67	-0.53
A28	0.41	-0.82
A29	0.47	-0.73
A30	0.56	-1.05
A31	0.33	-0.64
A32	0.37	-0.59
A33	0.39	-0.78
A35	0.45	-1.04
A36	0.43	-1.19
A37	0.62	-0.75
A38	0.48	-0.61
A39	0.47	-0.77
A40	0.39	-1.01
A41	0.33	-1.03
A42	0.28	-1.25
A43	0.36	-1.34
A44	0.67	-0.63
A45	0.83	-0.81
A46	0.97	-0.58
B04	0.84	-0.70
B05	0.78	-0.97
B06	0.90	-1.53
B07	0.79	-0.96
B08	0.59	-1.44
B09	0.75	-1.33
B10	0.69	-1.07
B11	0.66	-1.24
B12	0.61	-1.74
B13	0.57	-1.97
B14	0.74	-1.28
B15	0.47	-0.81
B16	0.35	-0.73
B17	0.37	-0.64
B18	0.41	-0.67
B19	0.38	-1.08
B20	0.41	-1.32
B21	0.48	-1.13
B22	0.65	-0.84
B23	0.68	-0.47
B25	0.66	-0.49
B26	0.68	-0.60
B27	0.54	-0.76
B28	0.44	-0.59
B29	0.39	-0.55
B30	0.59	-0.76
B31	0.32	-0.66
B32	0.39	-0.58

Extreme  $C_p$  max,  $C_p$  min

TAP	MAX	MIN
B33	0.28	-0.67
B34	0.26	-1.41
B35	0.48	-1.29
B36	0.43	-1.45
B37	0.57	-0.77
B38	0.45	-0.71
B39	0.48	-1.00
B40	0.33	-1.02
B41	0.35	-1.11
B42	0.33	-1.02
B43	0.46	-1.55
B44	0.79	-0.65
B45	0.72	-0.68
B46	1.01	-0.60
C25	0.77	-0.49
C26	0.65	-0.82
C27	0.54	-0.72
C28	0.53	-0.55
C29	0.67	-0.61
C30	0.66	-0.80
C31	0.43	-0.81
C32	0.47	-0.73
C33	0.44	-0.64
C34	0.33	-1.34
C35	0.64	-1.01
C36	0.43	-1.15
C37	0.48	-1.12
C38	0.36	-0.77
C39	0.29	-1.07
C40	0.28	-1.52
C41	0.30	-1.34
C42	0.32	-1.70
C43	0.37	-1.52
C44	0.80	-0.76
C45	0.76	-0.72
C46	0.93	-0.71
D04	0.81	-0.96
D05	0.86	-1.29
D06	0.87	-1.81
D07	0.80	-1.45
D08	0.79	-2.03
D09	0.89	-1.25
D10	0.93	-1.59
D11	0.84	-1.67
D12	0.82	-3.03
D13	0.76	-2.73
D14	0.77	-1.80
D15	0.67	-1.08
D16	0.71	-1.01
D17	0.70	-1.14

Extreme  $C_p$  max,  $C_p$  min

TAP	MAX	MIN
D18	0.70	-1.13
D19	0.62	-1.91
D20	0.74	-1.72
D21	0.66	-1.20
D22	0.70	-0.77
D23	0.84	-0.53
D25	0.86	-0.54
D26	0.76	-0.61
D27	0.62	-0.66
D28	0.57	-0.57
D29	0.60	-0.61
D30	0.70	-1.00
D31	0.79	-1.00
D32	0.74	-1.40
D33	0.74	-1.46
D34	0.63	-1.48
D35	0.66	-1.33
D36	0.79	-1.21
D37	0.47	-1.29
D38	0.34	-1.20
D39	0.26	-1.11
D40	0.29	-1.22
D41	0.25	-1.55
D42	0.29	-1.35
D43	0.34	-1.12
D44	0.73	-1.00
D45	0.75	-1.21
D46	0.88	-0.72
E01	0.07	-1.85
E02	0.36	-1.63
E03	0.58	-1.35
E04	0.72	-1.16
E05	0.77	-1.49
E06	0.94	-1.35
E07	0.82	-1.06
E08	0.91	-2.77
E09	0.84	-1.15
E10	0.80	-1.37
E11	0.89	-1.64
E12	0.82	-2.85
E13	0.73	-2.71
E14	0.77	-1.78
E15	0.77	-1.21
E16	0.82	-0.98
E17	0.80	-1.16
E18	0.76	-1.57
E19	0.73	-2.26
E20	0.82	-2.15
E21	0.73	-1.35
E22	0.85	-0.88

Extreme  $C_p$  max,  $C_p$  min

TAP	MAX	MIN
E23	0.89	-0.93
E24	0.86	-1.99
F01	0.06	-1.36
F02	0.35	-1.47
F03	0.63	-1.35
F04	0.69	-1.22
F05	0.97	-1.08
F06	0.88	-1.37
F07	0.92	-1.11
F08	0.90	-1.61
F09	0.91	-1.26
F10	0.93	-1.24
F11	0.85	-1.54
F12	0.98	-2.58
F13	0.85	-3.00
F14	0.79	-1.66
F15	0.93	-1.34
F16	0.80	-1.21
F17	0.86	-1.36
F18	0.88	-1.56
F19	0.76	-2.32
F20	0.87	-2.31
F21	0.86	-1.31
F22	0.86	-0.92
F23	0.85	-1.04
F24	0.90	-1.79
G01	0.45	-1.20
G02	0.45	-1.34
G03	0.64	-1.34
G04	0.85	-1.08
G05	0.91	-0.99
G06	0.95	-1.09
G07	0.63	-1.09
G08	0.98	-1.50
G09	0.91	-1.50
G10	0.91	-1.49
G11	0.91	-1.69
G12	0.84	-2.79
G13	0.85	-3.04
G14	0.91	-1.68
G15	0.96	-1.27
G16	0.89	-0.94
G17	0.85	-1.25
G18	0.89	-1.58
G19	0.76	-2.34
G20	0.83	-2.59
G21	0.82	-1.19
G22	0.88	-0.97
G23	0.88	-1.16
G24	0.83	-1.25

Extreme  $C_p$  max,  $C_p$  min

TAP	MAX	MIN
H01	-0.04	-1.85
H02	0.34	-1.14
H03	0.58	-1.26
H04	0.74	-1.06
H05	0.84	-1.16
H06	0.84	-1.07
H07	0.93	-0.97
H08	0.85	-1.75
H09	0.88	-1.11
H10	0.85	-1.16
H11	1.00	-1.51
H12	0.87	-1.98
H13	0.91	-2.52
H14	0.83	-1.75
H15	0.91	-0.97
H16	0.96	-0.95
H17	0.85	-1.17
H18	0.85	-1.58
H19	0.84	-1.94
H20	0.91	-1.74
H21	0.88	-1.24
H22	0.95	-0.84
H23	0.88	-0.93
H24	0.91	-0.91
I01	0.03	-1.69
I02	0.36	-1.14
I03	0.56	-1.16
I04	0.58	-1.22
I05	0.73	-1.35
I06	0.80	-1.10
I07	0.88	-1.00
I08	0.87	-2.05
I09	0.77	-0.90
I10	0.57	-0.79
I11	0.74	-1.22
I12	0.89	-2.12
I13	0.91	-2.03
I14	0.75	-1.37
I15	0.76	-0.97
I16	0.76	-1.04
I17	0.80	-1.12
I18	0.74	-1.26
I19	0.85	-1.98
I20	0.76	-2.10
I21	0.86	-1.01
I22	0.76	-0.72
I23	0.76	-0.99
I24	0.89	-0.94
T01	0.43	-1.24
T02	0.22	-1.25

Extreme  $C_p$  max,  $C_p$  min

TAP	MAX	MIN
T03	0.45	-1.26
T04	0.28	-1.05
T05	0.36	-1.68
T06	0.22	-1.32
T07	0.44	-1.54
T08	0.12	-1.60
T09	-0.03	-1.18
T10	0.06	-1.16
T11	0.20	-1.09
T12	0.28	-1.38
T13	0.06	-1.50
T14	-0.06	-1.51
T15	-0.05	-1.60
T16	0.07	-1.70
T17	0.24	-1.40
T18	0.39	-0.85
T19	0.39	-0.66
T20	0.18	-1.11
T21	0.26	-1.28
T22	0.38	-1.14
T23	0.31	-0.68
T24	0.38	-1.31
T25	0.43	-0.89
T26	0.72	-1.18

ภาคผนวก จ

มาตรฐานการคำนวณแรงลมและการตอบสนองของอาคาร (มยผ. 1131-50)  
สำหรับออกแบบผนังภายนอกอาคาร

## ภาคผนวก จ

### มาตรฐานการคำนวณแรงลมและการตอบสนองของอาคาร (มยผ. 1131-50)

#### กรมโยธาธิการและผังเมือง กระทรวงมหาดไทย

เนื่องจากกฎกระทรวงฉบับที่ 6 พ.ศ. 2527 ในหมวดแรงลม ไม่เหมาะสมหลายประการ มีการกำหนดค่าหน่วยแรงลมที่กระทำกับอาคารขึ้นกับความสูงของอาคารแต่เพียงอย่างเดียว ดังนั้นกรมโยธาธิการและผังเมือง จึงได้จัดให้ที่ปรึกษาจัดทำมาตรฐานการคำนวณหน่วยแรงลมและการตอบสนองของอาคาร (มยผ. 1131-50) สำหรับประเทศไทยใหม่ มาตรฐานฉบับใหม่มีความละเอียดถูกต้องกว่ากฎกระทรวงฉบับที่ 6 เนื่องจากได้คำนึงถึง ความเร็วลมอ้างอิงในเขตต่างๆ ลักษณะภูมิประเทศ รูปร่างของอาคาร และคุณสมบัติทางพลศาสตร์ของอาคาร ซึ่งเป็นรูปแบบของมาตรฐานการคำนวณแรงลมที่ได้รับการยอมรับในระดับนานาชาติ

#### 1. ขอบข่ายมาตรฐานการคำนวณแรงลมและการตอบสนองของอาคาร

- (ก) มาตรฐานนี้ได้กำหนดวิธีการคำนวณค่าของแรงลมและผลกระทบในรูปแบบต่างๆ ของลมที่มีต่ออาคาร เพื่อใช้ในการออกแบบระบบ โครงสร้างหลักของอาคาร องค์กรอาคาร และส่วนประกอบอื่นๆ ของอาคาร เช่น ผนังภายนอกอาคาร หลังคา เป็นต้น
- (ข) ข้อกำหนดต่างๆ ในมาตรฐานนี้เป็นข้อกำหนดในขั้นต่ำสุดที่จำเป็นต่อการออกแบบอาคาร เพื่อให้อาคารมีความปลอดภัย และเพื่อจำกัดผลกระทบในรูปแบบต่างๆ ของลมที่มีต่ออาคารให้อยู่ในระดับที่ยอมรับได้ ตามเกณฑ์มาตรฐานสากล
- (ค) มาตรฐานการคำนวณ สามารถนำไปใช้ในการออกแบบอาคารทั่วไป ตั้งแต่ อาคารเดี่ยว จนถึงอาคารสูงที่มีรูปทรงปกติ แต่มาตรฐานไม่ครอบคลุมถึงการออกแบบอาคารที่มีลักษณะพิเศษหรือโครงสร้างอื่นๆ ที่อาจมีการตอบสนองต่อแรงลมรุนแรงกว่าปกติ เช่น ปล่องควันที่มีความสูงชะลูด สะพานช่วงยาว ฯลฯ ซึ่งต้องใช้ในการทดสอบในอุโมงค์ลม
- (ง) มาตรฐานการคำนวณ ไม่ได้ครอบคลุมสภาพภูมิประเทศที่มีลักษณะพิเศษ ที่อาจทำให้เกิดแรงลมที่สูงกว่าปกติ เช่น ช่องลมเฉพาะที่ (local channel) ผลของอาคารข้างเคียง ฯลฯ ซึ่งต้องใช้ในการทดสอบในอุโมงค์ลม

## 2. การกำหนดค่าแรงลมสถิตเทียบเท่า

วิธีกำหนดค่าแรงลมสถิตเทียบเท่ามี 3 วิธี ดังนี้

### 2.1 วิธีการอย่างง่าย

วิธีการอย่างง่ายใช้กับโครงสร้างต่อไปนี้

ก. ระบบโครงสร้างหลักต้านทานแรงลม (main wind-force resistance system) ของอาคารเดี่ยว และอาคารสูงปานกลางที่มีความสูงไม่เกิน 80 เมตร และมีความสูงไม่เกิน 3 เท่าของความกว้างประสิทธิภาพที่น้อยที่สุด ยกเว้นอาคารที่ระบุไว้ในหัวข้อ 2.2

ข. ผนังภายนอกอาคาร (cladding) ของอาคารทุกประเภท

### 2.2 วิธีการอย่างละเอียด

วิธีการอย่างละเอียดใช้กับโครงสร้างต่อไปนี้

ก. อาคารที่มีความสูงเกิน 80 เมตร หรือมีความสูงเกิน 3 เท่าของความกว้างประสิทธิภาพที่น้อยที่สุด

ข. อาคารที่สั้น ใหวาง่าย ได้แก่ อาคารที่มีน้ำหนักเบา และมีความถี่ธรรมชาติต่ำ และมีคุณสมบัติความหน่วงของอาคารต่ำ

แผนภาพขั้นตอนการคำนวณแรงลมและการตอบสนองโดยวิธีการอย่างง่ายและวิธีการอย่างละเอียด แสดงในรูปที่ จ.1 โดยหมายเลขหัวข้อและรูปร่างอ้างอิงตามมาตรฐานการคำนวณแรงลม มยพ.1311-50 (2550)

### 2.3 วิธีการทดสอบในอุโมงค์ลม

วิธีการทดสอบในอุโมงค์ลม ใช้กับอาคารหรือโครงสร้างที่มีความอ่อนไหวต่อแรงลมเป็นพิเศษ และใช้กับอาคารซึ่งอยู่นอกเหนือขอบเขตที่ระบุไว้ในมาตรฐานการคำนวณแรงลม การทดสอบในอุโมงค์ลมสามารถใช้แทนการคำนวณแรงลมโดยวิธีการอย่างง่าย และวิธีการอย่างละเอียด

## 3 แรงลมออกแบบ

### 3.1 หน่วยแรงลมที่กระทำบนพื้นผิวภายนอกของอาคาร

หน่วยแรงลมที่กระทำบนพื้นผิวภายนอกของอาคารในทิศทางลม สามารถคำนวณได้จาก

$$p = I_w q C_e C_g C_p \quad (\text{จ-1})$$

- โดยที่  $p$  = หน่วยแรงลมสถิตเทียบเท่า (equivalent static wind pressure) กระทำตั้งฉากกับพื้นผิวภายนอกอาคาร โดยเรียกว่า “หน่วยแรงดัน” ถ้ามีทิศเข้าหาพื้นผิว หรือ “หน่วยแรงดูด” ถ้ามีทิศพุ่งออกจากพื้นผิว
- $I_w$  = ค่าประกอบความสำคัญของแรงลม ตามที่กำหนดในหัวข้อ 3.2
- $q$  = หน่วยแรงลมอ้างอิงเนื่องจากความเร็วลม (reference velocity pressure) ตามที่กำหนดในหัวข้อ 3.3
- $C_e$  = ค่าประกอบเนื่องจากสภาพภูมิประเทศ (exposure factor) ตามที่กำหนดในหัวข้อ 3.4
- $C_g$  = ค่าประกอบเนื่องจากผลการกระโชกของลม (gust effect factor) ตามที่กำหนดในหัวข้อ 3.5
- $C_p$  = ค่าสัมประสิทธิ์ของหน่วยแรงลมที่กระทำภายนอกอาคาร (external pressure coefficient) ตามที่กำหนดในหัวข้อ 3.6

หน่วยแรงลมสุทธิเพื่อใช้ในการคำนวณแรงลมที่กระทำต่อส่วนใดส่วนหนึ่งของด้านใดด้านหนึ่งของอาคาร (เช่น ผนังภายนอก หรือ หลังคา) เป็นผลรวมแบบเวกเตอร์ของหน่วยแรงลม ที่กระทำบนพื้นผิวภายนอก กับหน่วยแรงลมที่กระทำบนพื้นผิวที่กระทำบนพื้นผิวภายใน โดยที่หน่วยแรงลมภายในคำนวณจาก

$$p_i = I_w q C_e C_{gi} C_{pi} \quad (จ-2)$$

- โดยที่  $p_i$  = หน่วยแรงลมสถิตเทียบเท่า (equivalent static wind pressure) กระทำตั้งฉากกับพื้นผิวภายในอาคาร โดยเรียกว่า “หน่วยแรงดัน” ถ้ามีทิศเข้าหาพื้นผิว หรือ “หน่วยแรงดูด” ถ้ามีทิศพุ่งออกจากพื้นผิว
- $C_{gi}$  = ค่าประกอบเนื่องจากผลการกระโชกของลมที่กระทำภายในอาคาร ตามที่กำหนดในหัวข้อ 3.5
- $C_{pi}$  = ค่าสัมประสิทธิ์ของหน่วยแรงลมที่กระทำภายในอาคาร ตามที่กำหนดในหัวข้อ 3.6

### 3.2 ค่าประกอบความสำคัญของแรงลม

ค่าประกอบความสำคัญของแรงลม แสดงในตารางที่ จ.1 รายละเอียดประเภทของอาคารตามความสำคัญ

ตารางที่ จ.1 ค่าประกอบความสำคัญของแรงลม

ประเภทของอาคาร ตามความสำคัญ	ค่าประกอบความสำคัญของแรงลม	
	สภาวะจำกัดด้านกำลัง	สภาวะจำกัดด้านการใช้งาน
น้อย	0.8	0.75
ปกติ	1	0.75
มาก	1.15	0.75
สูงมาก	1.15	0.75

### 3.3 หน่วยแรงลมอ้างอิงเนื่องจากความเร็วลม

หน่วยแรงลมอ้างอิงเนื่องจากความเร็วลม สามารถคำนวณได้จาก

$$q = \frac{1}{2} \left( \frac{\rho}{g} \right) \bar{V}^2 \quad (\text{จ-3})$$

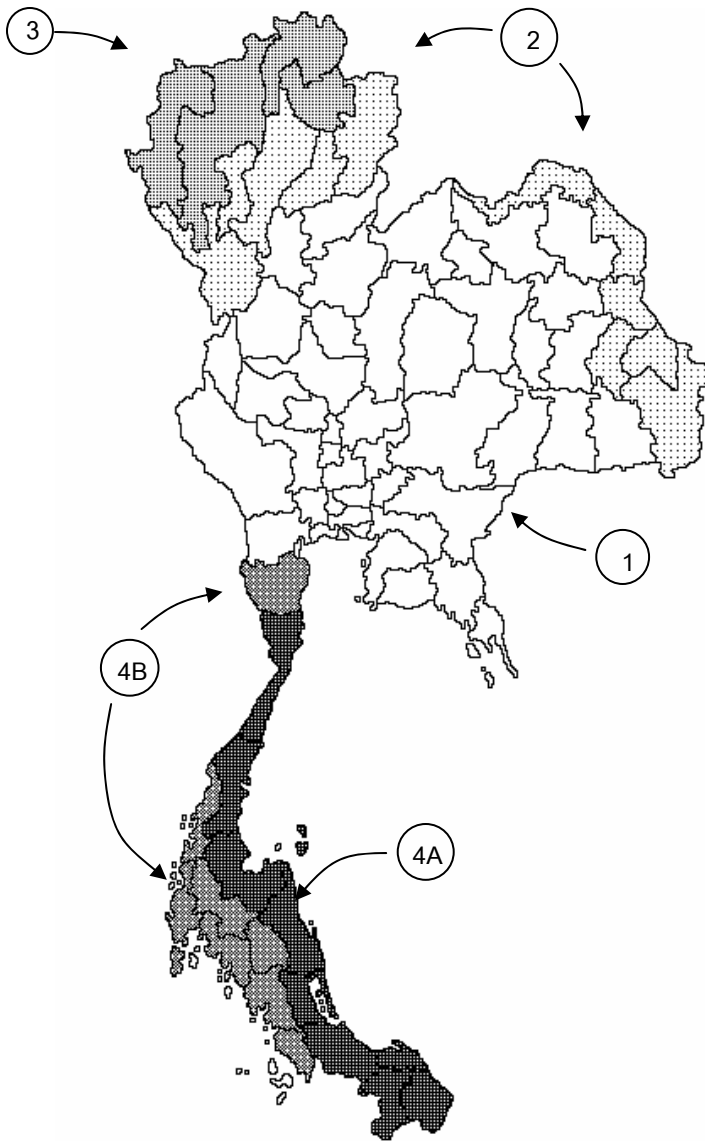
โดยที่  $q$  ที่คำนวณได้ มีหน่วยเป็น กิโลกรัม (แรง) ต่อตารางเมตร)

$\rho$  = ความหนาแน่นของมวลอากาศ (ซึ่งมีค่าโดยประมาณเท่ากับ 1.25 กิโลกรัม (มวล) ต่อลูกบาศก์เมตร) สำหรับความดันบรรยากาศปกติและอุณหภูมิของอากาศประมาณ 15 องศาเซลเซียส ถึง 45 องศาเซลเซียส

$\bar{V}$  = ความเร็วลมอ้างอิง มีหน่วยเป็นเมตรต่อวินาที

$g$  = อัตราเร่งเนื่องจากแรงโน้มถ่วงของโลก มีค่าเท่ากับ 9.806 ม./วินาที<sup>2</sup>

ความเร็วลมอ้างอิง คือ ค่าความเร็วลมเฉลี่ยในช่วงเวลา 1 ชั่วโมง ที่ความสูง 10 เมตรจากพื้นดิน ในสภาพภูมิประเทศโล่ง สำหรับคาบเวลากลับ (return period) 50 ปี ( $V_{50}$ ) (ยกเว้น กลุ่มที่ 4A และ 4B ในรูปที่ จ.1) ความเร็วลมอ้างอิงของพื้นที่ต่างๆ ในประเทศไทย แสดงในรูปที่ จ.1 และตารางที่ จ.2



รูปที่ จ.1 แผนที่การแบ่งกลุ่มความเร็วอ้างอิง

ตารางที่ จ.2 ความเร็วลมอ้างอิง

กลุ่มที่	พื้นที่	$V_{50}$	$T_F$
กลุ่มที่ 1	- พื้นที่ส่วนใหญ่ตอนกลางของประเทศ	25	1.0
กลุ่มที่ 2	- ภาคเหนือตอนล่างและภาคตะวันออกเฉียงเหนือ บริเวณติดชายแดน	27	1.0
กลุ่มที่ 3	- ภาคเหนือตอนบน	29	1.0
กลุ่มที่ 4 A	- ชายฝั่งตะวันออกของภาคใต้	25	1.2
กลุ่มที่ 4 B	- เพชรบุรีและชายฝั่งตะวันตกของภาคใต้	25	1.08

### 3.4 ค่าประกอบเนื่องจากสภาพภูมิประเทศ

ค่าประกอบเนื่องจากสภาพภูมิประเทศ เป็นค่าประกอบที่นำมาปรับค่าหน่วยแรงลมให้แปรเปลี่ยนตามความสูงจากพื้นดินและสภาพภูมิประเทศ

วิธีการอย่างง่าย คำนึงถึงสภาพภูมิประเทศเป็น 2 ประเภท ดังนี้

- ก. สภาพภูมิประเทศแบบ A เป็นสภาพภูมิประเทศแบบโล่งซึ่งมีอาคาร ดันไม้ หรือสิ่งปลูกสร้าง กระจัดกระจายอยู่ห่างๆ กัน หรือเป็นบริเวณชายฝั่งทะเล ให้คำนวณค่า  $C_e$  จากสมการ (จ-4)

$$C_e = \left( \frac{z}{10} \right)^{0.2} \quad (\text{จ-4})$$

โดยที่  $z$  = ความสูงจากพื้นดิน (หน่วยเป็นเมตร) ณ ตำแหน่งที่คำนวณค่าหน่วยแรงลม โดยที่ถ้า  $C_e$  ที่คำนวณจากสมการ (จ-4) มีค่าน้อยกว่า 0.9 กำหนดให้ใช้ค่า  $C_e = 0.9$

- ข. สภาพภูมิประเทศแบบ B เป็นสภาพภูมิประเทศแบบชานเมือง หรือพื้นที่ที่มีต้นไม้ใหญ่ หนาแน่น หรือบริเวณศูนย์กลางเมืองขนาดเล็ก ให้คำนวณค่า  $C_e$  จากสมการ (จ-5)

$$C_e = 0.7 \left( \frac{z}{12} \right)^{0.3} \quad (\text{จ-5})$$

โดยที่ ถ้า  $C_e$  ที่คำนวณได้จากสมการ (จ-5) มีค่าน้อยกว่า 0.7 กำหนดให้ใช้ค่า  $C_e = 0.7$

สภาพภูมิประเทศใดๆ จะจัดอยู่ในสภาพภูมิประเทศแบบ B ได้ ก็ต่อเมื่อมีลักษณะภูมิประเทศในลักษณะนั้นๆ สม่่าเสมอในทิศทางด้นลม เป็นระยะทางไม่ต่ำกว่า 1 กิโลเมตร หรือ 10 เท่าของความสูงของอาคาร โดยใช้ค่าที่มากกว่า ซึ่งสภาพภูมิประเทศที่ใช้ในการคำนวณนี้ ควรสอดคล้องกับสภาพภูมิประเทศที่แท้จริงในทิศทางลมที่พิจารณา

ข้อยกเว้น อาคารที่มีความสูงไม่เกิน 80 เมตร และตั้งอยู่ในกลุ่มที่มีความเร็วลมอ้างอิง ( $\bar{V} = T_F V_{50}$ ) ไม่เกิน 25 ม./วินาที ในรูปที่ จ.1 ให้ใช้เฉพาะสภาพภูมิประเทศแบบ A เท่านั้น

วิธีการอย่างละเอียด คำนึงถึงสภาพภูมิประเทศเป็น 3 ประเภท ดังนี้

- ก. สภาพภูมิประเทศแบบ A เป็นสภาพภูมิประเทศแบบโล่งซึ่งมีอาคาร ดันไม้ หรือสิ่งปลูกสร้าง กระจัดกระจายอยู่ห่างๆ กัน หรือเป็นบริเวณชายฝั่งทะเล ให้คำนวณค่า  $C_e$  จากสมการ (จ-6)

$$C_e = \left( \frac{z}{10} \right)^{0.28} \quad (\text{จ-6})$$

โดยที่ถ้า  $C_e$  ที่คำนวณจากสมการ (จ-6) มีค่าน้อยกว่า 1.0 หรือมากกว่า 2.5 ให้ใช้ค่า  $C_e$  เท่ากับ 1.0 หรือ 2.5 ตามลำดับ

- ข. สภาพภูมิประเทศแบบ B เป็นสภาพภูมิประเทศแบบชานเมือง หรือพื้นที่ที่มีต้นไม้ใหญ่หนาแน่น หรือบริเวณศูนย์กลางเมืองขนาดเล็ก ให้คำนวณค่า  $C_e$  จากสมการ (จ-7)

$$C_e = 0.5 \left( \frac{z}{12.7} \right)^{0.5} \quad (\text{จ-7})$$

โดยที่ ถ้า  $C_e$  ที่คำนวณได้จากสมการ (จ-7) มีค่าน้อยกว่า 0.5 หรือมากกว่า 2.5 ให้ใช้ค่า  $C_e$  เท่ากับ 0.5 หรือ 2.5 ตามลำดับ

- ค. สภาพภูมิประเทศแบบ C เป็นสภาพภูมิประเทศของบริเวณศูนย์กลางเมืองใหญ่ มีอาคารสูงอยู่หนาแน่น โดยที่อาคารไม่น้อยกว่าร้อยละ 50 ต้องมีความสูงเกิน 4 ชั้น ให้คำนวณค่า  $C_e$  จากสมการ (จ-8)

$$C_e = 0.4 \left( \frac{z}{30} \right)^{0.72} \quad (\text{จ-8})$$

โดยที่ ถ้า  $C_e$  ที่คำนวณได้จากสมการ (จ-8) มีค่าน้อยกว่า 0.4 หรือมากกว่า 2.5 ให้ใช้ค่า  $C_e$  เท่ากับ 0.4 หรือ 2.5 ตามลำดับ

อาคารที่ตั้งอยู่ในภูมิประเทศแบบ C ควรพิจารณาด้วยความรอบคอบ เนื่องจากอาจเกิดแรงลมที่สูงจากช่องลมที่เกิดจากการสร้างอาคาร และผลของระลอกลมที่เกิดจากอาคารสูงข้างเคียง

สภาพภูมิประเทศใดๆ จะจัดอยู่ในสภาพภูมิประเทศแบบ B หรือ C ได้ก็ต่อเมื่อมีลักษณะภูมิประเทศในลักษณะนั้นๆ สม่่าเสมอในทิศทางต้นลม เป็นระยะทางไม่ต่ำกว่า 1 กิโลเมตร หรือ 10 เท่าของความสูงของอาคาร โดยใช้ค่าที่มากกว่า ซึ่งสภาพภูมิประเทศที่ใช้ในการคำนวณนี้ ควรสอดคล้องกับสภาพภูมิประเทศที่แท้จริงในทิศทางลมที่พิจารณา

### 3.5 การเพิ่มขึ้นของความเร็วลมบริเวณเนินเขาและลาดชัน

อาคารหรือโครงสร้างที่ตั้งอยู่บริเวณเนินเขาและลาดชัน ที่มีอัตราส่วนระยะทางแนวตั้งต่อแนวราบมากกว่า 1 ต่อ 10 (5.7 องศา) มีผลทำให้ความเร็วลมเฉลี่ยเพิ่มขึ้นมากกว่าลมที่พัดผ่านบริเวณแบบราบ

$$\frac{(C_e^*)}{(1 + \Delta S(z))^2 \Delta S(z)}$$

$$(C_e^*)$$

$$|x| < kL_h$$

$$C_e^* = C_e \left\{ 1 + \Delta S_{\max} \left( 1 - \frac{|x|}{kL_h} \right) e^{(-az/L_h)} \right\}^2 \quad (จ-9)$$

- โดยที่  $C_e$  = ค่าประกอบเนื่องจากสภาพภูมิประเทศบริเวณแบบราบ  
 $\Delta S_{\max}$  = ค่าประกอบเนื่องจากการเพิ่มขึ้นของความเร็วลมเฉลี่ยที่ยอดเนินเขา  
 และลาดชัน  
 $a$  = สัมประสิทธิ์ตัวลดความเร็วลมตามความสูง  
 $H_h$  = ความสูงของเนินเขา และลาดชัน  
 $L_h$  = ระยะทางในแนวราบด้านต้นลมจากยอดเนินเขาถึงระยะ  $H_h/2$

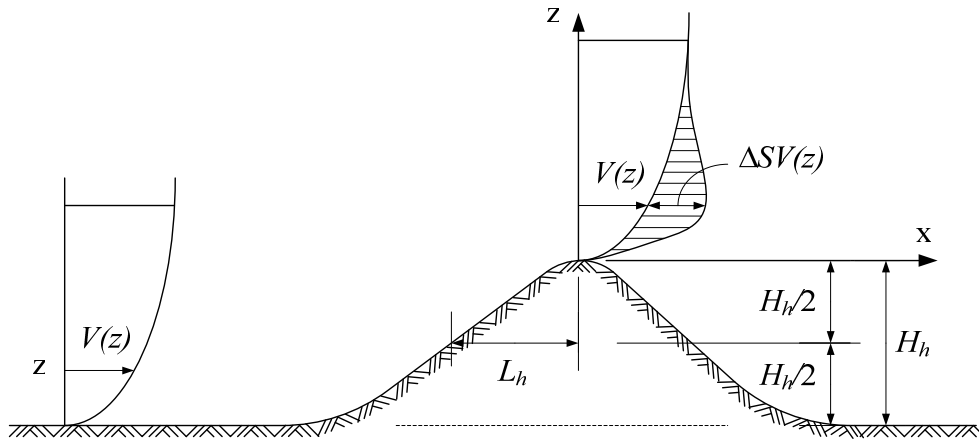
ค่า  $\Delta S_{\max}$  และ  $a$  ขึ้นกับรูปร่างและความชันของเนินเขา ดังแสดงในตารางที่ จ.3

ตารางที่ จ.3 ค่าประกอบสำหรับคำนวณการเพิ่มขึ้นของความเร็วมบริเวณเนินเขาและลาดชัน

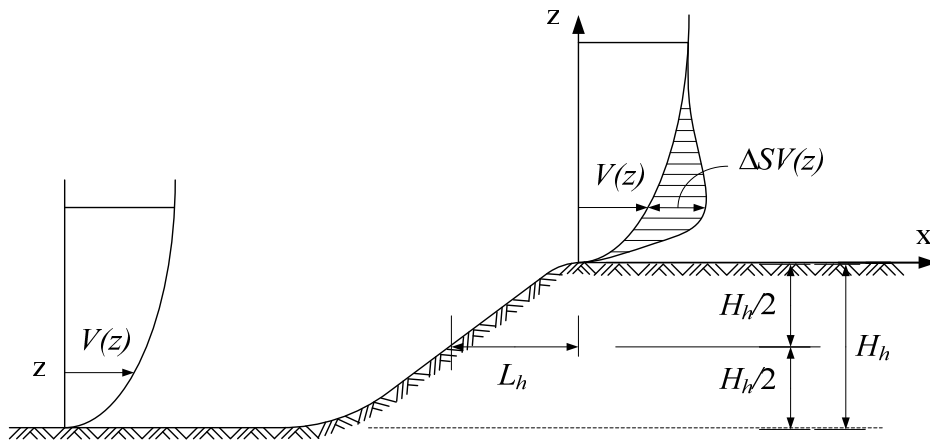
รูปร่างเนินเขา	$\Delta S_{\max}$	$a$	$k$	
			$x < 0$	$x > 0$
เนินเขา 2 มิติ (หรือหุบเขาที่ค่า $H_h$ เป็นลบ)	$2.2 H_h / L_h$	3	1.5	1.5
ที่ราบสูง 2 มิติ	$1.3 H_h / L_h$	2.5	1.5	4
เนินเขา 3 มิติ ไม่สมมาตร	$1.6 H_h / L_h$	4	1.5	1.5

หมายเหตุ: สำหรับอัตราส่วน  $H_h/L_h > 0.5$  กำหนดให้ใช้  $H_h/L_h = 0.5$  และแทนค่า  $L_h = 2H_h$

เมื่อคำนวณ  $C_e^*$  ในสมการ (จ-9)



(ก) บริเวณเนินเขา



(ข) บริเวณลาดชัน

รูปที่ จ.2 การเพิ่มขึ้นของความเร็วลมบริเวณเนินเขาและลาดชัน

### 3.6 ค่าประกอบเนื่องจากการกระโชกของลม

ค่าประกอบเนื่องจากการกระโชกของลม คือ อัตราส่วนระหว่างผลของแรงลมสูงสุดต่อผลของแรงลมเฉลี่ยเป็นค่าประกอบที่นำมาปรับค่าหน่วยแรงลม โดยรวมผลที่เกิดจาก

- 1) การแปรปรวนของความเร็วลม (random wind gusts) ที่พัดเข้าหาอาคาร
- 2) หน่วยแรงลมที่ผันผวนจากผลของของระลอกลม (wake-induced fluctuating pressure) โดยรอบอาคาร

### 3) การตอบสนองด้านพลศาสตร์ของอาคาร

ค่าประกอบเนื่องจากการกระชอกของลม ที่กระทำกับพื้นผิวภายนอกอาคาร

สำหรับวิธีการอย่างง่าย คำนวณได้ดังนี้

- ก. สำหรับหน่วยแรงลมสถิตเทียบเท่าที่กระทำกับพื้นผิวภายนอกอาคาร ให้ใช้ค่า  $C_g$  เท่ากับ 2.0 ในการออกแบบโครงสร้างหลักด้านทานแรงลม ยกเว้น ฝ้าและกำแพง ให้ใช้ค่า  $C_g$  เท่ากับ 2.35
- ข. สำหรับหน่วยแรงลมสถิตเทียบเท่าที่กระทำกับพื้นผิวภายนอกอาคาร ให้ใช้ค่า  $C_g$  เท่ากับ 2.5 ในการออกแบบโครงสร้างรองและผนังภายนอกอาคาร (cladding) ที่มีขนาดเล็ก (ประมาณขนาดของหน้าต่าง)

สำหรับวิธีการอย่างละเอียด คำนวณได้ดังนี้

$$C_g = 1 + g_p \left( \frac{\sigma}{\mu} \right) \quad (\text{จ-10})$$

โดยที่  $g_p$  = ค่าประกอบเชิงสถิติเพื่อปรับค่ารากกำลังสองเฉลี่ยให้เป็นค่าสูงสุด (statistical peak factor) สำหรับการสั้นไหวของอาคารในทิศทางลม

$\sigma$  = ค่ารากกำลังสองเฉลี่ยของผลตอบสนองด้านพลศาสตร์ของอาคารเนื่องจากความผันผวนของแรงลม (root-mean-square loading effect)

$\mu$  = ค่าเฉลี่ยของผลตอบสนองของอาคารเนื่องจากแรงลม (mean loading effect)

อัตราส่วน  $\frac{\sigma}{\mu}$  สามารถคำนวณได้จากสมการ (จ-11) ดังนี้

$$\frac{\sigma}{\mu} = \sqrt{\frac{K}{C_{eH}} \left( B + \frac{sF}{\beta_D} \right)} \quad (\text{จ-11})$$

โดยที่  $K$  = ค่าสัมประสิทธิ์ที่มีค่าแปรเปลี่ยนไปตามความขรุขระของสภาพภูมิประเทศโดยกำหนดให้มีค่าเท่ากับ

0.08 สำหรับภูมิประเทศแบบ A

0.10 สำหรับภูมิประเทศแบบ B

0.14 สำหรับภูมิประเทศแบบ C

$C_{eH}$  = ค่าประกอบเนื่องจากสภาพภูมิประเทศที่ระดับความสูงของยอดอาคาร

$B$  = ค่าประกอบการตอบสนองแบบกึ่งสถิตต่อการแปรปรวนของลม (background turbulence factor) ซึ่งเป็น ฟังก์ชันของอัตราส่วนของความกว้างต่อความสูงของอาคาร ( $W/H$ )

$W$  = ความกว้างประสิทธิผลของอาคารในทิศทางตั้งฉากกับทิศทางลม มี

$H$  = ความสูงของอาคาร

$\frac{sF}{\beta_D}$  = ค่าประกอบการตอบสนองแบบก้ำก๋อต่อการแปรปรวนของลม (resonance factor) ในทิศทางลม

$s$  = ตัวคูณลดเนื่องจากขนาดของอาคาร (size reduction factor) ซึ่งเป็น ฟังก์ชันของ  $W/H$  และความถี่ธรรมชาติลดรูป (reduction frequency of structure,  $\frac{n_D H}{V_H}$ )

$n_D$  = ค่าความถี่ธรรมชาติของอาคาร สำหรับรูปแบบการสั่นไหวพื้นฐาน ในทิศทางลม (fundamental natural frequency in along-wind direction) มีหน่วยเป็นรอบต่อวินาที (Hz) ซึ่งค่านี้อาจหาได้จากการวิเคราะห์โดยตรงจากแบบจำลองทางพลศาสตร์ของอาคาร ในกรณีที่เป็นอาคารสูงสร้างด้วยคอนกรีตเสริมเหล็กอาจประมาณค่าความถี่ธรรมชาติจากสูตร

$$n_D = \frac{44}{H}$$

$V_H$  = ค่าความเร็วลมเฉลี่ยในช่วงเวลา 1 ชั่วโมง ที่ระดับความสูงของยอดอาคาร มีหน่วยเป็นเมตรต่อวินาที คำนวณได้จากสมการ  $V_H = \bar{V} \sqrt{C_{eH}}$

$F$  = อัตราส่วนพลังงานของการแปรปรวนของลม ณ ความถี่ธรรมชาติของอาคาร (gust energy ratio at the natural frequency of the structure) ซึ่งเป็นฟังก์ชันของ จำนวนคลื่นต่อเมตร (wave number,  $\frac{n_D}{V_H}$ )

$\beta_D$  = อัตราส่วนความหน่วง (damping ratio) ของการสั่นไหวในทิศทางลมซึ่งค่านี้ควรกำหนดให้ใกล้เคียงกับค่าที่ได้จากการตรวจวัดอาคารจริงที่มี

$$v = \text{ค่าความถี่เฉลี่ยของการตอบสนองของโครงสร้าง}$$

(average fluctuation rate) มีหน่วยเป็นรอบต่อวินาที (Hz)

ค่าประกอบเนื่องจากการกระชอกของลมที่กระทำภายในอาคาร

สำหรับหน่วยแรงลมสถิตเทียบเท่าที่กระทำกับพื้นผิวภายในอาคาร ให้ใช้ค่า  $C_{gi}$  เท่ากับ 2.0 หรือค่าที่คำนวณจากสมการ (2-8) ซึ่งขึ้นอยู่กับลักษณะและปริมาณของช่องเปิด (opening) ของอาคาร ในกรณีที่อาคารมีขนาดใหญ่และไม่มีผนังกั้นภายในซึ่งทำให้ปริมาตรภายในของอาคารมีค่ามาก ค่าความดันลมภายในอาคารจะมีการแปรเปลี่ยนช้า เมื่อเทียบกับการแปรเปลี่ยนของความดันลมภายนอกอาคาร ซึ่งในกรณีดังกล่าว อาจใช้ค่าที่คำนวณตามสมการที่ (จ-11)

$$C_{gi} = 1 + \frac{1}{\sqrt{1 + \tau}} \quad (\text{จ-12})$$

โดยที่  $\tau =$  ตัวแปรที่บอกระยะเวลาที่ใช้ในการตอบสนองต่อการแปรเปลี่ยนของความดันภายนอกอาคาร ซึ่งสามารถคำนวณได้ตามสมการที่ (จ-13)

$$\tau = \frac{V_0}{6,950A_0} \quad (\text{จ-13})$$

โดยที่  $V_0 =$  ปริมาตรภายในของอาคาร มีหน่วยเป็น ลูกบาศก์เมตร (เมตร<sup>3</sup>)

$A_0 =$  พื้นที่รวมทั้งหมดของช่องเปิดบนผนังภายนอกอาคาร มีหน่วยเป็น ตารางเมตร (เมตร<sup>2</sup>)

ค่าประกอบเนื่องจากการกระชอกของลมที่ปรับแก้จากผลการเพิ่มขึ้นของความเร็วลมบริเวณเนินเขาและลาดชัน

- ก. เนื่องจากลมที่พัดผ่านบริเวณเนินเขาและลาดชันทำให้ความเร็วลมเฉลี่ยเพิ่มขึ้น แต่ไม่ทำให้ขนาดของการแปรปรวนของความเร็วลมเพิ่มขึ้น ดังนั้น จึงต้องปรับแก้ค่าประกอบ

$(C_g^*)$

$$C_g^* = 1 + (C_g - 1) \sqrt{\frac{C_e}{C_e^*}} \quad (\text{จ-14})$$

โดยที่  $C_g =$  ค่าประกอบเนื่องจากการกระโหลกของลมในบริเวณแบบราบ

ข. การปรับแก้ผลคูณของ  $C_p C_g$  สำหรับอาคารเดี่ยวที่ตั้งอยู่บริเวณเนินเขาและลาดชัน ทำได้

โดย คูณค่า  $C_p C_g$  ด้วยอัตราส่วน  $\frac{C_g^*}{C_g}$

### 3.7 ค่าสัมประสิทธิ์ของหน่วยแรงลม

ค่าสัมประสิทธิ์ของหน่วยแรงลมภายนอก ขึ้นอยู่กับรูปทรงของอาคาร ทิศทางลม และลักษณะการแปรเปลี่ยนของความเร็วลมตามความสูงอาคาร

ค่าสัมประสิทธิ์ของหน่วยแรงลมที่กระทำภายนอกอาคาร

ค่าสัมประสิทธิ์ของหน่วยแรงลมที่กระทำภายนอกอาคาร สำหรับการออกแบบผนังภายนอกอาคาร และระบบโครงสร้างหลักของอาคาร แบ่งออกเป็น 3 หมวด ดังนี้

ก. ค่าสัมประสิทธิ์ของหน่วยแรงลมภายนอก สำหรับอาคารเดี่ยวที่มีความสูงต่อความกว้าง  $\left(\frac{H}{W}\right)$  น้อยกว่า 1 และมีความสูงอ้างอิง (reference height) น้อยกว่า 23 เมตร ค่าสัมประสิทธิ์ของหน่วยแรงลม ได้ถูกนำมารวมกับค่าประกอบเนื่องจากการกระโหลกของลม

ข. ค่าสัมประสิทธิ์ของหน่วยแรงลมภายนอก สำหรับอาคารสูง ดังแสดงในรูปที่ จ.3 ความสูงอ้างอิง เพื่อใช้ในการคำนวณค่าประกอบเนื่องจากสภาพภูมิประเทศสำหรับการคำนวณหน่วยแรงลมที่กระทำภายนอกอาคารบนผนังด้านต้นลม และท้ายลม ให้ใช้ความสูงอ้างอิงเท่ากับ  $z$  (ความสูงเหนือพื้นดิน) และ  $0.5H$  ตามลำดับ

ค. ค่าสัมประสิทธิ์ของหน่วยแรงลมภายนอก สำหรับโครงสร้างพิเศษแบบต่างๆ เช่น ป้าย กำแพง โครงสร้างรูปทรงกระบอก ปล่องควัน

ค่าสัมประสิทธิ์ของหน่วยแรงลมภายใน ( $C_{pi}$ ) ใช้ในการคำนวณหาหน่วยแรงลมภายในอาคาร ซึ่งมีความสำคัญต่อการออกแบบผนังภายนอกอาคาร และระบบโครงสร้างหลักด้านแรงลม ค่าสัมประสิทธิ์  $C_{pi}$  นี้ขึ้นอยู่กับ การกระจายตัวและขนาดของรอยรั่วซึม ตลอดจนช่องเปิดบนผนังภายนอกอาคารและหลังคา ซึ่งในการออกแบบอาคารสามารถพิจารณาแบ่งออกได้เป็น 3 กรณี ตามหัวข้อดังต่อไปนี้ โดยกำหนดให้ใช้ได้ทั้งวิธีการอย่างง่ายและวิธีการอย่างละเอียด และทุกกรณีจะต้องคำนวณหาค่า  $C_{gi}$  ตามหัวข้อ 3.5 เพื่อใช้ร่วมในการหาค่าหน่วยแรงลมภายในอาคารด้วย

กรณีที่ 1 ใช้ค่า  $C_{pi} = -0.15$  ถึง  $0.0$

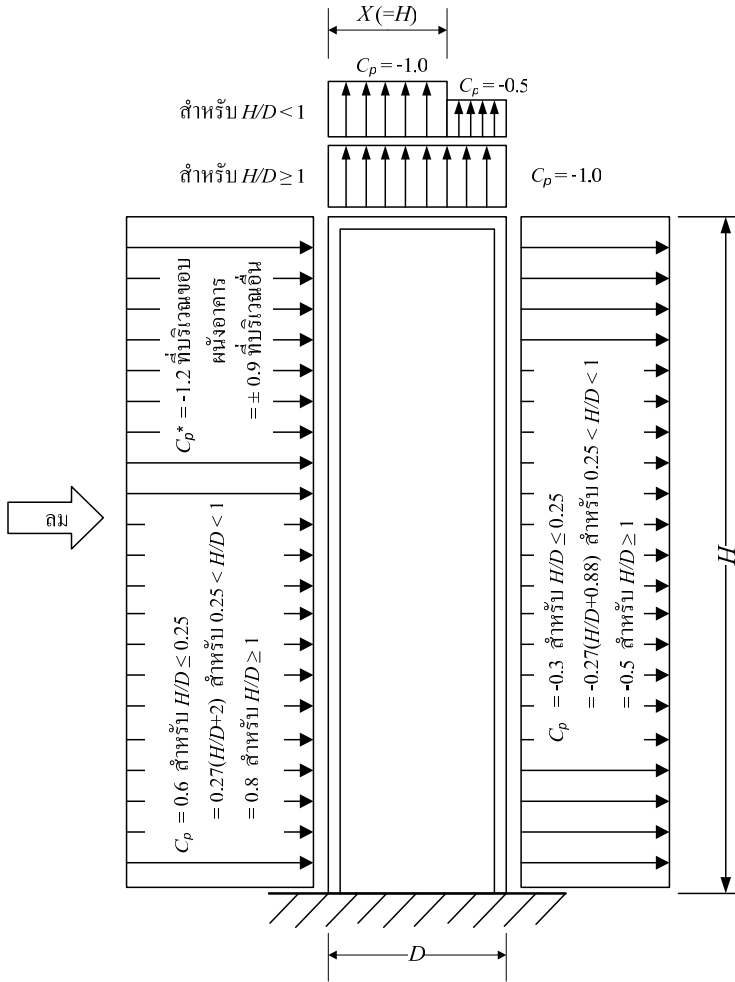
กรณีนี้ใช้กับอาคารที่ปราศจากช่องเปิดขนาดใหญ่ แต่อาจมีช่องเปิดเล็กๆกระจายสม่ำเสมอ โดยมีพื้นที่ช่องเปิดรวมน้อยกว่า 0.1% ของพื้นที่ผิวทั้งหมด ตัวอย่างได้แก่ อาคารสูงต่างๆไปที่มีผนังปิดล้อมทุกด้านและมีระบบระบายอากาศภายใน รวมทั้งอาคารเดี่ยวบางประเภท เช่น คลังสินค้าที่ไม่มีหน้าต่างหรือช่องเปิด โดยที่ประตูต้องออกแบบให้สามารถต้านพายุได้ และได้รับการปิดสนิทเมื่อเกิดพายุ

กรณีที่ 2 ใช้ค่า  $C_{pi} = -0.45$  ถึง  $0.3$

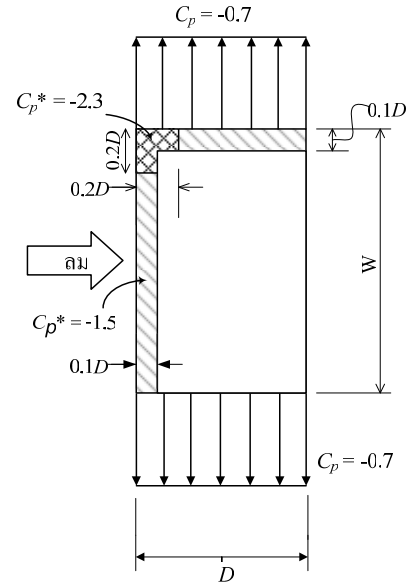
กรณีนี้ใช้กับอาคารที่มีการรั่วซึมซึ่งกระจายไม่สม่ำเสมอ โดยที่อาจมีช่องเปิดขนาดใหญ่ แต่ต้องได้รับการปิดสนิท เมื่อเกิดพายุและมีความแข็งแรงเพียงพอ ตัวอย่างได้แก่ อาคารขนาดเล็กต่างๆไป และอาคารสูงที่มีหน้าต่างซึ่งสามารถเปิด-ปิดได้หรือมีระเบียงซึ่งมีประตูที่สามารถเปิด-ปิดได้

กรณีที่ 3 ใช้ค่า  $C_{pi} = -0.7$  ถึง  $0.7$

กรณีนี้ใช้กับอาคารที่มีช่องเปิดขนาดใหญ่ โดยที่ความแปรปรวนของลมภายนอกอาคารสามารถส่งผลเข้าไปภายในได้ ตัวอย่างได้แก่ อาคารโรงงานอุตสาหกรรมและคลังสินค้าที่ประตูอาจจะเปิดในระหว่างเกิดพายุ หรือประตูไม่สามารถต้านพายุได้

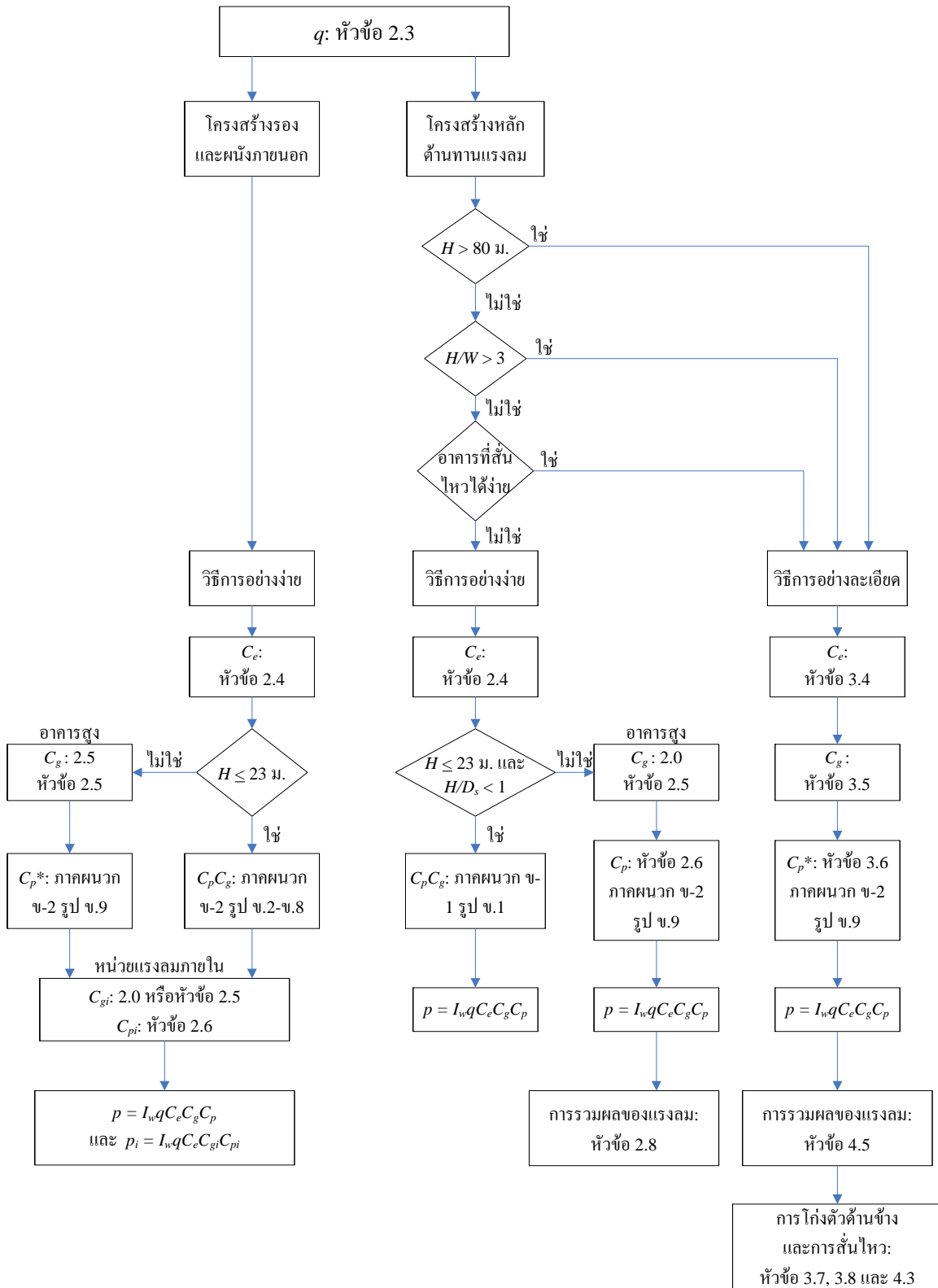


ก. รูปหน้าตัดด้านข้างของอาคาร



ข. รูปด้านบนของอาคาร

รูปที่ จ.3 ค่าสัมประสิทธิ์ของหน่วยแรงลมสำหรับอาคารที่มีความสูงมากกว่าความกว้าง และมีหลังคาอยู่ในแนวราบ



รูปที่ จ.4 แผนภาพขั้นตอนการคำนวณแรงลมและการตอบสนองในทิศทางลมโดยวิธีการอย่างง่ายและวิธีการอย่างละเอียด

## ภาคผนวก ฉ

ตารางค่าสัมประสิทธิ์หน่วยแรงลมสูงสุดที่ได้จากการทดสอบในอุโมงค์ลม และค่าสัมประสิทธิ์หน่วยแรงลมสูงสุดที่จากการวิเคราะห์ทางสถิติ โดยวิธีการกระจายตัวค่าปลายสุดแบบที่ 1 วิธีการกระจายตัวค่าปลายสุดแบบทั่วไป และวิธีพิจารณาการกระจายตัวของข้อมูล ของอาคาร A และอาคาร B กับอาคาร C ตามลำดับ

แบ่งแสดงข้อมูลเป็นตาราง 2 แบบ คือ

1. TOWER A-A THE PROBABILITY DISTRIBUTION FOR THE PEAK OF REGION PEAK PRESSURE คือ ตารางแสดงค่าสัมประสิทธิ์หน่วยแรงลมสูงสุดที่ได้จากการทดสอบในอุโมงค์ลม กับค่าสัมประสิทธิ์หน่วยแรงลมสูงสุดที่จากการวิเคราะห์ทางสถิติ โดยวิธีการพิจารณาการกระจายตัวของข้อมูล ซึ่งแบ่งเป็นการกระจายตัวแบบ เกาส์เซียน และแกมมา ของอาคาร A สำหรับค่าสัมประสิทธิ์หน่วยแรงดันลม
2. TOWER A-A THE EXTREME VALUE DISTRIBUTION FOR THE PEAK OF REGION PEAK PRESSURE คือ ตารางแสดงค่าสัมประสิทธิ์หน่วยแรงลมสูงสุดที่ได้จากการทดสอบในอุโมงค์ลม กับค่าสัมประสิทธิ์หน่วยแรงลมสูงสุดที่จากการวิเคราะห์ทางสถิติ โดยวิธีการกระจายตัวค่าปลายสุดแบบที่ 1 วิธีการกระจายตัวค่าปลายสุดแบบทั่วไป ของอาคาร A สำหรับค่าสัมประสิทธิ์หน่วยแรงดันลม

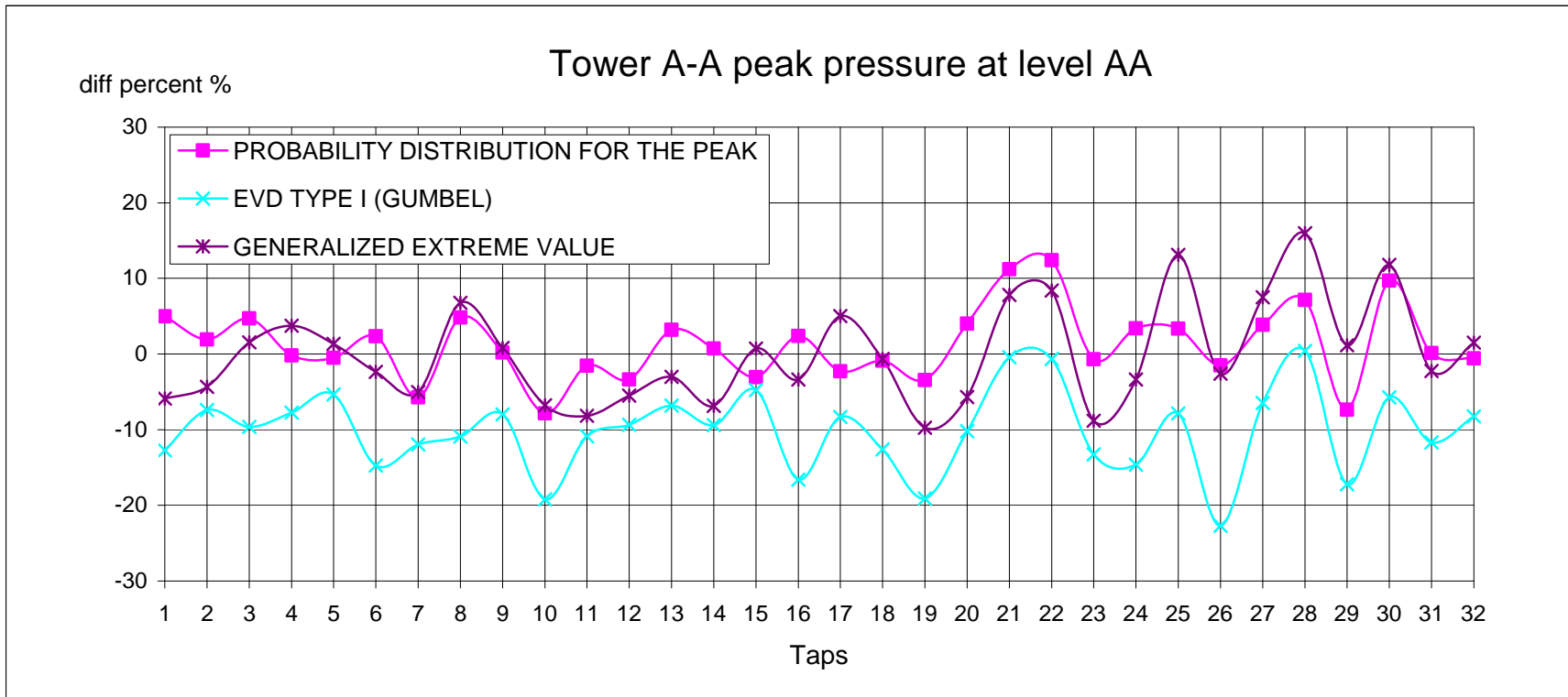
Tap A1 : ตำแหน่งที่ 1 ที่ระดับความสูง A

Degree : ทิศทางลม

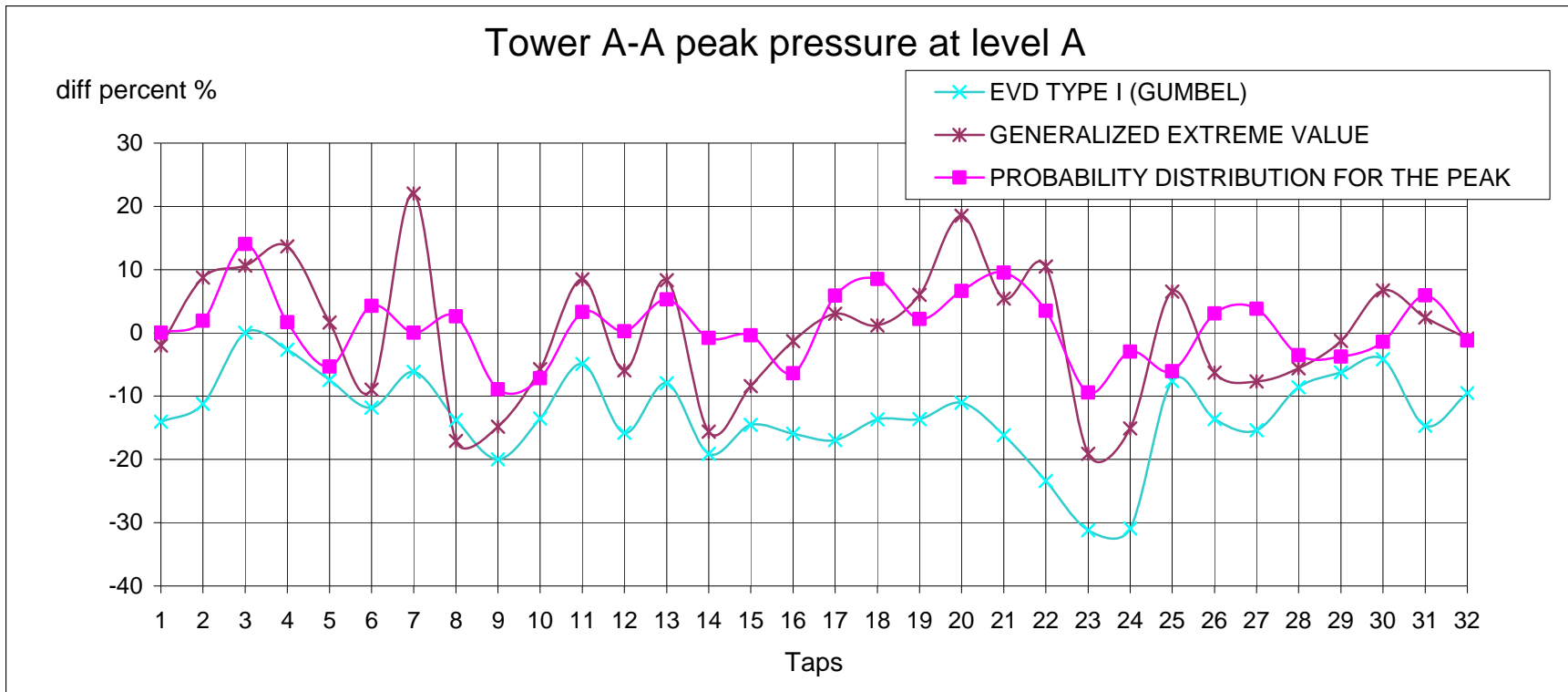
EVD TYPE I (GUMBEL) : การวิเคราะห์ทางสถิติ โดยวิธีการกระจายตัวค่าปลายสุดแบบที่ 1

GENERALIZED EXTREME VALUE : การวิเคราะห์ทางสถิติ โดยวิธีการกระจายตัวค่าปลายสุดแบบทั่วไป

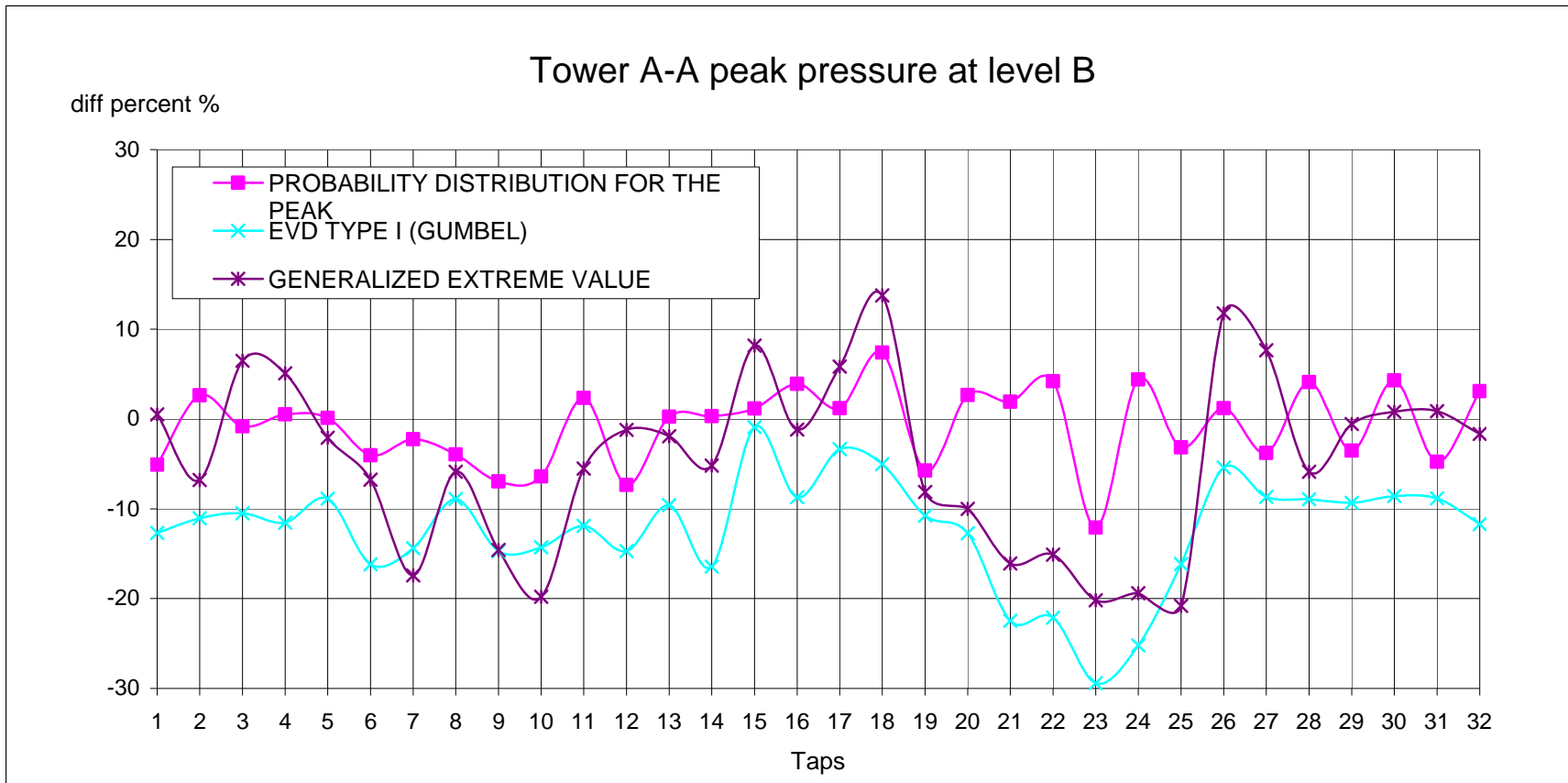
PROBABILITY DISTRIBUTION FOR THE PEAK : การวิเคราะห์ทางสถิติ โดยวิธีพิจารณาการกระจายตัวของข้อมูล



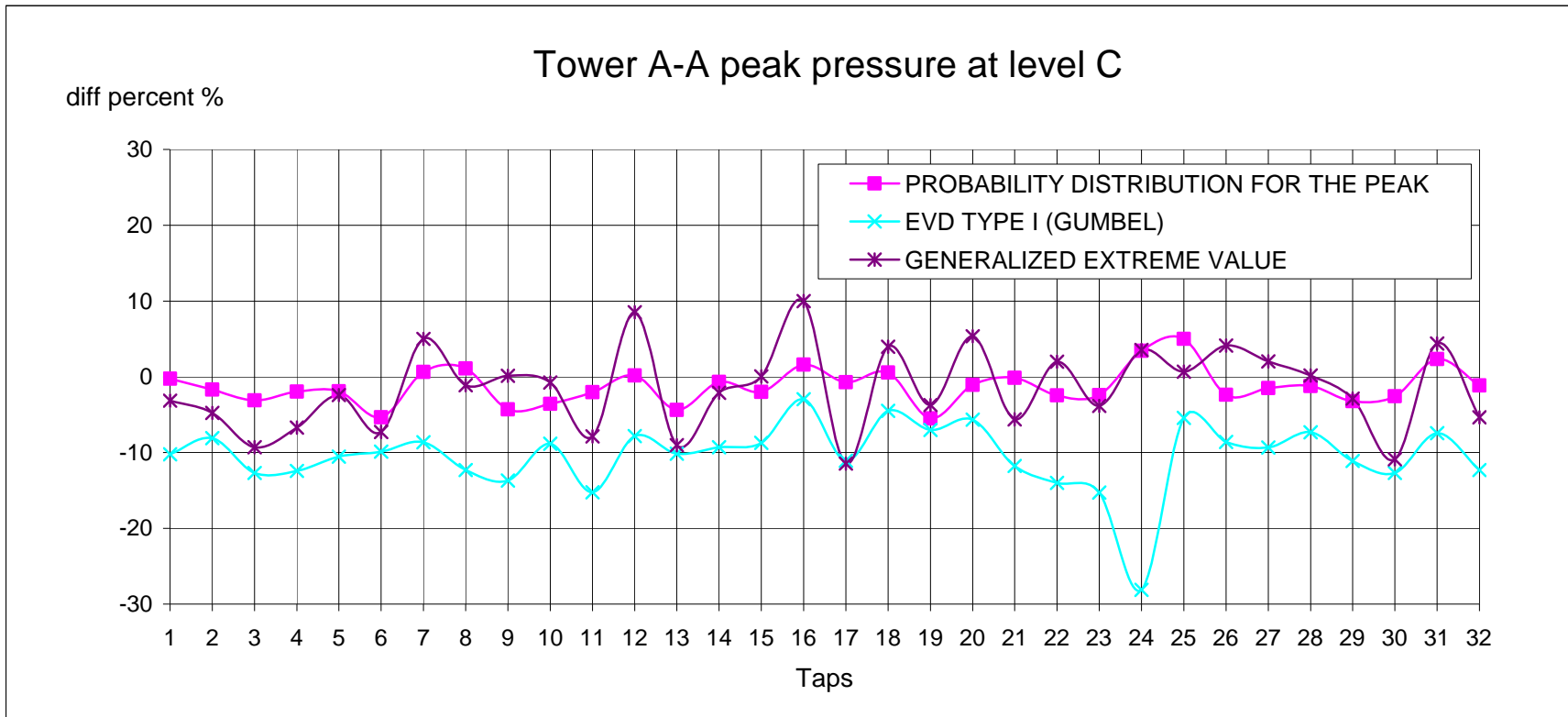
รูปที่ จ.1 เปรียบเทียบความแตกต่างระหว่างค่าหน่วยแรงดันลมสูงสุดจากการทดสอบ กับค่าที่ได้จากการวิเคราะห์ทางสถิติ โดยวิธีการกระจายตัวค่าปลายสุดแบบที่ 1 วิธีการกระจายตัวค่าปลายสุดแบบทั่วไป และวิธีพิจารณาการกระจายตัวของข้อมูล ของอาคาร A ที่ระดับความสูง AA



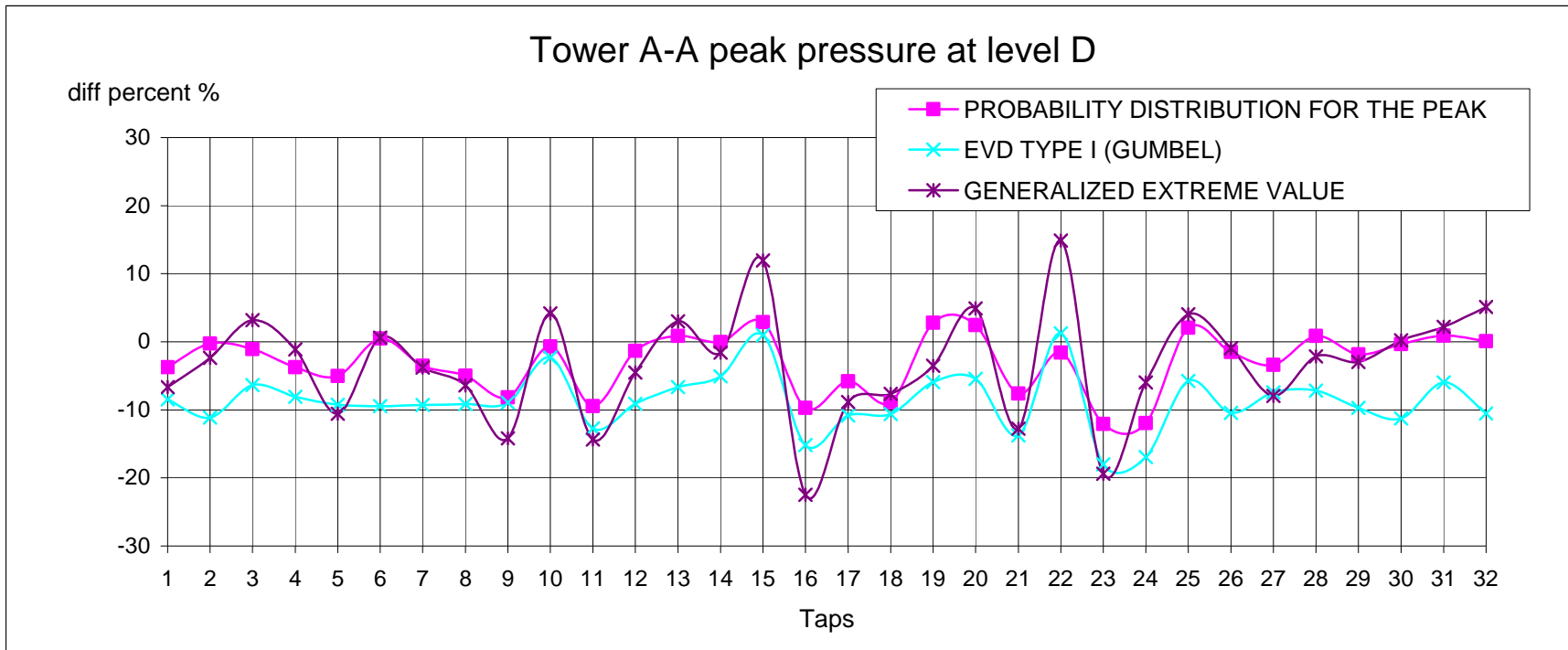
รูปที่ ๑.๒ เปรียบเทียบความแตกต่างระหว่างค่าหน่วยแรงดันลมสูงสุดจากการทดสอบ กับค่าที่ได้จากการวิเคราะห์ทางสถิติ โดยวิธีการกระจายตัวค่าปลายสุดแบบที่ 1 วิธีการกระจายตัวค่าปลายสุดแบบทั่วไป และวิธีพิจารณาการกระจายตัวของข้อมูล ของอาคาร A ที่ระดับความสูง A



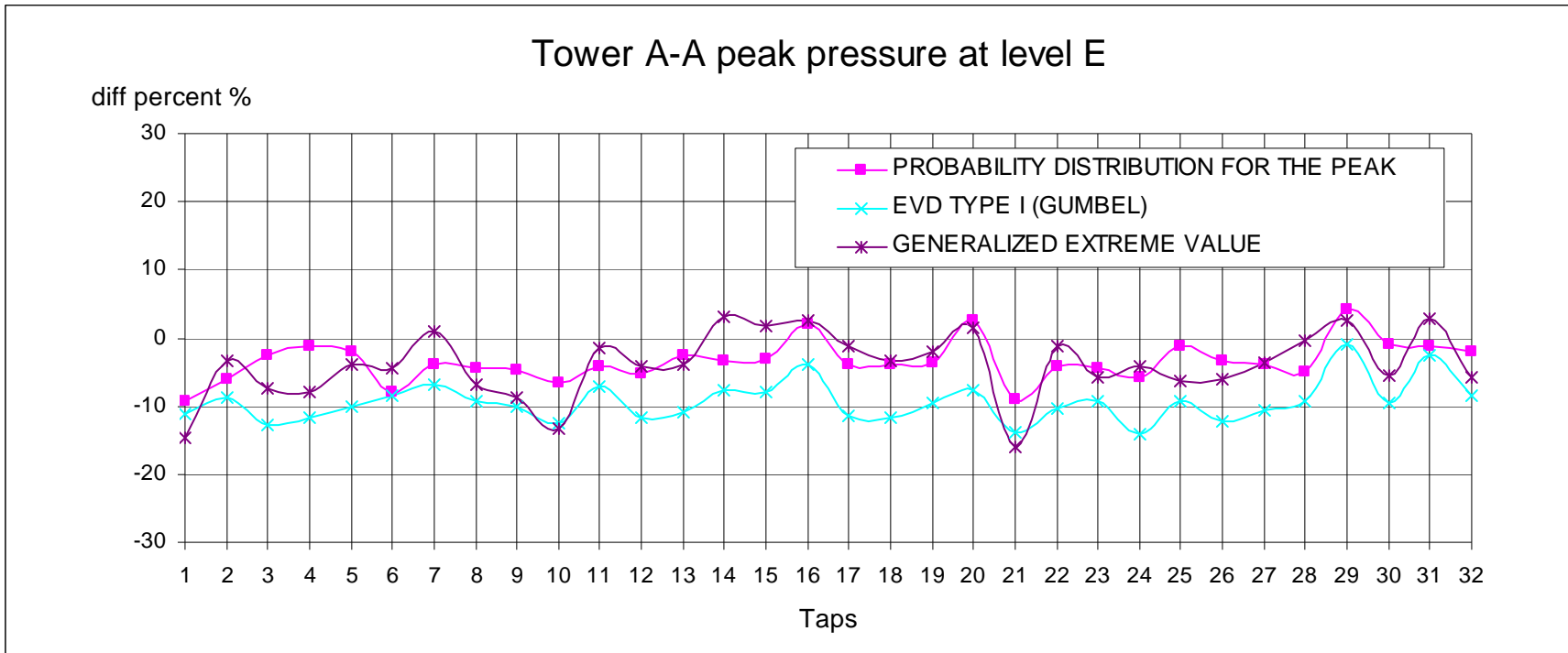
รูปที่ ๓.3 เปรียบเทียบความแตกต่างระหว่างค่าหน่วยแรงด้นลมสูงสุดจากการทดสอบ กับค่าที่ได้จากการวิเคราะห์ทางสถิติ โดยวิธีการกระจายตัวค่าปลายสุดแบบที่ 1 วิธีการกระจายตัวค่าปลายสุดแบบทั่วไป และวิธีพิจารณาการกระจายตัวของข้อมูล ของอาคาร A ที่ระดับความสูง B



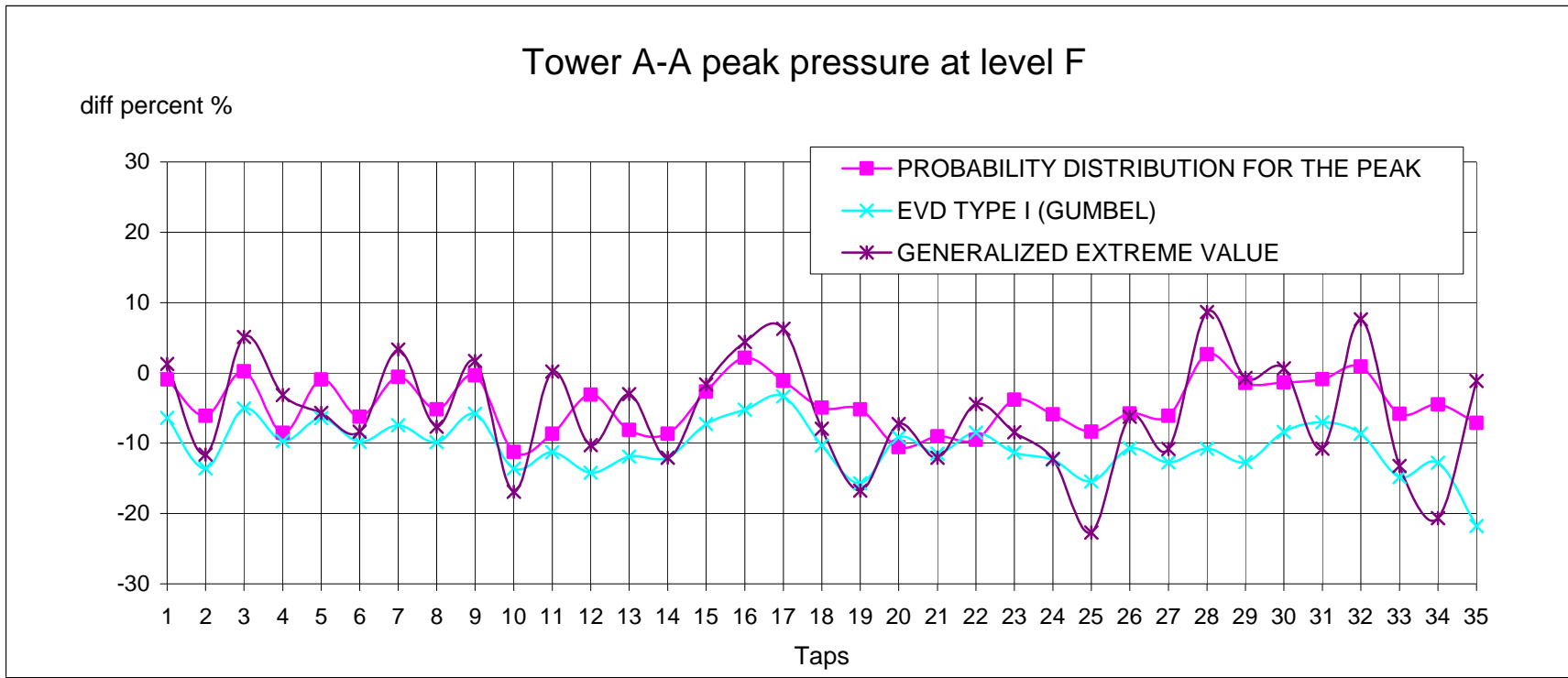
รูปที่ จ.4 เปรียบเทียบความแตกต่างระหว่างค่าหน่วยแรงคั่นลมสูงสุดจากการทดสอบ กับค่าที่ได้จากการวิเคราะห์ทางสถิติ โดยวิธีการกระจายตัวค่าปลายสุดแบบที่ 1 วิธีการกระจายตัวค่าปลายสุดแบบทั่วไป และวิธีพิจารณาการกระจายตัวของข้อมูล ของอาคาร A ที่ระดับความสูง C



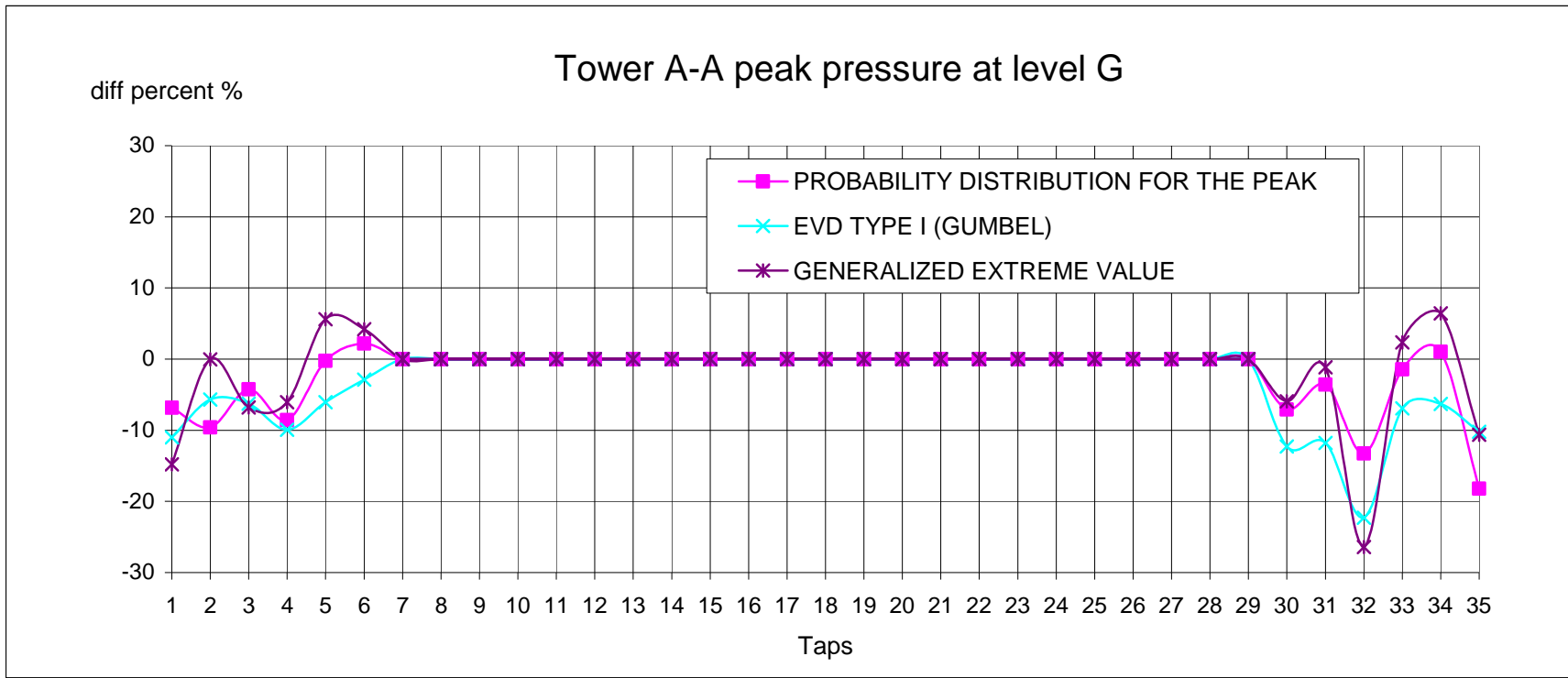
รูปที่ ๓.๕ เปรียบเทียบความแตกต่างระหว่างค่าหน่วยแรงดันลมสูงสุดจากการทดสอบ กับค่าที่ได้จากการวิเคราะห์ทางสถิติ โดยวิธีการกระจายตัวค่าปลายสุดแบบที่ 1 วิธีการกระจายตัวค่าปลายสุดแบบทั่วไป และวิธีพิจารณาการกระจายตัวของข้อมูล ของอาคาร A ที่ระดับความสูง D



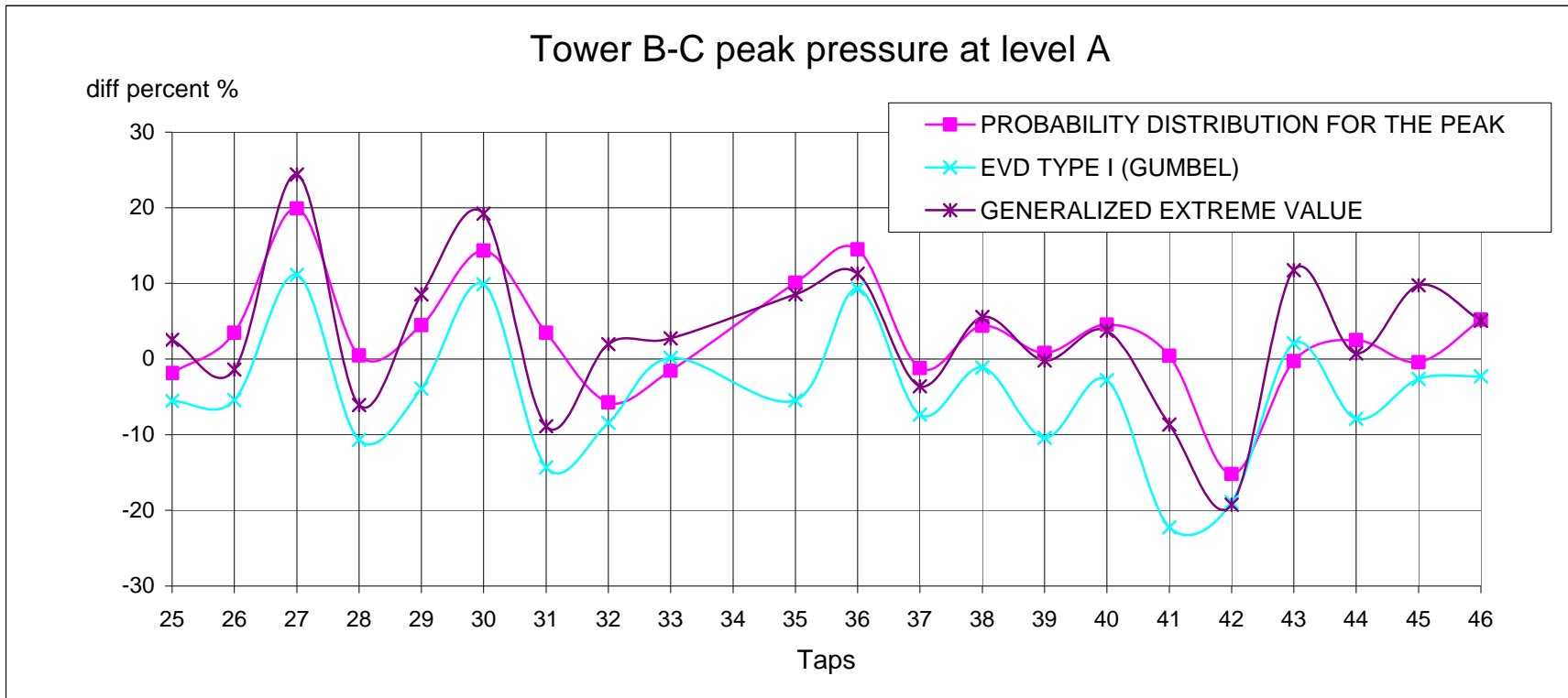
รูปที่ ๖.๖ เปรียบเทียบความแตกต่างระหว่างค่าหน่วยแรงดันลมสูงสุดจากการทดสอบ กับค่าที่ได้จากการวิเคราะห์ทางสถิติ โดยวิธีการกระจายตัวค่าปลายสุดแบบที่ 1 วิธีการกระจายตัวค่าปลายสุดแบบทั่วไป และวิธีพิจารณาการกระจายตัวของข้อมูล ของอาคาร A ที่ระดับความสูง E



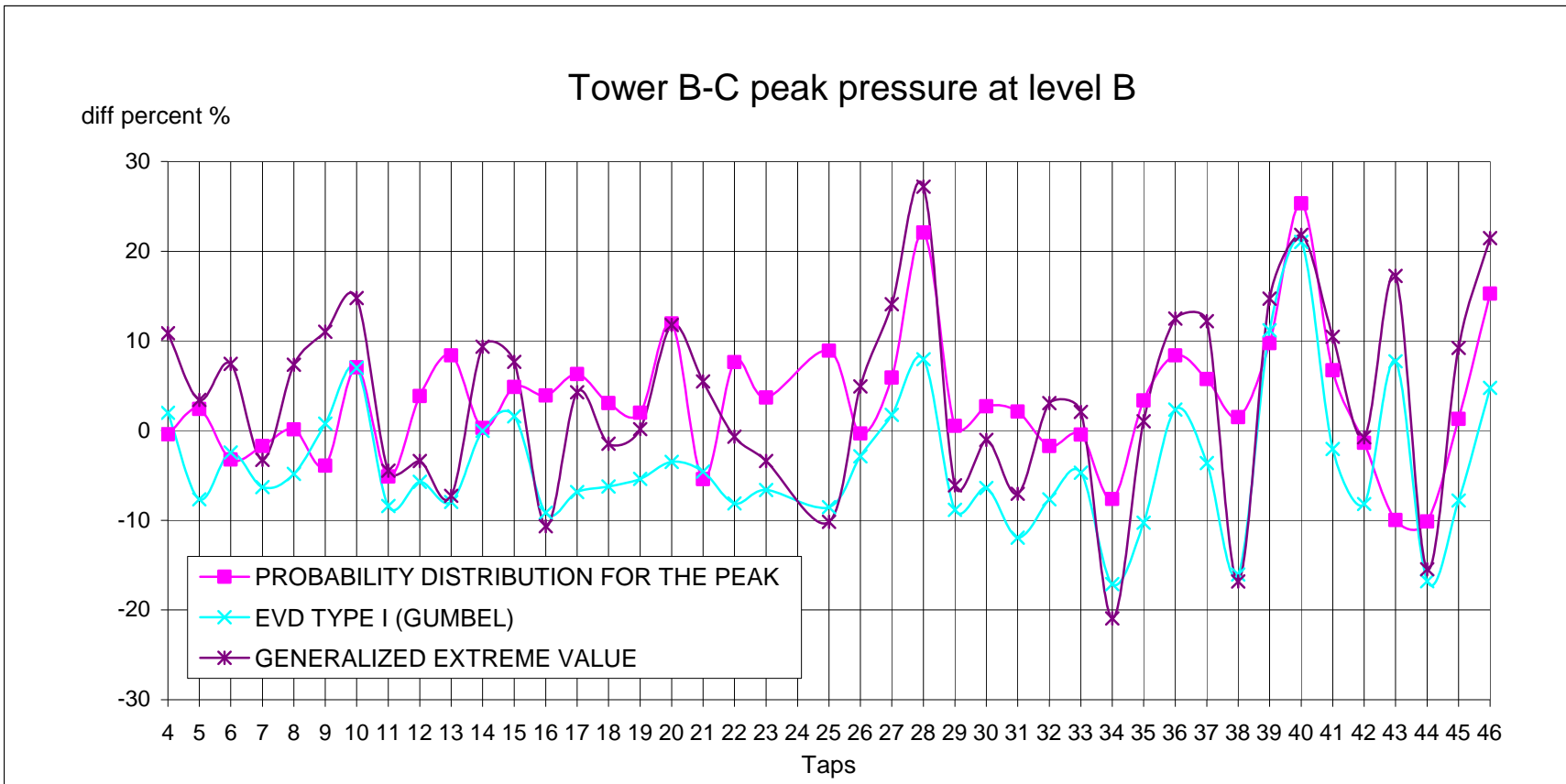
รูปที่ ๗.7 เปรียบเทียบความแตกต่างระหว่างค่าหน่วยแรงดันลมสูงสุดจากการทดสอบ กับค่าที่ได้จากการวิเคราะห์ทางสถิติ โดยวิธีการกระจายตัวค่าปลายสุดแบบที่ 1 วิธีการกระจายตัวค่าปลายสุดแบบทั่วไป และวิธีพิจารณาการกระจายตัวของข้อมูล ของอาคาร A ที่ระดับความสูง F



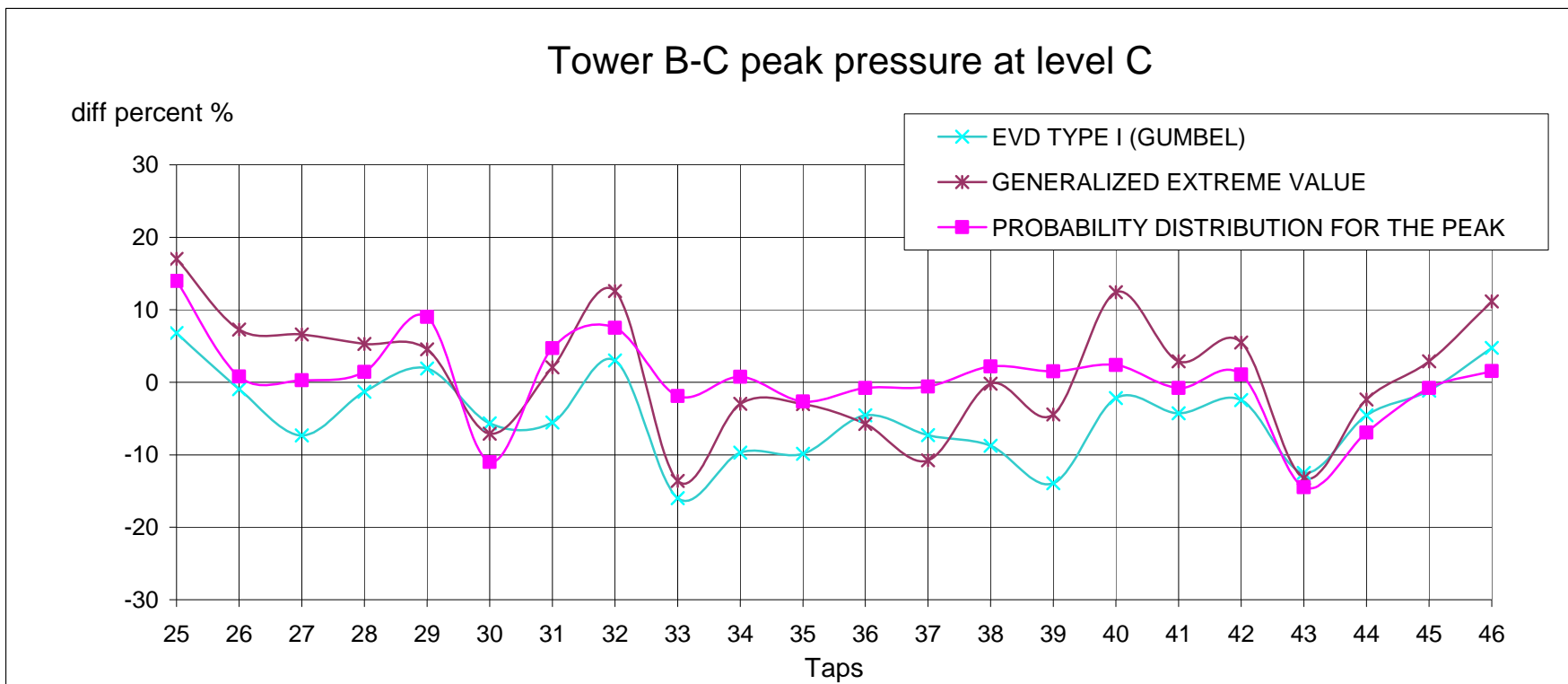
รูปที่ ๘.๘ เปรียบเทียบความแตกต่างระหว่างค่าหน่วยแรงคั้นลมสูงสุดจากการทดสอบ กับค่าที่ได้จากการวิเคราะห์ทางสถิติ โดยวิธีการกระจายตัวค่าปลายสุดแบบที่ 1 วิธีการกระจายตัวค่าปลายสุดแบบทั่วไป และวิธีพิจารณาการกระจายตัวของข้อมูล ของอาคาร A ที่ระดับความสูง G



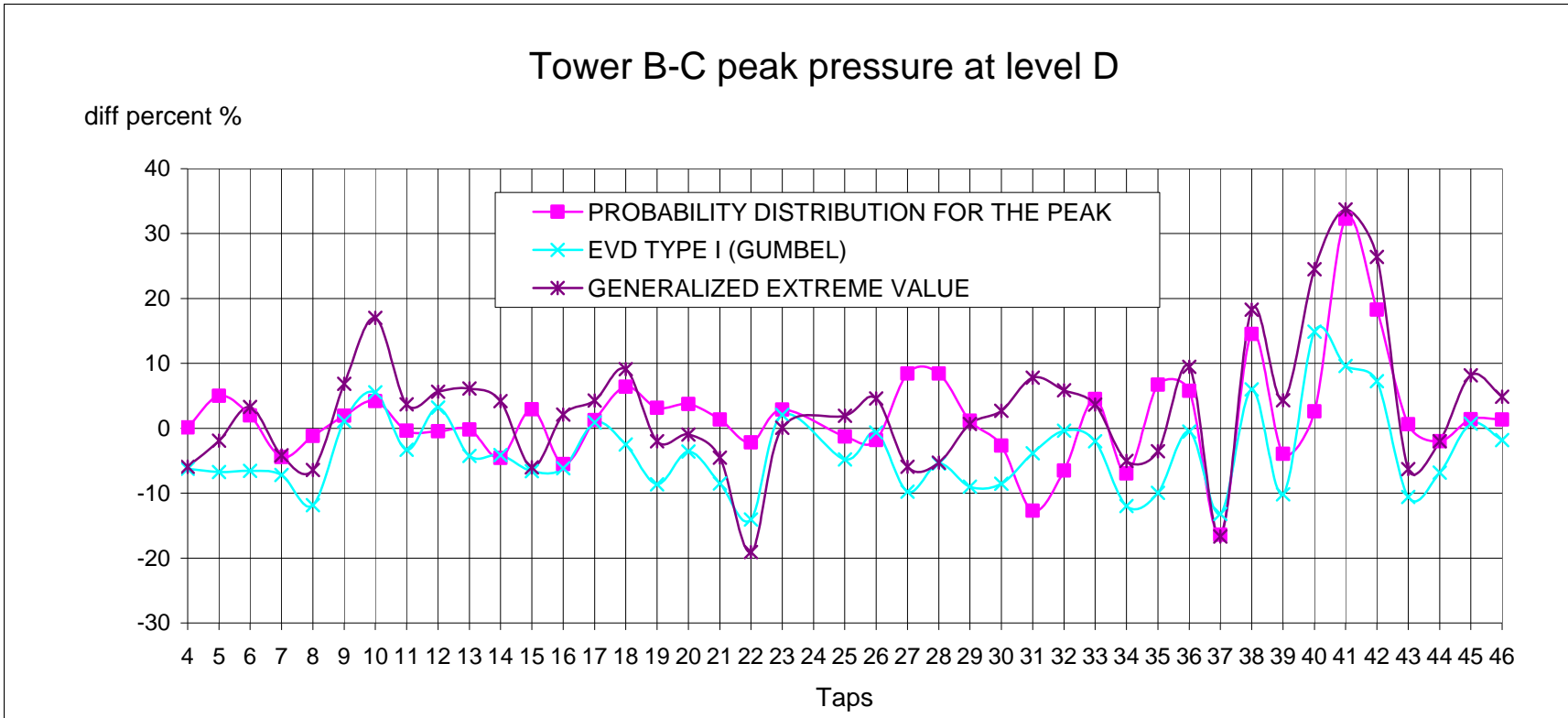
รูปที่ จ.17 เปรียบเทียบความแตกต่างระหว่างค่าหน่วยแรงดันลมสูงสุดจากการทดสอบ กับค่าที่ได้จากการวิเคราะห์ทางสถิติ โดยวิธีการกระจายตัวค่าปลายสุดแบบที่ 1 วิธีการกระจายตัวค่าปลายสุดแบบทั่วไป และวิธีพิจารณาการกระจายตัวของข้อมูล ของอาคาร B กับอาคาร C ที่ระดับความสูง A



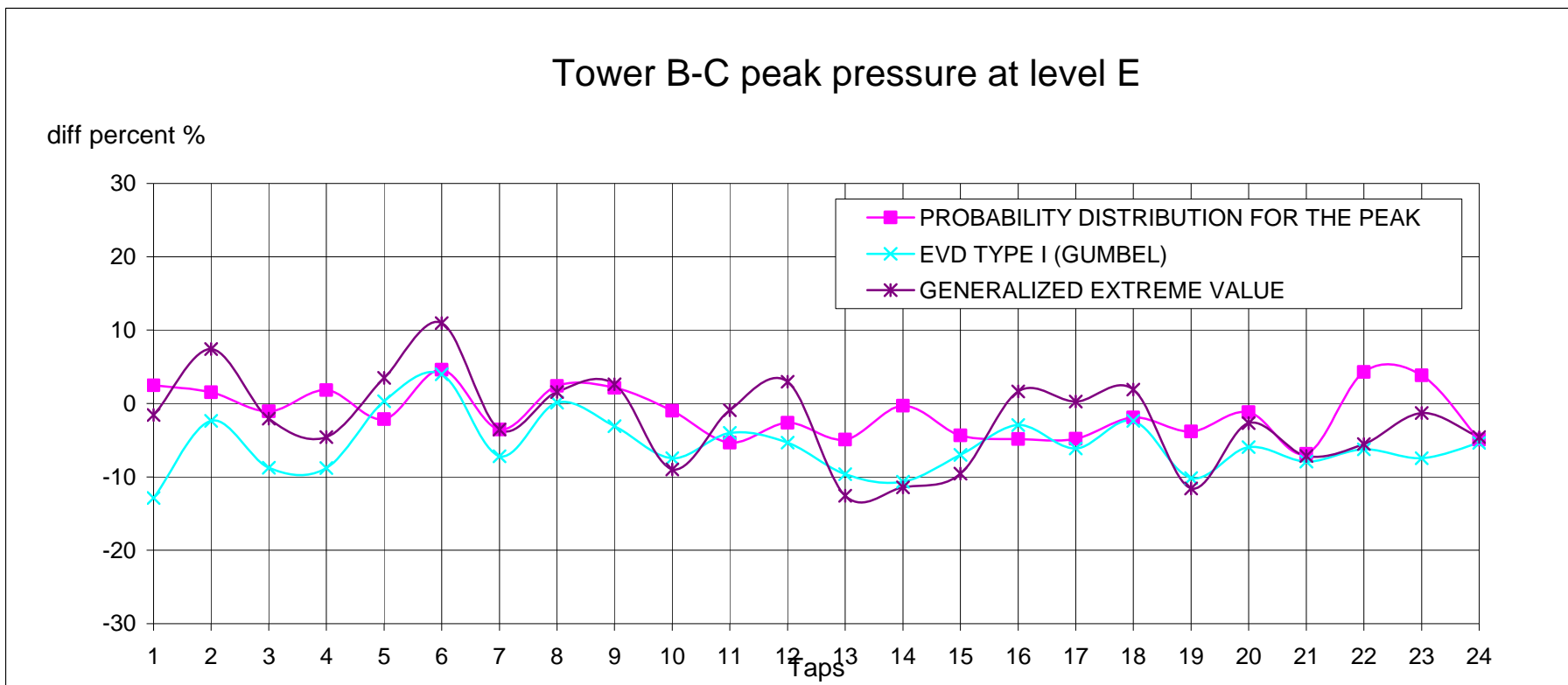
รูปที่ ๑.18 เปรียบเทียบความแตกต่างระหว่างค่าหน่วยแรงค้ำลมสูงสุดจากการทดสอบ กับค่าที่ได้จากการวิเคราะห์ทางสถิติ โดยวิธีการกระจายตัวค่าปลายสุดแบบที่ 1 วิธีการกระจายตัวค่าปลายสุดแบบทั่วไป และวิธีพิจารณาการกระจายตัวของข้อมูล ของอาคาร B กับอาคาร C ที่ระดับความสูง B



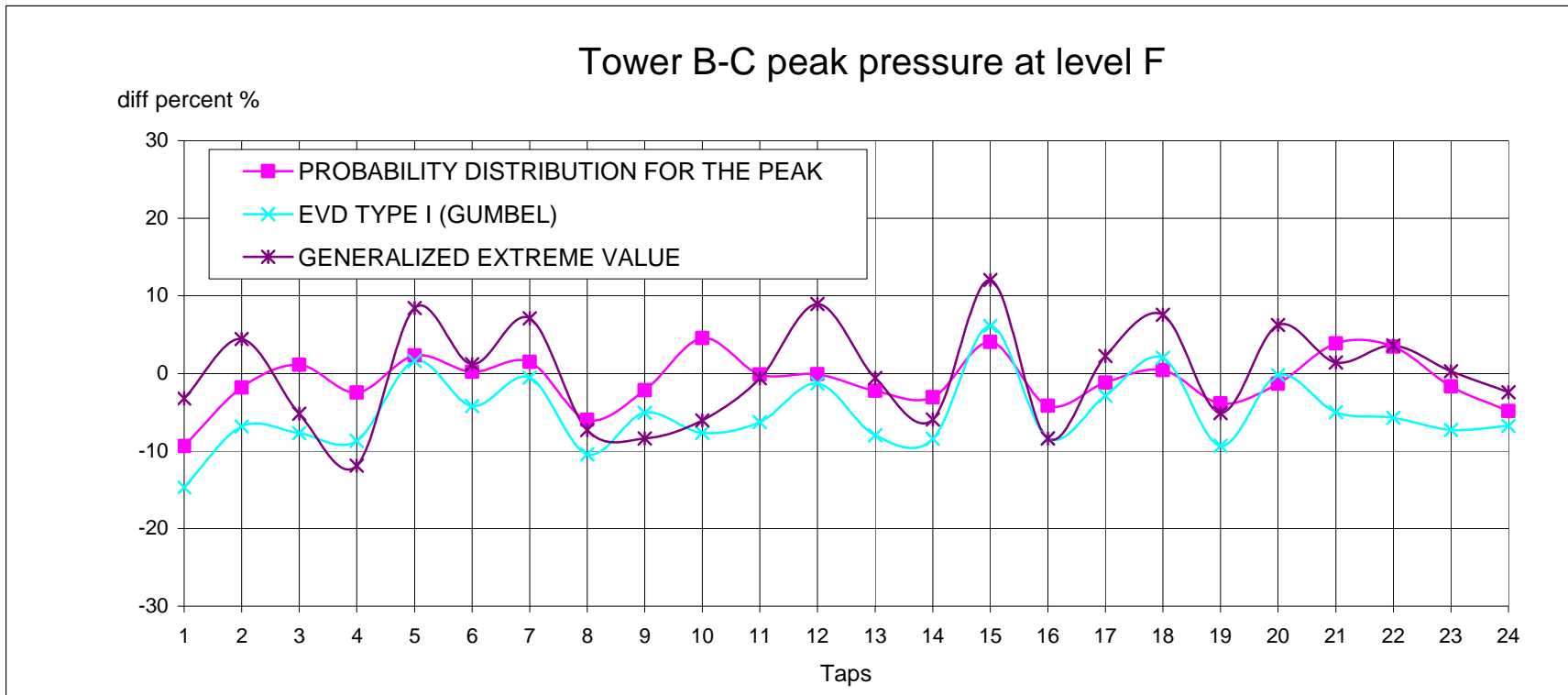
รูปที่ ๑.19 เปรียบเทียบความแตกต่างระหว่างค่าหน่วยแรงดันลมสูงสุดจากการทดสอบ กับค่าที่ได้จากการวิเคราะห์ทางสถิติ โดยวิธีการกระจายตัวค่าปลายสุดแบบที่ 1 วิธีการกระจายตัวค่าปลายสุดแบบทั่วไป และวิธีพิจารณาการกระจายตัวของข้อมูล ของอาคาร B กับอาคาร C ที่ระดับความสูง C



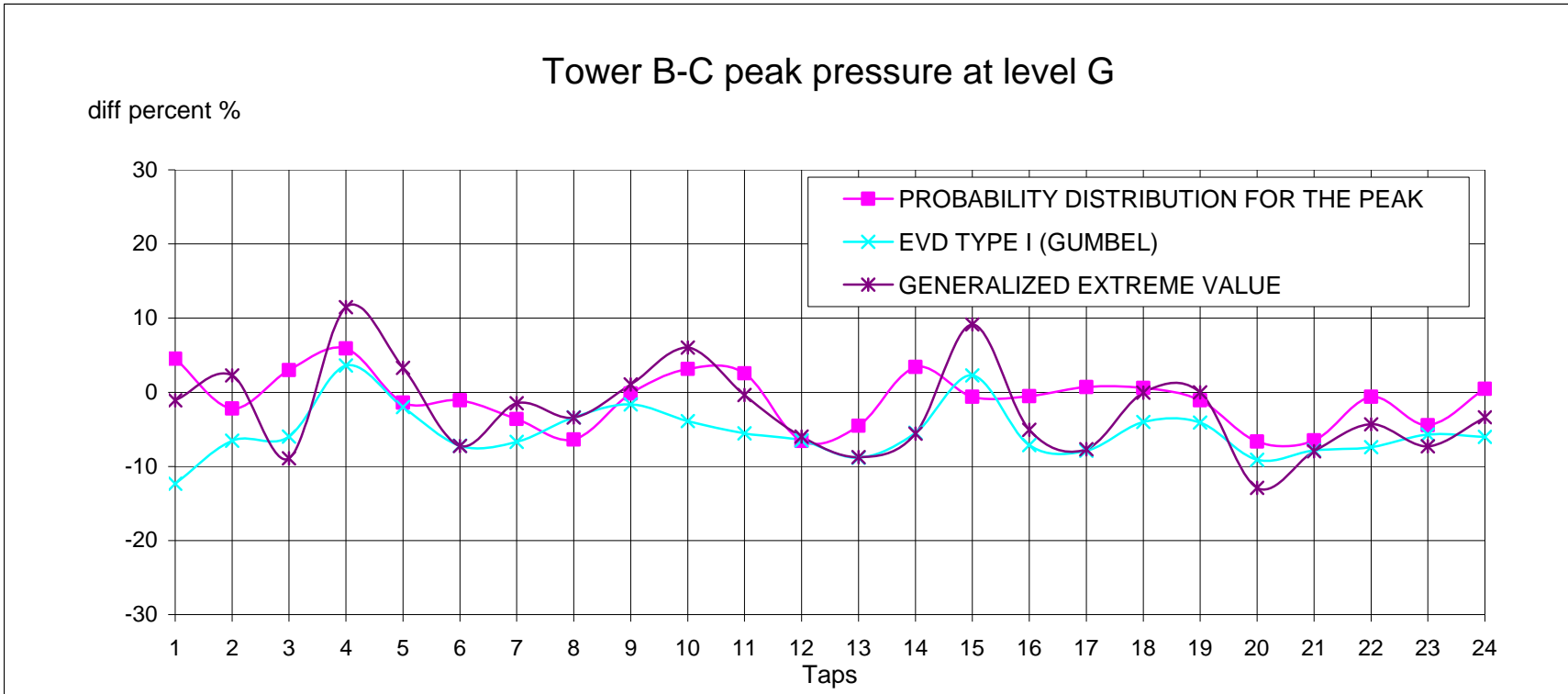
รูปที่ จ.20 เปรียบเทียบความแตกต่างระหว่างค่าหน่วยแรงดันลมสูงสุดจากการทดสอบ กับค่าที่ได้จากการวิเคราะห์ทางสถิติ โดยวิธีการกระจายตัวค่าปลายสุดแบบที่ 1 วิธีการกระจายตัวค่าปลายสุดแบบทั่วไป และวิธีพิจารณาการกระจายตัวของข้อมูล ของอาคาร B กับอาคาร C ที่ระดับความสูง D



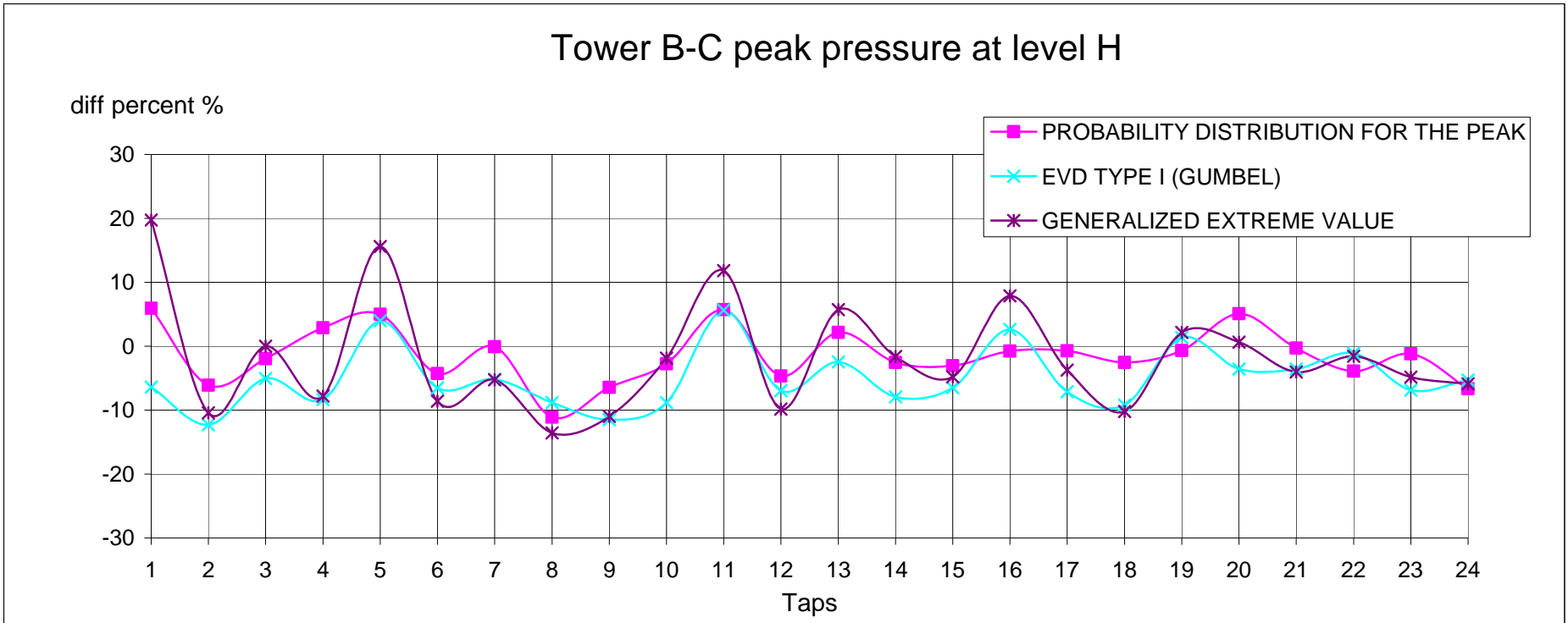
รูปที่ จ.21 เปรียบเทียบความแตกต่างระหว่างค่าหน่วยแรงดันลมสูงสุดจากการทดสอบ กับค่าที่ได้จากการวิเคราะห์ทางสถิติ โดยวิธีการกระจายตัวค่าปลายสุดแบบที่ 1 วิธีการกระจายตัวค่าปลายสุดแบบทั่วไป และวิธีพิจารณาการกระจายตัวของข้อมูล ของอาคาร B กับอาคาร C ที่ระดับความสูง E



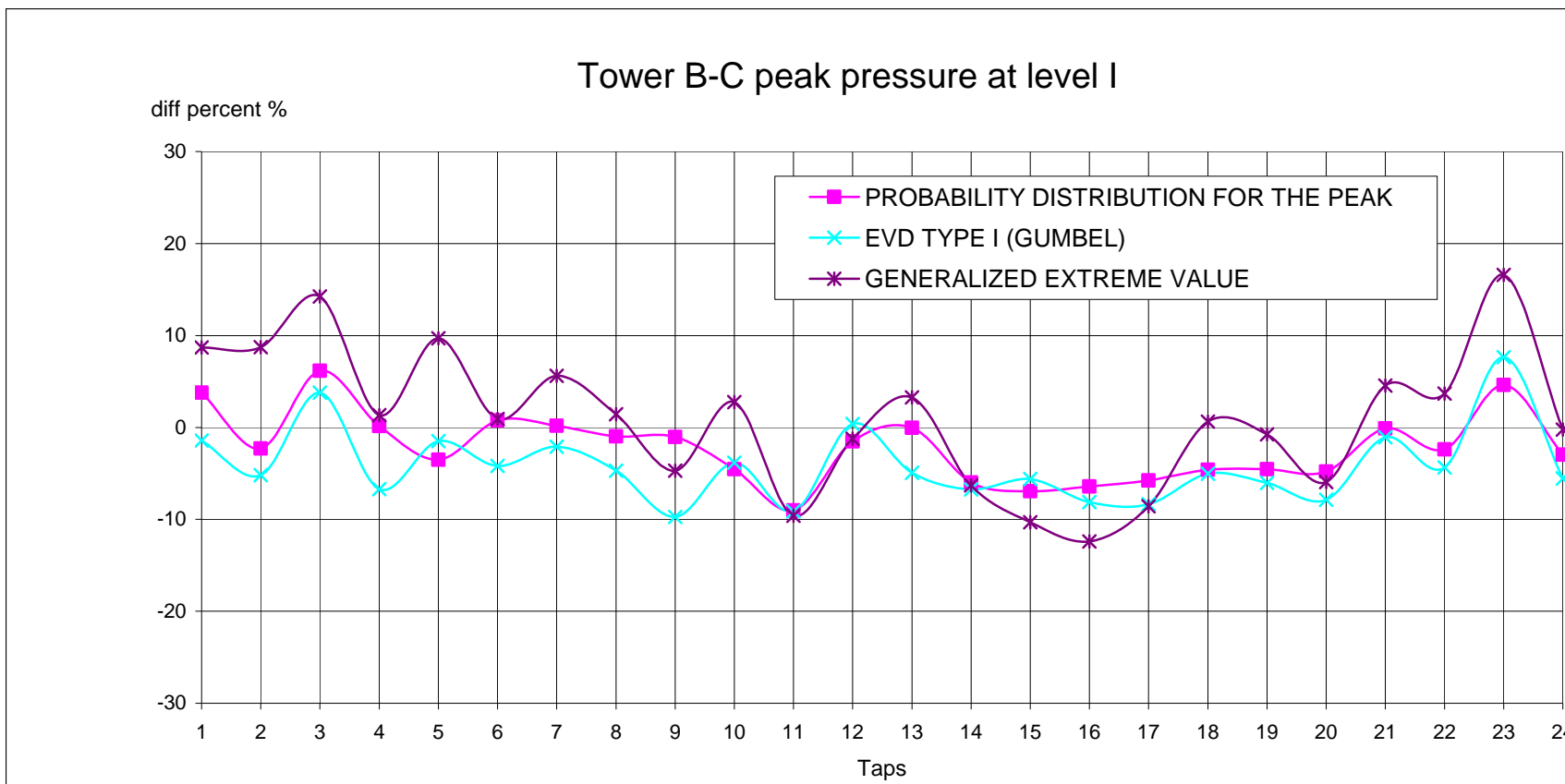
รูปที่ จ.22 เปรียบเทียบความแตกต่างระหว่างค่าหน่วยแรงดันลมสูงสุดจากการทดสอบ กับค่าที่ได้จากการวิเคราะห์ทางสถิติ โดยวิธีการกระจายตัวค่าปลายสุดแบบที่ 1 วิธีการกระจายตัวค่าปลายสุดแบบทั่วไป และวิธีพิจารณาการกระจายตัวของข้อมูล ของอาคาร B กับอาคาร C ที่ระดับความสูง F



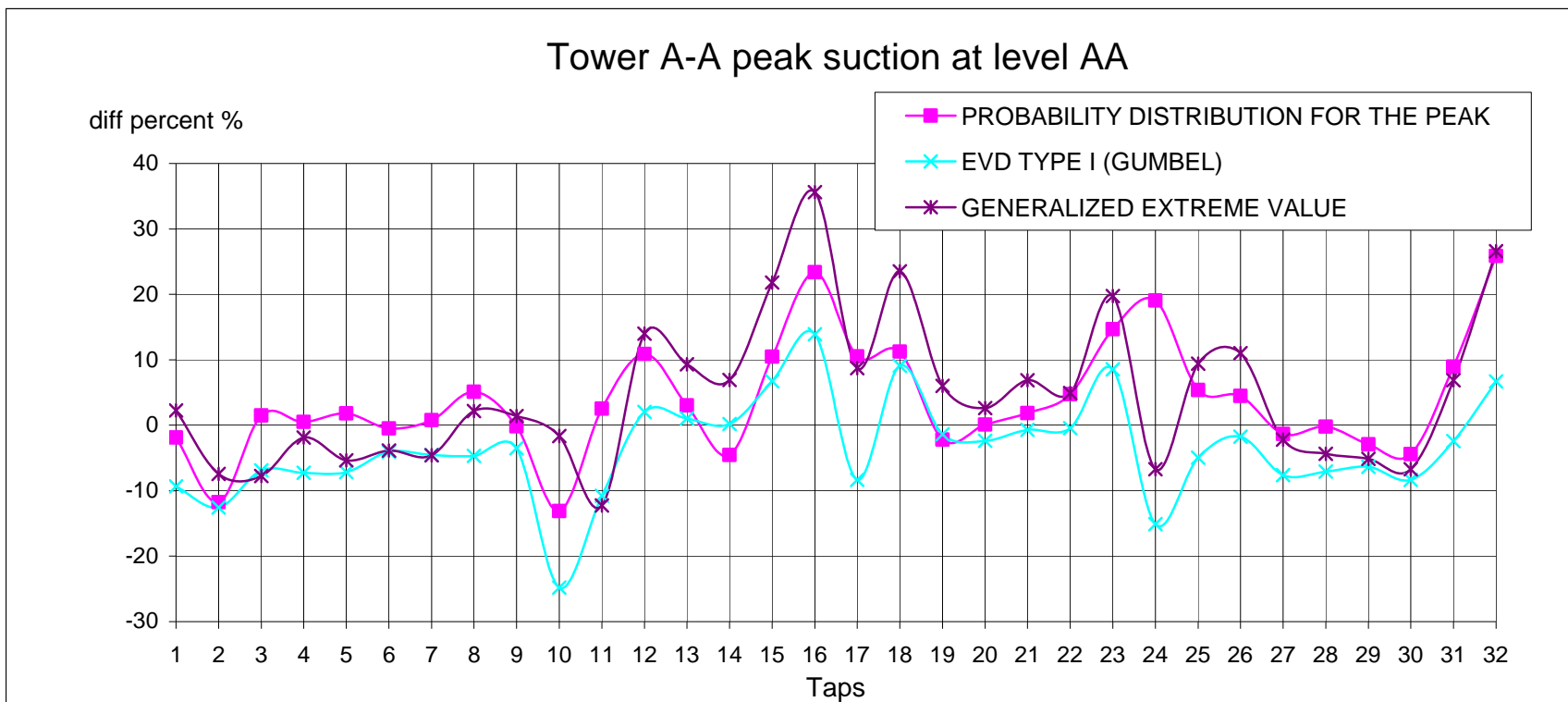
รูปที่ จ.23 เปรียบเทียบความแตกต่างระหว่างค่าหน่วยแรงดันลมสูงสุดจากการทดสอบ กับค่าที่ได้จากการวิเคราะห์ทางสถิติ โดยวิธีการกระจายตัวค่าปลายสุดแบบที่ 1 วิธีการกระจายตัวค่าปลายสุดแบบทั่วไป และวิธีพิจารณาการกระจายตัวของข้อมูล ของอาคาร B กับอาคาร C ที่ระดับความสูง G



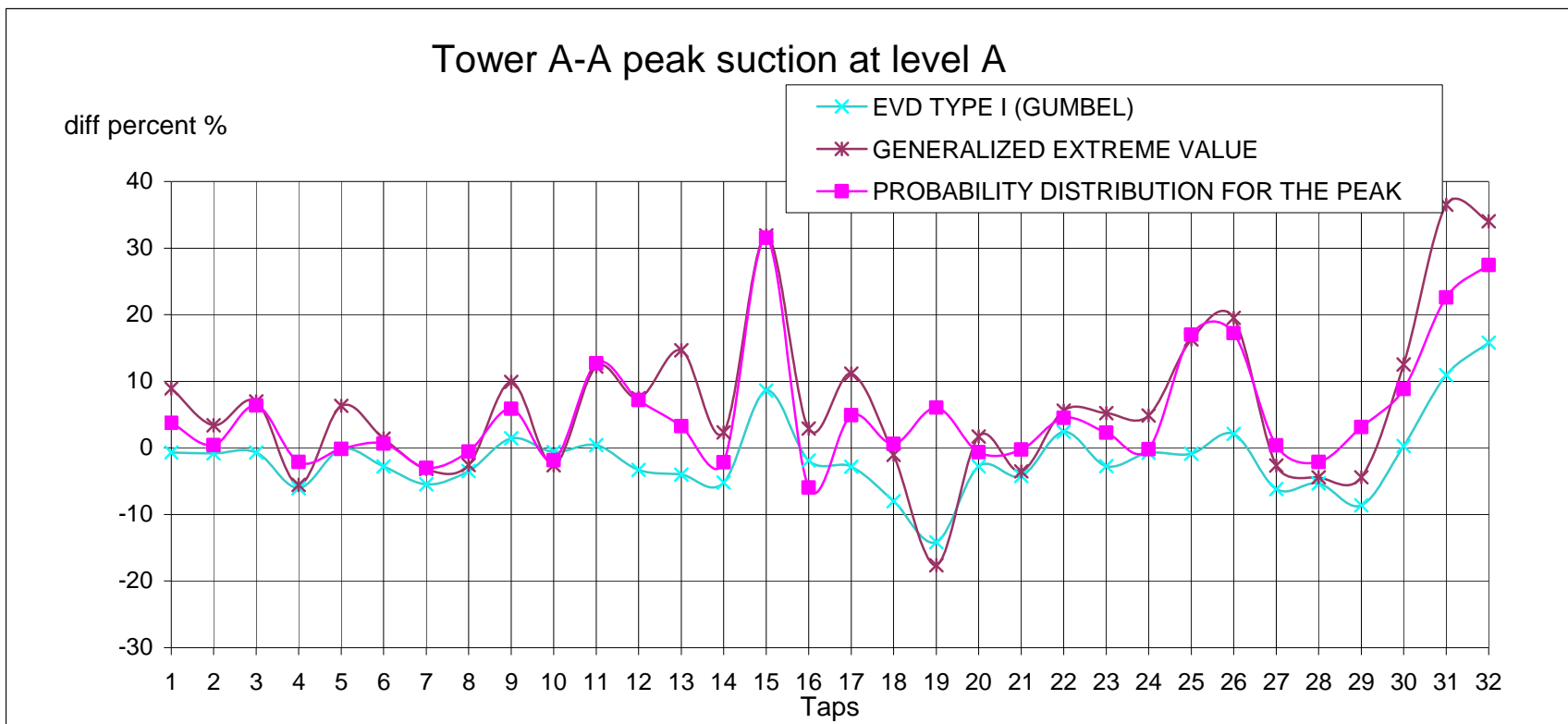
รูปที่ จ.24 เปรียบเทียบความแตกต่างระหว่างค่าหน่วยแรงดันลมสูงสุดจากการทดสอบ กับค่าที่ได้จากการวิเคราะห์ทางสถิติ โดยวิธีการกระจายตัวค่าปลายสุดแบบที่ 1 วิธีการกระจายตัวค่าปลายสุดแบบทั่วไป และวิธีพิจารณาการกระจายตัวของข้อมูล ของอาคาร B กับอาคาร C ที่ระดับความสูง H



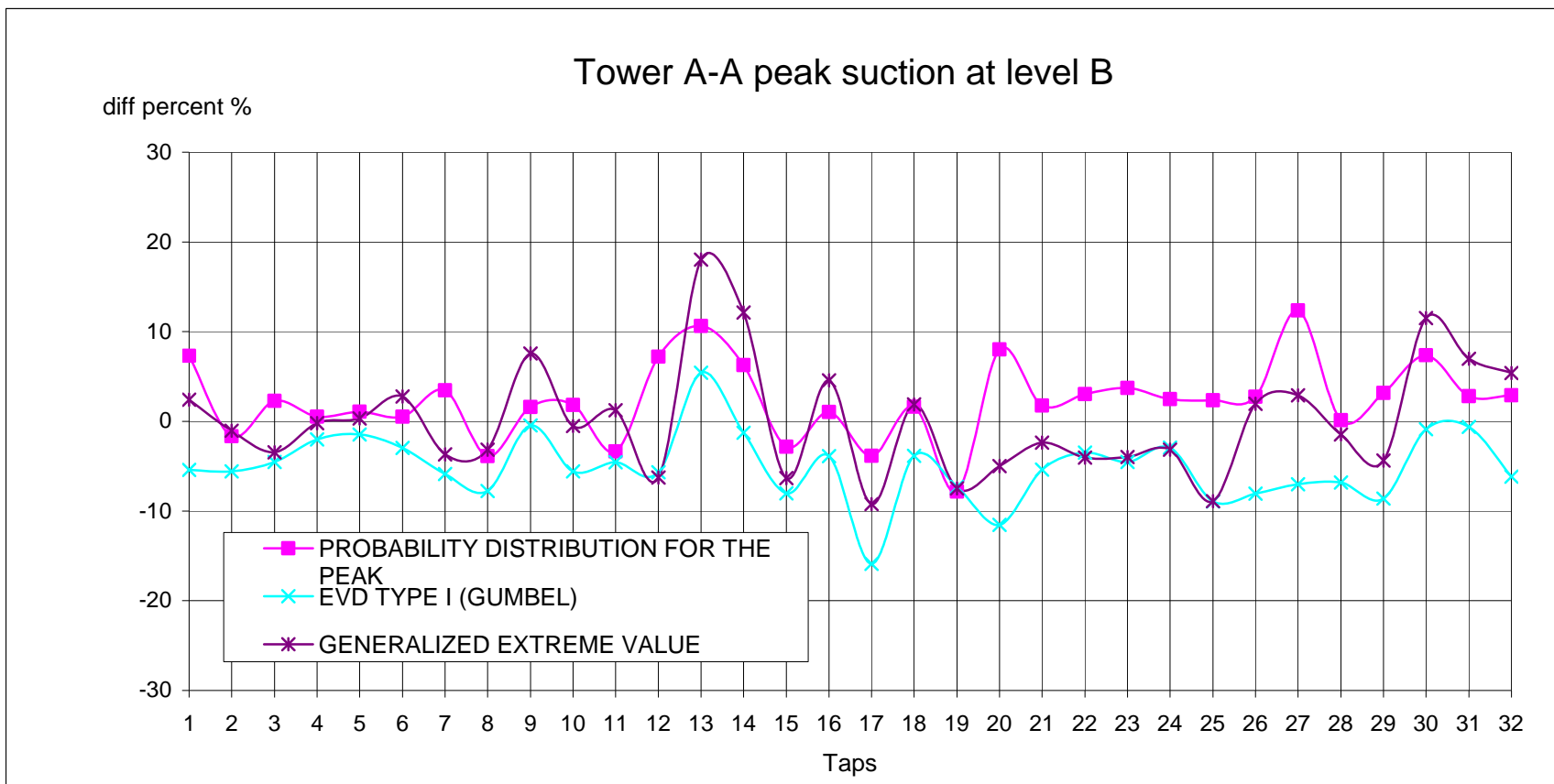
รูปที่ จ.25 เปรียบเทียบความแตกต่างระหว่างค่าหน่วยแรงดันลมสูงสุดจากการทดสอบ กับค่าที่ได้จากการวิเคราะห์ทางสถิติ โดยวิธีการกระจายตัวค่าปลายสุดแบบที่ 1 วิธีการกระจายตัวค่าปลายสุดแบบทั่วไป และวิธีพิจารณาการกระจายตัวของข้อมูล ของอาคาร B กับอาคาร C ที่ระดับความสูง I



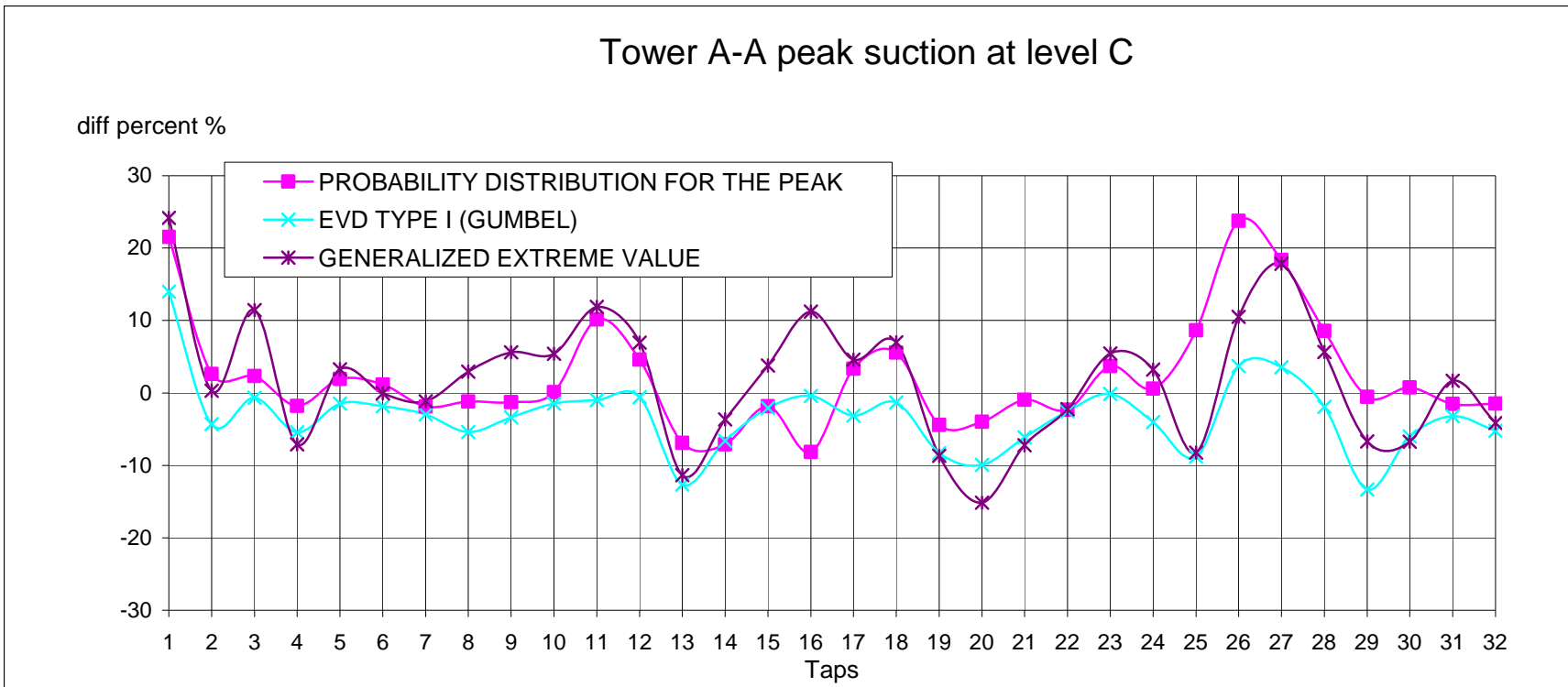
รูปที่ ๙.๙ เปรียบเทียบความแตกต่างระหว่างค่าหน่วยแรงลมดูดสูงสุดจากการทดสอบ กับค่าที่ได้จากการวิเคราะห์ทางสถิติ โดยวิธีการกระจายตัวค่าปลายสุดแบบที่ 1 วิธีการกระจายตัวค่าปลายสุดแบบทั่วไป และวิธีพิจารณาการกระจายตัวของข้อมูล ของอาคาร A ที่ระดับความสูง AA



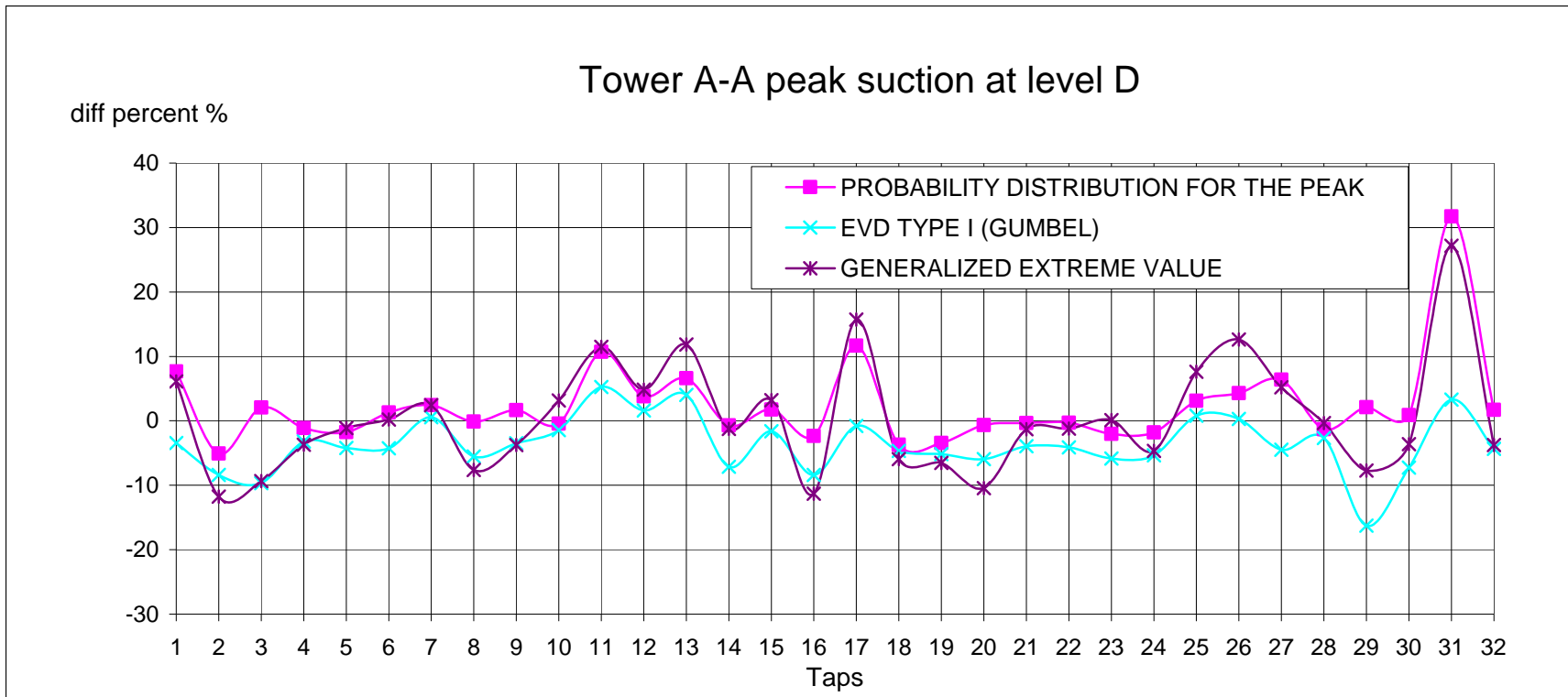
รูปที่ จ.10 เปรียบเทียบความแตกต่างระหว่างค่าหน่วยแรงลมดูดสูงสุดจากการทดสอบ กับค่าที่ได้จากการวิเคราะห์ทางสถิติ โดยวิธีการกระจายตัวค่าปลายสุดแบบที่ 1 วิธีการกระจายตัวค่าปลายสุดแบบทั่วไป และวิธีพิจารณาการกระจายตัวของข้อมูล ของอาคาร A ที่ระดับความสูง A



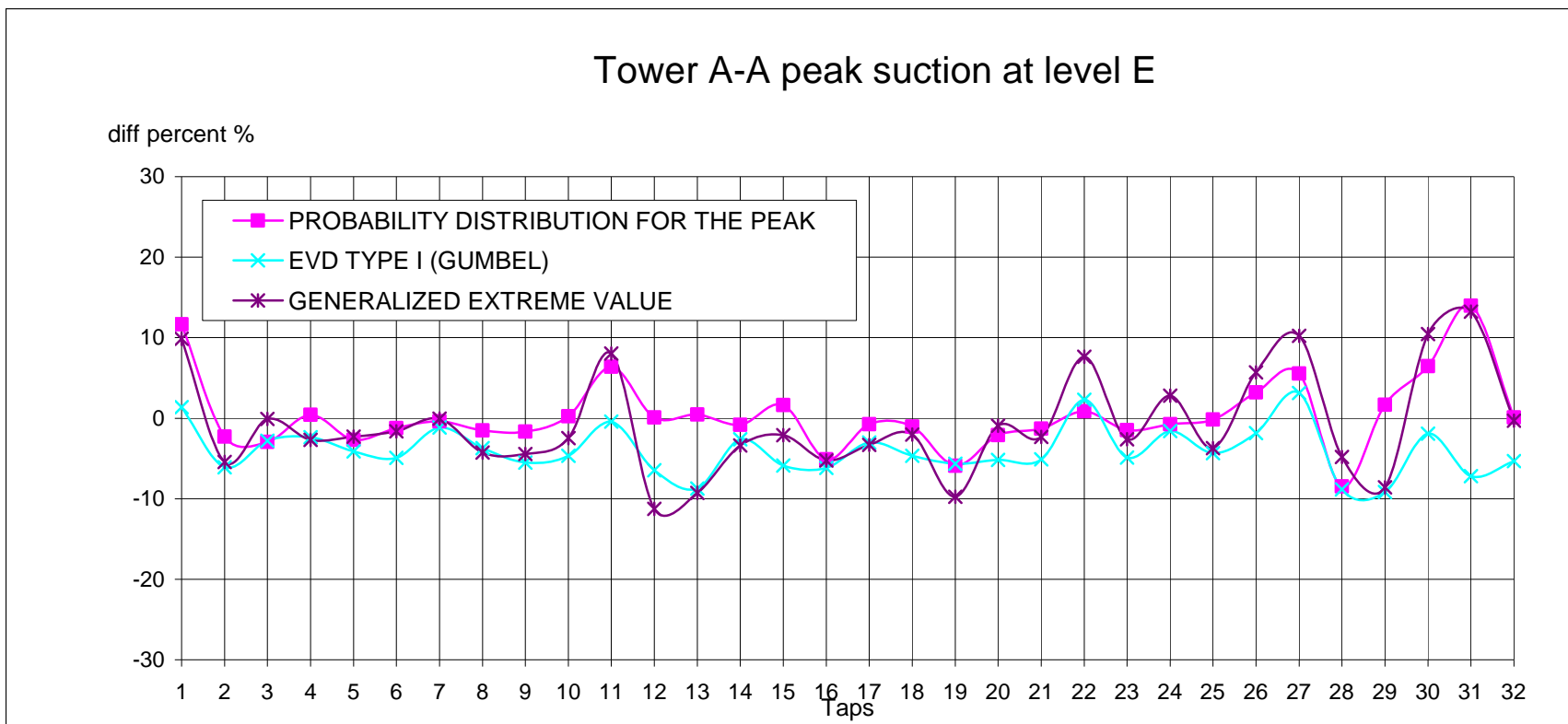
รูปที่ ๑.11 เปรียบเทียบความแตกต่างระหว่างค่าหน่วยแรงลมดูดสูงสุดจากการทดสอบ กับค่าที่ได้จากการวิเคราะห์ทางสถิติ โดยวิธีการกระจายตัวค่าปลายสุดแบบที่ 1 วิธีการกระจายตัวค่าปลายสุดแบบทั่วไป และวิธีพิจารณาการกระจายตัวของข้อมูล ของอาคาร A ที่ระดับความสูง B



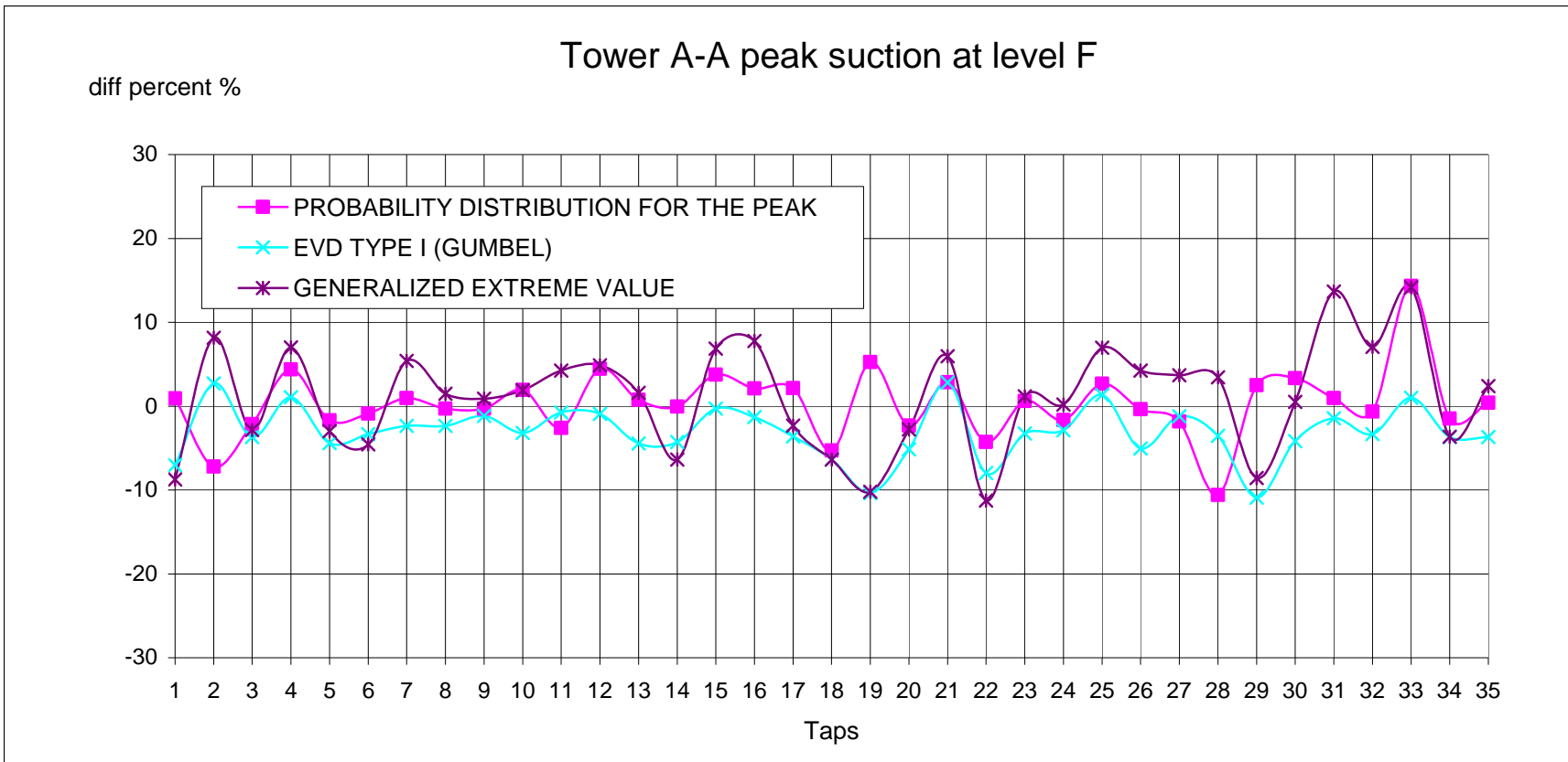
รูปที่ จ.12 เปรียบเทียบความแตกต่างระหว่างค่าหน่วยแรงลมดูดสูงสุดจากการทดสอบ กับค่าที่ได้จากการวิเคราะห์ทางสถิติ โดยวิธีการกระจายตัวค่าปลายสุดแบบที่ 1 วิธีการกระจายตัวค่าปลายสุดแบบทั่วไป และวิธีพิจารณาการกระจายตัวของข้อมูล ของอาคาร A ที่ระดับความสูง C



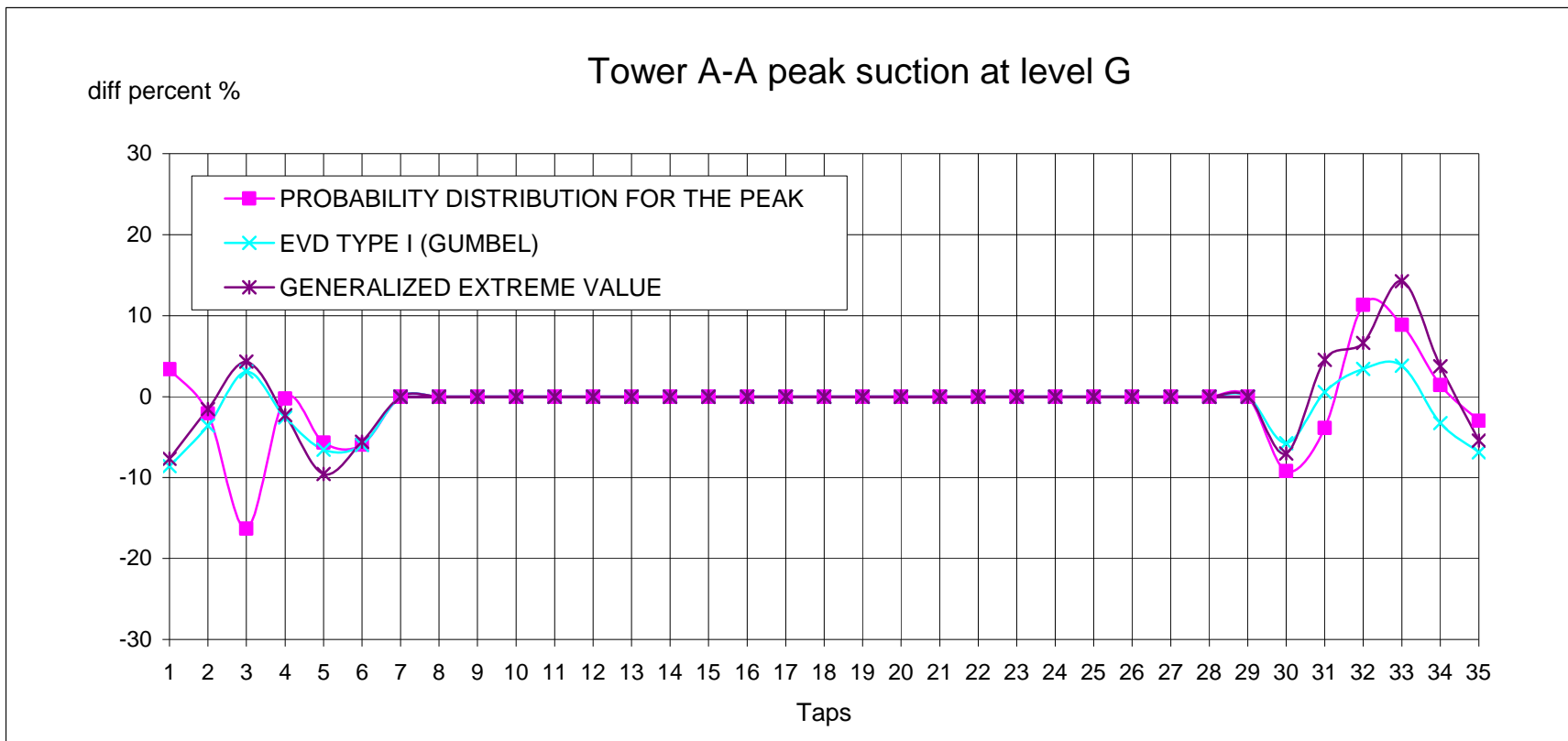
รูปที่ ๑.13 เปรียบเทียบความแตกต่างระหว่างค่าหน่วยแรงลมดูดสูงสุดจากการทดสอบ กับค่าที่ได้จากการวิเคราะห์ทางสถิติ โดยวิธีการกระจายตัวค่าปลายสุดแบบที่ 1 วิธีการกระจายตัวค่าปลายสุดแบบทั่วไป และวิธีพิจารณาการกระจายตัวของข้อมูล ของอาคาร A ที่ระดับความสูง D



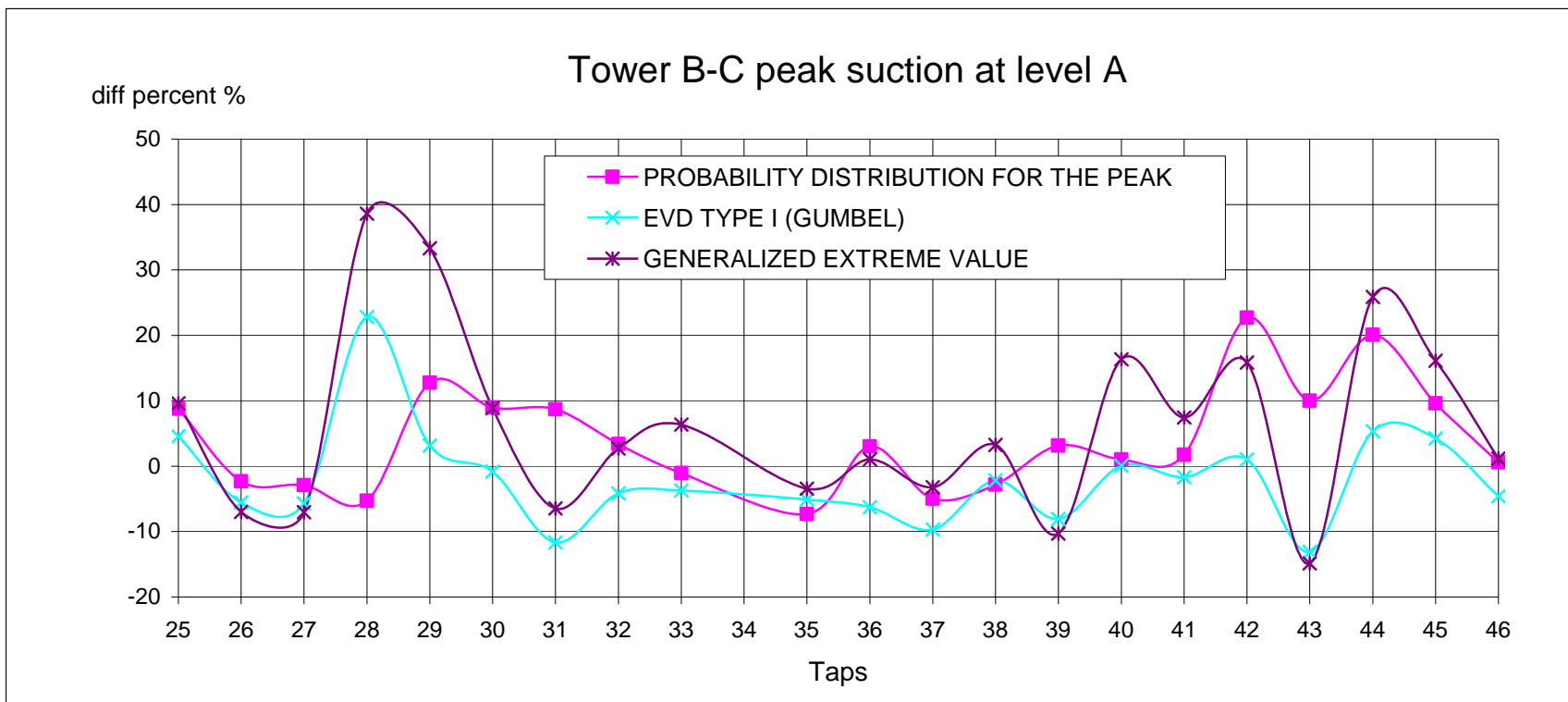
รูปที่ จ.14 เปรียบเทียบความแตกต่างระหว่างค่าหน่วยแรงลมสูงสุดจากการทดสอบ กับค่าที่ได้จากการวิเคราะห์ทางสถิติ โดยวิธีการกระจายตัวค่าปลายสุดแบบที่ 1 วิธีการกระจายตัวค่าปลายสุดแบบทั่วไป และวิธีพิจารณาการกระจายตัวของข้อมูล ของอาคาร A ที่ระดับความสูง E



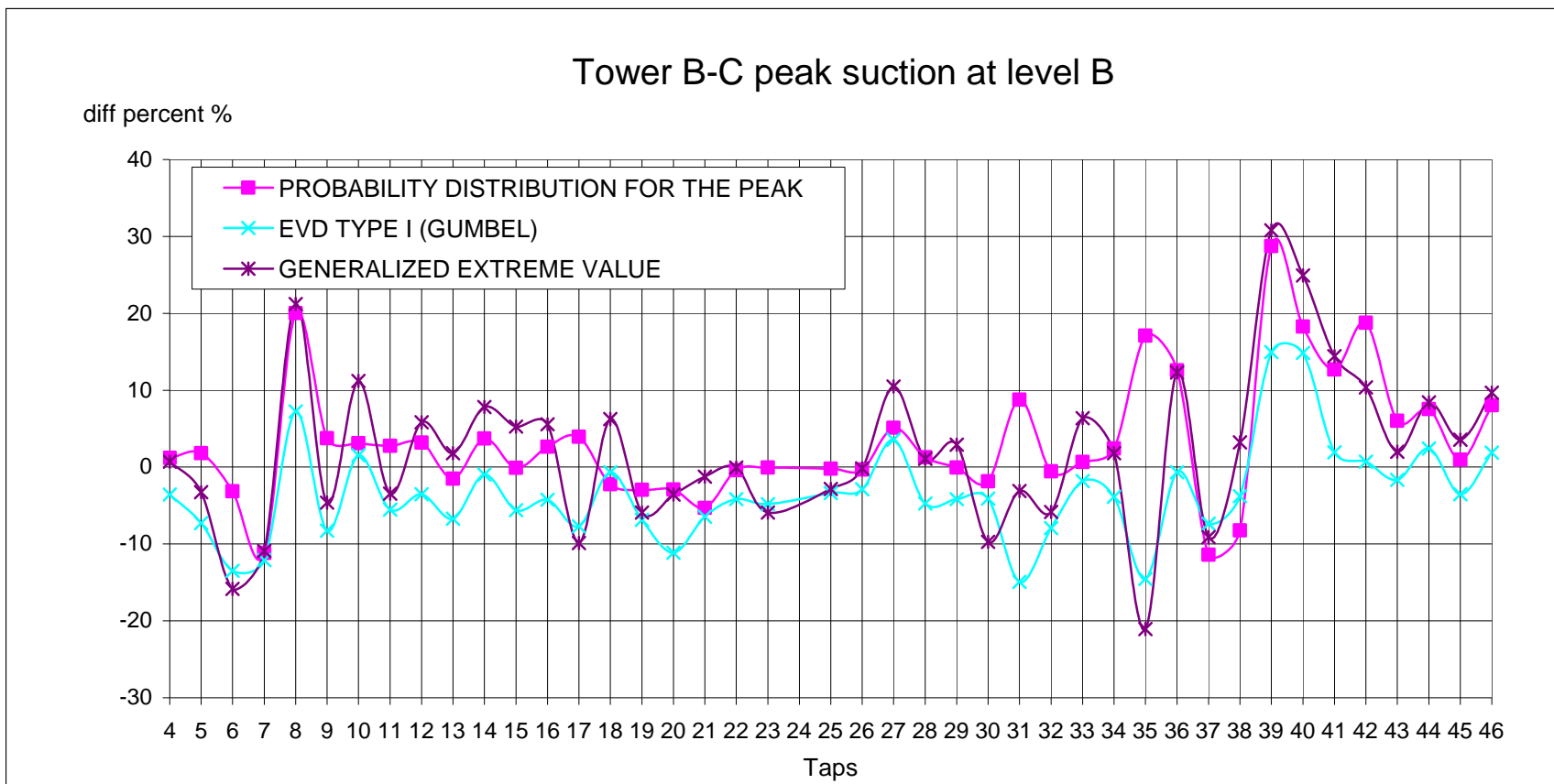
รูปที่ จ.15 เปรียบเทียบความแตกต่างระหว่างค่าหน่วยแรงลมดูดสูงสุดจากการทดสอบ กับค่าที่ได้จากการวิเคราะห์ทางสถิติ โดยวิธีการกระจายตัวค่าปลายสุดแบบที่ 1 วิธีการกระจายตัวค่าปลายสุดแบบทั่วไป และวิธีพิจารณาการกระจายตัวของข้อมูล ของอาคาร A ที่ระดับความสูง F



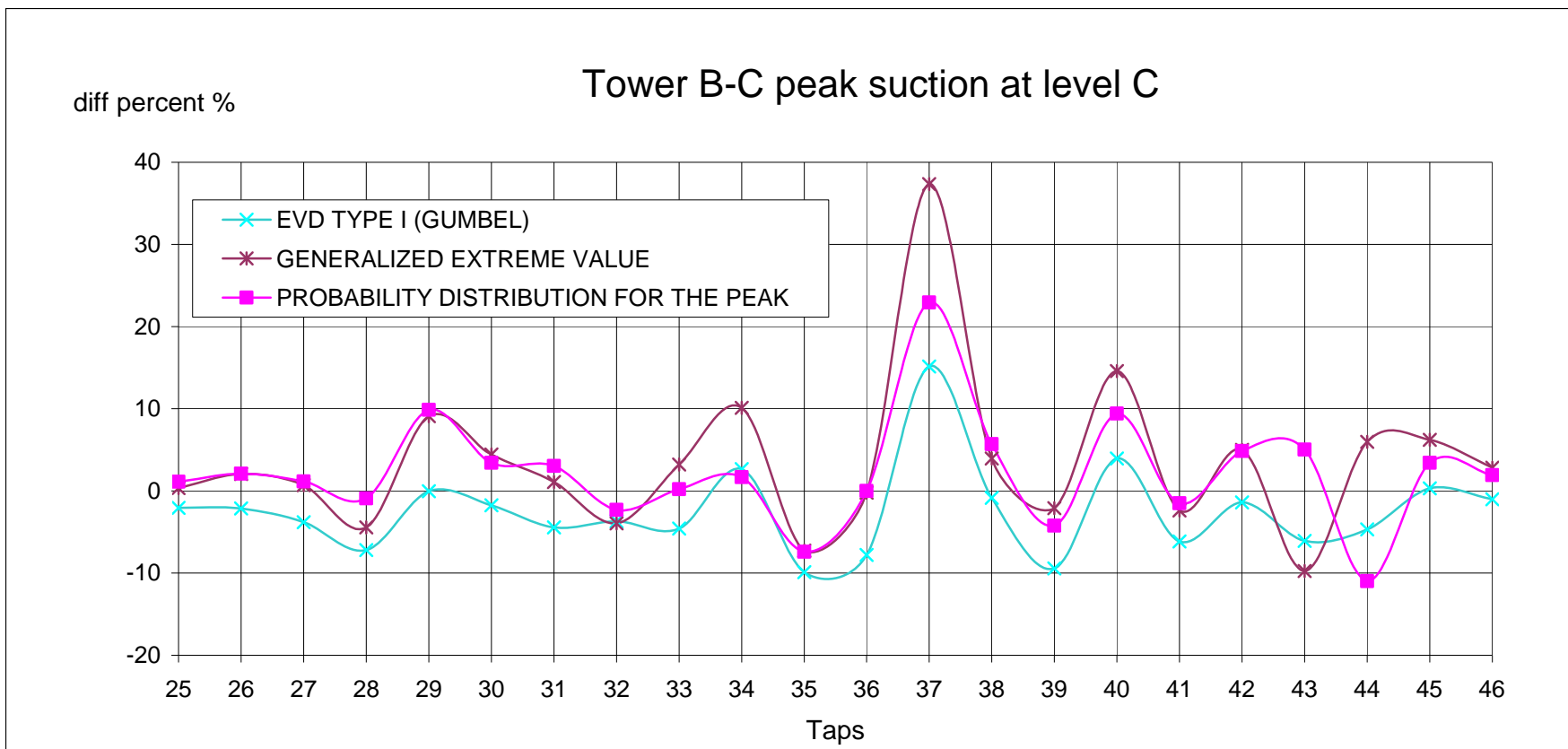
รูปที่ ๑.16 เปรียบเทียบความแตกต่างระหว่างค่าหน่วยแรงลมดูดสูงสุดจากการทดสอบ กับค่าที่ได้จากการวิเคราะห์ทางสถิติ โดยวิธีการกระจายตัวค่าปลายสุดแบบที่ 1 วิธีการกระจายตัวค่าปลายสุดแบบทั่วไป และวิธีพิจารณาการกระจายตัวของข้อมูล ของอาคาร A ที่ระดับความสูง G



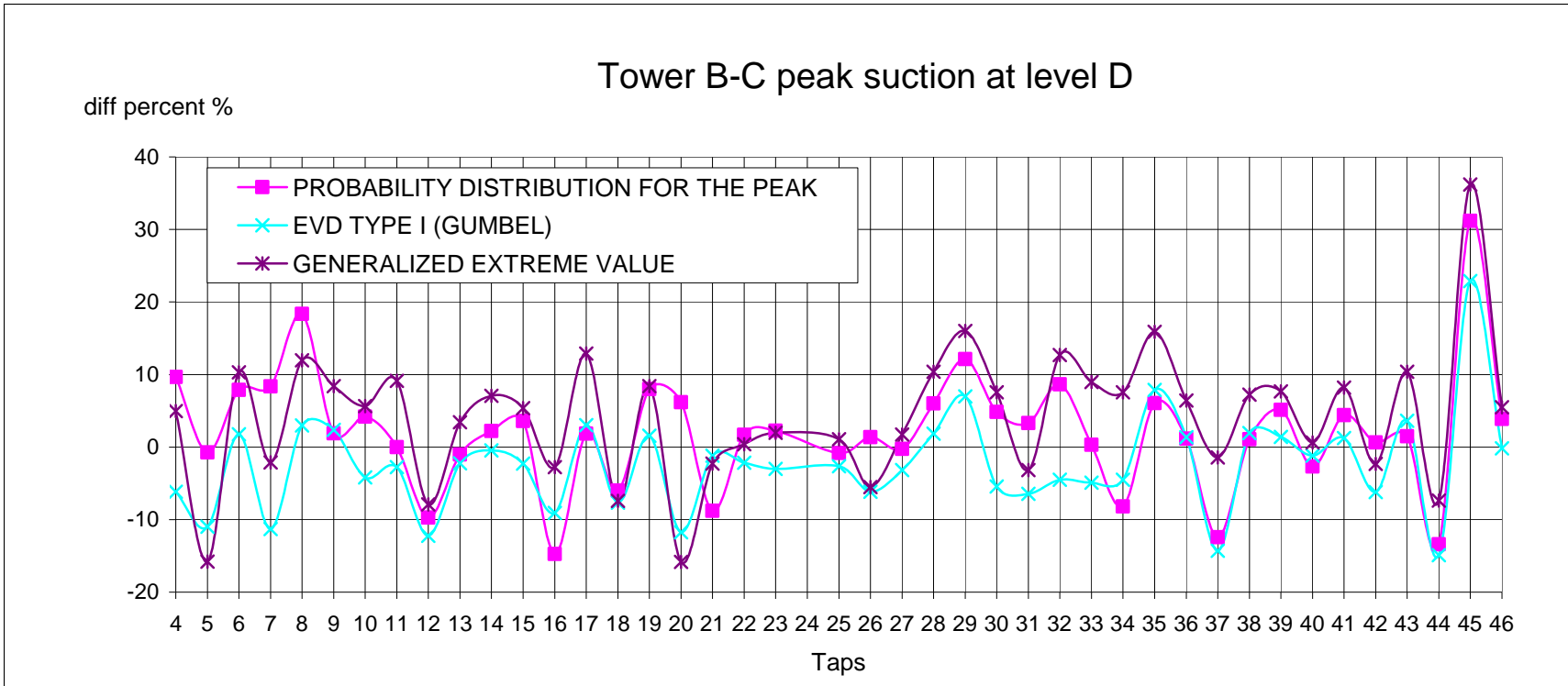
รูปที่ ๑.๒๖ เปรียบเทียบความแตกต่างระหว่างค่าหน่วยแรงลมดูดสูงสุดจากการทดสอบ กับค่าที่ได้จากการวิเคราะห์ทางสถิติ โดยวิธีการกระจายตัวค่าปลายสุดแบบที่ 1 วิธีการกระจายตัวค่าปลายสุดแบบทั่วไป และวิธีพิจารณาการกระจายตัวของข้อมูล ของอาคาร B กับอาคาร C ที่ระดับความสูง A



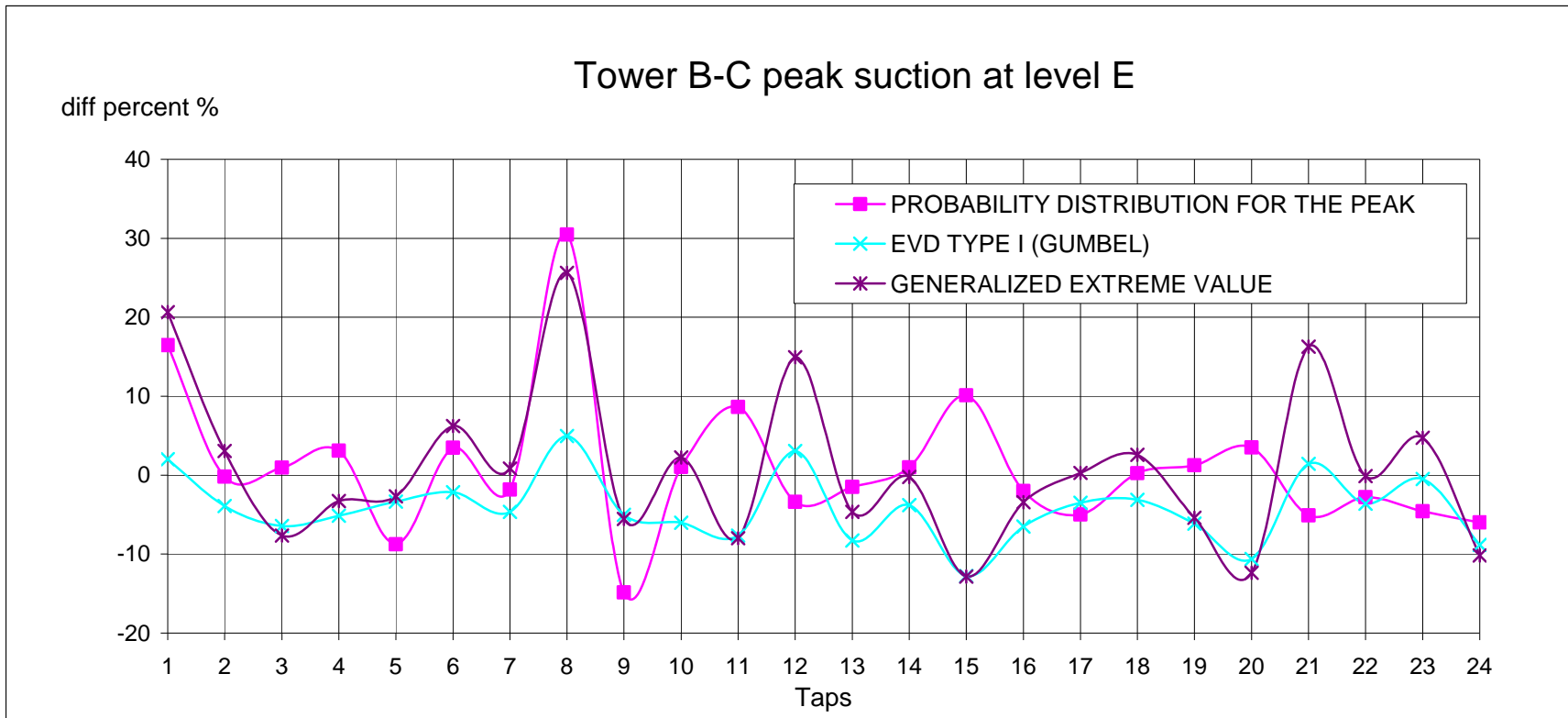
รูปที่ ๓.๒๗ เปรียบเทียบความแตกต่างระหว่างค่าหน่วยแรงลมคูดสูงสุดจากการทดสอบ กับค่าที่ได้จากการวิเคราะห์ทางสถิติ โดยวิธีการกระจายตัวค่าปลายสุดแบบที่ 1 วิธีการกระจายตัวค่าปลายสุดแบบทั่วไป และวิธีพิจารณาการกระจายตัวของข้อมูล ของอาคาร B กับอาคาร C ที่ระดับความสูง B



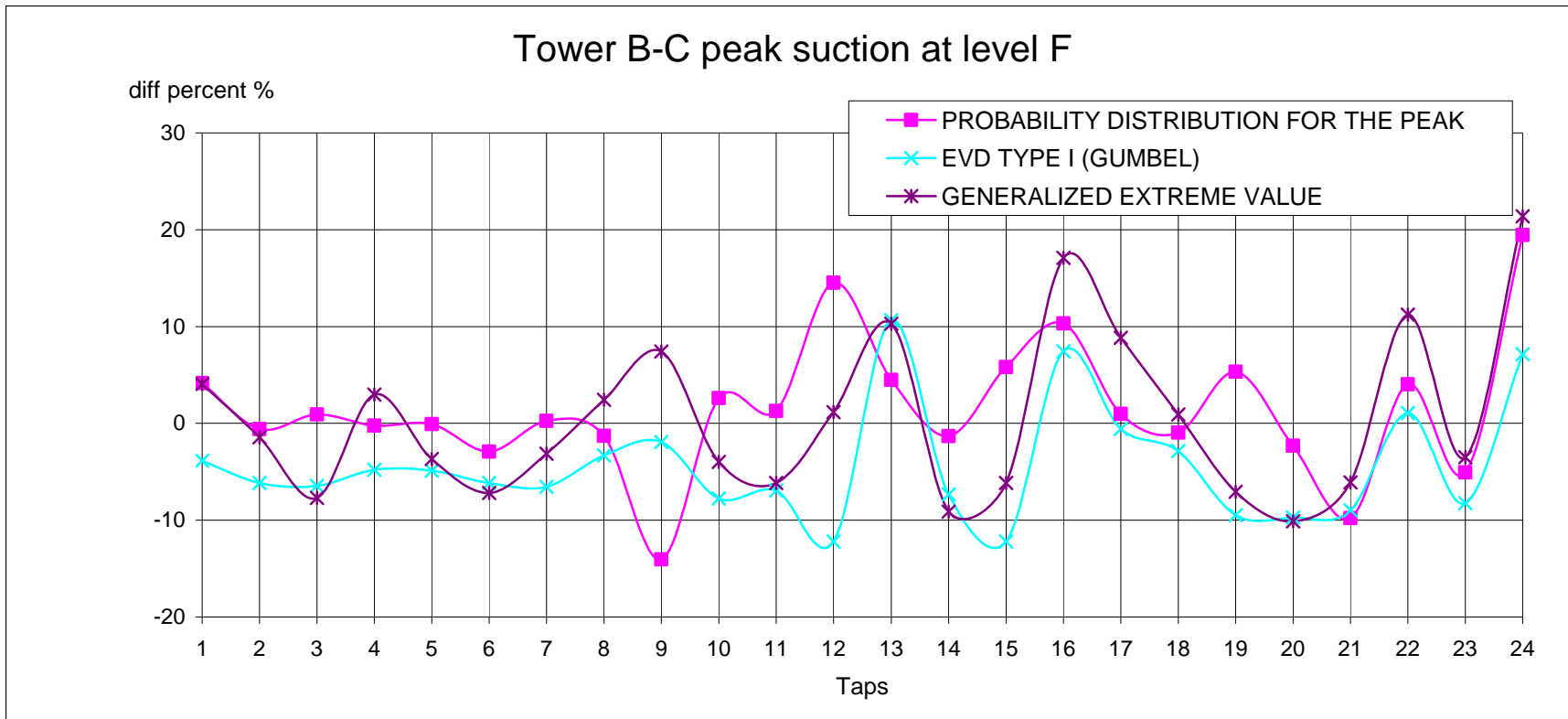
รูปที่ จ.28 เปรียบเทียบความแตกต่างระหว่างค่าหน่วยแรงลมดูดสูงสุดจากการทดสอบ กับค่าที่ได้จากการวิเคราะห์ทางสถิติ โดยวิธีการกระจายตัวค่าปลายสุดแบบที่ 1 วิธีการกระจายตัวค่าปลายสุดแบบทั่วไป และวิธีพิจารณาการกระจายตัวของข้อมูล ของอาคาร B กับอาคาร C ที่ระดับความสูง C



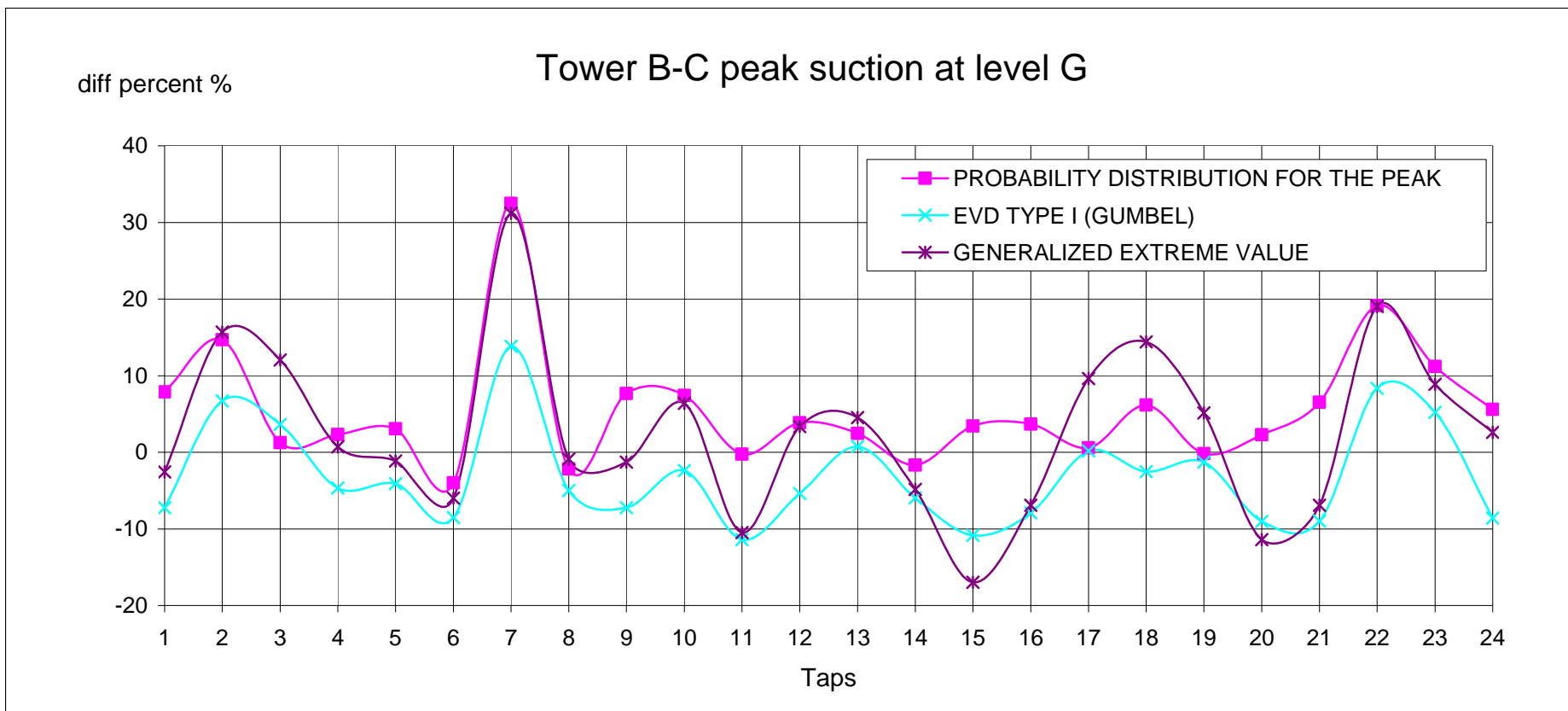
รูปที่ จ.29 เปรียบเทียบความแตกต่างระหว่างค่าหน่วยแรงลมดูดสูงสุดจากการทดสอบ กับค่าที่ได้จากการวิเคราะห์ทางสถิติ โดยวิธีการกระจายตัวค่าปลายสุดแบบที่ 1 วิธีการกระจายตัวค่าปลายสุดแบบทั่วไป และวิธีพิจารณาการกระจายตัวของข้อมูล ของอาคาร B กับอาคาร C ที่ระดับความสูง D



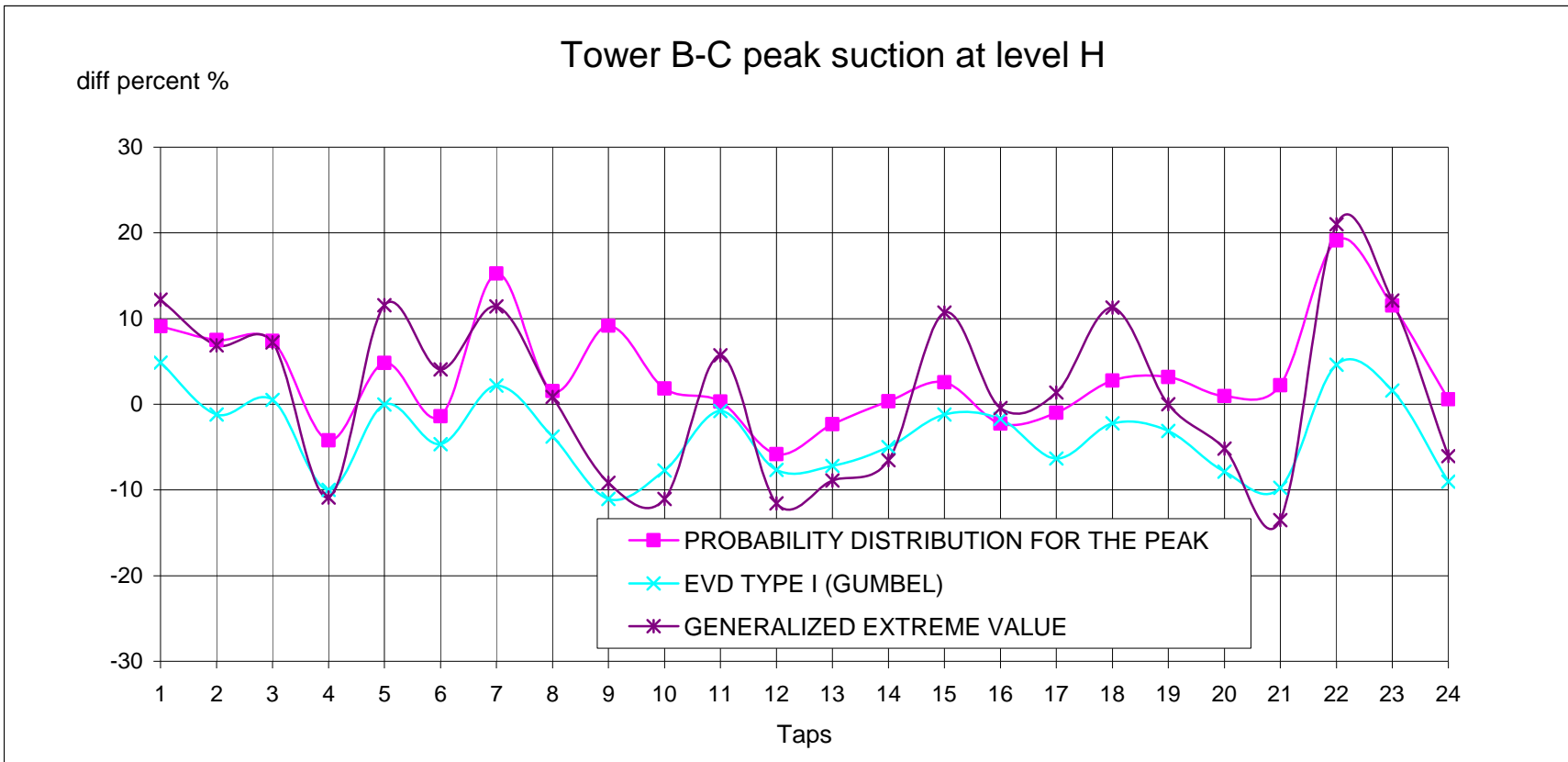
รูปที่ ๓.30 เปรียบเทียบความแตกต่างระหว่างค่าหน่วยแรงลมดูดสูงสุดจากการทดสอบ กับค่าที่ได้จากการวิเคราะห์ทางสถิติ โดยวิธีการกระจายตัวค่าปลายสุดแบบที่ 1 วิธีการกระจายตัวค่าปลายสุดแบบทั่วไป และวิธีพิจารณาการกระจายตัวของข้อมูล ของอาคาร B กับอาคาร C ที่ระดับความสูง E



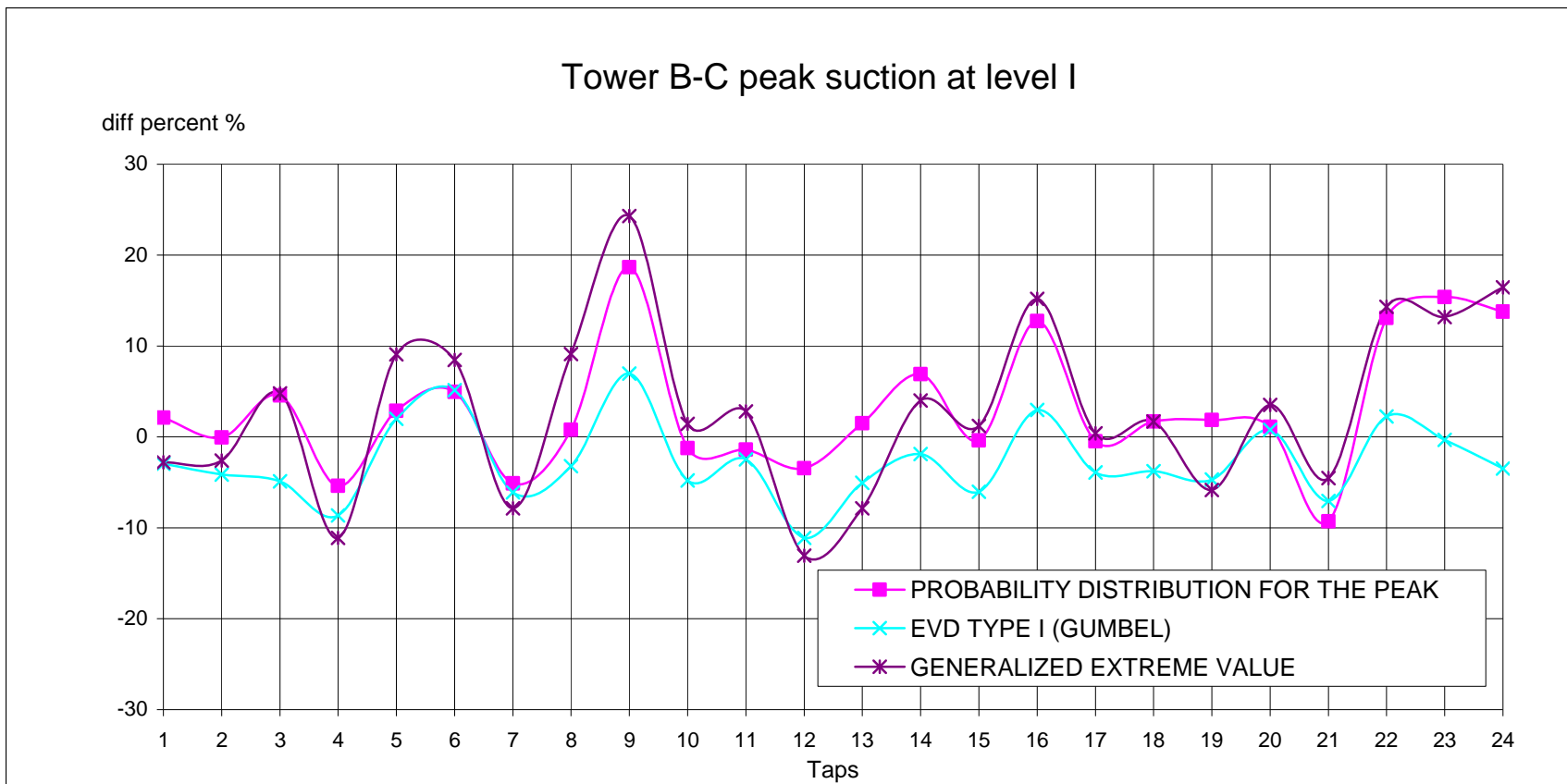
รูปที่ จ.31 เปรียบเทียบความแตกต่างระหว่างค่าหน่วยแรงลมดูดสูงสุดจากการทดสอบ กับค่าที่ได้จากการวิเคราะห์ทางสถิติ โดยวิธีการกระจายตัวค่าปลายสุดแบบที่ 1 วิธีการกระจายตัวค่าปลายสุดแบบทั่วไป และวิธีพิจารณาการกระจายตัวของข้อมูล ของอาคาร B กับอาคาร C ที่ระดับความสูง F



รูปที่ จ.32 เปรียบเทียบความแตกต่างระหว่างค่าหน่วยแรงลมดูดสูงสุดจากการทดสอบ กับค่าที่ได้จากการวิเคราะห์ทางสถิติ โดยวิธีการกระจายตัวค่าปลายสุดแบบที่ 1 วิธีการกระจายตัวค่าปลายสุดแบบทั่วไป และวิธีพิจารณาการกระจายตัวของข้อมูล ของอาคาร B กับอาคาร C ที่ระดับความสูง G



รูปที่ ๓.๓๓ เปรียบเทียบความแตกต่างระหว่างค่าหน่วยแรงลมดูดสูงสุดจากการทดสอบ กับค่าที่ได้จากการวิเคราะห์ทางสถิติ โดยวิธีการกระจายตัวค่าปลายสุดแบบที่ 1 วิธีการกระจายตัวค่าปลายสุดแบบทั่วไป และวิธีพิจารณาการกระจายตัวของข้อมูล ของอาคาร B กับอาคาร C ที่ระดับความสูง H



รูปที่ จ.34 เปรียบเทียบความแตกต่างระหว่างค่าหน่วยแรงลมดูดสูงสุดจากการทดสอบ กับค่าที่ได้จากการวิเคราะห์ทางสถิติ โดยวิธีการกระจายตัวค่าปลายสุดแบบที่ 1 วิธีการกระจายตัวค่าปลายสุดแบบทั่วไป และวิธีพิจารณาการกระจายตัวของข้อมูล ของอาคาร B กับอาคาร C ที่ระดับความสูง I

**TOWER A-A THE EXTREME VALUE DISTRIBUTION FOR THE PEAK OF REGION PEAK PRESSURE**

TAP	STATISTICAL OF TIME HISTORIES					EVD TYPE I (GUMBEL)			GENERALIZED EXTREME VALUE			
	Degree	Observed	Mean	Rms	Skewness	Est.Peak	Scale	Location	Est.Peak	Scale	Location	Shape
AA01	45	0.556	0.279	0.072	0.408	0.627	0.048	0.407	0.589	0.058	0.451	0.327
AA02	45	0.596	0.304	0.074	0.207	0.640	0.044	0.437	0.622	0.050	0.480	0.229
AA03	67.5	0.538	0.285	0.064	0.443	0.589	0.038	0.416	0.529	0.047	0.447	0.519
AA04	67.5	0.388	0.183	0.046	0.430	0.418	0.031	0.276	0.374	0.038	0.302	0.474
AA05	67.5	0.442	0.222	0.052	0.325	0.466	0.028	0.335	0.436	0.034	0.361	0.372
AA06	90	0.614	0.234	0.082	0.505	0.705	0.071	0.380	0.629	0.088	0.443	0.395
AA07	112.5	0.492	0.182	0.075	0.528	0.551	0.047	0.336	0.517	0.056	0.380	0.307
AA08	135	0.536	0.175	0.069	0.714	0.594	0.057	0.331	0.500	0.072	0.377	0.534
AA09	135	0.382	0.145	0.054	0.180	0.412	0.034	0.257	0.378	0.042	0.288	0.380
AA10	112.5	0.171	0.001	0.042	0.021	0.204	0.036	0.067	0.182	0.045	0.098	0.465
AA11	157.5	0.512	0.223	0.076	0.245	0.567	0.040	0.385	0.553	0.046	0.424	0.240
AA12	180	0.662	0.351	0.093	0.249	0.724	0.043	0.527	0.698	0.051	0.568	0.286
AA13	202.5	0.629	0.331	0.079	0.309	0.672	0.041	0.484	0.648	0.047	0.523	0.269
AA14	202.5	0.719	0.381	0.095	0.209	0.787	0.050	0.556	0.768	0.056	0.605	0.222
AA15	180	0.727	0.384	0.090	0.285	0.762	0.040	0.578	0.722	0.048	0.614	0.357
AA16	202.5	0.669	0.330	0.084	0.348	0.780	0.065	0.481	0.691	0.082	0.536	0.467
AA17	202.5	0.422	0.201	0.051	0.333	0.457	0.032	0.310	0.400	0.041	0.335	0.573
AA18	202.5	0.359	0.047	0.101	-0.206	0.404	0.037	0.235	0.361	0.044	0.267	0.394
AA19	225	0.470	0.159	0.089	-0.073	0.560	0.049	0.334	0.516	0.059	0.379	0.344
AA20	225	0.430	0.092	0.087	-0.216	0.473	0.045	0.268	0.454	0.056	0.301	0.648

**TOWER A-A THE EXTREME VALUE DISTRIBUTION FOR THE PEAK OF REGION PEAK PRESSURE**

TAP	STATISTICAL OF TIME HISTORIES					EVD TYPE I (GUMBEL)			GENERALIZED EXTREME VALUE			
	Degree	Observed	Mean	Rms	Skewness	Est.Peak	Scale	Location	Est.Peak	Scale	Location	Shape
AA21	292.5	0.334	-0.128	0.107	-0.168	0.335	0.052	0.094	0.308	0.064	0.124	0.927
AA22	90	0.333	-0.105	0.177	-0.953	0.335	0.052	0.094	0.305	0.064	0.124	0.927
AA23	67.5	0.400	-0.175	0.128	0.119	0.453	0.083	0.069	0.435	0.103	0.135	0.551
AA24	67.5	0.476	0.065	0.105	0.146	0.546	0.062	0.262	0.492	0.074	0.319	0.333
AA25	0	0.540	0.110	0.118	-0.098	0.583	0.058	0.315	0.469	0.073	0.359	0.618
AA26	337.5	0.690	0.257	0.102	0.470	0.846	0.088	0.442	0.708	0.112	0.513	0.525
AA27	337.5	0.565	0.083	0.111	0.323	0.601	0.064	0.308	0.523	0.076	0.364	0.407
AA28	22.5	0.692	0.280	0.073	0.789	0.689	0.062	0.403	0.581	0.078	0.452	0.553
AA29	337.5	0.605	0.216	0.093	0.678	0.708	0.068	0.395	0.598	0.086	0.450	0.533
AA30	337.5	0.697	0.221	0.086	0.755	0.736	0.074	0.394	0.614	0.092	0.454	0.524
AA31	0	0.573	0.238	0.084	0.279	0.640	0.055	0.388	0.586	0.066	0.437	0.360
AA32	22.5	0.636	0.281	0.085	0.400	0.688	0.055	0.434	0.626	0.066	0.483	0.386
A01	22.5	0.603	0.157	0.191	-1.214	0.688	0.061	0.405	0.615	0.075	0.459	0.408
A02	45	0.590	0.223	0.073	0.632	0.656	0.061	0.375	0.538	0.078	0.420	0.627
A03	45	0.499	0.147	0.067	0.327	0.499	0.047	0.283	0.446	0.056	0.325	0.384
A04	67.5	0.547	0.211	0.069	0.487	0.561	0.044	0.358	0.472	0.056	0.390	0.651
A05	67.5	0.531	0.204	0.077	0.509	0.571	0.045	0.365	0.523	0.055	0.405	0.388
A06	90	0.594	0.229	0.097	0.467	0.665	0.054	0.418	0.648	0.061	0.471	0.217
A07	135	0.709	0.111	0.156	-0.051	0.753	0.076	0.404	0.553	0.094	0.449	0.883
A08	135	0.519	0.155	0.099	0.302	0.590	0.050	0.359	0.607	0.054	0.412	0.105

**TOWER A-A THE EXTREME VALUE DISTRIBUTION FOR THE PEAK OF REGION PEAK PRESSURE**

TAP	STATISTICAL OF TIME HISTORIES					EVD TYPE I (GUMBEL)			GENERALIZED EXTREME VALUE			
	Degree	Observed	Mean	Rms	Skewness	Est.Peak	Scale	Location	Est.Peak	Scale	Location	Shape
A09	157.5	0.457	0.164	0.095	0.215	0.548	0.045	0.343	0.525	0.054	0.386	0.282
A10	157.5	0.262	0.169	0.029	0.080	0.297	0.021	0.200	0.276	0.026	0.219	0.374
A11	202.5	0.541	0.177	0.077	0.427	0.567	0.052	0.326	0.495	0.064	0.371	0.445
A12	247.5	0.405	0.084	0.088	-0.001	0.469	0.043	0.271	0.429	0.052	0.310	0.354
A13	202.5	0.492	0.205	0.067	0.218	0.531	0.044	0.329	0.451	0.055	0.363	0.588
A14	202.5	0.470	0.212	0.074	0.341	0.560	0.044	0.358	0.543	0.052	0.401	0.249
A15	157.5	0.477	0.227	0.072	0.316	0.546	0.040	0.360	0.517	0.048	0.398	0.307
A16	90	0.703	0.117	0.176	0.208	0.816	0.072	0.485	0.713	0.090	0.545	0.475
A17	90	0.609	0.110	0.154	-0.280	0.713	0.069	0.394	0.591	0.088	0.448	0.570
A18	67.5	0.272	-0.031	0.072	-0.047	0.309	0.041	0.122	0.268	0.050	0.159	0.373
A19	67.5	0.258	-0.026	0.077	-0.300	0.293	0.034	0.135	0.243	0.043	0.164	0.483
A20	67.5	0.255	-0.049	0.077	-0.206	0.284	0.037	0.112	0.208	0.047	0.139	0.643
A21	90	0.321	-0.141	0.161	-0.518	0.373	0.056	0.115	0.304	0.068	0.164	0.413
A22	90	0.303	-0.143	0.162	-0.745	0.374	0.058	0.106	0.272	0.074	0.152	0.569
A23	90	0.269	-0.145	0.169	-0.558	0.352	0.046	0.139	0.320	0.055	0.183	0.299
A24	90	0.238	-0.147	0.165	-0.766	0.311	0.043	0.115	0.274	0.052	0.154	0.350
A25	337.5	0.731	0.227	0.120	0.511	0.786	0.069	0.468	0.683	0.085	0.525	0.478
A26	315	0.704	0.335	0.097	0.557	0.800	0.060	0.526	0.748	0.072	0.581	0.340
A27	337.5	0.732	0.367	0.095	0.519	0.844	0.065	0.547	0.788	0.078	0.607	0.339
A28	0	0.822	0.421	0.100	0.362	0.893	0.055	0.638	0.868	0.063	0.692	0.238

**TOWER A-A THE EXTREME VALUE DISTRIBUTION FOR THE PEAK OF REGION PEAK PRESSURE**

TAP	STATISTICAL OF TIME HISTORIES					EVD TYPE I (GUMBEL)			GENERALIZED EXTREME VALUE			
	Degree	Observed	Mean	Rms	Skewness	Est.Peak	Scale	Location	Est.Peak	Scale	Location	Shape
A29	315	0.842	0.421	0.105	0.389	0.895	0.056	0.636	0.853	0.064	0.688	0.287
A30	337.5	0.857	0.424	0.106	0.323	0.893	0.058	0.627	0.800	0.072	0.674	0.522
A31	0	0.732	0.336	0.100	0.543	0.840	0.073	0.502	0.714	0.093	0.560	0.555
A32	0	0.777	0.294	0.119	0.275	0.850	0.075	0.505	0.783	0.090	0.574	0.341
B01	22.5	0.802	0.344	0.153	-0.857	0.904	0.066	0.600	0.798	0.084	0.653	0.527
B03	45	0.830	0.443	0.101	0.311	0.921	0.062	0.634	0.886	0.073	0.694	0.271
B04	45	0.838	0.345	0.114	0.492	0.926	0.079	0.563	0.783	0.102	0.624	0.596
B05	90	0.718	0.270	0.101	0.556	0.801	0.075	0.455	0.682	0.093	0.516	0.506
B05	90	0.770	0.423	0.100	0.238	0.839	0.050	0.608	0.786	0.061	0.653	0.373
B06	112.5	0.801	0.385	0.111	0.324	0.931	0.066	0.626	0.856	0.084	0.684	0.416
B07	112.5	0.723	0.391	0.101	0.391	0.827	0.054	0.576	0.849	0.059	0.634	0.105
B08	135	0.821	0.372	0.116	0.329	0.895	0.065	0.594	0.870	0.074	0.658	0.226
B09	157.5	0.772	0.347	0.137	0.172	0.886	0.062	0.600	0.885	0.068	0.664	0.162
B10	157.5	0.737	0.423	0.104	0.319	0.842	0.047	0.624	0.883	0.050	0.676	0.044
B11	180	0.803	0.358	0.120	0.256	0.899	0.071	0.572	0.847	0.083	0.639	0.294
B12	202.5	0.832	0.343	0.112	0.557	0.954	0.088	0.549	0.842	0.108	0.625	0.432
B13	225	0.754	0.255	0.139	-0.262	0.827	0.075	0.481	0.769	0.087	0.551	0.297
B14	202.5	0.773	0.392	0.106	0.277	0.900	0.068	0.590	0.813	0.086	0.648	0.455
B15	180	0.785	0.379	0.099	0.273	0.792	0.046	0.579	0.721	0.056	0.617	0.484
B16	180	0.840	0.416	0.105	0.340	0.913	0.061	0.633	0.850	0.074	0.688	0.373

**TOWER A-A THE EXTREME VALUE DISTRIBUTION FOR THE PEAK OF REGION PEAK PRESSURE**

TAP	STATISTICAL OF TIME HISTORIES					EVD TYPE I (GUMBEL)			GENERALIZED EXTREME VALUE			
	Degree	Observed	Mean	Rms	Skewness	Est.Peak	Scale	Location	Est.Peak	Scale	Location	Shape
B17	180	0.783	0.297	0.108	0.444	0.809	0.062	0.524	0.737	0.074	0.579	0.388
B18	202.5	0.867	0.369	0.116	0.084	0.911	0.074	0.569	0.748	0.094	0.621	0.712
B19	225	0.786	0.333	0.110	0.458	0.871	0.070	0.551	0.850	0.078	0.620	0.212
B20	225	0.690	0.304	0.103	0.408	0.778	0.058	0.510	0.759	0.066	0.567	0.222
B21	270	0.625	0.164	0.126	0.313	0.765	0.072	0.436	0.725	0.085	0.505	0.282
B22	67.5	0.088	-0.290	0.118	-0.230	0.107	0.043	-0.076	0.101	0.054	-0.045	0.676
B23	292.5	0.049	-0.341	0.121	-0.832	0.063	0.037	-0.100	0.059	0.047	-0.072	0.612
B24	315	0.045	-0.347	0.106	-0.398	0.056	0.046	-0.124	0.053	0.056	-0.084	0.411
B25	315	0.827	0.384	0.132	0.282	0.961	0.066	0.656	0.999	0.068	0.727	0.063
B26	337.5	0.875	0.402	0.110	0.339	0.923	0.068	0.610	0.772	0.087	0.657	0.723
B27	45	0.832	0.269	0.166	-0.828	0.904	0.079	0.542	0.768	0.098	0.604	0.549
B28	0	0.852	0.431	0.110	0.449	0.929	0.060	0.652	0.903	0.068	0.710	0.230
B29	0	0.894	0.428	0.111	0.487	0.978	0.072	0.646	0.899	0.086	0.711	0.378
B30	315	0.858	0.437	0.110	0.414	0.932	0.065	0.634	0.851	0.080	0.690	0.426
B31	0	0.861	0.417	0.109	0.482	0.937	0.069	0.620	0.854	0.083	0.680	0.407
B32	0	0.796	0.370	0.116	0.301	0.890	0.067	0.580	0.810	0.081	0.639	0.401
C01	22.5	0.941	0.474	0.144	-0.146	1.038	0.067	0.729	0.971	0.082	0.790	0.373
C02	45	0.901	0.515	0.115	0.261	0.974	0.048	0.752	0.944	0.057	0.798	0.286
C03	67.5	0.873	0.497	0.116	0.243	0.984	0.058	0.718	0.955	0.068	0.774	0.268
C04	67.5	0.931	0.539	0.121	0.266	1.046	0.060	0.771	0.993	0.073	0.826	0.349

**TOWER A-A THE EXTREME VALUE DISTRIBUTION FOR THE PEAK OF REGION PEAK PRESSURE**

TAP	STATISTICAL OF TIME HISTORIES					EVD TYPE I (GUMBEL)			GENERALIZED EXTREME VALUE			
	Degree	Observed	Mean	Rms	Skewness	Est.Peak	Scale	Location	Est.Peak	Scale	Location	Shape
C05	90	0.893	0.498	0.118	0.185	0.987	0.058	0.719	0.915	0.072	0.770	0.428
C06	112.5	0.837	0.468	0.120	0.100	0.920	0.051	0.686	0.898	0.060	0.735	0.252
C07	112.5	0.896	0.479	0.120	0.247	0.974	0.059	0.701	0.852	0.076	0.744	0.670
C08	135	0.903	0.493	0.114	0.310	1.014	0.064	0.719	0.913	0.082	0.771	0.524
C09	157.5	0.897	0.451	0.136	0.181	1.019	0.068	0.705	0.896	0.089	0.757	0.601
C10	180	0.931	0.364	0.144	0.328	1.013	0.080	0.647	0.938	0.095	0.719	0.344
C11	180	0.870	0.472	0.119	0.176	1.002	0.070	0.681	0.938	0.086	0.745	0.359
C12	202.5	0.898	0.439	0.128	0.278	0.968	0.059	0.698	0.821	0.075	0.735	0.845
C13	202.5	0.885	0.510	0.117	0.163	0.975	0.049	0.748	0.965	0.057	0.798	0.206
C14	180	0.920	0.514	0.120	0.298	1.005	0.057	0.742	0.939	0.072	0.792	0.416
C15	180	0.970	0.517	0.116	0.268	1.055	0.070	0.734	0.970	0.086	0.795	0.424
C16	180	1.050	0.532	0.118	0.326	1.082	0.068	0.768	0.946	0.085	0.818	0.632
C17	202.5	0.939	0.507	0.127	0.174	1.042	0.066	0.739	1.046	0.073	0.807	0.160
C18	202.5	0.971	0.492	0.129	-0.104	1.015	0.064	0.722	0.933	0.076	0.777	0.420
C19	225	0.944	0.464	0.117	0.417	1.010	0.065	0.713	0.979	0.075	0.775	0.254
C20	247.5	0.882	0.451	0.109	0.280	0.931	0.061	0.649	0.834	0.077	0.699	0.517
C21	270	0.782	0.340	0.135	-0.242	0.874	0.063	0.585	0.826	0.075	0.643	0.314
C22	270	-0.003	-0.318	0.084	-0.016	-0.004	0.035	-0.160	-0.003	0.043	-0.134	0.575
C23	292.5	0.075	-0.253	0.094	-0.787	0.086	0.038	-0.040	0.077	0.048	-0.008	0.505
C24	315	0.148	-0.207	0.104	-0.142	0.189	0.037	0.020	0.143	0.044	0.052	0.420

**TOWER A-A THE EXTREME VALUE DISTRIBUTION FOR THE PEAK OF REGION PEAK PRESSURE**

TAP	STATISTICAL OF TIME HISTORIES					EVD TYPE I (GUMBEL)			GENERALIZED EXTREME VALUE			
	Degree	Observed	Mean	Rms	Skewness	Est.Peak	Scale	Location	Est.Peak	Scale	Location	Shape
C25	315	1.069	0.479	0.138	0.207	1.127	0.083	0.747	1.062	0.097	0.824	0.310
C26	337.5	0.988	0.491	0.128	0.279	1.073	0.075	0.727	0.947	0.094	0.787	0.540
C27	0	0.969	0.477	0.122	0.360	1.059	0.074	0.718	0.949	0.091	0.780	0.482
C28	0	0.979	0.509	0.118	0.256	1.050	0.069	0.734	0.977	0.083	0.795	0.379
C29	337.5	0.908	0.484	0.132	0.090	1.009	0.061	0.728	0.934	0.077	0.781	0.433
C30	337.5	0.918	0.536	0.119	0.175	1.035	0.061	0.753	1.018	0.071	0.814	0.222
C31	337.5	0.935	0.447	0.132	0.254	1.004	0.063	0.715	0.894	0.079	0.764	0.566
C32	0	0.906	0.443	0.134	0.376	1.017	0.073	0.681	0.954	0.088	0.749	0.334
D01	22.5	0.960	0.538	0.142	-0.110	1.041	0.055	0.788	1.024	0.063	0.842	0.219
D02	45	0.990	0.562	0.126	0.343	1.100	0.066	0.794	1.013	0.084	0.851	0.452
D03	45	0.955	0.535	0.125	0.156	1.016	0.057	0.755	0.925	0.069	0.801	0.508
D04	67.5	0.995	0.605	0.125	0.118	1.075	0.053	0.832	1.006	0.065	0.877	0.435
D05	90	0.948	0.562	0.126	0.113	1.036	0.051	0.801	1.049	0.056	0.854	0.125
D06	112.5	0.899	0.468	0.125	0.220	0.983	0.060	0.709	0.893	0.075	0.758	0.497
D07	112.5	0.923	0.524	0.126	0.160	1.008	0.053	0.764	0.957	0.065	0.812	0.366
D08	135	0.919	0.537	0.124	0.060	1.003	0.053	0.759	0.978	0.062	0.811	0.254
D09	157.5	0.927	0.511	0.142	0.049	1.010	0.048	0.788	1.059	0.048	0.841	0.011
D10	180	0.922	0.447	0.140	0.003	0.943	0.049	0.716	0.883	0.058	0.760	0.396
D11	180	0.891	0.548	0.125	-0.130	1.004	0.048	0.782	1.019	0.054	0.833	0.128
D12	202.5	0.936	0.504	0.127	0.329	1.021	0.058	0.756	0.978	0.068	0.810	0.307

**TOWER A-A THE EXTREME VALUE DISTRIBUTION FOR THE PEAK OF REGION PEAK PRESSURE**

TAP	STATISTICAL OF TIME HISTORIES					EVD TYPE I (GUMBEL)			GENERALIZED EXTREME VALUE			
	Degree	Observed	Mean	Rms	Skewness	Est.Peak	Scale	Location	Est.Peak	Scale	Location	Shape
D13	202.5	0.996	0.569	0.120	0.170	1.062	0.056	0.804	0.966	0.070	0.848	0.549
D14	180	1.002	0.566	0.125	0.185	1.053	0.053	0.809	1.018	0.061	0.859	0.279
D15	157.5	1.019	0.543	0.118	0.161	1.009	0.051	0.776	0.897	0.063	0.811	0.701
D16	180	0.948	0.563	0.133	0.263	1.092	0.058	0.823	1.161	0.059	0.889	0.001
D17	202.5	0.983	0.544	0.140	0.058	1.090	0.062	0.805	1.070	0.072	0.866	0.231
D18	202.5	0.908	0.524	0.136	-0.038	1.004	0.050	0.776	0.977	0.060	0.824	0.287
D19	225	0.976	0.503	0.128	0.358	1.034	0.056	0.776	1.010	0.062	0.831	0.222
D20	225	0.954	0.443	0.124	0.186	1.006	0.070	0.682	0.907	0.086	0.742	0.455
D21	270	0.888	0.504	0.128	0.005	1.010	0.056	0.751	1.001	0.066	0.808	0.209
D22	292.5	0.411	0.085	0.093	-0.271	0.406	0.034	0.251	0.350	0.041	0.278	0.514
D23	292.5	0.571	0.197	0.134	-0.186	0.674	0.051	0.438	0.681	0.057	0.491	0.147
D24	315	0.541	0.093	0.148	0.017	0.632	0.056	0.377	0.573	0.067	0.426	0.377
D25	315	1.006	0.541	0.119	0.135	1.064	0.070	0.744	0.966	0.085	0.802	0.459
D26	337.5	0.983	0.526	0.136	0.129	1.086	0.071	0.758	0.993	0.087	0.819	0.437
D27	0	0.953	0.522	0.132	0.213	1.023	0.053	0.781	1.028	0.057	0.836	0.146
D28	0	0.988	0.549	0.123	0.297	1.058	0.061	0.779	1.009	0.072	0.835	0.317
D29	315	0.932	0.527	0.123	0.194	1.023	0.058	0.756	0.960	0.071	0.808	0.388
D30	337.50	1.018	0.539	0.138	0.170	1.133	0.075	0.787	1.016	0.095	0.848	0.510
D31	337.50	0.968	0.513	0.129	0.165	1.026	0.060	0.751	0.947	0.073	0.802	0.439
D32	0	1.037	0.533	0.144	0.203	1.146	0.084	0.759	0.984	0.106	0.822	0.622

**TOWER A-A THE EXTREME VALUE DISTRIBUTION FOR THE PEAK OF REGION PEAK PRESSURE**

TAP	STATISTICAL OF TIME HISTORIES					EVD TYPE I (GUMBEL)			GENERALIZED EXTREME VALUE			
	Degree	Observed	Mean	Rms	Skewness	Est.Peak	Scale	Location	Est.Peak	Scale	Location	Shape
E01	22.5	0.959	0.575	0.138	0.034	1.065	0.054	0.817	1.099	0.057	0.875	0.067
E02	45	0.955	0.580	0.126	0.199	1.039	0.050	0.810	0.987	0.061	0.855	0.377
E03	45	0.960	0.542	0.129	0.180	1.082	0.067	0.772	1.031	0.080	0.835	0.311
E04	67.5	1.078	0.620	0.135	0.158	1.203	0.077	0.848	1.164	0.090	0.923	0.260
E05	90	0.988	0.565	0.129	0.089	1.088	0.064	0.793	1.026	0.078	0.851	0.360
E06	112.5	0.871	0.519	0.123	0.029	0.945	0.045	0.740	0.911	0.052	0.782	0.307
E07	112.5	0.936	0.513	0.132	0.045	0.999	0.050	0.768	0.926	0.063	0.810	0.482
E08	135	0.982	0.581	0.127	0.048	1.073	0.056	0.817	1.050	0.065	0.872	0.249
E09	157.5	1.023	0.565	0.153	-0.020	1.127	0.058	0.860	1.112	0.067	0.918	0.218
E10	180	0.988	0.505	0.153	-0.024	1.112	0.071	0.787	1.120	0.078	0.860	0.147
E11	180	0.877	0.535	0.120	-0.107	0.939	0.039	0.759	0.890	0.049	0.793	0.432
E12	202.5	0.961	0.496	0.145	0.148	1.073	0.064	0.779	1.002	0.079	0.836	0.399
E13	225	0.974	0.474	0.152	-0.089	1.080	0.071	0.752	1.013	0.085	0.817	0.346
E14	225	0.933	0.366	0.199	-0.498	1.005	0.060	0.727	0.904	0.075	0.776	0.535
E15	180	0.925	0.501	0.130	0.120	0.998	0.055	0.745	0.910	0.070	0.790	0.531
E16	135	0.943	0.463	0.131	-0.030	0.979	0.059	0.709	0.920	0.068	0.762	0.341
E17	180	0.892	0.471	0.129	0.132	0.993	0.062	0.708	0.901	0.080	0.759	0.505
E18	202.5	0.888	0.495	0.123	0.064	0.993	0.057	0.729	0.917	0.073	0.778	0.459
E19	247.5	0.854	0.454	0.124	0.162	0.935	0.054	0.688	0.872	0.066	0.736	0.413
E20	247.5	1.039	0.545	0.134	0.270	1.119	0.073	0.785	1.024	0.089	0.848	0.435

**TOWER A-A THE EXTREME VALUE DISTRIBUTION FOR THE PEAK OF REGION PEAK PRESSURE**

TAP	STATISTICAL OF TIME HISTORIES					EVD TYPE I (GUMBEL)			GENERALIZED EXTREME VALUE			
	Degree	Observed	Mean	Rms	Skewness	Est.Peak	Scale	Location	Est.Peak	Scale	Location	Shape
E21	270	0.962	0.589	0.134	0.129	1.095	0.059	0.823	1.116	0.067	0.885	0.131
E22	270	0.749	0.311	0.145	-0.043	0.827	0.053	0.582	0.757	0.067	0.628	0.454
E23	292.5	0.960	0.574	0.136	-0.225	1.050	0.053	0.805	1.016	0.064	0.856	0.298
E24	315	0.903	0.382	0.167	0.133	1.032	0.074	0.692	0.942	0.093	0.757	0.435
E25	315	1.007	0.575	0.129	0.220	1.100	0.064	0.803	1.070	0.074	0.866	0.246
E26	337.5	0.961	0.509	0.140	0.121	1.079	0.066	0.775	1.020	0.081	0.836	0.351
E27	0	0.899	0.466	0.129	0.073	0.995	0.060	0.718	0.933	0.072	0.772	0.365
E28	315	0.909	0.514	0.126	0.197	0.993	0.052	0.754	0.913	0.066	0.796	0.512
E29	22.5	0.969	0.528	0.110	0.081	0.978	0.054	0.732	0.943	0.060	0.783	0.262
E30	292.5	0.969	0.518	0.131	0.224	1.062	0.059	0.793	1.022	0.070	0.848	0.297
E31	0	0.947	0.518	0.127	0.001	0.971	0.047	0.754	0.919	0.057	0.796	0.388
E32	0	0.996	0.530	0.142	0.054	1.080	0.064	0.785	1.053	0.074	0.848	0.243
F01	22.5	1.064	0.600	0.140	0.103	1.132	0.064	0.836	1.050	0.079	0.891	0.431
F02	45	0.979	0.600	0.127	0.140	1.111	0.061	0.829	1.092	0.073	0.890	0.242
F03	67.5	1.042	0.577	0.129	0.050	1.095	0.061	0.815	0.989	0.076	0.863	0.556
F04	67.5	1.009	0.619	0.137	0.042	1.107	0.052	0.867	1.041	0.066	0.912	0.450
F05	90	0.956	0.578	0.126	-0.035	1.018	0.047	0.803	1.011	0.052	0.850	0.183
F06	112.5	0.889	0.516	0.138	-0.173	0.976	0.045	0.771	0.964	0.051	0.815	0.222
F07	135	0.893	0.397	0.140	0.002	0.959	0.068	0.645	0.863	0.083	0.703	0.456
F08	135	0.973	0.587	0.138	-0.042	1.069	0.049	0.844	1.048	0.058	0.891	0.257

**TOWER A-A THE EXTREME VALUE DISTRIBUTION FOR THE PEAK OF REGION PEAK PRESSURE**

TAP	STATISTICAL OF TIME HISTORIES					EVD TYPE I (GUMBEL)			GENERALIZED EXTREME VALUE			
	Degree	Observed	Mean	Rms	Skewness	Est.Peak	Scale	Location	Est.Peak	Scale	Location	Shape
F09	157.5	1.032	0.584	0.143	-0.088	1.092	0.054	0.844	1.014	0.067	0.889	0.477
F10	180	0.938	0.546	0.143	0.007	1.065	0.059	0.793	1.096	0.064	0.857	0.095
F11	202.5	0.905	0.410	0.158	0.013	1.007	0.065	0.706	0.903	0.083	0.759	0.522
F12	202.5	0.880	0.459	0.129	-0.003	1.005	0.064	0.710	0.970	0.077	0.772	0.282
F13	225	0.914	0.478	0.138	-0.053	1.023	0.059	0.752	0.942	0.073	0.802	0.461
F14	225	0.765	0.246	0.195	-0.506	0.857	0.050	0.628	0.858	0.055	0.679	0.164
F15	202.5	0.702	0.315	0.116	0.088	0.753	0.045	0.545	0.713	0.054	0.587	0.337
F16	112.5	0.884	0.359	0.163	-0.176	0.930	0.056	0.670	0.845	0.069	0.717	0.484
F17	180	0.923	0.475	0.131	-0.101	0.954	0.054	0.706	0.865	0.066	0.750	0.523
F18	202.5	0.875	0.487	0.124	0.172	0.965	0.053	0.720	0.945	0.060	0.772	0.225
F19	247.5	0.768	0.426	0.110	0.198	0.889	0.056	0.631	0.897	0.063	0.689	0.153
F20	247.5	0.882	0.532	0.127	0.061	0.963	0.041	0.776	0.946	0.048	0.816	0.252
F21	270	0.945	0.590	0.126	0.129	1.053	0.052	0.816	1.059	0.059	0.869	0.162
F22	270	0.842	0.441	0.138	0.023	0.914	0.044	0.711	0.879	0.053	0.752	0.322
F23	292.5	1.026	0.626	0.126	0.231	1.142	0.061	0.859	1.112	0.073	0.919	0.264
F24	315	0.970	0.481	0.159	0.081	1.090	0.069	0.770	1.088	0.079	0.841	0.181
F25	315	0.858	0.502	0.123	0.087	0.990	0.058	0.723	1.052	0.060	0.788	0.018
F26	337.5	0.791	0.415	0.128	-0.081	0.877	0.047	0.663	0.841	0.056	0.706	0.321
F27	45	0.801	0.314	0.188	-0.621	0.903	0.057	0.639	0.887	0.065	0.696	0.210
F28	292.5	0.852	0.285	0.118	0.513	0.944	0.089	0.535	0.778	0.112	0.603	0.596

**TOWER A-A THE EXTREME VALUE DISTRIBUTION FOR THE PEAK OF REGION PEAK PRESSURE**

TAP	STATISTICAL OF TIME HISTORIES					EVD TYPE I (GUMBEL)			GENERALIZED EXTREME VALUE			
	Degree	Observed	Mean	Rms	Skewness	Est.Peak	Scale	Location	Est.Peak	Scale	Location	Shape
F29	292.5	0.947	0.471	0.139	0.396	1.067	0.065	0.767	0.953	0.084	0.818	0.581
F30	292.5	1.086	0.529	0.162	0.128	1.178	0.069	0.862	1.079	0.085	0.919	0.473
F31	315	0.938	0.497	0.130	0.078	1.004	0.058	0.737	1.039	0.059	0.799	0.050
F32	225	0.971	0.387	0.169	-0.092	1.055	0.081	0.684	0.897	0.101	0.744	0.624
F33	292.5	0.885	0.435	0.142	0.040	1.016	0.066	0.714	1.002	0.077	0.780	0.222
F34	270	0.856	0.410	0.171	-0.337	0.965	0.058	0.700	1.032	0.057	0.764	-0.008
F35	270	0.373	-0.120	0.158	-0.202	0.454	0.059	0.182	0.377	0.073	0.233	0.437
G01	22.5	0.924	0.569	0.142	-0.237	1.026	0.045	0.818	1.061	0.048	0.867	0.059
G02	45	0.969	0.553	0.136	0.017	1.024	0.047	0.809	0.969	0.057	0.850	0.400
G03	45	0.899	0.491	0.137	-0.067	0.955	0.045	0.750	0.960	0.048	0.796	0.138
G04	67.5	0.919	0.560	0.127	0.030	1.010	0.048	0.790	0.975	0.058	0.835	0.317
G05	90	0.879	0.481	0.126	-0.009	0.932	0.051	0.699	0.830	0.064	0.736	0.650
G06	112.5	0.742	0.296	0.122	-0.019	0.763	0.052	0.523	0.711	0.061	0.570	0.341
G30	315	0.738	0.319	0.131	0.043	0.829	0.054	0.579	0.782	0.064	0.631	0.278
G31	315	0.923	0.494	0.135	0.039	1.032	0.066	0.731	0.934	0.083	0.786	0.472
G32	292.5	1.013	0.507	0.156	-0.056	1.239	0.059	0.967	1.280	0.060	1.035	-0.029
G33	292.5	1.013	0.510	0.159	-0.076	1.084	0.060	0.808	0.990	0.075	0.858	0.489
G34	225	0.988	0.440	0.179	-0.289	1.051	0.066	0.749	0.925	0.082	0.800	0.584
G35	337.5	0.867	0.411	0.141	0.000	0.955	0.024	0.844	0.959	0.026	0.870	0.067

**TOWER A-A THE PROBABILITY DISTRIBUTION FOR THE PEAK OF REGION PEAK PRESSURE**

TAP	STATISTICAL OF TIME HISTORIES				GAUSSIAN PROBABILITY DISTRIBUTION				GAMMA PROBABILITY DISTRIBUTION				
	Observed	Mean	Rms	Skewness	Est.Peak	Peak factor	$N = \nu T$	PPCC	Est.Peak	Shape	Scale	Location	PPCC
AA01	0.556	0.279	0.072	0.408	0.529	3.455	216	0.9990	0.585	20.811	0.016	-0.049	0.9945
AA02	0.596	0.304	0.074	0.207	0.559	3.441	206	0.9980	0.585	94.935	0.008	-0.420	0.9992
AA03	0.538	0.285	0.064	0.443	0.512	3.533	284	0.9995	0.565	20.811	0.014	-0.008	0.9936
AA04	0.388	0.183	0.046	0.430	0.349	3.605	367	0.9932	0.389	20.811	0.010	-0.027	0.9991
AA05	0.442	0.222	0.052	0.325	0.408	3.598	358	0.9964	0.444	30.414	0.009	-0.062	0.9996
AA06	0.614	0.234	0.082	0.505	0.520	3.505	257	0.9918	0.600	14.240	0.022	-0.074	0.9979
AA07	0.492	0.182	0.075	0.528	0.445	3.529	280	0.9905	0.520	14.240	0.020	-0.099	0.9990
AA08	0.536	0.175	0.069	0.714	0.422	3.582	338	0.9866	0.510	9.744	0.022	-0.040	0.9993
AA09	0.382	0.145	0.054	0.180	0.359	3.958	1398	0.9989	0.381	138.740	0.005	-0.494	0.9999
AA10	0.171	0.001	0.042	0.021	0.184	4.346	7033	0.9885	0.192	925	0.001	-1.259	0.9886
AA11	0.512	0.223	0.076	0.245	0.519	3.906	1139	0.9997	0.563	64.959	0.009	-0.389	0.9979
AA12	0.662	0.351	0.093	0.249	0.684	3.599	360	0.9991	0.728	64.959	0.011	-0.396	0.9974
AA13	0.629	0.331	0.079	0.309	0.609	3.506	258	0.9995	0.662	30.414	0.014	-0.107	0.9966
AA14	0.719	0.381	0.095	0.209	0.714	3.499	252	0.9995	0.748	94.935	0.010	-0.547	0.9982
AA15	0.727	0.384	0.090	0.285	0.700	3.518	269	0.9963	0.749	44.448	0.013	-0.215	0.9990
AA16	0.669	0.330	0.084	0.348	0.653	3.816	806	0.9997	0.722	30.414	0.015	-0.136	0.9963
AA17	0.422	0.201	0.051	0.333	0.391	3.757	643	0.9967	0.431	30.414	0.009	-0.079	0.9997
AA18	0.359	0.047	0.101	-0.206	0.410	3.615	381	0.9980	0.362	64.959	0.012	-0.857	0.9993
AA19	0.470	0.159	0.089	-0.073	0.486	3.670	466	0.9978	0.502	925	0.003	-2.862	0.9977
AA20	0.430	0.092	0.087	-0.216	0.412	3.669	464	0.9983	0.410	138.740	0.007	-1.119	0.9973
AA21	0.334	-0.128	0.107	-0.168	0.255	3.578	333	0.9986	0.296	94.935	0.011	-0.915	0.9993

**TOWER A-A THE PROBABILITY DISTRIBUTION FOR THE PEAK OF REGION PEAK PRESSURE**

TAP	STATISTICAL OF TIME HISTORIES				GAUSSIAN PROBABILITY DISTRIBUTION				GAMMA PROBABILITY DISTRIBUTION				
	Observed	Mean	Rms	Skewness	Est.Peak	Peak factor	$N = \nu T$	PPCC	Est.Peak	Shape	Scale	Location	PPCC
AA22	0.333	-0.105	0.177	-0.953	0.511	3.488	242	0.9986	0.292	94.935	0.011	-0.915	0.9993
AA23	0.400	-0.175	0.128	0.119	0.279	3.534	285	0.9990	0.402	296.340	0.007	-2.387	0.9994
AA24	0.476	0.065	0.105	0.146	0.430	3.474	231	0.9981	0.460	138.740	0.009	-1.173	0.9988
AA25	0.540	0.110	0.118	-0.098	0.522	3.501	254	0.9991	0.502	296.340	0.007	-2.136	0.9988
AA26	0.690	0.257	0.102	0.470	0.617	3.524	275	0.9925	0.700	20.811	0.022	-0.207	0.9976
AA27	0.565	0.083	0.111	0.323	0.479	3.579	334	0.9969	0.543	44.448	0.017	-0.656	0.9997
AA28	0.692	0.280	0.073	0.789	0.536	3.491	245	0.9840	0.642	6.667	0.028	0.091	0.9990
AA29	0.605	0.216	0.093	0.678	0.539	3.474	231	0.9872	0.649	9.744	0.030	-0.074	0.9994
AA30	0.697	0.221	0.086	0.755	0.525	3.510	262	0.9858	0.629	9.744	0.028	-0.048	0.9988
AA31	0.573	0.238	0.084	0.279	0.528	3.460	220	0.9967	0.572	44.448	0.013	-0.321	0.9992
AA32	0.636	0.281	0.085	0.400	0.573	3.445	209	0.9947	0.639	20.811	0.019	-0.107	0.9996
A01	0.603	0.157	0.191	-1.214	0.819	3.460	220	0.9570	0.603	2.136	0.130	-0.435	0.9938
A02	0.590	0.223	0.073	0.632	0.486	3.573	327	0.9894	0.579	9.744	0.024	-0.006	0.9994
A03	0.499	0.147	0.067	0.327	0.390	3.624	393	0.9950	0.429	44.448	0.010	-0.300	0.9976
A04	0.547	0.211	0.069	0.487	0.463	3.644	424	0.9934	0.538	14.240	0.018	-0.049	0.9998
A05	0.531	0.204	0.077	0.509	0.480	3.569	323	0.9905	0.560	14.240	0.020	-0.088	0.9989
A06	0.594	0.229	0.097	0.467	0.569	3.527	278	0.9991	0.666	14.240	0.026	-0.136	0.9923
A07	0.709	0.111	0.156	-0.051	0.709	3.848	909	0.9994	0.668	925	0.005	-4.839	0.9993
A08	0.519	0.155	0.099	0.302	0.505	3.535	286	0.9978	0.572	30.414	0.018	-0.389	0.9947
A09	0.457	0.164	0.095	0.215	0.498	3.526	277	0.9990	0.540	64.959	0.012	-0.598	0.9977
A10	0.262	0.169	0.029	0.080	0.280	3.797	750	0.9989	0.285	632.930	0.001	-0.570	0.9987

**TOWER A-A THE PROBABILITY DISTRIBUTION FOR THE PEAK OF REGION PEAK PRESSURE**

TAP	STATISTICAL OF TIME HISTORIES				GAUSSIAN PROBABILITY DISTRIBUTION				GAMMA PROBABILITY DISTRIBUTION				
	Observed	Mean	Rms	Skewness	Est.Peak	Peak factor	$N = \nu T$	PPCC	Est.Peak	Shape	Scale	Location	PPCC
A11	0.541	0.177	0.077	0.427	0.455	3.620	388	0.9945	0.523	20.811	0.017	-0.173	0.9998
A12	0.405	0.084	0.088	-0.001	0.404	3.652	436	0.9997	0.402	925	0.003	-2.746	0.9998
A13	0.492	0.205	0.067	0.218	0.441	3.522	273	0.9983	0.466	94.935	0.007	-0.447	0.9996
A14	0.470	0.212	0.074	0.341	0.474	3.533	284	0.9995	0.524	30.414	0.013	-0.197	0.9962
A15	0.477	0.227	0.072	0.316	0.478	3.480	236	0.9994	0.526	30.414	0.013	-0.172	0.9964
A16	0.703	0.117	0.176	0.208	0.749	3.588	345	0.9982	0.831	64.959	0.022	-1.299	0.9967
A17	0.609	0.110	0.154	-0.280	0.671	3.627	398	0.9939	0.574	44.448	0.023	-1.137	0.9963
A18	0.272	-0.031	0.072	-0.047	0.233	3.662	453	0.9979	0.248	925	0.002	-2.155	0.9979
A19	0.258	-0.026	0.077	-0.300	0.253	3.625	395	0.9972	0.239	64.959	0.010	-0.592	0.9957
A20	0.255	-0.049	0.077	-0.206	0.239	3.707	533	0.9997	0.220	94.935	0.008	-0.706	0.9985
A21	0.321	-0.141	0.161	-0.518	0.428	3.528	279	0.9898	0.291	14.240	0.043	-0.467	0.9980
A22	0.303	-0.143	0.162	-0.745	0.425	3.506	258	0.9844	0.293	6.667	0.063	-0.275	0.9989
A23	0.269	-0.145	0.169	-0.558	0.447	3.500	253	0.9892	0.294	9.744	0.054	-0.383	0.9988
A24	0.238	-0.147	0.165	-0.766	0.432	3.499	252	0.9818	0.245	6.667	0.064	-0.280	0.9993
A25	0.731	0.227	0.120	0.511	0.652	3.554	306	0.9919	0.775	14.240	0.032	-0.224	0.9996
A26	0.704	0.335	0.097	0.557	0.682	3.564	317	0.9991	0.805	9.744	0.031	0.031	0.9901
A27	0.732	0.367	0.095	0.519	0.704	3.540	291	0.9996	0.800	14.240	0.025	0.009	0.9915
A28	0.822	0.421	0.100	0.362	0.780	3.582	338	0.9956	0.851	30.414	0.018	-0.133	0.9996
A29	0.842	0.421	0.105	0.389	0.789	3.507	259	0.9940	0.874	20.811	0.023	-0.058	0.9987
A30	0.857	0.424	0.106	0.323	0.798	3.514	266	0.9959	0.869	30.414	0.019	-0.163	0.9993
A31	0.732	0.336	0.100	0.543	0.689	3.528	279	0.9992	0.789	14.240	0.026	-0.041	0.9904

**TOWER A-A THE PROBABILITY DISTRIBUTION FOR THE PEAK OF REGION PEAK PRESSURE**

TAP	STATISTICAL OF TIME HISTORIES				GAUSSIAN PROBABILITY DISTRIBUTION				GAMMA PROBABILITY DISTRIBUTION				
	Observed	Mean	Rms	Skewness	Est.Peak	Peak factor	$N = \nu T$	PPCC	Est.Peak	Shape	Scale	Location	PPCC
A32	0.777	0.294	0.119	0.275	0.718	3.566	319	0.9976	0.786	44.448	0.018	-0.500	0.9998
B01	0.802	0.344	0.153	-0.857	0.923	3.783	711	0.9806	0.843	9.744	0.049	-0.819	0.9925
B03	0.830	0.443	0.101	0.311	0.808	3.598	358	0.9996	0.866	44.448	0.015	-0.233	0.9966
B04	0.838	0.345	0.114	0.492	0.737	3.437	203	0.9927	0.845	14.240	0.030	-0.086	0.9997
B05	0.718	0.270	0.101	0.556	0.618	3.445	209	0.9913	0.714	14.240	0.027	-0.112	0.9996
B05	0.770	0.423	0.100	0.238	0.769	3.474	231	0.9991	0.813	64.959	0.012	-0.381	0.9972
B06	0.801	0.385	0.111	0.324	0.834	4.052	2042	0.9995	0.938	30.414	0.020	-0.226	0.9965
B07	0.723	0.391	0.101	0.391	0.739	3.441	206	0.9971	0.817	20.811	0.022	-0.069	0.9919
B08	0.821	0.372	0.116	0.329	0.777	3.499	252	0.9956	0.854	30.414	0.021	-0.267	0.9991
B09	0.772	0.347	0.137	0.172	0.826	3.501	254	0.9984	0.874	94.935	0.014	-0.985	0.9976
B10	0.737	0.423	0.104	0.319	0.784	3.454	215	0.9983	0.850	30.414	0.019	-0.152	0.9953
B11	0.803	0.358	0.120	0.256	0.784	3.549	301	0.9995	0.839	64.959	0.015	-0.611	0.9977
B12	0.832	0.343	0.112	0.557	0.763	3.741	606	0.9914	0.893	14.240	0.030	-0.080	0.9998
B13	0.754	0.255	0.139	-0.262	0.752	3.564	317	0.9991	0.727	64.959	0.017	-1.379	0.9973
B14	0.773	0.392	0.106	0.277	0.771	3.563	316	0.9993	0.831	44.448	0.016	-0.316	0.9973
B15	0.785	0.379	0.099	0.273	0.723	3.479	235	0.9960	0.776	44.448	0.015	-0.279	0.9984
B16	0.840	0.416	0.105	0.340	0.807	3.713	546	0.9997	0.888	30.414	0.019	-0.164	0.9963
B17	0.783	0.297	0.108	0.444	0.682	3.574	329	0.9944	0.774	20.811	0.024	-0.193	0.9997
B18	0.867	0.369	0.116	0.084	0.785	3.576	331	0.9976	0.803	433.080	0.006	-2.049	0.9979
B19	0.786	0.333	0.110	0.458	0.721	3.527	278	0.9928	0.832	14.240	0.029	-0.082	0.9994
B20	0.690	0.304	0.103	0.408	0.672	3.561	314	0.9992	0.759	20.811	0.023	-0.167	0.9942

**TOWER A-A THE PROBABILITY DISTRIBUTION FOR THE PEAK OF REGION PEAK PRESSURE**

TAP	STATISTICAL OF TIME HISTORIES				GAUSSIAN PROBABILITY DISTRIBUTION				GAMMA PROBABILITY DISTRIBUTION				
	Observed	Mean	Rms	Skewness	Est.Peak	Peak factor	$N = \nu T$	PPCC	Est.Peak	Shape	Scale	Location	PPCC
B21	0.625	0.164	0.126	0.313	0.613	3.567	321	0.9994	0.684	44.448	0.019	-0.675	0.9968
B22	0.088	-0.290	0.118	-0.230	0.120	3.490	244	0.9979	0.084	94.935	0.012	-0.855	0.9994
B23	0.049	-0.341	0.121	-0.832	0.082	3.479	235	0.9819	0.055	6.667	0.055	-0.024	0.9997
B24	0.045	-0.347	0.106	-0.398	0.043	3.674	473	0.9956	0.042	94.935	0.011	-0.683	0.9937
B25	0.827	0.384	0.132	0.282	0.853	3.540	291	0.9991	0.927	44.448	0.020	-0.498	0.9966
B26	0.875	0.402	0.110	0.339	0.790	3.524	275	0.9966	0.865	30.414	0.020	-0.207	0.9998
B27	0.832	0.269	0.166	-0.828	0.863	3.575	330	0.9965	0.768	6.667	0.064	-0.697	0.9820
B28	0.852	0.431	0.110	0.449	0.818	3.518	269	0.9987	0.907	20.811	0.024	-0.070	0.9925
B29	0.894	0.428	0.111	0.487	0.817	3.490	244	0.9911	0.925	14.240	0.029	0.008	0.9986
B30	0.858	0.437	0.110	0.414	0.821	3.504	256	0.9993	0.910	20.811	0.024	-0.064	0.9941
B31	0.861	0.417	0.109	0.482	0.796	3.479	235	0.9914	0.902	14.240	0.029	0.005	0.9987
B32	0.796	0.370	0.116	0.301	0.772	3.470	228	0.9992	0.833	44.448	0.017	-0.401	0.9965
C01	0.941	0.474	0.144	-0.146	0.972	3.465	224	0.9988	0.944	202.770	0.010	-2.519	0.9993
C02	0.901	0.515	0.115	0.261	0.916	3.486	241	0.9981	0.977	44.448	0.017	-0.250	0.9957
C03	0.873	0.497	0.116	0.243	0.901	3.474	231	0.9987	0.951	64.959	0.014	-0.438	0.9968
C04	0.931	0.539	0.121	0.266	0.949	3.380	167	0.9988	1.009	44.448	0.018	-0.268	0.9965
C05	0.893	0.498	0.118	0.185	0.910	3.490	244	0.9994	0.952	94.935	0.012	-0.654	0.9984
C06	0.837	0.468	0.120	0.100	0.882	3.458	218	0.9986	0.904	296.340	0.007	-1.592	0.9982
C07	0.896	0.479	0.120	0.247	0.891	3.445	209	0.9985	0.941	64.959	0.015	-0.484	0.9966
C08	0.903	0.493	0.114	0.310	0.893	3.510	262	0.9997	0.956	44.448	0.017	-0.267	0.9970
C09	0.897	0.451	0.136	0.181	0.935	3.559	311	0.9990	0.986	94.935	0.014	-0.874	0.9980

**TOWER A-A THE PROBABILITY DISTRIBUTION FOR THE PEAK OF REGION PEAK PRESSURE**

TAP	STATISTICAL OF TIME HISTORIES				GAUSSIAN PROBABILITY DISTRIBUTION				GAMMA PROBABILITY DISTRIBUTION				
	Observed	Mean	Rms	Skewness	Est.Peak	Peak factor	$N = \nu T$	PPCC	Est.Peak	Shape	Scale	Location	PPCC
C10	0.931	0.364	0.144	0.328	0.868	3.513	265	0.9965	0.964	30.414	0.026	-0.427	0.9996
C11	0.870	0.472	0.119	0.176	0.888	3.480	236	0.9997	0.930	94.935	0.012	-0.690	0.9988
C12	0.898	0.439	0.128	0.278	0.896	3.582	338	0.9987	0.969	44.448	0.019	-0.413	0.9961
C13	0.885	0.510	0.117	0.163	0.924	3.537	288	0.9992	0.959	138.740	0.010	-0.868	0.9983
C14	0.920	0.514	0.120	0.298	0.926	3.431	199	0.9982	0.987	44.448	0.018	-0.284	0.9952
C15	0.970	0.517	0.116	0.268	0.926	3.521	272	0.9962	0.990	44.448	0.017	-0.258	0.9987
C16	1.050	0.532	0.118	0.326	0.963	3.663	454	0.9963	1.034	44.448	0.018	-0.253	0.9994
C17	0.939	0.507	0.127	0.174	0.945	3.459	219	0.9992	0.981	138.740	0.011	-0.985	0.9982
C18	0.971	0.492	0.129	-0.104	0.966	3.684	491	0.9985	0.949	632.930	0.005	-3.726	0.9983
C19	0.944	0.464	0.117	0.417	0.891	3.640	417	0.9937	0.995	20.811	0.026	-0.072	0.9992
C20	0.882	0.451	0.109	0.280	0.832	3.496	249	0.9968	0.891	44.448	0.016	-0.276	0.9992
C21	0.782	0.340	0.135	-0.242	0.817	3.537	288	0.9968	0.783	94.935	0.014	-1.651	0.9980
C22	-0.003	-0.318	0.084	-0.016	-0.003	3.736	595	0.9994	-0.003	925.000	0.002	-1.777	0.9994
C23	0.075	-0.253	0.094	-0.787	0.090	3.651	435	0.9847	0.076	6.667	0.045	-0.048	0.9989
C24	0.148	-0.207	0.104	-0.142	0.168	3.607	370	0.9993	0.143	202.770	0.007	-1.277	0.9998
C25	1.069	0.479	0.138	0.207	0.965	3.521	272	0.9978	1.015	94.935	0.014	-0.865	0.9992
C26	0.988	0.491	0.128	0.279	0.941	3.510	262	0.9976	1.011	44.448	0.019	-0.364	0.9998
C27	0.969	0.477	0.122	0.360	0.903	3.492	246	0.9951	0.983	30.414	0.022	-0.195	0.9992
C28	0.979	0.509	0.118	0.256	0.934	3.613	378	0.9980	0.990	64.959	0.015	-0.439	0.9999
C29	0.908	0.484	0.132	0.090	0.937	3.433	200	0.9995	0.956	433.080	0.006	-2.266	0.9992
C30	0.918	0.536	0.119	0.175	0.942	3.418	190	0.9989	0.982	94.935	0.012	-0.619	0.9978

**TOWER A-A THE PROBABILITY DISTRIBUTION FOR THE PEAK OF REGION PEAK PRESSURE**

TAP	STATISTICAL OF TIME HISTORIES				GAUSSIAN PROBABILITY DISTRIBUTION				GAMMA PROBABILITY DISTRIBUTION				
	Observed	Mean	Rms	Skewness	Est.Peak	Peak factor	$N = \nu T$	PPCC	Est.Peak	Shape	Scale	Location	PPCC
C31	0.935	0.447	0.132	0.254	0.913	3.530	281	0.9988	0.985	44.448	0.020	-0.432	0.9967
C32	0.906	0.443	0.134	0.376	0.916	3.531	282	0.9990	1.027	20.811	0.029	-0.168	0.9949
D01	0.960	0.538	0.142	-0.110	1.020	3.390	173	0.9982	0.996	433.080	0.007	-3.491	0.9985
D02	0.990	0.562	0.126	0.343	0.992	3.410	185	0.9991	1.070	30.414	0.023	-0.135	0.9954
D03	0.955	0.535	0.125	0.156	0.965	3.440	205	0.9993	1.000	138.740	0.011	-0.938	0.9985
D04	0.995	0.605	0.125	0.118	1.032	3.410	185	0.9984	1.059	202.770	0.009	-1.179	0.9979
D05	0.948	0.562	0.126	0.113	0.996	3.454	215	0.9988	1.018	296.340	0.007	-1.600	0.9984
D06	0.899	0.468	0.125	0.220	0.895	3.425	195	0.9985	0.946	64.959	0.015	-0.535	0.9968
D07	0.923	0.524	0.126	0.160	0.955	3.434	201	0.9984	0.989	138.740	0.011	-0.953	0.9975
D08	0.919	0.537	0.124	0.060	0.965	3.467	225	0.9988	0.976	925	0.004	-3.217	0.9986
D09	0.927	0.511	0.142	0.049	1.003	3.475	232	0.9981	1.015	925	0.005	-3.788	0.9980
D10	0.922	0.447	0.140	0.003	0.928	3.445	209	0.9987	0.940	925	0.005	-3.798	0.9988
D11	0.891	0.548	0.125	-0.130	1.020	3.773	685	0.9987	0.975	202.770	0.009	-2.327	0.9993
D12	0.936	0.504	0.127	0.329	0.949	3.488	242	0.9980	1.032	30.414	0.023	-0.197	0.9943
D13	0.996	0.569	0.120	0.170	0.987	3.482	237	0.9997	1.022	138.740	0.010	-0.844	0.9988
D14	1.002	0.566	0.125	0.185	1.002	3.489	243	0.9984	1.046	94.935	0.013	-0.651	0.9972
D15	1.019	0.543	0.118	0.161	0.956	3.485	240	0.9981	0.990	138.740	0.010	-0.850	0.9989
D16	0.948	0.563	0.133	0.263	1.040	3.593	352	0.9975	1.116	44.448	0.020	-0.319	0.9952
D17	0.983	0.544	0.140	0.058	1.040	3.542	293	0.9996	1.054	925	0.005	-3.718	0.9995
D18	0.908	0.524	0.136	-0.038	0.994	3.460	220	0.9967	0.988	925	0.004	-4.641	0.9966
D19	0.976	0.503	0.128	0.358	0.949	3.498	251	0.9988	1.033	30.414	0.023	-0.199	0.9946

**TOWER A-A THE PROBABILITY DISTRIBUTION FOR THE PEAK OF REGION PEAK PRESSURE**

TAP	STATISTICAL OF TIME HISTORIES				GAUSSIAN PROBABILITY DISTRIBUTION				GAMMA PROBABILITY DISTRIBUTION				
	Observed	Mean	Rms	Skewness	Est.Peak	Peak factor	$N = \nu T$	PPCC	Est.Peak	Shape	Scale	Location	PPCC
D20	0.954	0.443	0.124	0.186	0.884	3.549	301	0.9979	0.930	94.935	0.013	-0.767	0.9990
D21	0.888	0.504	0.128	0.005	0.956	3.534	285	0.9994	0.968	925	0.004	-3.380	0.9995
D22	0.411	0.085	0.093	-0.271	0.418	3.582	338	0.9997	0.373	44.448	0.014	-0.704	0.9975
D23	0.571	0.197	0.134	-0.186	0.703	3.778	697	0.9983	0.640	138.740	0.011	-1.775	0.9994
D24	0.541	0.093	0.148	0.017	0.605	3.467	225	0.9987	0.619	925	0.005	-4.394	0.9987
D25	1.006	0.541	0.119	0.135	0.958	3.498	251	0.9990	0.986	202.770	0.008	-1.156	0.9996
D26	0.983	0.526	0.136	0.129	0.998	3.463	222	0.9982	1.029	202.770	0.010	-1.413	0.9976
D27	0.953	0.522	0.132	0.213	0.985	3.519	270	0.9985	1.043	64.959	0.016	-0.536	0.9972
D28	0.988	0.549	0.123	0.297	0.979	3.479	235	0.9993	1.045	44.448	0.019	-0.273	0.9966
D29	0.932	0.527	0.123	0.194	0.950	3.435	202	0.9991	0.991	94.935	0.013	-0.671	0.9979
D30	1.018	0.539	0.138	0.170	1.022	3.509	261	0.9981	1.071	94.935	0.014	-0.798	0.9971
D31	0.968	0.513	0.129	0.165	0.960	3.452	214	0.9988	0.996	138.740	0.011	-1.010	0.9978
D32	1.037	0.533	0.144	0.203	1.036	3.483	238	0.9990	1.087	94.935	0.015	-0.873	0.9976
E01	0.959	0.575	0.138	0.034	1.049	3.425	195	0.9980	1.060	925	0.005	-3.621	0.9980
E02	0.955	0.580	0.126	0.199	1.012	3.415	188	0.9971	1.053	94.935	0.013	-0.649	0.9958
E03	0.960	0.542	0.129	0.180	0.986	3.437	203	0.9995	1.030	94.935	0.013	-0.716	0.9985
E04	1.078	0.620	0.135	0.158	1.091	3.496	249	0.9995	1.130	138.740	0.011	-0.964	0.9987
E05	0.988	0.565	0.129	0.089	1.007	3.424	194	0.9992	1.025	433.080	0.006	-2.116	0.9989
E06	0.871	0.519	0.123	0.029	0.940	3.440	205	0.9969	0.950	925	0.004	-3.197	0.9969
E07	0.936	0.513	0.132	0.045	0.973	3.479	235	0.9991	0.985	925	0.004	-3.508	0.9990
E08	0.982	0.581	0.127	0.048	1.025	3.496	249	0.9993	1.037	925	0.004	-3.284	0.9992

**TOWER A-A THE PROBABILITY DISTRIBUTION FOR THE PEAK OF REGION PEAK PRESSURE**

TAP	STATISTICAL OF TIME HISTORIES				GAUSSIAN PROBABILITY DISTRIBUTION				GAMMA PROBABILITY DISTRIBUTION				
	Observed	Mean	Rms	Skewness	Est.Peak	Peak factor	$N = \nu T$	PPCC	Est.Peak	Shape	Scale	Location	PPCC
E09	1.023	0.565	0.153	-0.020	1.104	3.518	269	0.9992	1.072	925	0.005	-5.221	0.9991
E10	0.988	0.505	0.153	-0.024	1.083	3.767	668	0.9994	1.052	925	0.005	-5.170	0.9994
E11	0.877	0.535	0.120	-0.107	0.954	3.491	245	0.9989	0.913	296.340	0.007	-2.599	0.9993
E12	0.961	0.496	0.145	0.148	1.011	3.556	308	0.9988	1.055	138.740	0.012	-1.211	0.9981
E13	0.974	0.474	0.152	-0.089	1.053	3.801	760	0.9991	0.999	433.080	0.007	-3.644	0.9994
E14	0.933	0.366	0.199	-0.498	1.075	3.563	316	0.9926	0.965	14.240	0.053	-1.116	0.9992
E15	0.925	0.501	0.130	0.120	0.952	3.477	233	0.9989	0.982	202.770	0.009	-1.347	0.9984
E16	0.943	0.463	0.131	-0.030	0.923	3.520	271	0.9994	0.898	925	0.004	-4.439	0.9994
E17	0.892	0.471	0.129	0.132	0.926	3.539	290	0.9993	0.957	202.770	0.009	-1.359	0.9988
E18	0.888	0.495	0.123	0.064	0.922	3.468	226	0.9996	0.933	925	0.004	-3.246	0.9995
E19	0.854	0.454	0.124	0.162	0.886	3.486	241	0.9987	0.922	138.740	0.011	-1.007	0.9978
E20	1.039	0.545	0.134	0.270	1.013	3.492	246	0.9990	1.085	44.448	0.020	-0.348	0.9967
E21	0.962	0.589	0.134	0.129	1.049	3.441	206	0.9975	1.078	202.770	0.009	-1.310	0.9970
E22	0.749	0.311	0.145	-0.043	0.818	3.488	242	0.9990	0.780	925	0.005	-4.728	0.9991
E23	0.960	0.574	0.136	-0.225	1.048	3.483	238	0.9977	1.003	94.935	0.014	-1.900	0.9990
E24	0.903	0.382	0.167	0.133	0.956	3.435	202	0.9992	0.993	202.770	0.012	-1.997	0.9986
E25	1.007	0.575	0.129	0.220	1.019	3.441	206	0.9991	1.073	64.959	0.016	-0.465	0.9977
E26	0.961	0.509	0.140	0.121	0.994	3.454	215	0.9996	1.026	202.770	0.010	-1.487	0.9991
E27	0.899	0.466	0.129	0.073	0.934	3.615	381	0.9993	0.951	632.930	0.005	-2.787	0.9991
E28	0.909	0.514	0.126	0.197	0.956	3.505	257	0.9986	1.001	94.935	0.013	-0.713	0.9974
E29	0.969	0.528	0.110	0.081	0.914	3.506	258	0.9992	0.927	632.930	0.004	-2.243	0.9994

**TOWER A-A THE PROBABILITY DISTRIBUTION FOR THE PEAK OF REGION PEAK PRESSURE**

TAP	STATISTICAL OF TIME HISTORIES				GAUSSIAN PROBABILITY DISTRIBUTION				GAMMA PROBABILITY DISTRIBUTION				
	Observed	Mean	Rms	Skewness	Est.Peak	Peak factor	$N = \nu T$	PPCC	Est.Peak	Shape	Scale	Location	PPCC
E30	0.969	0.518	0.131	0.224	0.978	3.518	269	0.9992	1.037	64.959	0.016	-0.536	0.9976
E31	0.947	0.518	0.127	0.001	0.960	3.469	227	0.9991	0.971	925	0.004	-3.352	0.9992
E32	0.996	0.530	0.142	0.054	1.016	3.415	188	0.9995	1.029	925	0.005	-3.796	0.9994
F01	1.064	0.600	0.140	0.103	1.074	3.395	176	0.9991	1.098	296.340	0.008	-1.800	0.9988
F02	0.979	0.600	0.127	0.140	1.038	3.444	208	0.9995	1.067	202.770	0.009	-1.210	0.9989
F03	1.042	0.577	0.129	0.050	1.028	3.489	243	0.9987	1.040	925	0.004	-3.356	0.9988
F04	1.009	0.619	0.137	0.042	1.095	3.480	236	0.9974	1.107	925	0.004	-3.531	0.9973
F05	0.956	0.578	0.126	-0.035	1.012	3.447	210	0.9982	0.966	925	0.004	-4.405	0.9983
F06	0.889	0.516	0.138	-0.173	1.005	3.536	287	0.9983	0.945	138.740	0.012	-2.144	0.9993
F07	0.893	0.397	0.140	0.002	0.884	3.485	240	0.9996	0.898	925	0.005	-3.854	0.9995
F08	0.973	0.587	0.138	-0.042	1.074	3.547	298	0.9983	1.024	925	0.005	-4.763	0.9984
F09	1.032	0.584	0.143	-0.088	1.093	3.569	323	0.9972	1.036	632.930	0.006	-4.166	0.9974
F10	0.938	0.546	0.143	0.007	1.043	3.483	238	0.9985	1.056	925	0.005	-3.790	0.9986
F11	0.905	0.410	0.158	0.013	0.983	3.629	401	0.9982	1.000	925	0.005	-4.391	0.9982
F12	0.880	0.459	0.129	-0.003	0.907	3.469	227	0.9997	0.912	925	0.004	-4.383	0.9998
F13	0.914	0.478	0.138	-0.053	1.005	3.817	807	0.9997	0.989	925	0.005	-4.676	0.9998
F14	0.765	0.246	0.195	-0.506	0.934	3.538	289	0.9922	0.832	20.811	0.043	-1.132	0.9980
F15	0.702	0.315	0.116	0.088	0.720	3.500	253	0.9991	0.738	433.080	0.006	-2.097	0.9989
F16	0.884	0.359	0.163	-0.176	0.945	3.595	354	0.9982	0.865	138.740	0.014	-2.279	0.9992
F17	0.923	0.475	0.131	-0.101	0.933	3.489	243	0.9991	0.881	296.340	0.008	-2.734	0.9987
F18	0.875	0.487	0.124	0.172	0.918	3.489	243	0.9986	0.962	94.935	0.013	-0.718	0.9977

**TOWER A-A THE PROBABILITY DISTRIBUTION FOR THE PEAK OF REGION PEAK PRESSURE**

TAP	STATISTICAL OF TIME HISTORIES				GAUSSIAN PROBABILITY DISTRIBUTION				GAMMA PROBABILITY DISTRIBUTION				
	Observed	Mean	Rms	Skewness	Est.Peak	Peak factor	$N = \nu T$	PPCC	Est.Peak	Shape	Scale	Location	PPCC
F19	0.768	0.426	0.110	0.198	0.808	3.483	238	0.9993	0.847	94.935	0.011	-0.644	0.9982
F20	0.882	0.532	0.127	0.061	0.975	3.490	244	0.9978	0.986	925	0.004	-3.319	0.9977
F21	0.945	0.590	0.126	0.129	1.030	3.483	238	0.9978	1.059	202.770	0.009	-1.205	0.9973
F22	0.842	0.441	0.138	0.023	0.922	3.478	234	0.9973	0.934	925	0.005	-3.756	0.9973
F23	1.026	0.626	0.126	0.231	1.065	3.485	240	0.9994	1.120	64.959	0.016	-0.389	0.9979
F24	0.970	0.481	0.159	0.081	1.027	3.444	208	0.9988	1.050	433.080	0.008	-2.818	0.9986
F25	0.858	0.502	0.123	0.087	0.929	3.468	226	0.9991	0.947	433.080	0.006	-2.061	0.9989
F26	0.791	0.415	0.128	-0.081	0.866	3.514	266	0.9993	0.837	433.080	0.006	-3.083	0.9995
F27	0.801	0.314	0.188	-0.621	0.981	3.552	304	0.9897	0.850	9.744	0.060	-0.900	0.9990
F28	0.852	0.285	0.118	0.513	0.707	3.568	322	0.9928	0.829	14.240	0.031	-0.161	0.9995
F29	0.947	0.471	0.139	0.396	0.960	3.508	260	0.9994	1.073	20.811	0.031	-0.164	0.9948
F30	1.086	0.529	0.162	0.128	1.101	3.521	272	0.9999	1.140	202.770	0.011	-1.785	0.9994
F31	0.938	0.497	0.130	0.078	0.947	3.464	223	0.9992	0.962	632.930	0.005	-2.766	0.9990
F32	0.971	0.387	0.169	-0.092	0.981	3.510	262	0.9994	0.963	433.080	0.008	-3.908	0.9996
F33	0.885	0.435	0.142	0.040	0.937	3.542	293	0.9996	0.951	925.000	0.005	-3.872	0.9996
F34	0.856	0.410	0.171	-0.337	1.002	3.459	219	0.9959	0.894	30.414	0.031	-1.354	0.9995
F35	0.373	-0.120	0.158	-0.202	0.457	3.660	449	0.9987	0.399	94.935	0.016	-1.416	0.9999
G01	0.924	0.569	0.142	-0.237	1.067	3.502	255	0.9966	0.987	64.959	0.018	-1.715	0.9985
G02	0.969	0.553	0.136	0.017	1.062	3.740	604	0.9987	1.077	925	0.004	-3.576	0.9988
G03	0.899	0.491	0.137	-0.067	0.976	3.530	281	0.9991	0.937	632.930	0.005	-3.944	0.9993
G04	0.919	0.560	0.127	0.030	0.997	3.443	207	0.9982	1.008	925	0.004	-3.298	0.9982

**TOWER A-A THE PROBABILITY DISTRIBUTION FOR THE PEAK OF REGION PEAK PRESSURE**

STATISTICAL OF TIME HISTORIES					GAUSSIAN PROBABILITY DISTRIBUTION				GAMMA PROBABILITY DISTRIBUTION				
TAP	Observed	Mean	Rms	Skewness	Est.Peak	Peak factor	$N = \nu T$	PPCC	Est.Peak	Shape	Scale	Location	PPCC
G05	0.879	0.481	0.126	-0.009	0.914	3.438	204	0.9987	0.881	925	0.004	-4.311	0.9987
G06	0.742	0.296	0.122	-0.019	0.726	3.516	267	0.9993	0.701	925	0.004	-4.011	0.9993
G30	0.738	0.319	0.131	0.043	0.77802	3.508	260	0.9995	0.79061	925	0.0043	-3.660	0.9995
G31	0.923	0.494	0.135	0.039	0.95626	3.437	203	0.9996	0.96819	925	0.00442	-3.598	0.9995
G32	1.013	0.507	0.156	-0.056	1.1845	4.347	7046	0.9996	1.1474	925	0.00513	-5.249	0.9997
G33	1.013	0.510	0.159	-0.076	1.0755	3.554	306	0.9994	1.0281	632.93	0.00633	-4.515	0.9996
G34	0.988	0.440	0.179	-0.289	1.0607	3.470	228	0.9971	0.97815	44.448	0.02683	-1.632	0.9995
G35	0.867	0.411	0.141	-0.019	1.0246	4.345	7007	1.0000	1.0226	925	0.00465	-4.709	0.9999

**TOWER A-A THE EXTREME VALUE DISTRIBUTION FOR THE PEAK OF REGION PEAK SUCTION**

TAP	STATISTICAL OF TIME HISTORIES					EVD TYPE I (GUMBEL)			GENERALIZED EXTREME VALUE			
	Degree	Observed	Mean	Rms	Skewness	Est.Peak	Scale	Location	Est.Peak	Scale	Location	Shape
AA01	337.5	-2.324	-0.868	0.277	-1.061	-2.541	0.245	1.583	-2.271	0.315	1.776	0.568
AA02	337.5	-1.586	-0.607	0.216	-0.978	-1.786	0.182	1.076	-1.704	0.223	1.241	0.366
AA03	157.5	-1.053	-0.723	0.090	-0.323	-1.125	0.063	0.878	-1.134	0.073	0.942	0.217
AA04	157.5	-0.954	-0.654	0.084	-0.306	-1.023	0.058	0.798	-0.972	0.074	0.846	0.502
AA05	157.5	-1.556	-1.092	0.127	-0.451	-1.668	0.088	1.324	-1.640	0.108	1.405	0.339
AA06	180	-1.190	-0.888	0.086	-0.254	-1.239	0.048	1.050	-1.236	0.056	1.097	0.253
AA07	22.5	-1.228	-0.808	0.119	-0.335	-1.284	0.065	1.028	-1.284	0.076	1.092	0.239
AA08	202.5	-1.137	-0.708	0.097	-0.509	-1.191	0.074	0.902	-1.113	0.093	0.961	0.536
AA09	202.5	-1.243	-0.785	0.109	-0.391	-1.287	0.076	0.990	-1.225	0.093	1.055	0.452
AA10	112.5	-0.162	0.001	0.042	0.021	-0.202	0.035	0.065	-0.165	0.045	0.093	0.561
AA11	90	-0.967	-0.462	0.138	-0.342	-1.071	0.085	0.739	-1.086	0.096	0.825	0.196
AA12	0	-0.789	-0.396	0.085	0.432	-0.773	0.055	0.556	-0.678	0.070	0.593	0.775
AA13	315	-0.875	-0.510	0.083	-0.276	-0.866	0.047	0.682	-0.794	0.060	0.715	0.710
AA14	315	-0.976	-0.519	0.098	-0.561	-0.974	0.057	0.751	-0.909	0.071	0.796	0.557
AA15	292.5	-1.045	-0.313	0.103	-1.302	-0.974	0.101	0.579	-0.817	0.127	0.650	0.711
AA16	22.5	-1.398	-0.181	0.180	-0.825	-1.203	0.151	0.614	-0.900	0.182	0.703	0.900
AA17	22.5	-1.982	-0.251	0.250	-1.570	-2.147	0.327	0.872	-1.809	0.414	1.134	0.539
AA18	90	-1.904	-0.616	0.279	-0.005	-1.731	0.143	1.174	-1.456	0.171	1.262	0.848
AA19	337.5	-0.973	-0.579	0.086	-0.559	-0.986	0.061	0.749	-0.914	0.076	0.796	0.579
AA20	337.5	-1.043	-0.660	0.082	-0.578	-1.067	0.064	0.818	-1.015	0.079	0.872	0.459

**TOWER A-A THE EXTREME VALUE DISTRIBUTION FOR THE PEAK OF REGION PEAK SUCTION**

TAP	STATISTICAL OF TIME HISTORIES					EVD TYPE I (GUMBEL)			GENERALIZED EXTREME VALUE			
	Degree	Observed	Mean	Rms	Skewness	Est.Peak	Scale	Location	Est.Peak	Scale	Location	Shape
AA21	337.5	-1.337	-0.873	0.105	-0.288	-1.347	0.072	1.067	-1.245	0.090	1.119	0.656
AA22	337.5	-1.863	-1.141	0.142	-0.525	-1.871	0.121	1.398	-1.770	0.147	1.500	0.448
AA23	315	-1.757	-0.914	0.126	-0.676	-1.607	0.111	1.176	-1.410	0.136	1.247	0.797
AA24	90	-0.813	-0.017	0.180	-1.006	-0.935	0.118	0.473	-0.867	0.150	0.578	0.416
AA25	90	-0.951	-0.061	0.180	-0.603	-0.998	0.142	0.443	-0.861	0.175	0.560	0.498
AA26	90	-1.065	-0.262	0.173	-0.465	-1.084	0.107	0.667	-0.948	0.133	0.748	0.602
AA27	90	-0.898	-0.410	0.129	-0.104	-0.967	0.071	0.689	-0.918	0.089	0.750	0.437
AA28	90	-0.694	-0.362	0.101	0.136	-0.743	0.047	0.559	-0.725	0.057	0.602	0.339
AA29	90	-0.781	-0.408	0.115	0.074	-0.830	0.051	0.632	-0.821	0.061	0.680	0.298
AA30	90	-0.698	-0.374	0.107	0.218	-0.756	0.048	0.569	-0.744	0.058	0.614	0.315
AA31	90	-0.943	-0.459	0.106	-0.176	-0.966	0.076	0.669	-0.878	0.096	0.729	0.571
AA32	45	-0.903	0.188	0.133	-1.695	-0.843	0.191	0.098	-0.663	0.237	0.255	0.498
A01	337.5	-1.961	-0.935	0.210	-0.507	-1.975	0.141	1.425	-1.786	0.175	1.530	0.622
A02	337.5	-1.806	-0.779	0.236	-0.431	-1.822	0.138	1.284	-1.745	0.168	1.407	0.388
A03	315	-1.490	-0.695	0.143	-0.760	-1.501	0.118	1.040	-1.386	0.146	1.137	0.501
A04	157.5	-1.569	-1.092	0.137	-0.464	-1.664	0.083	1.342	-1.657	0.098	1.421	0.272
A05	157.5	-1.783	-1.198	0.135	-0.523	-1.786	0.092	1.428	-1.670	0.115	1.498	0.603
A06	180	-1.919	-1.415	0.140	-0.262	-1.972	0.078	1.669	-1.892	0.098	1.731	0.535
A07	202.5	-2.272	-1.430	0.217	-0.445	-2.396	0.148	1.821	-2.344	0.178	1.957	0.337
A08	202.5	-2.499	-1.618	0.213	-0.455	-2.586	0.136	2.055	-2.563	0.159	2.185	0.279

**TOWER A-A THE EXTREME VALUE DISTRIBUTION FOR THE PEAK OF REGION PEAK SUCTION**

TAP	STATISTICAL OF TIME HISTORIES					EVD TYPE I (GUMBEL)			GENERALIZED EXTREME VALUE			
	Degree	Observed	Mean	Rms	Skewness	Est.Peak	Scale	Location	Est.Peak	Scale	Location	Shape
A09	202.5	-1.669	-0.952	0.146	-0.486	-1.645	0.112	1.209	-1.504	0.137	1.294	0.588
A10	90	-1.601	-0.847	0.175	-0.586	-1.610	0.112	1.174	-1.643	0.124	1.288	0.169
A11	22.5	-1.114	-0.427	0.104	-0.905	-1.109	0.109	0.683	-0.978	0.135	0.767	0.573
A12	22.5	-1.102	-0.506	0.132	-0.175	-1.138	0.093	0.774	-1.019	0.120	0.844	0.621
A13	22.5	-1.191	-0.389	0.157	-0.677	-1.239	0.130	0.730	-1.016	0.167	0.815	0.790
A14	315	-1.117	-0.581	0.109	-0.804	-1.176	0.090	0.823	-1.091	0.114	0.897	0.506
A15	0	-1.067	-0.406	0.073	-1.012	-0.975	0.108	0.555	-0.727	0.126	0.610	1.054
A16	22.5	-1.118	-0.259	0.197	-0.586	-1.139	0.118	0.678	-1.086	0.138	0.786	0.336
A17	270	-2.310	-0.670	0.287	-0.825	-2.376	0.239	1.444	-2.053	0.301	1.621	0.640
A18	157.5	-1.712	-0.941	0.218	-0.337	-1.849	0.121	1.377	-1.730	0.155	1.475	0.532
A19	157.5	-1.612	-0.660	0.238	-1.032	-1.840	0.145	1.273	-1.897	0.167	1.423	0.173
A20	337.5	-1.453	-0.924	0.114	-0.651	-1.494	0.087	1.154	-1.429	0.109	1.228	0.446
A21	337.5	-1.957	-1.361	0.167	-0.426	-2.040	0.094	1.673	-2.026	0.112	1.763	0.287
A22	22.5	-2.212	-1.244	0.201	-0.446	-2.159	0.128	1.659	-2.089	0.152	1.773	0.368
A23	0	-1.799	-0.998	0.190	-0.244	-1.848	0.130	1.342	-1.705	0.163	1.444	0.553
A24	180	-1.034	-0.586	0.117	0.037	-1.042	0.050	0.846	-0.984	0.062	0.885	0.559
A25	90	-1.181	-0.283	0.179	-0.228	-1.191	0.131	0.679	-0.989	0.167	0.770	0.719
A26	90	-1.215	-0.477	0.146	0.260	-1.190	0.104	0.783	-0.978	0.128	0.843	0.926
A27	90	-1.299	-0.726	0.162	-0.101	-1.379	0.080	1.068	-1.333	0.099	1.138	0.402
A28	90	-0.945	-0.540	0.119	-0.189	-0.996	0.046	0.817	-0.987	0.055	0.860	0.297

**TOWER A-A THE EXTREME VALUE DISTRIBUTION FOR THE PEAK OF REGION PEAK SUCTION**

TAP	STATISTICAL OF TIME HISTORIES					EVD TYPE I (GUMBEL)			GENERALIZED EXTREME VALUE			
	Degree	Observed	Mean	Rms	Skewness	Est.Peak	Scale	Location	Est.Peak	Scale	Location	Shape
A29	90	-0.983	-0.507	0.126	-0.378	-1.068	0.072	0.787	-1.026	0.091	0.851	0.411
A30	90	-1.034	-0.460	0.114	-0.479	-1.032	0.084	0.705	-0.905	0.107	0.764	0.709
A31	67.5	-1.629	-0.443	0.149	-1.293	-1.452	0.188	0.717	-1.035	0.226	0.817	1.018
A32	180	-1.171	-0.384	0.088	-1.274	-0.986	0.100	0.595	-0.773	0.118	0.651	0.952
B01	337.5	-2.092	-1.068	0.226	-0.221	-2.206	0.167	1.555	-2.042	0.211	1.691	0.523
B03	157.5	-1.358	-0.936	0.106	-0.435	-1.434	0.084	1.105	-1.373	0.105	1.177	0.439
B04	157.5	-2.000	-1.388	0.165	-0.459	-2.090	0.103	1.690	-2.069	0.126	1.787	0.314
B05	180	-2.022	-1.398	0.167	-0.167	-2.063	0.100	1.673	-2.027	0.120	1.765	0.332
B05	180	-2.034	-1.398	0.167	-0.167	-2.063	0.100	1.673	-2.027	0.120	1.765	0.332
B06	180	-2.811	-1.983	0.215	-0.249	-2.895	0.142	2.342	-2.732	0.178	2.453	0.567
B07	180	-2.847	-1.893	0.254	-0.441	-3.014	0.173	2.338	-2.952	0.209	2.498	0.338
B08	202.5	-2.706	-1.714	0.251	-0.555	-2.916	0.193	2.164	-2.791	0.246	2.332	0.437
B09	202.5	-1.982	-1.119	0.198	-0.424	-1.991	0.125	1.502	-1.832	0.158	1.597	0.610
B10	90	-1.518	-0.875	0.176	-0.238	-1.602	0.103	1.201	-1.525	0.129	1.289	0.452
B11	22.5	-1.157	-0.513	0.132	-0.816	-1.210	0.099	0.824	-1.143	0.120	0.910	0.411
B12	67.5	-0.992	-0.406	0.104	-0.663	-1.049	0.088	0.706	-1.054	0.099	0.793	0.213
B13	67.5	-1.455	-0.532	0.148	-0.761	-1.377	0.119	0.913	-1.193	0.148	0.996	0.704
B14	67.5	-1.510	-0.541	0.182	-0.635	-1.529	0.132	1.016	-1.327	0.167	1.107	0.716
B15	22.5	-1.212	-0.537	0.156	-0.566	-1.309	0.102	0.913	-1.289	0.120	1.009	0.291
B16	22.5	-1.103	-0.458	0.154	-0.355	-1.146	0.087	0.804	-1.052	0.110	0.874	0.545

**TOWER A-A THE EXTREME VALUE DISTRIBUTION FOR THE PEAK OF REGION PEAK SUCTION**

TAP	STATISTICAL OF TIME HISTORIES					EVD TYPE I (GUMBEL)			GENERALIZED EXTREME VALUE			
	Degree	Observed	Mean	Rms	Skewness	Est.Peak	Scale	Location	Est.Peak	Scale	Location	Shape
B17	292.5	-1.430	-0.462	0.141	-1.712	-1.657	0.196	0.894	-1.562	0.243	1.070	0.384
B18	157.5	-1.839	-1.050	0.213	0.026	-1.909	0.103	1.506	-1.804	0.131	1.589	0.536
B19	157.5	-1.854	-0.849	0.337	-0.061	-1.990	0.138	1.450	-1.992	0.161	1.586	0.240
B20	157.5	-1.510	-0.603	0.220	-1.114	-1.684	0.144	1.123	-1.585	0.184	1.247	0.451
B21	0	-2.015	-1.343	0.186	-0.374	-2.124	0.110	1.696	-2.063	0.139	1.793	0.409
B22	0	-3.070	-2.036	0.271	-0.415	-3.177	0.150	2.592	-3.194	0.169	2.741	0.206
B23	0	-2.696	-1.710	0.257	-0.502	-2.818	0.153	2.220	-2.803	0.175	2.368	0.251
B24	202.5	-2.623	-1.464	0.312	0.131	-2.700	0.173	2.024	-2.706	0.194	2.194	0.216
B25	202.5	-1.819	-0.946	0.237	-0.427	-1.981	0.126	1.489	-1.981	0.150	1.613	0.258
B26	202.5	-1.369	-0.723	0.134	-0.485	-1.479	0.103	1.077	-1.342	0.134	1.153	0.652
B27	180	-1.382	-0.468	0.089	-2.181	-1.479	0.103	1.077	-1.342	0.134	1.153	0.652
B28	202.5	-1.171	-0.515	0.145	-0.371	-1.251	0.085	0.919	-1.188	0.106	0.992	0.442
B29	90	-0.984	-0.507	0.126	-0.378	-1.068	0.072	0.787	-1.026	0.091	0.851	0.411
B30	90	-1.023	-0.460	0.114	-0.479	-1.032	0.084	0.705	-0.905	0.107	0.764	0.709
B31	90	-0.851	-0.448	0.088	-0.442	-0.857	0.055	0.643	-0.792	0.069	0.686	0.577
B32	180	-0.755	-0.435	0.059	-0.653	-0.801	0.061	0.564	-0.714	0.078	0.608	0.685
C01	337.5	-2.453	-1.073	0.238	-0.059	-2.110	0.145	1.543	-1.860	0.172	1.641	0.742
C02	337.5	-1.964	-1.063	0.236	0.064	-2.049	0.129	1.544	-1.958	0.161	1.656	0.434
C03	337.5	-1.918	-0.822	0.216	-0.636	-1.930	0.154	1.331	-1.699	0.196	1.439	0.706
C04	157.5	-1.685	-1.254	0.135	-0.185	-1.777	0.073	1.491	-1.804	0.082	1.567	0.162

**TOWER A-A THE EXTREME VALUE DISTRIBUTION FOR THE PEAK OF REGION PEAK SUCTION**

TAP	STATISTICAL OF TIME HISTORIES					EVD TYPE I (GUMBEL)			GENERALIZED EXTREME VALUE			
	Degree	Observed	Mean	Rms	Skewness	Est.Peak	Scale	Location	Est.Peak	Scale	Location	Shape
C05	180	-2.595	-1.690	0.253	0.019	-2.633	0.145	2.068	-2.511	0.176	2.190	0.455
C06	180	-2.849	-2.054	0.223	-0.228	-2.901	0.126	2.412	-2.852	0.147	2.527	0.326
C07	180	-3.011	-2.044	0.254	-0.318	-3.101	0.144	2.538	-3.046	0.174	2.671	0.343
C08	202.5	-2.684	-1.701	0.242	-0.415	-2.829	0.177	2.138	-2.605	0.226	2.272	0.616
C09	225	-2.031	-1.249	0.191	-0.462	-2.099	0.122	1.625	-1.917	0.156	1.710	0.708
C10	90	-1.694	-1.006	0.213	0.018	-1.719	0.079	1.411	-1.603	0.100	1.467	0.689
C11	67.5	-1.183	-0.384	0.112	-1.256	-1.195	0.121	0.721	-1.042	0.151	0.814	0.597
C12	292.5	-1.053	-0.534	0.128	0.136	-1.059	0.058	0.833	-0.979	0.073	0.875	0.640
C13	67.5	-1.260	-0.516	0.154	-0.837	-1.420	0.126	0.926	-1.403	0.153	1.047	0.293
C14	67.5	-1.257	-0.563	0.166	-0.593	-1.341	0.106	0.927	-1.303	0.126	1.025	0.324
C15	292.5	-1.127	-0.643	0.115	-0.412	-1.150	0.062	0.909	-1.084	0.078	0.958	0.547
C16	22.5	-1.056	-0.447	0.114	-0.821	-1.061	0.082	0.742	-0.938	0.103	0.800	0.697
C17	22.5	-0.984	-0.433	0.100	-0.732	-1.015	0.086	0.681	-0.939	0.106	0.752	0.482
C18	157.5	-1.835	-1.114	0.176	0.177	-1.859	0.104	1.452	-1.707	0.130	1.527	0.666
C19	157.5	-1.702	-0.968	0.317	0.403	-1.843	0.097	1.463	-1.849	0.115	1.559	0.240
C20	157.5	-1.444	-0.718	0.223	-0.802	-1.587	0.087	1.247	-1.662	0.092	1.342	0.063
C21	337.5	-2.118	-1.480	0.188	-0.324	-2.248	0.116	1.796	-2.272	0.131	1.913	0.195
C22	337.5	-3.206	-2.130	0.270	-0.417	-3.287	0.175	2.604	-3.278	0.200	2.774	0.244
C23	22.5	-2.819	-1.552	0.311	-0.185	-2.823	0.186	2.097	-2.666	0.232	2.253	0.475
C24	45	-2.501	-1.398	0.254	-0.442	-2.602	0.174	1.922	-2.421	0.221	2.062	0.541

**TOWER A-A THE EXTREME VALUE DISTRIBUTION FOR THE PEAK OF REGION PEAK SUCTION**

TAP	STATISTICAL OF TIME HISTORIES					EVD TYPE I (GUMBEL)			GENERALIZED EXTREME VALUE			
	Degree	Observed	Mean	Rms	Skewness	Est.Peak	Scale	Location	Est.Peak	Scale	Location	Shape
C25	225	-1.671	-0.805	0.204	-0.697	-1.818	0.142	1.265	-1.809	0.165	1.402	0.259
C26	225	-1.525	-0.565	0.130	-0.547	-1.469	0.158	0.853	-1.365	0.184	0.992	0.382
C27	247.5	-1.164	-0.473	0.095	-0.785	-1.123	0.107	0.705	-0.957	0.133	0.780	0.703
C28	202.5	-1.122	-0.588	0.114	-0.140	-1.144	0.074	0.856	-1.059	0.093	0.914	0.570
C29	225	-0.905	-0.487	0.116	0.002	-1.026	0.078	0.720	-0.966	0.062	0.814	-0.200
C30	202.5	-0.825	-0.466	0.111	0.568	-0.874	0.045	0.699	-0.880	0.052	0.744	0.216
C31	202.5	-1.008	-0.449	0.155	0.295	-1.040	0.063	0.796	-0.990	0.078	0.849	0.457
C32	202.5	-0.763	-0.362	0.112	0.150	-0.803	0.052	0.601	-0.794	0.061	0.651	0.281
D01	337.5	-2.020	-1.152	0.200	0.081	-2.090	0.145	1.525	-1.896	0.186	1.632	0.645
D02	337.5	-1.780	-1.090	0.241	0.347	-1.930	0.099	1.543	-1.990	0.110	1.648	0.121
D03	337.5	-1.529	-0.772	0.203	-0.708	-1.677	0.110	1.250	-1.672	0.131	1.356	0.271
D04	157.5	-1.652	-1.238	0.130	-0.145	-1.705	0.069	1.436	-1.713	0.077	1.504	0.197
D05	180	-2.675	-1.770	0.284	-0.001	-2.787	0.131	2.278	-2.705	0.159	2.392	0.405
D06	180	-3.506	-2.430	0.305	-0.262	-3.656	0.186	2.932	-3.499	0.231	3.088	0.473
D07	180	-2.993	-2.113	0.231	-0.022	-2.976	0.117	2.520	-2.920	0.139	2.626	0.352
D08	202.5	-2.375	-1.607	0.224	-0.268	-2.506	0.127	2.010	-2.556	0.142	2.141	0.158
D09	90	-2.094	-1.351	0.208	-0.198	-2.167	0.106	1.753	-2.173	0.123	1.857	0.231
D10	90	-1.696	-1.031	0.205	0.012	-1.720	0.078	1.416	-1.643	0.098	1.479	0.520
D11	315	-0.938	-0.560	0.073	-0.125	-0.889	0.047	0.707	-0.830	0.057	0.743	0.582
D12	315	-1.035	-0.617	0.081	-0.272	-1.019	0.056	0.801	-0.985	0.066	0.850	0.377

**TOWER A-A THE EXTREME VALUE DISTRIBUTION FOR THE PEAK OF REGION PEAK SUCTION**

TAP	STATISTICAL OF TIME HISTORIES					EVD TYPE I (GUMBEL)			GENERALIZED EXTREME VALUE			
	Degree	Observed	Mean	Rms	Skewness	Est.Peak	Scale	Location	Est.Peak	Scale	Location	Shape
D13	292.5	-1.018	-0.626	0.083	-0.194	-0.977	0.045	0.800	-0.898	0.056	0.830	0.779
D14	90	-0.971	-0.409	0.107	-0.843	-1.041	0.085	0.710	-0.983	0.105	0.784	0.428
D15	67.5	-1.021	-0.428	0.110	-0.768	-1.037	0.088	0.695	-0.988	0.107	0.773	0.389
D16	315	-0.763	-0.492	0.080	-0.088	-0.827	0.046	0.649	-0.850	0.049	0.697	0.121
D17	45	-0.977	-0.448	0.083	-0.662	-0.984	0.081	0.667	-0.823	0.101	0.715	0.907
D18	157.5	-1.632	-1.140	0.157	-0.005	-1.708	0.067	1.448	-1.728	0.074	1.516	0.168
D19	157.5	-1.657	-1.062	0.263	0.582	-1.742	0.073	1.457	-1.765	0.081	1.532	0.168
D20	157.5	-1.579	-0.807	0.225	-0.586	-1.673	0.099	1.287	-1.744	0.105	1.393	0.081
D21	337.5	-1.999	-1.406	0.174	-0.209	-2.077	0.099	1.693	-2.025	0.122	1.781	0.389
D22	0	-2.447	-1.734	0.200	-0.159	-2.548	0.111	2.113	-2.476	0.137	2.210	0.414
D23	0	-2.841	-1.869	0.249	-0.344	-3.008	0.183	2.293	-2.838	0.230	2.444	0.502
D24	45	-2.403	-1.639	0.236	-0.275	-2.531	0.112	2.093	-2.515	0.133	2.200	0.285
D25	22.5	-1.628	-0.667	0.217	-0.454	-1.616	0.134	1.092	-1.504	0.164	1.205	0.454
D26	202.5	-1.038	-0.530	0.093	-0.691	-1.035	0.068	0.769	-0.907	0.086	0.811	0.860
D27	202.5	-1.027	-0.534	0.090	-0.571	-1.073	0.082	0.754	-0.974	0.106	0.817	0.609
D28	225	-0.955	-0.448	0.083	-0.662	-0.980	0.053	0.773	-0.958	0.064	0.821	0.353
D29	225	-0.983	-0.518	0.124	-0.245	-1.143	0.104	0.737	-1.059	0.075	0.866	-0.290
D30	225.00	-0.931	-0.538	0.094	-0.450	-0.999	0.071	0.724	-0.964	0.087	0.787	0.378
D31	45.00	-0.989	-0.028	0.153	-0.541	-0.956	0.143	0.399	-0.720	0.178	0.495	0.748
D32	202.5	-0.793	-0.486	0.104	-0.210	-0.828	0.046	0.648	-0.823	0.054	0.692	0.266

**TOWER A-A THE EXTREME VALUE DISTRIBUTION FOR THE PEAK OF REGION PEAK SUCTION**

TAP	STATISTICAL OF TIME HISTORIES					EVD TYPE I (GUMBEL)			GENERALIZED EXTREME VALUE			
	Degree	Observed	Mean	Rms	Skewness	Est.Peak	Scale	Location	Est.Peak	Scale	Location	Shape
E01	337.5	-2.256	-1.230	0.210	0.110	-2.225	0.153	1.628	-2.034	0.189	1.745	0.588
E02	337.5	-2.058	-1.184	0.275	0.057	-2.183	0.117	1.726	-2.170	0.137	1.839	0.268
E03	157.5	-1.897	-1.384	0.164	-0.023	-1.949	0.072	1.669	-1.898	0.090	1.731	0.444
E04	157.5	-2.012	-1.435	0.163	-0.191	-2.060	0.082	1.739	-2.066	0.094	1.820	0.223
E05	157.5	-2.670	-1.954	0.227	-0.061	-2.779	0.104	2.374	-2.731	0.129	2.468	0.381
E06	180	-3.919	-2.844	0.326	-0.199	-4.112	0.182	3.400	-3.982	0.230	3.557	0.447
E07	180	-3.335	-2.284	0.287	-0.158	-3.373	0.134	2.849	-3.337	0.160	2.975	0.311
E08	202.5	-3.164	-2.132	0.310	-0.101	-3.282	0.141	2.730	-3.299	0.161	2.871	0.210
E09	90	-2.683	-1.790	0.279	-0.160	-2.830	0.146	2.262	-2.802	0.177	2.400	0.309
E10	112.5	-1.925	-1.169	0.217	-0.135	-2.015	0.109	1.591	-1.972	0.130	1.691	0.340
E11	292.5	-0.950	-0.568	0.077	-0.336	-0.954	0.055	0.739	-0.874	0.070	0.779	0.680
E12	315	-0.998	-0.647	0.097	-0.285	-1.062	0.050	0.867	-1.110	0.050	0.922	0.023
E13	315	-1.006	-0.652	0.099	-0.299	-1.094	0.061	0.857	-1.099	0.072	0.917	0.244
E14	292.5	-0.915	-0.431	0.105	0.253	-0.939	0.043	0.773	-0.947	0.047	0.816	0.188
E15	247.5	-1.105	-0.603	0.133	-0.167	-1.170	0.067	0.910	-1.128	0.082	0.969	0.415
E16	225	-0.999	-0.703	0.097	-0.080	-1.060	0.044	0.888	-1.051	0.054	0.930	0.313
E17	225	-1.056	-0.713	0.092	-0.129	-1.088	0.048	0.900	-1.091	0.055	0.948	0.221
E18	157.5	-1.834	-1.207	0.197	0.070	-1.920	0.093	1.556	-1.871	0.113	1.640	0.376
E19	157.5	-1.899	-1.004	0.289	-0.192	-2.006	0.127	1.511	-2.084	0.135	1.645	0.097
E20	315	-1.753	-1.267	0.153	-0.224	-1.844	0.078	1.538	-1.769	0.102	1.601	0.532

**TOWER A-A THE EXTREME VALUE DISTRIBUTION FOR THE PEAK OF REGION PEAK SUCTION**

TAP	STATISTICAL OF TIME HISTORIES					EVD TYPE I (GUMBEL)			GENERALIZED EXTREME VALUE			
	Degree	Observed	Mean	Rms	Skewness	Est.Peak	Scale	Location	Est.Peak	Scale	Location	Shape
E21	337.5	-2.090	-1.480	0.184	-0.205	-2.197	0.097	1.818	-2.138	0.122	1.903	0.417
E22	337.5	-3.552	-2.266	0.316	-0.379	-3.471	0.160	2.847	-3.281	0.195	2.972	0.559
E23	22.5	-3.301	-2.249	0.323	-0.162	-3.463	0.167	2.813	-3.388	0.205	2.964	0.367
E24	22.5	-2.996	-1.864	0.318	-0.274	-3.044	0.150	2.460	-2.912	0.184	2.585	0.473
E25	45	-1.681	-1.054	0.178	-0.126	-1.754	0.088	1.411	-1.743	0.104	1.495	0.278
E26	202.5	-0.910	-0.495	0.071	-0.746	-0.927	0.062	0.684	-0.858	0.078	0.733	0.557
E27	225	-1.066	-0.667	0.085	-0.267	-1.033	0.052	0.831	-0.957	0.065	0.868	0.676
E28	45	-0.879	-0.004	0.267	-0.215	-0.957	0.104	0.551	-0.922	0.122	0.648	0.317
E29	202.5	-1.017	-0.559	0.118	-0.004	-1.110	0.069	0.839	-1.104	0.084	0.906	0.283
E30	202.5	-0.803	-0.454	0.063	-0.537	-0.818	0.057	0.597	-0.719	0.073	0.633	0.814
E31	45	-1.244	-0.217	0.174	-0.814	-1.334	0.172	0.664	-1.080	0.222	0.785	0.704
E32	225	-1.454	-0.911	0.155	0.057	-1.531	0.087	1.192	-1.458	0.109	1.265	0.474
F01	337.5	-2.650	-1.421	0.346	-0.195	-2.835	0.162	2.203	-2.881	0.181	2.368	0.174
F02	337.5	-2.097	-0.826	0.263	-0.851	-2.040	0.152	1.446	-1.926	0.183	1.577	0.422
F03	135	-1.525	-1.090	0.135	-0.135	-1.581	0.066	1.323	-1.568	0.078	1.385	0.289
F04	157.5	-2.190	-1.502	0.163	0.034	-2.167	0.094	1.799	-2.036	0.119	1.868	0.649
F05	157.5	-2.194	-1.662	0.183	0.078	-2.292	0.082	1.971	-2.260	0.099	2.046	0.344
F06	180	-3.180	-2.365	0.279	0.105	-3.287	0.110	2.857	-3.325	0.119	2.970	0.144
F07	202.5	-2.973	-1.858	0.300	-0.128	-3.043	0.159	2.422	-2.813	0.206	2.535	0.693
F08	67.5	-2.214	-1.421	0.218	-0.092	-2.266	0.110	1.837	-2.181	0.136	1.931	0.448

**TOWER A-A THE EXTREME VALUE DISTRIBUTION FOR THE PEAK OF REGION PEAK SUCTION**

TAP	STATISTICAL OF TIME HISTORIES					EVD TYPE I (GUMBEL)			GENERALIZED EXTREME VALUE			
	Degree	Observed	Mean	Rms	Skewness	Est.Peak	Scale	Location	Est.Peak	Scale	Location	Shape
F09	90	-2.400	-1.639	0.223	-0.151	-2.429	0.092	2.069	-2.379	0.110	2.152	0.370
F10	112.5	-1.737	-1.098	0.176	-0.252	-1.793	0.090	1.442	-1.704	0.114	1.515	0.524
F11	112.5	-1.300	-0.719	0.137	-0.465	-1.310	0.070	1.039	-1.245	0.087	1.096	0.503
F12	292.5	-1.181	-0.710	0.105	-0.197	-1.192	0.067	0.931	-1.124	0.083	0.985	0.522
F13	292.5	-1.377	-0.863	0.143	-0.267	-1.438	0.073	1.153	-1.355	0.094	1.210	0.585
F14	112.5	-1.156	-0.559	0.151	-0.156	-1.205	0.072	0.926	-1.229	0.078	0.999	0.148
F15	292.5	-0.939	-0.588	0.079	-0.333	-0.942	0.051	0.742	-0.875	0.064	0.780	0.619
F16	270	-1.058	-0.551	0.106	-0.515	-1.072	0.075	0.780	-0.975	0.096	0.836	0.631
F17	225	-1.175	-0.790	0.101	0.065	-1.218	0.060	0.984	-1.203	0.071	1.040	0.301
F18	157.5	-1.923	-1.276	0.261	0.314	-2.045	0.077	1.745	-2.046	0.093	1.820	0.267
F19	157.5	-1.904	-0.871	0.267	-0.876	-2.102	0.155	1.497	-2.099	0.183	1.648	0.259
F20	337.5	-1.538	-1.022	0.157	-0.117	-1.617	0.074	1.330	-1.581	0.090	1.397	0.378
F21	337.5	-2.418	-1.599	0.209	-0.075	-2.350	0.091	1.994	-2.274	0.108	2.071	0.432
F22	337.5	-2.607	-1.827	0.258	-0.189	-2.815	0.132	2.299	-2.900	0.146	2.439	0.113
F23	0	-2.528	-1.674	0.243	-0.305	-2.610	0.122	2.133	-2.498	0.153	2.234	0.497
F24	22.5	-2.553	-1.617	0.287	-0.278	-2.626	0.126	2.136	-2.547	0.156	2.246	0.414
F25	45	-1.821	-1.107	0.173	-0.201	-1.797	0.091	1.442	-1.694	0.115	1.513	0.563
F26	247.5	-0.959	-0.459	0.094	-0.739	-1.007	0.080	0.693	-0.918	0.101	0.756	0.555
F27	225	-0.994	-0.650	0.087	-0.263	-1.005	0.042	0.842	-0.957	0.053	0.875	0.576
F28	45	-0.926	-0.186	0.236	-0.103	-0.959	0.078	0.653	-0.894	0.098	0.719	0.470

**TOWER A-A THE EXTREME VALUE DISTRIBUTION FOR THE PEAK OF REGION PEAK SUCTION**

TAP	STATISTICAL OF TIME HISTORIES					EVD TYPE I (GUMBEL)			GENERALIZED EXTREME VALUE			
	Degree	Observed	Mean	Rms	Skewness	Est.Peak	Scale	Location	Est.Peak	Scale	Location	Shape
F29	45	-0.880	-0.278	0.196	0.204	-0.976	0.080	0.662	-0.955	0.099	0.738	0.325
F30	45	-1.724	-0.711	0.237	-0.243	-1.795	0.145	1.231	-1.715	0.177	1.359	0.389
F31	45	-1.265	-0.437	0.168	-0.681	-1.283	0.107	0.866	-1.092	0.136	0.934	0.823
F32	45	-0.910	-0.333	0.136	-0.374	-0.941	0.075	0.647	-0.846	0.097	0.704	0.619
F33	45	-1.055	-0.365	0.141	-0.114	-1.045	0.096	0.669	-0.906	0.120	0.739	0.662
F34	135	-1.533	-0.950	0.190	0.148	-1.589	0.068	1.326	-1.589	0.077	1.392	0.234
F35	225	-2.006	-1.233	0.219	-0.052	-2.080	0.113	1.638	-1.958	0.143	1.728	0.546
G01	337.5	-2.373	-1.079	0.343	-0.571	-2.577	0.179	1.879	-2.556	0.211	2.051	0.274
G02	157.5	-1.415	-1.009	0.120	-0.101	-1.465	0.056	1.248	-1.436	0.070	1.297	0.395
G03	180	-1.642	-0.614	0.159	-2.402	-1.591	0.193	0.839	-1.571	0.232	0.937	1.060
G04	157.5	-1.820	-1.335	0.149	0.046	-1.867	0.071	1.592	-1.862	0.081	1.660	0.250
G05	0	-1.674	-1.239	0.154	-0.038	-1.783	0.069	1.515	-1.833	0.075	1.589	0.094
G06	180	-1.810	-1.337	0.169	-0.119	-1.918	0.080	1.606	-1.911	0.097	1.683	0.285
G30	202.5	-2.228	-0.445	0.073	-0.539	-2.356	0.058	2.131	-2.384	0.063	2.192	0.135
G31	112.5	-1.274	-0.437	0.042	-0.248	-1.267	0.042	1.105	-1.216	0.053	1.137	0.600
G32	225	-1.411	-0.811	0.115	-0.144	-1.363	0.074	1.074	-1.318	0.089	1.139	0.390
G33	45	-1.435	-0.660	0.138	-0.538	-1.381	0.108	0.958	-1.231	0.133	1.038	0.631
G34	135	-1.443	-0.863	0.178	0.154	-1.491	0.087	1.150	-1.389	0.109	1.218	0.570
G35	225	-1.679	-1.149	0.156	-0.186	-1.795	0.087	1.455	-1.770	0.107	1.537	0.330

**TOWER A-A THE PROBABILITY DISTRIBUTION FOR THE PEAK OF REGION PEAK SUCTION**

TAP	STATISTICAL OF TIME HISTORIES				GAUSSIAN PROBABILITY DISTRIBUTION				GAMMA PROBABILITY DISTRIBUTION				
	Observed	Mean	Rms	Skewness	Est.Peak	Peak factor	$N = \nu T$	PPCC	Est.Peak	Shape	Scale	Location	PPCC
AA01	-2.324	-0.868	0.277	-1.061	-1.833	3.488	242	0.9994	-2.368	3.824	0.142	0.327	0.9993
AA02	-1.586	-0.607	0.216	-0.978	-1.358	3.477	233	0.9747	-1.773	3.824	0.110	0.185	0.9986
AA03	-1.053	-0.723	0.090	-0.323	-1.037	3.482	237	0.9991	-1.092	32.692	0.016	0.207	0.9964
AA04	-0.954	-0.654	0.084	-0.306	-0.949	3.507	259	0.9993	-0.995	42.749	0.013	0.105	0.9967
AA05	-1.556	-1.092	0.127	-0.451	-1.528	3.438	204	0.9987	-1.630	19.118	0.029	0.539	0.9935
AA06	-1.190	-0.888	0.086	-0.254	-1.196	3.566	319	0.9996	-1.240	55.902	0.012	0.242	0.9977
AA07	-1.228	-0.808	0.119	-0.335	-1.218	3.443	207	0.9993	-1.293	32.692	0.021	0.127	0.9959
AA08	-1.137	-0.708	0.097	-0.509	-1.079	3.849	913	0.9996	-1.197	14.620	0.025	0.339	0.9929
AA09	-1.243	-0.785	0.109	-0.391	-1.166	3.506	258	0.9956	-1.245	25	0.022	0.242	0.9999
AA10	-0.162	0.001	0.042	0.021	-0.183	4.409	9271	0.9999	-0.190	925	0.001	-1.283	0.9886
AA11	-0.967	-0.462	0.138	-0.342	-0.943	3.492	246	0.9995	-1.029	32.692	0.024	-0.324	0.9960
AA12	-0.789	-0.396	0.085	0.432	-0.700	3.599	359	0.9879	-0.703	25	0.017	-0.815	0.9916
AA13	-0.875	-0.510	0.083	-0.276	-0.807	3.578	333	0.9976	-0.848	55.902	0.011	-0.109	0.9998
AA14	-0.976	-0.519	0.098	-0.561	-0.890	3.774	686	0.9910	-1.021	11.180	0.029	0.192	0.9996
AA15	-1.045	-0.313	0.103	-1.302	-0.673	3.499	252	0.9516	-0.935	2.236	0.069	0.159	0.9990
AA16	-1.398	-0.181	0.180	-0.825	-0.808	3.480	236	0.9816	-1.071	6.538	0.070	-0.279	0.9989
AA17	-1.982	-0.251	0.250	-1.570	-1.130	3.511	263	0.9494	-1.773	2.236	0.167	-0.121	0.9950
AA18	-1.904	-0.616	0.279	-0.005	-1.601	3.534	285	0.9991	-1.690	125	0.025	-2.496	0.9982
AA19	-0.973	-0.579	0.086	-0.559	-0.890	3.621	389	0.9907	-0.994	11	0.026	0.292	0.9998
AA20	-1.043	-0.660	0.082	-0.578	-0.949	3.529	280	0.9910	-1.042	11.180	0.024	0.387	0.9995
AA21	-1.337	-0.873	0.105	-0.288	-1.257	3.651	435	0.9971	-1.312	55.902	0.014	0.088	0.9994

**TOWER A-A THE PROBABILITY DISTRIBUTION FOR THE PEAK OF REGION PEAK SUCTION**

TAP	STATISTICAL OF TIME HISTORIES				GAUSSIAN PROBABILITY DISTRIBUTION				GAMMA PROBABILITY DISTRIBUTION				
	Observed	Mean	Rms	Skewness	Est.Peak	Peak factor	$N = \nu T$	PPCC	Est.Peak	Shape	Scale	Location	PPCC
AA22	-1.863	-1.141	0.142	-0.525	-1.637	3.501	254	0.9926	-1.774	14.620	0.037	0.600	0.9995
AA23	-1.757	-0.914	0.126	-0.676	-1.356	3.518	269	0.9885	-1.499	11.180	0.038	0.494	0.9987
AA24	-0.813	-0.017	0.180	-1.006	-0.658	3.554	306	0.9983	-1.023	3.824	0.092	-0.335	0.9694
AA25	-0.951	-0.061	0.180	-0.603	-0.695	3.514	266	0.9897	-0.900	11.180	0.054	-0.542	0.9994
AA26	-1.065	-0.262	0.173	-0.465	-0.870	3.511	263	0.9941	-1.018	19.118	0.040	-0.496	0.9995
AA27	-0.898	-0.410	0.129	-0.104	-0.869	3.563	316	0.9994	-0.910	125	0.012	-1.030	0.9995
AA28	-0.694	-0.362	0.101	0.136	-0.713	3.467	225	0.9991	-0.696	125	0.009	-1.494	0.9995
AA29	-0.781	-0.408	0.115	0.074	-0.807	3.482	237	0.9991	-0.804	125	0.010	-1.689	0.9989
AA30	-0.698	-0.374	0.107	0.218	-0.744	3.467	225	0.9978	-0.728	73.100	0.012	-1.285	0.9990
AA31	-0.943	-0.459	0.106	-0.176	-0.828	3.468	226	0.9974	-0.859	125.000	0.009	-0.729	0.9980
AA32	-0.903	0.188	0.133	-1.695	-0.279	3.506	258	0.9425	-0.669	1.710	0.101	-0.361	0.9939
A01	-1.961	-0.935	0.210	-0.507	-1.679	3.549	301	0.9930	-1.888	15.000	0.054	0.123	0.9997
A02	-1.806	-0.779	0.236	-0.431	-1.605	3.504	256	0.9931	-1.799	20.266	0.052	-0.283	0.9992
A03	-1.490	-0.695	0.143	-0.760	-1.202	3.554	306	0.9858	-1.396	8.218	0.050	0.286	0.9981
A04	-1.569	-1.092	0.137	-0.464	-1.602	3.716	553	0.9977	-1.753	15	0.035	0.562	0.9909
A05	-1.783	-1.198	0.135	-0.523	-1.663	3.444	208	0.9918	-1.786	15	0.035	0.674	0.9996
A06	-1.919	-1.415	0.140	-0.262	-1.906	3.505	257	0.9995	-1.978	49.980	0.020	0.423	0.9975
A07	-2.272	-1.430	0.217	-0.445	-2.174	3.425	195	0.9939	-2.341	20	0.048	0.452	0.9996
A08	-2.499	-1.618	0.213	-0.455	-2.347	3.421	192	0.9935	-2.513	20.266	0.047	0.660	0.9996
A09	-1.669	-0.952	0.146	-0.486	-1.455	3.454	215	0.9932	-1.570	20.266	0.032	0.296	0.9994
A10	-1.601	-0.847	0.175	-0.586	-1.445	3.415	188	0.9892	-1.631	11.102	0.053	0.264	0.9995

**TOWER A-A THE PROBABILITY DISTRIBUTION FOR THE PEAK OF REGION PEAK SUCTION**

TAP	STATISTICAL OF TIME HISTORIES				GAUSSIAN PROBABILITY DISTRIBUTION				GAMMA PROBABILITY DISTRIBUTION				
	Observed	Mean	Rms	Skewness	Est.Peak	Peak factor	$N = \nu T$	PPCC	Est.Peak	Shape	Scale	Location	PPCC
A11	-1.114	-0.427	0.104	-0.905	-0.801	3.609	373	0.9801	-0.972	6.082	0.042	0.172	0.9989
A12	-1.102	-0.506	0.132	-0.175	-0.978	3.577	332	0.9989	-1.023	123	0.012	-0.960	0.9997
A13	-1.191	-0.389	0.157	-0.677	-0.941	3.526	277	0.9870	-1.152	8.218	0.055	-0.060	0.9997
A14	-1.117	-0.581	0.109	-0.804	-0.967	3.534	285	0.9811	-1.141	6.082	0.044	0.312	0.9994
A15	-1.067	-0.406	0.073	-1.012	-0.674	3.675	475	0.9602	-0.731	19.118	0.016	0.098	0.9663
A16	-1.118	-0.259	0.197	-0.586	-0.938	3.449	212	0.9828	-1.185	8.218	0.068	-0.303	0.9953
A17	-2.310	-0.670	0.287	-0.825	-1.714	3.635	409	0.9785	-2.198	6.082	0.116	-0.038	0.9993
A18	-1.712	-0.941	0.218	-0.337	-1.702	3.500	253	0.9988	-1.855	27	0.042	-0.197	0.9949
A19	-1.612	-0.660	0.238	-1.032	-1.514	3.587	344	0.9952	-2.075	2.924	0.139	0.255	0.9585
A20	-1.453	-0.924	0.114	-0.651	-1.330	3.574	329	0.9884	-1.463	11.102	0.034	0.546	0.9992
A21	-1.957	-1.361	0.167	-0.426	-1.962	3.597	357	0.9990	-2.108	20.266	0.037	0.608	0.9933
A22	-2.212	-1.244	0.201	-0.446	-1.948	3.504	256	0.9941	-2.113	20.266	0.045	0.340	0.9995
A23	-1.799	-0.998	0.190	-0.244	-1.674	3.558	310	0.9978	-1.758	67.527	0.023	-0.562	0.9994
A24	-1.034	-0.586	0.117	0.037	-1.036	3.845	899	0.9987	-1.012	125	0.010	-1.893	0.9992
A25	-1.181	-0.283	0.179	-0.228	-0.914	3.519	270	0.9975	-0.980	92.164	0.019	-1.438	0.9988
A26	-1.215	-0.477	0.146	0.260	-1.006	3.614	379	0.9968	-0.999	42.749	0.022	-1.432	0.9952
A27	-1.299	-0.726	0.162	-0.101	-1.294	3.500	253	0.9994	-1.321	370.710	0.008	-2.394	0.9990
A28	-0.945	-0.540	0.119	-0.189	-0.965	3.583	340	0.9994	-1.011	92.164	0.012	-0.598	0.9983
A29	-0.983	-0.507	0.126	-0.378	-0.952	3.534	285	0.9996	-1.053	22.913	0.026	-0.097	0.9955
A30	-1.034	-0.460	0.114	-0.479	-0.857	3.482	237	0.9935	-0.943	22.913	0.024	-0.085	0.9991
A31	-1.629	-0.443	0.149	-1.293	-0.969	3.520	271	0.9680	-1.262	3.824	0.076	0.153	0.9931

**TOWER A-A THE PROBABILITY DISTRIBUTION FOR THE PEAK OF REGION PEAK SUCTION**

TAP	STATISTICAL OF TIME HISTORIES				GAUSSIAN PROBABILITY DISTRIBUTION				GAMMA PROBABILITY DISTRIBUTION				
	Observed	Mean	Rms	Skewness	Est.Peak	Peak factor	$N = \nu T$	PPCC	Est.Peak	Shape	Scale	Location	PPCC
A32	-1.171	-0.384	0.088	-1.274	-0.698	3.563	316	0.9689	-0.849	5	0.039	0.188	0.9924
B01	-2.092	-1.068	0.226	-0.221	-1.859	3.501	254	0.9977	-1.940	94.935	0.023	-1.132	0.9988
B03	-1.358	-0.936	0.106	-0.435	-1.300	3.435	202	0.9945	-1.381	20.811	0.023	0.453	0.9996
B04	-2.000	-1.388	0.165	-0.459	-1.954	3.438	204	0.9986	-2.079	20.811	0.036	0.638	0.9927
B05	-2.022	-1.398	0.167	-0.167	-1.960	3.369	161	0.9985	-2.012	94.935	0.017	-0.225	0.9992
B05	-2.034	-1.398	0.167	-0.167	-1.960	3.369	161	0.9985	-2.012	94.935	0.017	-0.225	0.9992
B06	-2.811	-1.983	0.215	-0.249	-2.708	3.376	165	0.9977	-2.796	64.959	0.027	0.253	0.9992
B07	-2.847	-1.893	0.254	-0.441	-2.749	3.376	165	0.9988	-2.976	14.240	0.067	0.936	0.9925
B08	-2.706	-1.714	0.251	-0.555	-2.575	3.431	199	0.9909	-2.811	14.240	0.067	0.766	0.9994
B09	-1.982	-1.119	0.198	-0.424	-1.800	3.440	205	0.9940	-1.951	20.811	0.043	0.215	0.9995
B10	-1.518	-0.875	0.176	-0.238	-1.490	3.501	254	0.9995	-1.567	64.959	0.022	-0.539	0.9977
B11	-1.157	-0.513	0.132	-0.816	-0.988	3.606	369	0.9811	-1.196	6.667	0.051	0.173	0.9996
B12	-0.992	-0.406	0.104	-0.663	-0.784	3.642	421	0.9884	-0.921	9.744	0.033	0.082	0.9998
B13	-1.455	-0.532	0.148	-0.761	-1.067	3.613	378	0.9851	-1.301	6.667	0.057	0.149	0.9995
B14	-1.510	-0.541	0.182	-0.635	-1.189	3.565	318	0.9892	-1.415	9.744	0.058	-0.026	0.9985
B15	-1.212	-0.537	0.156	-0.566	-1.089	3.529	280	0.9906	-1.246	14.240	0.041	-0.053	0.9997
B16	-1.103	-0.458	0.154	-0.355	-0.992	3.467	225	0.9961	-1.092	30.414	0.028	-0.390	0.9997
B17	-1.430	-0.462	0.141	-1.712	-0.981	3.674	472	0.9353	-1.485	1.462	0.117	0.292	0.9977
B18	-1.839	-1.050	0.213	0.026	-1.808	3.561	314	0.9994	-1.808	125	0.019	-3.426	0.9987
B19	-1.854	-0.849	0.337	-0.061	-1.999	3.415	188	0.9906	-2.048	296.340	0.019	-4.900	0.9902
B20	-1.510	-0.603	0.220	-1.114	-1.389	3.576	331	0.9933	-1.975	2.236	0.146	0.276	0.9523

**TOWER A-A THE PROBABILITY DISTRIBUTION FOR THE PEAK OF REGION PEAK SUCTION**

TAP	STATISTICAL OF TIME HISTORIES				GAUSSIAN PROBABILITY DISTRIBUTION				GAMMA PROBABILITY DISTRIBUTION				
	Observed	Mean	Rms	Skewness	Est.Peak	Peak factor	$N = \nu T$	PPCC	Est.Peak	Shape	Scale	Location	PPCC
B21	-2.015	-1.343	0.186	-0.374	-1.980	3.433	200	0.9995	-2.094	30.414	0.034	0.320	0.9953
B22	-3.070	-2.036	0.271	-0.415	-2.977	3.470	228	0.9987	-3.190	20.811	0.059	0.800	0.9936
B23	-2.696	-1.710	0.257	-0.502	-2.596	3.445	209	0.9995	-2.840	14.240	0.068	0.740	0.9924
B24	-2.623	-1.464	0.312	0.131	-2.558	3.508	260	0.9990	-2.540	125	0.028	-4.949	0.9986
B25	-1.819	-0.946	0.237	-0.427	-1.776	3.506	258	0.9995	-1.969	20.811	0.052	-0.134	0.9941
B26	-1.369	-0.723	0.134	-0.485	-1.211	3.652	436	0.9936	-1.331	20.811	0.029	0.112	0.9995
B27	-1.382	-0.468	0.089	-2.181	-1.211	3.652	436	0.9907	-1.122	1.308	0.077	0.367	0.9936
B28	-1.171	-0.515	0.145	-0.371	-1.057	3.738	600	0.9960	-1.170	30.414	0.026	-0.284	0.9993
B29	-0.984	-0.507	0.126	-0.378	-0.952	3.534	285	0.9996	-1.039	30.414	0.023	-0.188	0.9955
B30	-1.023	-0.460	0.114	-0.479	-0.857	3.482	237	0.9935	-0.947	20.811	0.025	-0.059	0.9991
B31	-0.851	-0.448	0.088	-0.442	-0.755	3.485	240	0.9943	-0.827	20.811	0.019	0.046	0.9998
B32	-0.755	-0.435	0.059	-0.653	-0.654	3.686	494	0.9885	-0.733	9.744	0.019	0.250	0.9976
C01	-2.453	-1.073	0.238	-0.059	-1.903	3.498	251	0.9982	-1.924	925	0.008	-6.140	0.9982
C02	-1.964	-1.063	0.236	0.064	-1.891	3.508	260	0.9988	-1.913	125	0.021	-3.699	0.9985
C03	-1.918	-0.822	0.216	-0.636	-1.597	3.591	349	0.9877	-1.874	9.744	0.069	0.147	0.9993
C04	-1.685	-1.254	0.135	-0.185	-1.715	3.408	184	0.9989	-1.759	94.935	0.014	-0.062	0.9977
C05	-2.595	-1.690	0.253	0.019	-2.545	3.382	168	0.9988	-2.535	125	0.023	-4.516	0.9994
C06	-2.849	-2.054	0.223	-0.228	-2.817	3.422	193	0.9991	-2.908	64.959	0.028	0.257	0.9974
C07	-3.011	-2.044	0.254	-0.318	-2.910	3.415	188	0.9962	-3.068	30.414	0.046	0.645	0.9994
C08	-2.684	-1.701	0.242	-0.415	-2.531	3.431	199	0.9946	-2.716	20.811	0.053	0.597	0.9993
C09	-2.031	-1.249	0.191	-0.462	-1.909	3.459	219	0.9935	-2.056	20.811	0.042	0.380	0.9995

**TOWER A-A THE PROBABILITY DISTRIBUTION FOR THE PEAK OF REGION PEAK SUCTION**

TAP	STATISTICAL OF TIME HISTORIES				GAUSSIAN PROBABILITY DISTRIBUTION				GAMMA PROBABILITY DISTRIBUTION				
	Observed	Mean	Rms	Skewness	Est.Peak	Peak factor	$N = \nu T$	PPCC	Est.Peak	Shape	Scale	Location	PPCC
C10	-1.694	-1.006	0.213	0.018	-1.741	3.454	215	0.9992	-1.693	125	0.019	-3.383	0.9985
C11	-1.183	-0.384	0.112	-1.256	-0.793	3.670	465	0.9656	-1.063	3.122	0.063	0.187	0.9981
C12	-1.053	-0.534	0.128	0.136	-1.004	3.678	480	0.9986	-1.005	125	0.011	-1.961	0.9990
C13	-1.260	-0.516	0.154	-0.837	-1.063	3.557	309	0.9787	-1.348	4.562	0.072	0.188	0.9994
C14	-1.257	-0.563	0.166	-0.593	-1.147	3.516	267	0.9874	-1.347	9.744	0.053	0.045	0.9989
C15	-1.127	-0.643	0.115	-0.412	-1.051	3.546	297	0.9941	-1.147	20.811	0.025	0.119	0.9995
C16	-1.056	-0.447	0.114	-0.821	-0.886	3.864	969	0.9795	-1.143	4.562	0.053	0.204	0.9993
C17	-0.984	-0.433	0.100	-0.732	-0.793	3.602	364	0.9844	-0.951	6.667	0.039	0.175	0.9998
C18	-1.835	-1.114	0.176	0.177	-1.732	3.512	264	0.9995	-1.681	95.591	0.018	-2.835	0.9986
C19	-1.702	-0.968	0.317	0.403	-2.067	3.470	228	0.9856	-1.777	19.118	0.072	-2.340	0.9904
C20	-1.444	-0.718	0.223	-0.802	-1.501	3.509	261	0.9913	-1.891	4.562	0.104	0.245	0.9676
C21	-2.118	-1.480	0.188	-0.324	-2.139	3.502	255	0.9982	-2.261	30.414	0.034	0.444	0.9949
C22	-3.206	-2.130	0.270	-0.417	-3.066	3.469	227	0.9949	-3.281	20.811	0.059	0.898	0.9998
C23	-2.819	-1.552	0.311	-0.185	-2.614	3.410	185	0.9967	-2.715	94.935	0.032	-1.475	0.9979
C24	-2.501	-1.398	0.254	-0.442	-2.282	3.479	235	0.9944	-2.487	20.811	0.056	0.238	0.9999
C25	-1.671	-0.805	0.204	-0.697	-1.527	3.546	297	0.9993	-1.834	6.667	0.079	0.280	0.9844
C26	-1.525	-0.565	0.130	-0.547	-1.045	3.682	486	0.9908	-1.162	20.811	0.029	-0.029	0.9970
C27	-1.164	-0.473	0.095	-0.785	-0.822	3.692	505	0.9853	-0.951	9.744	0.030	0.177	0.9970
C28	-1.122	-0.588	0.114	-0.140	-0.997	3.598	358	0.9985	-1.026	202.770	0.008	-1.028	0.9991
C29	-0.905	-0.487	0.116	0.002	-0.910	3.644	423	0.9987	-0.899	925	0.004	-4.011	0.9988
C30	-0.825	-0.466	0.111	0.568	-0.868	3.624	394	0.9907	-0.818	14.240	0.029	-0.884	0.9981

**TOWER A-A THE PROBABILITY DISTRIBUTION FOR THE PEAK OF REGION PEAK SUCTION**

TAP	STATISTICAL OF TIME HISTORIES				GAUSSIAN PROBABILITY DISTRIBUTION				GAMMA PROBABILITY DISTRIBUTION				
	Observed	Mean	Rms	Skewness	Est.Peak	Peak factor	$N = \nu T$	PPCC	Est.Peak	Shape	Scale	Location	PPCC
C31	-1.008	-0.449	0.155	0.295	-1.023	3.697	514	0.9984	-0.977	42.749	0.024	-1.462	0.9961
C32	-0.763	-0.362	0.112	0.150	-0.774	3.683	488	0.9990	-0.739	138.740	0.009	-1.680	0.9984
D01	-2.020	-1.152	0.200	0.081	-1.844	3.467	225	0.9980	-1.865	125.000	0.018	-3.380	0.9978
D02	-1.780	-1.090	0.241	0.347	-1.955	3.593	352	0.9962	-1.871	32.692	0.042	-2.465	0.9993
D03	-1.529	-0.772	0.203	-0.708	-1.498	3.583	340	0.9976	-1.810	6.667	0.078	0.250	0.9822
D04	-1.652	-1.238	0.130	-0.145	-1.670	3.334	143	0.9975	-1.702	138.740	0.011	-0.285	0.9967
D05	-2.675	-1.770	0.284	-0.001	-2.722	3.354	153	0.9996	-2.743	925	0.009	-6.855	0.9997
D06	-3.506	-2.430	0.305	-0.262	-3.461	3.374	164	0.9997	-3.613	44.448	0.046	0.394	0.9976
D07	-2.993	-2.113	0.231	-0.022	-2.902	3.416	189	0.9989	-2.920	925	0.008	-4.904	0.9989
D08	-2.375	-1.607	0.224	-0.268	-2.377	3.433	200	0.9991	-2.494	44	0.034	0.112	0.9970
D09	-2.094	-1.351	0.208	-0.198	-2.059	3.411	186	0.9994	-2.130	95	0.021	-0.671	0.9983
D10	-1.696	-1.031	0.205	0.012	-1.735	3.428	197	0.9992	-1.703	125	0.018	-3.324	0.9984
D11	-0.938	-0.560	0.073	-0.125	-0.825	3.630	403	0.9989	-0.838	433.080	0.004	-0.963	0.9993
D12	-1.035	-0.617	0.081	-0.272	-0.937	3.968	1455	0.9971	-0.996	44.448	0.012	0.080	0.9992
D13	-1.018	-0.626	0.083	-0.194	-0.926	3.611	376	0.9986	-0.951	138.740	0.007	-0.353	0.9996
D14	-0.971	-0.409	0.107	-0.843	-0.802	3.667	460	0.9818	-0.978	6.667	0.042	0.132	0.9990
D15	-1.021	-0.428	0.110	-0.768	-0.827	3.624	394	0.9833	-1.003	6.667	0.043	0.143	0.9998
D16	-0.763	-0.492	0.080	-0.088	-0.781	3.620	388	0.9991	-0.794	433.080	0.004	-1.167	0.9989
D17	-0.977	-0.448	0.083	-0.662	-0.752	3.644	423	0.9887	-0.863	10	0.027	0.188	0.9992
D18	-1.632	-1.140	0.157	-0.005	-1.692	3.520	271	0.9990	-1.707	925	0.005	-3.632	0.9990
D19	-1.657	-1.062	0.263	0.582	-1.977	3.484	239	0.9839	-1.714	8.550	0.089	-1.826	0.9945

**TOWER A-A THE PROBABILITY DISTRIBUTION FOR THE PEAK OF REGION PEAK SUCTION**

TAP	STATISTICAL OF TIME HISTORIES				GAUSSIAN PROBABILITY DISTRIBUTION				GAMMA PROBABILITY DISTRIBUTION				
	Observed	Mean	Rms	Skewness	Est.Peak	Peak factor	$N = \nu T$	PPCC	Est.Peak	Shape	Scale	Location	PPCC
D20	-1.579	-0.807	0.225	-0.586	-1.590	3.485	240	0.9906	-1.907	6.667	0.086	0.231	0.9765
D21	-1.999	-1.406	0.174	-0.209	-2.006	3.438	204	0.9995	-2.080	65	0.022	0.000	0.9982
D22	-2.447	-1.734	0.200	-0.159	-2.454	3.608	372	0.9995	-2.517	138.740	0.017	-0.616	0.9987
D23	-2.841	-1.869	0.249	-0.344	-2.736	3.480	236	0.9963	-2.899	30.414	0.045	0.495	0.9998
D24	-2.403	-1.639	0.236	-0.275	-2.446	3.427	196	0.9990	-2.565	44	0.035	0.070	0.9967
D25	-1.628	-0.667	0.217	-0.454	-1.411	3.428	197	0.9936	-1.578	20.811	0.048	-0.323	0.9995
D26	-1.038	-0.530	0.093	-0.691	-0.870	3.641	418	0.9870	-0.993	9.744	0.030	0.239	0.9996
D27	-1.027	-0.534	0.090	-0.571	-0.863	3.673	470	0.9911	-0.962	14.240	0.024	0.197	0.9977
D28	-0.955	-0.448	0.083	-0.662	-0.883	3.650	432	0.9932	-0.967	20.811	0.021	0.107	0.9995
D29	-0.983	-0.518	0.124	-0.245	-0.962	3.588	346	0.9980	-1.033	44.448	0.019	-0.305	0.9958
D30	-0.931	-0.538	0.094	-0.450	-0.863	3.616	383	0.9945	-0.923	44.448	0.016	-0.207	0.9960
D31	-0.989	-0.028	0.153	-0.541	-0.573	3.565	318	0.9882	-0.675	30.414	0.028	-0.809	0.9921
D32	-0.793	-0.486	0.104	-0.210	-0.808	3.588	345	0.9978	-0.780	64.959	0.013	-1.278	0.9995
E01	-2.256	-1.230	0.210	0.110	-1.959	3.478	234	0.9967	-1.993	125	0.019	-3.569	0.9969
E02	-2.058	-1.184	0.275	0.057	-2.146	3.495	248	0.9988	-2.105	125	0.025	-4.258	0.9984
E03	-1.897	-1.384	0.164	-0.023	-1.953	3.478	234	0.9990	-1.968	925	0.005	-3.589	0.9990
E04	-2.012	-1.435	0.163	-0.191	-2.004	3.485	240	0.9991	-2.060	94.935	0.017	-0.154	0.9980
E05	-2.670	-1.954	0.227	-0.061	-2.742	3.474	231	0.9995	-2.762	925	0.007	-4.936	0.9994
E06	-3.919	-2.844	0.326	-0.199	-3.967	3.445	209	0.9991	-4.078	95	0.033	-0.330	0.9979
E07	-3.335	-2.284	0.287	-0.158	-3.347	3.701	523	0.9993	-3.444	139	0.024	-1.098	0.9984
E08	-3.164	-2.132	0.310	-0.101	-3.212	3.489	243	0.9997	-3.269	296	0.018	-3.197	0.9994

**TOWER A-A THE PROBABILITY DISTRIBUTION FOR THE PEAK OF REGION PEAK SUCTION**

TAP	STATISTICAL OF TIME HISTORIES				GAUSSIAN PROBABILITY DISTRIBUTION				GAMMA PROBABILITY DISTRIBUTION				
	Observed	Mean	Rms	Skewness	Est.Peak	Peak factor	$N = \nu T$	PPCC	Est.Peak	Shape	Scale	Location	PPCC
E09	-2.683	-1.790	0.279	-0.160	-2.728	3.362	157	0.9989	-2.800	139	0.024	-1.493	0.9980
E10	-1.925	-1.169	0.217	-0.135	-1.921	3.465	224	0.9983	-1.968	203	0.015	-1.913	0.9976
E11	-0.950	-0.568	0.077	-0.336	-0.845	3.606	369	0.9966	-0.890	44.448	0.012	0.055	0.9993
E12	-0.998	-0.647	0.097	-0.285	-0.997	3.603	365	0.9994	-1.053	44.448	0.015	0.000	0.9971
E13	-1.006	-0.652	0.099	-0.299	-1.001	3.531	282	0.9995	-1.057	44.448	0.015	-0.007	0.9968
E14	-0.915	-0.431	0.105	0.253	-0.874	3.544	295	0.9967	-0.923	30.414	0.013	0.221	0.9997
E15	-1.105	-0.603	0.133	-0.167	-1.087	3.644	423	0.9997	-1.131	138.740	0.011	-0.962	0.9989
E16	-0.999	-0.703	0.097	-0.080	-1.050	3.582	338	0.9993	-1.061	633	0.004	-1.731	0.9991
E17	-1.056	-0.713	0.092	-0.129	-1.041	3.573	328	0.9994	-1.064	202.770	0.006	-0.594	0.9999
E18	-1.834	-1.207	0.197	0.070	-1.895	3.499	252	0.9988	-1.853	125	0.018	-3.402	0.9986
E19	-1.899	-1.004	0.289	-0.192	-2.011	3.489	243	0.9957	-2.135	64.959	0.036	-1.313	0.9941
E20	-1.753	-1.267	0.153	-0.224	-1.789	3.411	186	0.9992	-1.851	64.959	0.019	0.035	0.9976
E21	-2.090	-1.480	0.184	-0.205	-2.117	3.472	229	0.9994	-2.196	64.959	0.023	0.002	0.9982
E22	-3.552	-2.266	0.316	-0.379	-3.333	3.374	164	0.9951	-3.521	30	0.057	0.523	0.9995
E23	-3.301	-2.249	0.323	-0.162	-3.350	3.415	188	0.9984	-3.437	138.740	0.027	-1.547	0.9975
E24	-2.996	-1.864	0.318	-0.274	-3.019	3.629	401	0.9979	-3.203	44.448	0.048	-0.253	0.9952
E25	-1.681	-1.054	0.178	-0.126	-1.684	3.535	286	0.9994	-1.727	202.770	0.012	-1.479	0.9989
E26	-0.910	-0.495	0.071	-0.746	-0.760	3.717	554	0.9859	-0.881	6.667	0.028	0.311	0.9992
E27	-1.066	-0.667	0.085	-0.267	-0.969	3.559	311	0.9974	-1.007	64.959	0.011	-0.018	0.9990
E28	-0.879	-0.004	0.267	-0.215	-0.954	3.559	311	0.9966	-1.074	64.959	0.033	-2.140	0.9950
E29	-1.017	-0.559	0.118	-0.004	-0.988	3.629	401	0.9982	-1.000	925.000	0.004	-3.033	0.9982

**TOWER A-A THE PROBABILITY DISTRIBUTION FOR THE PEAK OF REGION PEAK SUCTION**

TAP	STATISTICAL OF TIME HISTORIES				GAUSSIAN PROBABILITY DISTRIBUTION				GAMMA PROBABILITY DISTRIBUTION				
	Observed	Mean	Rms	Skewness	Est.Peak	Peak factor	$N = \nu T$	PPCC	Est.Peak	Shape	Scale	Location	PPCC
E30	-0.803	-0.454	0.063	-0.537	-0.683	3.655	440	0.9902	-0.751	14.240	0.017	0.218	0.9962
E31	-1.244	-0.217	0.174	-0.814	-0.848	3.620	388	0.9825	-1.071	10	0.056	-0.324	0.9947
E32	-1.454	-0.911	0.155	0.057	-1.453	3.502	255	0.9987	-1.430	125	0.014	-2.638	0.9990
F01	-2.650	-1.421	0.346	-0.195	-2.625	3.482	237	0.9989	-2.746	94.935	0.035	-1.947	0.9979
F02	-2.097	-0.826	0.263	-0.851	-1.763	3.565	318	0.9709	-2.248	4.562	0.123	0.267	0.9965
F03	-1.525	-1.090	0.135	-0.135	-1.558	3.460	220	0.9992	-1.589	203	0.009	-0.835	0.9986
F04	-2.190	-1.502	0.163	0.034	-2.093	3.637	413	0.9989	-2.063	125	0.015	-3.320	0.9995
F05	-2.194	-1.662	0.183	0.078	-2.289	3.433	200	0.9989	-2.231	125	0.016	-3.701	0.9989
F06	-3.180	-2.365	0.279	0.105	-3.323	3.434	201	0.9985	-3.209	125	0.025	-5.481	0.9987
F07	-2.973	-1.858	0.300	-0.128	-2.880	3.405	182	0.9989	-2.945	203	0.021	-2.416	0.9994
F08	-2.214	-1.421	0.218	-0.092	-2.187	3.507	259	0.9991	-2.221	433	0.010	-3.119	0.9994
F09	-2.400	-1.639	0.223	-0.151	-2.407	3.449	212	0.9983	-2.469	138.740	0.019	-0.981	0.9975
F10	-1.737	-1.098	0.176	-0.252	-1.704	3.435	202	0.9994	-1.778	65	0.022	-0.323	0.9975
F11	-1.300	-0.719	0.137	-0.465	-1.214	3.607	370	0.9939	-1.334	21	0.030	0.092	0.9999
F12	-1.181	-0.710	0.105	-0.197	-1.088	3.614	380	0.9986	-1.129	95	0.011	-0.309	0.9998
F13	-1.377	-0.863	0.143	-0.267	-1.366	3.518	269	0.9996	-1.443	44	0.021	-0.092	0.9975
F14	-1.156	-0.559	0.151	-0.156	-1.108	3.629	401	0.9990	-1.156	138.740	0.013	-1.222	0.9997
F15	-0.939	-0.588	0.079	-0.333	-0.862	3.474	231	0.9967	-0.904	44.448	0.012	0.063	0.9996
F16	-1.058	-0.551	0.106	-0.515	-0.927	3.542	293	0.9911	-1.035	14.240	0.028	0.150	0.9994
F17	-1.175	-0.790	0.101	0.065	-1.150	3.560	313	0.9993	-1.146	125	0.009	-1.922	0.9995
F18	-1.923	-1.276	0.261	0.314	-2.184	3.478	234	0.9963	-2.025	32.692	0.046	-2.767	0.9994

**TOWER A-A THE PROBABILITY DISTRIBUTION FOR THE PEAK OF REGION PEAK SUCTION**

TAP	STATISTICAL OF TIME HISTORIES				GAUSSIAN PROBABILITY DISTRIBUTION				GAMMA PROBABILITY DISTRIBUTION				
	Observed	Mean	Rms	Skewness	Est.Peak	Peak factor	$N = \nu T$	PPCC	Est.Peak	Shape	Scale	Location	PPCC
F19	-1.904	-0.871	0.267	-0.876	-1.805	3.500	253	0.9959	-2.276	4.562	0.124	0.303	0.9688
F20	-1.538	-1.022	0.157	-0.117	-1.574	3.509	261	0.9996	-1.604	296	0.009	-1.683	0.9992
F21	-2.418	-1.599	0.209	-0.075	-2.330	3.490	244	0.9993	-2.349	925	0.007	-4.766	0.9995
F22	-2.607	-1.827	0.258	-0.189	-2.718	3.455	216	0.9988	-2.807	95	0.026	-0.686	0.9977
F23	-2.528	-1.674	0.243	-0.305	-2.512	3.440	205	0.9988	-2.665	30.414	0.044	0.333	0.9958
F24	-2.553	-1.617	0.287	-0.278	-2.595	3.408	184	0.9968	-2.735	44.448	0.043	-0.290	0.9939
F25	-1.821	-1.107	0.173	-0.201	-1.711	3.488	242	0.9981	-1.772	94.935	0.018	-0.579	0.9994
F26	-0.959	-0.459	0.094	-0.739	-0.805	3.695	510	0.9852	-0.962	6.667	0.036	0.216	0.9997
F27	-0.994	-0.650	0.087	-0.263	-0.962	3.580	336	0.9976	-1.012	44.448	0.013	0.067	0.9997
F28	-0.926	-0.186	0.236	-0.103	-1.024	3.548	300	0.9957	-1.068	296.340	0.014	-3.864	0.9953
F29	-0.880	-0.278	0.196	0.204	-0.966	3.510	262	0.9947	-0.858	64.959	0.024	-1.852	0.9960
F30	-1.724	-0.711	0.237	-0.243	-1.557	3.568	322	0.9964	-1.667	64.959	0.029	-1.198	0.9985
F31	-1.265	-0.437	0.168	-0.681	-1.038	3.582	338	0.9867	-1.253	9.744	0.054	-0.087	0.9997
F32	-0.910	-0.333	0.136	-0.374	-0.820	3.573	327	0.9960	-0.916	30.414	0.025	-0.419	0.9999
F33	-1.055	-0.365	0.141	-0.114	-0.884	3.675	475	0.9990	-0.904	632.930	0.006	-3.186	0.9993
F34	-1.533	-0.950	0.190	0.148	-1.613	3.495	248	0.9986	-1.556	125	0.017	-3.068	0.9992
F35	-2.006	-1.233	0.219	-0.052	-1.998	3.490	244	0.9998	-2.019	925	0.007	-5.438	0.9997
G01	-2.373	-1.079	0.343	-0.571	-2.293	3.541	292	0.9982	-2.714	9.744	0.110	0.011	0.9871
G02	-1.415	-1.009	0.120	-0.101	-1.444	3.639	416	0.9995	-1.466	371	0.006	-1.295	0.9992
G03	-1.642	-0.614	0.159	-2.402	-1.211	3.752	632	0.8766	-1.909	1.000	0.156	0.458	0.9792
G04	-1.820	-1.335	0.149	0.046	-1.852	3.478	234	0.9992	-1.825	125	0.013	-2.994	0.9988

**TOWER A-A THE PROBABILITY DISTRIBUTION FOR THE PEAK OF REGION PEAK SUCTION**

TAP	STATISTICAL OF TIME HISTORIES				GAUSSIAN PROBABILITY DISTRIBUTION				GAMMA PROBABILITY DISTRIBUTION				
	Observed	Mean	Rms	Skewness	Est.Peak	Peak factor	$N = \nu T$	PPCC	Est.Peak	Shape	Scale	Location	PPCC
G05	-1.674	-1.239	0.154	-0.038	-1.769	3.438	204	0.9988	-1.782	925	0.005	-3.439	0.9988
G06	-1.810	-1.337	0.169	-0.119	-1.918	3.445	209	0.9987	-1.955	203	0.012	-1.061	0.9983
G30	-2.228	-0.445	0.073	-0.539	-2.395	4.346	7034	0.9999	-2.432	925	0.007	-4.929	1.0000
G31	-1.274	-0.437	0.042	-0.248	-1.261	4.341	6886	0.9993	-1.324	125	0.011	-0.608	1.0000
G32	-1.411	-0.811	0.115	-0.144	-1.227	3.615	381	0.9987	-1.252	296.34	0.007	-1.171	0.9992
G33	-1.435	-0.660	0.138	-0.538	-1.160	3.626	397	0.9922	-1.308	14.24	0.036	0.141	0.9992
G34	-1.443	-0.863	0.178	0.154	-1.478	3.451	213	0.9984	-1.422	125	0.016	-2.855	0.9990
G35	-1.679	-1.149	0.156	-0.186	-1.729	3.721	563	0.9997	-1.794	94.935	0.016	-0.370	0.9987

**TOWER B-C THE EXTREME VALUE DISTRIBUTION FOR THE PEAK OF REGION PEAK PRESSURE**

TAP	STATISTICAL OF TIME HISTORIES					EVD TYPE I (GUMBEL)			GENERALIZED EXTREME VALUE			
	Degree	Observed	Mean	Rms	Skewness	Est.Peak	Scale	Location	Est.Peak	Scale	Location	Shape
A25	337.5	0.784	0.328	0.098	-0.093	0.828	0.085	0.497	0.764	0.105	0.570	0.447
A26	0	0.612	0.306	0.082	0.001	0.645	0.048	0.455	0.620	0.058	0.499	0.364
A27	0	0.670	0.237	0.068	0.617	0.596	0.058	0.371	0.507	0.070	0.412	0.691
A28	202.5	0.406	0.114	0.090	-0.415	0.449	0.046	0.268	0.431	0.056	0.311	0.348
A29	202.5	0.471	0.148	0.069	0.389	0.489	0.055	0.276	0.431	0.056	0.311	0.348
A30	180	0.559	0.138	0.070	0.767	0.504	0.055	0.289	0.451	0.066	0.334	0.471
A31	180	0.326	0.142	0.047	0.424	0.372	0.034	0.239	0.355	0.043	0.269	0.399
A32	202.5	0.369	0.154	0.051	0.525	0.400	0.038	0.252	0.362	0.048	0.283	0.531
A33	202.5	0.388	0.159	0.055	0.358	0.388	0.029	0.276	0.378	0.033	0.303	0.306
A35	112.5	0.446	0.026	0.100	-0.090	0.470	0.062	0.229	0.408	0.078	0.279	0.527
A36	135	0.432	-0.071	0.074	-0.168	0.392	0.052	0.089	0.383	0.060	0.117	1.012
A37	135	0.620	0.248	0.106	-0.008	0.665	0.055	0.452	0.642	0.066	0.502	0.351
A38	225	0.484	0.190	0.075	0.015	0.489	0.040	0.333	0.457	0.049	0.367	0.452
A39	202.5	0.469	0.103	0.105	-0.087	0.518	0.057	0.296	0.470	0.071	0.344	0.473
A40	225	0.386	0.058	0.106	-0.748	0.397	0.043	0.230	0.372	0.052	0.268	0.391
A41	90	0.326	-0.024	0.100	0.007	0.399	0.066	0.142	0.354	0.083	0.199	0.434
A42	90	0.282	-0.020	0.110	-0.369	0.335	0.042	0.170	0.336	0.050	0.211	0.246
A43	90	0.360	0.058	0.086	-0.618	0.353	0.036	0.210	0.318	0.044	0.240	0.490
A44	292.5	0.666	0.179	0.135	-0.626	0.719	0.079	0.409	0.661	0.098	0.478	0.433
A45	112.5	0.832	0.330	0.111	-0.569	0.854	0.076	0.557	0.751	0.095	0.614	0.632

**TOWER B-C THE EXTREME VALUE DISTRIBUTION FOR THE PEAK OF REGION PEAK PRESSURE**

TAP	STATISTICAL OF TIME HISTORIES					EVD TYPE I (GUMBEL)			GENERALIZED EXTREME VALUE			
	Degree	Observed	Mean	Rms	Skewness	Est.Peak	Scale	Location	Est.Peak	Scale	Location	Shape
A46	225	0.966	0.346	0.159	-0.131	0.988	0.085	0.655	0.917	0.105	0.727	0.460
B04	135	0.840	0.312	0.151	-0.375	0.823	0.058	0.597	0.749	0.071	0.641	0.594
B05	67.5	0.785	0.350	0.117	0.384	0.845	0.065	0.593	0.758	0.084	0.640	0.659
B06	90	0.896	0.336	0.166	-0.894	0.918	0.077	0.616	0.829	0.098	0.677	0.571
B07	90	0.788	0.319	0.137	-0.367	0.837	0.066	0.580	0.813	0.078	0.641	0.326
B08	0	0.592	0.196	0.102	0.171	0.620	0.062	0.380	0.548	0.079	0.428	0.586
B09	0	0.748	0.292	0.099	0.586	0.742	0.063	0.495	0.666	0.080	0.544	0.592
B10	0	0.687	0.281	0.082	-0.013	0.639	0.029	0.524	0.585	0.036	0.543	0.813
B11	337.5	0.656	0.287	0.089	0.545	0.711	0.062	0.471	0.686	0.075	0.527	0.354
B12	315	0.612	0.259	0.094	0.352	0.647	0.057	0.424	0.633	0.067	0.478	0.299
B13	292.5	0.573	0.240	0.078	0.626	0.618	0.054	0.407	0.614	0.064	0.459	0.261
B14	292.5	0.738	0.306	0.085	0.734	0.739	0.066	0.479	0.669	0.084	0.533	0.536
B15	292.5	0.470	0.196	0.052	0.557	0.462	0.041	0.300	0.434	0.050	0.336	0.412
B16	270	0.354	0.175	0.045	0.430	0.386	0.029	0.271	0.391	0.033	0.301	0.200
B17	270	0.369	0.173	0.047	0.520	0.395	0.032	0.270	0.354	0.041	0.294	0.634
B18	270	0.408	0.141	0.065	0.358	0.434	0.041	0.274	0.414	0.050	0.311	0.364
B19	247.5	0.382	0.135	0.064	0.076	0.402	0.038	0.254	0.381	0.046	0.288	0.376
B20	247.5	0.405	0.113	0.061	0.198	0.419	0.049	0.229	0.357	0.061	0.266	0.609
B21	180	0.479	0.144	0.071	0.681	0.501	0.056	0.282	0.452	0.069	0.329	0.474
B22	202.5	0.647	0.288	0.088	0.736	0.699	0.061	0.459	0.651	0.076	0.512	0.454

**TOWER B-C THE EXTREME VALUE DISTRIBUTION FOR THE PEAK OF REGION PEAK PRESSURE**

TAP	STATISTICAL OF TIME HISTORIES					EVD TYPE I (GUMBEL)			GENERALIZED EXTREME VALUE			
	Degree	Observed	Mean	Rms	Skewness	Est.Peak	Scale	Location	Est.Peak	Scale	Location	Shape
B23	337.5	0.678	0.321	0.098	0.429	0.723	0.054	0.512	0.701	0.065	0.562	0.344
B25	0	0.664	0.301	0.086	0.695	0.721	0.063	0.474	0.732	0.072	0.538	0.204
B26	0	0.678	0.253	0.082	0.898	0.698	0.072	0.416	0.645	0.089	0.478	0.436
B27	270	0.539	0.162	0.061	1.004	0.529	0.060	0.297	0.463	0.074	0.344	0.550
B28	292.5	0.442	0.036	0.056	0.846	0.407	0.059	0.177	0.322	0.073	0.219	0.659
B29	225	0.388	0.131	0.058	0.208	0.422	0.040	0.265	0.411	0.048	0.303	0.308
B30	202.5	0.595	0.280	0.084	0.438	0.633	0.045	0.458	0.601	0.056	0.497	0.438
B31	180	0.317	0.127	0.050	0.256	0.354	0.035	0.219	0.339	0.042	0.250	0.359
B32	202.5	0.386	0.143	0.060	-0.044	0.416	0.035	0.281	0.375	0.045	0.307	0.608
B33	202.5	0.282	0.106	0.047	0.028	0.295	0.024	0.201	0.276	0.030	0.221	0.449
B34	180	0.261	-0.072	0.100	-1.061	0.306	0.043	0.138	0.316	0.050	0.181	0.198
B35	90	0.483	0.060	0.110	-0.278	0.533	0.063	0.289	0.478	0.080	0.341	0.501
B36	90	0.434	-0.024	0.116	-0.548	0.424	0.061	0.188	0.380	0.076	0.226	0.824
B37	135	0.566	0.125	0.114	-0.211	0.586	0.066	0.328	0.497	0.084	0.377	0.645
B38	225	0.454	0.114	0.085	-0.031	0.526	0.062	0.284	0.530	0.072	0.345	0.235
B39	202.5	0.475	0.068	0.091	-0.471	0.422	0.045	0.246	0.405	0.056	0.278	0.673
B40	67.5	0.326	-0.002	0.056	-0.008	0.257	0.022	0.170	0.255	0.026	0.184	0.867
B41	90	0.352	-0.025	0.102	-0.095	0.359	0.053	0.152	0.315	0.065	0.197	0.461
B42	90	0.332	-0.035	0.106	-0.054	0.359	0.053	0.152	0.335	0.067	0.207	0.423
B43	67.5	0.461	0.059	0.126	-0.583	0.425	0.036	0.284	0.381	0.044	0.312	0.569

**TOWER B-C THE EXTREME VALUE DISTRIBUTION FOR THE PEAK OF REGION PEAK PRESSURE**

TAP	STATISTICAL OF TIME HISTORIES					EVD TYPE I (GUMBEL)			GENERALIZED EXTREME VALUE			
	Degree	Observed	Mean	Rms	Skewness	Est.Peak	Scale	Location	Est.Peak	Scale	Location	Shape
B44	180	0.789	0.257	0.165	-0.074	0.922	0.097	0.543	0.911	0.117	0.637	0.288
B45	112.5	0.723	0.096	0.223	-0.324	0.780	0.090	0.428	0.657	0.117	0.494	0.664
B46	157.5	1.013	0.330	0.146	-0.149	0.965	0.097	0.587	0.796	0.121	0.650	0.791
C25	337.5	0.769	0.313	0.082	0.419	0.717	0.063	0.473	0.638	0.076	0.521	0.579
C26	270	0.647	0.232	0.103	-0.183	0.653	0.054	0.441	0.600	0.068	0.485	0.512
C27	270	0.542	0.149	0.081	0.726	0.582	0.070	0.309	0.506	0.089	0.364	0.553
C28	225	0.528	0.191	0.065	0.497	0.535	0.048	0.347	0.500	0.059	0.388	0.430
C29	0	0.668	0.144	0.120	0.450	0.655	0.064	0.406	0.637	0.073	0.466	0.286
C30	180	0.665	0.202	0.094	0.589	0.702	0.079	0.395	0.712	0.087	0.474	0.197
C31	180	0.430	0.165	0.059	0.348	0.454	0.039	0.300	0.421	0.049	0.333	0.464
C32	202.5	0.472	0.194	0.053	0.450	0.458	0.037	0.312	0.412	0.046	0.341	0.568
C33	202.5	0.441	0.177	0.066	0.357	0.512	0.052	0.309	0.501	0.064	0.358	0.314
C34	180	0.330	0.039	0.104	-1.261	0.362	0.039	0.209	0.340	0.048	0.244	0.394
C35	112.5	0.640	0.202	0.099	0.389	0.703	0.072	0.423	0.659	0.087	0.486	0.401
C36	112.5	0.427	0.098	0.081	-0.004	0.446	0.040	0.290	0.452	0.046	0.330	0.212
C37	112.5	0.480	0.155	0.083	0.217	0.515	0.043	0.346	0.531	0.047	0.390	0.147
C38	67.5	0.364	0.056	0.083	0.237	0.396	0.040	0.241	0.365	0.050	0.274	0.465
C39	67.5	0.293	0.039	0.069	0.273	0.333	0.037	0.190	0.306	0.046	0.222	0.463
C40	67.5	0.276	0.001	0.070	0.144	0.282	0.036	0.142	0.242	0.046	0.170	0.565
C41	67.5	0.296	0.030	0.075	-0.023	0.308	0.032	0.182	0.287	0.040	0.210	0.419

**TOWER B-C THE EXTREME VALUE DISTRIBUTION FOR THE PEAK OF REGION PEAK PRESSURE**

TAP	STATISTICAL OF TIME HISTORIES					EVD TYPE I (GUMBEL)			GENERALIZED EXTREME VALUE			
	Degree	Observed	Mean	Rms	Skewness	Est.Peak	Scale	Location	Est.Peak	Scale	Location	Shape
C42	67.5	0.320	0.024	0.083	-0.014	0.328	0.039	0.177	0.303	0.046	0.211	0.401
C43	67.5	0.366	0.061	0.115	-0.694	0.412	0.034	0.279	0.415	0.040	0.313	0.228
C44	315	0.906	0.192	0.181	-0.006	0.948	0.056	0.730	0.928	0.067	0.781	0.337
C45	225	0.760	0.330	0.100	0.017	0.769	0.032	0.645	0.738	0.039	0.671	0.501
C46	135	0.906	0.350	0.120	0.055	0.863	0.036	0.721	0.805	0.044	0.747	0.712
D04	67.5	0.809	0.398	0.118	0.303	0.860	0.056	0.640	0.857	0.066	0.695	0.256
D05	67.5	0.861	0.392	0.123	0.391	0.919	0.072	0.638	0.877	0.086	0.702	0.383
D06	90	0.872	0.299	0.210	-0.882	0.929	0.081	0.612	0.843	0.103	0.677	0.543
D07	90	0.803	0.309	0.203	-1.080	0.861	0.059	0.632	0.836	0.072	0.685	0.356
D08	22.5	0.794	0.330	0.157	-1.091	0.887	0.081	0.573	0.845	0.101	0.645	0.399
D09	0	0.890	0.403	0.111	0.405	0.880	0.069	0.612	0.829	0.084	0.671	0.434
D10	0	0.927	0.358	0.115	0.426	0.876	0.074	0.589	0.769	0.091	0.642	0.660
D11	337.5	0.845	0.366	0.107	0.539	0.873	0.075	0.582	0.813	0.093	0.645	0.461
D12	315	0.818	0.330	0.112	0.425	0.792	0.062	0.550	0.772	0.071	0.608	0.296
D13	292.5	0.760	0.305	0.116	0.243	0.793	0.062	0.551	0.713	0.080	0.597	0.627
D14	292.5	0.773	0.352	0.101	0.550	0.805	0.062	0.563	0.741	0.079	0.612	0.540
D15	270	0.666	0.302	0.097	0.462	0.710	0.055	0.494	0.706	0.063	0.547	0.245
D16	270	0.708	0.320	0.095	0.462	0.752	0.059	0.521	0.693	0.076	0.569	0.530
D17	270	0.701	0.306	0.085	0.521	0.695	0.055	0.481	0.671	0.064	0.531	0.328
D18	247.5	0.697	0.191	0.108	0.426	0.715	0.084	0.386	0.634	0.104	0.455	0.501

**TOWER B-C THE EXTREME VALUE DISTRIBUTION FOR THE PEAK OF REGION PEAK PRESSURE**

TAP	STATISTICAL OF TIME HISTORIES					EVD TYPE I (GUMBEL)			GENERALIZED EXTREME VALUE			
	Degree	Observed	Mean	Rms	Skewness	Est.Peak	Scale	Location	Est.Peak	Scale	Location	Shape
D19	247.5	0.619	0.257	0.100	0.324	0.672	0.058	0.445	0.631	0.073	0.495	0.443
D20	225	0.738	0.279	0.112	0.201	0.764	0.073	0.482	0.745	0.084	0.550	0.290
D21	202.5	0.662	0.304	0.100	0.403	0.719	0.055	0.506	0.692	0.068	0.555	0.382
D22	202.5	0.704	0.370	0.102	0.303	0.803	0.064	0.554	0.838	0.072	0.621	0.136
D23	337.5	-0.281	-0.360	0.020	-0.009	-0.276	0.006	-0.299	-0.281	0.007	-0.294	0.515
D25	337.5	0.862	0.391	0.109	0.506	0.904	0.078	0.599	0.846	0.095	0.666	0.430
D26	337.5	0.760	0.327	0.101	0.473	0.765	0.064	0.514	0.725	0.077	0.571	0.395
D27	225	0.617	0.241	0.089	0.577	0.677	0.063	0.430	0.653	0.078	0.488	0.354
D28	247.5	0.567	0.142	0.105	0.530	0.597	0.054	0.386	0.597	0.061	0.439	0.232
D29	247.5	0.602	0.164	0.121	0.349	0.656	0.066	0.400	0.598	0.082	0.454	0.487
D30	202.5	0.697	0.271	0.091	0.685	0.757	0.082	0.439	0.679	0.103	0.506	0.512
D31	180	0.793	0.268	0.110	0.701	0.824	0.083	0.500	0.732	0.103	0.566	0.549
D32	180	0.738	0.279	0.103	0.448	0.741	0.060	0.505	0.695	0.075	0.557	0.448
D33	202.5	0.738	0.302	0.104	0.278	0.753	0.059	0.521	0.711	0.072	0.572	0.421
D34	180	0.634	0.248	0.106	0.374	0.710	0.052	0.506	0.666	0.068	0.549	0.503
D35	135	0.660	0.232	0.097	0.528	0.726	0.069	0.458	0.684	0.086	0.519	0.416
D36	202.5	0.787	0.227	0.146	-0.074	0.791	0.078	0.487	0.712	0.097	0.550	0.519
D37	135	0.467	0.087	0.113	-0.044	0.529	0.050	0.333	0.545	0.056	0.384	0.169
D38	67.5	0.342	-0.024	0.078	0.203	0.322	0.044	0.150	0.280	0.053	0.186	0.484
D39	67.5	0.257	-0.049	0.072	0.393	0.283	0.043	0.117	0.246	0.052	0.153	0.470

**TOWER B-C THE EXTREME VALUE DISTRIBUTION FOR THE PEAK OF REGION PEAK PRESSURE**

TAP	STATISTICAL OF TIME HISTORIES					EVD TYPE I (GUMBEL)			GENERALIZED EXTREME VALUE			
	Degree	Observed	Mean	Rms	Skewness	Est.Peak	Scale	Location	Est.Peak	Scale	Location	Shape
D40	292.5	0.288	-0.122	0.082	0.429	0.245	0.039	0.092	0.217	0.048	0.117	0.807
D41	67.5	0.249	-0.059	0.057	0.199	0.225	0.040	0.068	0.165	0.051	0.097	0.692
D42	292.5	0.291	-0.110	0.092	0.023	0.270	0.042	0.105	0.214	0.053	0.137	0.621
D43	67.5	0.339	0.067	0.081	-0.272	0.374	0.039	0.220	0.360	0.046	0.257	0.320
D44	67.5	0.735	0.310	0.138	-0.307	0.785	0.058	0.559	0.749	0.070	0.610	0.396
D45	67.5	0.749	0.317	0.121	-0.009	0.744	0.053	0.535	0.688	0.067	0.578	0.534
D46	180	0.883	0.342	0.140	0.165	0.899	0.070	0.628	0.840	0.085	0.686	0.459
E01	292.5	0.066	-0.213	0.079	0.217	0.074	0.039	-0.046	0.067	0.045	-0.008	0.237
E02	67.5	0.357	0.082	0.072	0.096	0.365	0.035	0.228	0.330	0.043	0.257	0.503
E03	67.5	0.583	0.263	0.092	0.227	0.634	0.049	0.443	0.595	0.062	0.485	0.472
E04	67.5	0.724	0.357	0.102	0.309	0.788	0.061	0.549	0.758	0.074	0.604	0.364
E05	67.5	0.775	0.398	0.091	0.015	0.773	0.024	0.679	0.748	0.029	0.698	0.512
E06	67.5	0.935	0.440	0.119	0.209	0.898	0.058	0.672	0.832	0.072	0.717	0.555
E07	90	0.817	0.301	0.205	-0.726	0.876	0.066	0.620	0.846	0.081	0.680	0.370
E08	22.5	0.906	0.418	0.128	-0.106	0.905	0.062	0.665	0.892	0.071	0.723	0.275
E09	0	0.837	0.438	0.111	0.302	0.863	0.055	0.647	0.816	0.070	0.693	0.482
E10	337.5	0.800	0.426	0.111	0.338	0.859	0.061	0.620	0.872	0.069	0.682	0.195
E11	337.5	0.895	0.391	0.117	0.597	0.930	0.080	0.616	0.903	0.094	0.691	0.317
E12	315	0.821	0.385	0.107	0.433	0.865	0.074	0.578	0.797	0.092	0.639	0.497
E13	292.5	0.731	0.346	0.121	0.202	0.801	0.058	0.573	0.823	0.065	0.633	0.154

**TOWER B-C THE EXTREME VALUE DISTRIBUTION FOR THE PEAK OF REGION PEAK PRESSURE**

TAP	STATISTICAL OF TIME HISTORIES					EVD TYPE I (GUMBEL)			GENERALIZED EXTREME VALUE			
	Degree	Observed	Mean	Rms	Skewness	Est.Peak	Scale	Location	Est.Peak	Scale	Location	Shape
E14	292.5	0.770	0.408	0.107	0.407	0.853	0.067	0.591	0.858	0.079	0.657	0.236
E15	270	0.775	0.425	0.112	0.212	0.829	0.053	0.623	0.849	0.057	0.677	0.143
E16	270	0.822	0.407	0.106	0.431	0.846	0.057	0.625	0.809	0.069	0.674	0.408
E17	270	0.801	0.405	0.103	0.435	0.850	0.063	0.603	0.799	0.079	0.657	0.466
E18	247.5	0.764	0.349	0.112	0.260	0.782	0.059	0.551	0.750	0.071	0.604	0.377
E19	247.5	0.729	0.369	0.111	0.215	0.803	0.059	0.574	0.813	0.067	0.633	0.204
E20	225	0.820	0.376	0.118	0.083	0.868	0.070	0.597	0.842	0.083	0.661	0.331
E21	202.5	0.734	0.395	0.113	0.195	0.793	0.047	0.609	0.787	0.056	0.654	0.284
E22	202.5	0.849	0.423	0.114	0.518	0.902	0.068	0.637	0.896	0.081	0.702	0.274
E23	180	0.886	0.421	0.124	0.333	0.952	0.077	0.651	0.897	0.096	0.717	0.436
E24	135	0.857	0.404	0.140	0.054	0.903	0.055	0.688	0.896	0.064	0.741	0.266
F01	90	0.060	-0.305	0.106	-0.546	0.069	0.044	-0.094	0.062	0.053	-0.055	0.398
F02	67.5	0.351	0.103	0.063	0.205	0.375	0.037	0.229	0.335	0.048	0.259	0.552
F03	67.5	0.627	0.288	0.094	0.339	0.675	0.053	0.470	0.660	0.064	0.519	0.326
F04	67.5	0.694	0.357	0.099	0.336	0.754	0.049	0.564	0.776	0.053	0.615	0.134
F05	67.5	0.969	0.448	0.117	0.413	0.954	0.068	0.688	0.887	0.084	0.744	0.501
F06	67.5	0.879	0.477	0.113	0.314	0.916	0.054	0.706	0.869	0.069	0.750	0.497
F07	90.00	0.923	0.263	0.247	-0.589	0.928	0.066	0.672	0.857	0.080	0.724	0.524
F08	22.50	0.900	0.481	0.130	0.171	0.994	0.067	0.733	0.965	0.083	0.794	0.370
F09	0	0.910	0.485	0.125	0.315	0.956	0.054	0.745	0.987	0.058	0.802	0.106

**TOWER B-C THE EXTREME VALUE DISTRIBUTION FOR THE PEAK OF REGION PEAK PRESSURE**

TAP	STATISTICAL OF TIME HISTORIES					EVD TYPE I (GUMBEL)			GENERALIZED EXTREME VALUE			
	Degree	Observed	Mean	Rms	Skewness	Est.Peak	Scale	Location	Est.Peak	Scale	Location	Shape
F10	337.5	0.930	0.448	0.125	0.549	1.001	0.078	0.697	0.986	0.090	0.771	0.272
F11	337.5	0.851	0.436	0.120	0.232	0.905	0.066	0.646	0.857	0.084	0.703	0.450
F12	315	0.984	0.445	0.123	0.503	0.997	0.086	0.661	0.896	0.108	0.728	0.577
F13	292.5	0.845	0.393	0.139	0.085	0.912	0.075	0.619	0.850	0.095	0.682	0.479
F14	292.5	0.790	0.430	0.112	0.392	0.856	0.059	0.628	0.837	0.070	0.682	0.331
F15	270	0.928	0.437	0.112	0.339	0.872	0.058	0.646	0.816	0.068	0.694	0.466
F16	270	0.800	0.450	0.110	0.353	0.866	0.053	0.661	0.867	0.062	0.712	0.247
F17	270	0.861	0.441	0.104	0.347	0.885	0.062	0.642	0.841	0.077	0.696	0.433
F18	247.5	0.883	0.418	0.116	0.286	0.865	0.059	0.634	0.816	0.072	0.684	0.454
F19	247.5	0.762	0.394	0.113	0.243	0.833	0.058	0.605	0.801	0.072	0.657	0.396
F20	225	0.872	0.423	0.113	0.369	0.874	0.057	0.653	0.818	0.071	0.699	0.524
F21	202.5	0.865	0.424	0.117	0.328	0.908	0.067	0.646	0.852	0.084	0.702	0.467
F22	202.5	0.855	0.438	0.114	0.402	0.904	0.065	0.650	0.825	0.083	0.699	0.598
F23	180	0.850	0.439	0.124	0.255	0.912	0.062	0.670	0.848	0.079	0.719	0.546
F24	135	0.900	0.493	0.129	0.106	0.961	0.058	0.735	0.922	0.073	0.785	0.433
G01	135	0.450	-0.022	0.144	44.116	0.506	0.036	-0.016	0.455	0.011	-0.011	2.799
G02	67.5	0.455	0.164	0.071	0.302	0.484	0.043	0.315	0.444	0.055	0.351	0.499
G03	67.5	0.639	0.288	0.093	0.342	0.677	0.050	0.480	0.696	0.056	0.532	0.155
G04	67.5	0.850	0.378	0.108	0.221	0.820	0.057	0.598	0.753	0.070	0.642	0.562
G05	67.5	0.908	0.443	0.119	0.272	0.926	0.063	0.681	0.878	0.076	0.735	0.436

**TOWER B-C THE EXTREME VALUE DISTRIBUTION FOR THE PEAK OF REGION PEAK PRESSURE**

TAP	STATISTICAL OF TIME HISTORIES					EVD TYPE I (GUMBEL)			GENERALIZED EXTREME VALUE			
	Degree	Observed	Mean	Rms	Skewness	Est.Peak	Scale	Location	Est.Peak	Scale	Location	Shape
G06	67.5	0.955	0.508	0.130	0.444	1.024	0.063	0.776	1.024	0.075	0.838	0.257
G07	45	0.632	0.299	0.100	0.210	0.674	0.042	0.510	0.641	0.053	0.546	0.462
G08	22.5	0.978	0.505	0.132	0.070	1.011	0.060	0.777	1.011	0.067	0.835	0.220
G09	0	0.907	0.486	0.120	0.204	0.922	0.051	0.722	0.897	0.060	0.769	0.345
G10	0	0.911	0.429	0.120	0.403	0.946	0.075	0.654	0.856	0.096	0.711	0.597
G11	337.5	0.911	0.444	0.129	0.319	0.961	0.072	0.681	0.914	0.087	0.744	0.410
G12	315	0.836	0.475	0.120	0.195	0.891	0.047	0.708	0.886	0.055	0.753	0.273
G13	292.5	0.852	0.433	0.134	0.150	0.927	0.065	0.675	0.927	0.076	0.738	0.254
G14	292.5	0.906	0.469	0.118	0.399	0.956	0.068	0.692	0.957	0.078	0.758	0.236
G15	270	0.963	0.481	0.125	0.268	0.942	0.057	0.720	0.875	0.071	0.764	0.572
G16	270	0.888	0.476	0.122	0.274	0.951	0.064	0.702	0.933	0.078	0.762	0.326
G17	270	0.847	0.459	0.111	0.394	0.914	0.060	0.679	0.912	0.071	0.738	0.259
G18	247.5	0.889	0.456	0.126	0.322	0.925	0.058	0.697	0.890	0.072	0.748	0.401
G19	247.5	0.760	0.398	0.108	0.153	0.791	0.050	0.595	0.760	0.063	0.639	0.415
G20	225	0.830	0.446	0.130	-0.006	0.906	0.055	0.691	0.937	0.060	0.749	0.118
G21	202.5	0.820	0.462	0.121	0.189	0.884	0.052	0.680	0.886	0.061	0.732	0.243
G22	202.5	0.883	0.469	0.122	0.355	0.949	0.068	0.684	0.922	0.082	0.746	0.344
G23	180	0.877	0.470	0.126	0.233	0.927	0.059	0.698	0.941	0.067	0.758	0.191
G24	157.5	0.827	0.361	0.134	0.202	0.877	0.067	0.614	0.855	0.080	0.676	0.315
H01	67.5	-0.044	-0.194	0.039	0.102	-0.047	0.020	-0.104	-0.036	0.024	-0.086	0.357

**TOWER B-C THE EXTREME VALUE DISTRIBUTION FOR THE PEAK OF REGION PEAK PRESSURE**

TAP	STATISTICAL OF TIME HISTORIES					EVD TYPE I (GUMBEL)			GENERALIZED EXTREME VALUE			
	Degree	Observed	Mean	Rms	Skewness	Est.Peak	Scale	Location	Est.Peak	Scale	Location	Shape
H02	67.5	0.342	0.082	0.066	0.359	0.384	0.042	0.222	0.378	0.049	0.261	0.281
H03	67.5	0.575	0.252	0.094	0.189	0.604	0.036	0.464	0.575	0.044	0.495	0.457
H04	67.5	0.739	0.331	0.108	0.336	0.801	0.065	0.548	0.797	0.078	0.611	0.274
H05	67.5	0.839	0.354	0.107	0.375	0.805	0.061	0.568	0.708	0.076	0.609	0.730
H06	67.5	0.843	0.433	0.128	0.206	0.898	0.053	0.689	0.915	0.060	0.744	0.172
H07	67.5	0.926	0.468	0.130	0.204	0.974	0.065	0.720	0.975	0.074	0.784	0.225
H08	22.5	0.847	0.461	0.137	0.156	0.921	0.050	0.726	0.961	0.053	0.780	0.064
H09	0	0.876	0.445	0.138	0.157	0.977	0.069	0.706	0.972	0.084	0.773	0.279
H10	0	0.854	0.384	0.140	0.233	0.929	0.066	0.672	0.869	0.084	0.727	0.504
H11	337.5	1.001	0.441	0.131	0.193	0.944	0.063	0.699	0.882	0.076	0.750	0.486
H12	315	0.866	0.434	0.134	0.172	0.926	0.061	0.689	0.952	0.069	0.752	0.159
H13	292.5	0.912	0.405	0.138	0.178	0.934	0.071	0.655	0.859	0.088	0.713	0.523
H14	292.5	0.831	0.418	0.124	0.349	0.897	0.063	0.652	0.844	0.079	0.704	0.479
H15	270	0.913	0.476	0.133	0.217	0.972	0.061	0.735	0.956	0.071	0.792	0.299
H16	157.5	0.963	0.448	0.129	0.222	0.938	0.059	0.708	0.887	0.072	0.758	0.464
H17	270	0.845	0.428	0.121	0.279	0.905	0.065	0.651	0.877	0.079	0.711	0.362
H18	247.5	0.854	0.426	0.128	0.197	0.933	0.067	0.672	0.942	0.078	0.739	0.220
H19	247.5	0.836	0.429	0.120	0.079	0.825	0.042	0.659	0.818	0.048	0.700	0.254
H20	225	0.909	0.435	0.121	0.533	0.941	0.064	0.692	0.903	0.078	0.749	0.398
H21	202.5	0.883	0.462	0.123	0.237	0.914	0.057	0.690	0.918	0.066	0.747	0.223

**TOWER B-C THE EXTREME VALUE DISTRIBUTION FOR THE PEAK OF REGION PEAK PRESSURE**

TAP	STATISTICAL OF TIME HISTORIES					EVD TYPE I (GUMBEL)			GENERALIZED EXTREME VALUE			
	Degree	Observed	Mean	Rms	Skewness	Est.Peak	Scale	Location	Est.Peak	Scale	Location	Shape
H22	90	0.948	0.426	0.128	0.406	0.959	0.077	0.659	0.963	0.086	0.735	0.212
H23	180	0.883	0.425	0.131	0.278	0.944	0.068	0.680	0.926	0.080	0.743	0.308
H24	90	0.912	0.498	0.133	0.071	0.960	0.048	0.772	0.966	0.055	0.820	0.217
I01	67.5	0.028	-0.170	0.052	0.061	0.028	0.023	-0.068	0.025	0.028	-0.049	0.501
I02	67.5	0.356	0.088	0.069	0.240	0.375	0.036	0.235	0.325	0.046	0.261	0.656
I03	67.5	0.556	0.187	0.085	0.204	0.535	0.045	0.361	0.477	0.055	0.394	0.610
I04	67.5	0.583	0.237	0.098	0.314	0.622	0.046	0.442	0.575	0.058	0.479	0.532
I05	67.5	0.728	0.302	0.110	0.267	0.739	0.051	0.541	0.657	0.065	0.575	0.743
I06	67.5	0.804	0.363	0.123	0.284	0.837	0.057	0.616	0.796	0.071	0.665	0.440
I07	67.5	0.883	0.429	0.128	0.123	0.902	0.058	0.677	0.834	0.074	0.721	0.594
I08	22.5	0.874	0.398	0.137	0.189	0.915	0.063	0.670	0.861	0.077	0.723	0.468
I09	0	0.765	0.316	0.129	0.265	0.840	0.062	0.597	0.801	0.077	0.652	0.412
I10	0	0.571	0.203	0.093	0.299	0.593	0.051	0.396	0.555	0.063	0.439	0.448
I11	337.5	0.740	0.343	0.131	0.148	0.807	0.052	0.604	0.811	0.061	0.655	0.235
I12	315	0.886	0.368	0.138	0.203	0.883	0.064	0.634	0.897	0.068	0.698	0.151
I13	292.5	0.912	0.434	0.138	0.265	0.958	0.068	0.691	0.883	0.087	0.745	0.558
I14	270	0.749	0.325	0.133	0.136	0.799	0.049	0.608	0.796	0.056	0.656	0.250
I15	270	0.760	0.357	0.129	0.191	0.803	0.049	0.613	0.838	0.049	0.665	0.048
I16	270	0.762	0.391	0.121	0.109	0.824	0.047	0.639	0.857	0.051	0.690	0.098
I17	270	0.802	0.395	0.130	0.277	0.869	0.057	0.648	0.871	0.067	0.703	0.246

**TOWER B-C THE EXTREME VALUE DISTRIBUTION FOR THE PEAK OF REGION PEAK PRESSURE**

TAP	STATISTICAL OF TIME HISTORIES					EVD TYPE I (GUMBEL)			GENERALIZED EXTREME VALUE			
	Degree	Observed	Mean	Rms	Skewness	Est.Peak	Scale	Location	Est.Peak	Scale	Location	Shape
I18	270	0.737	0.319	0.109	0.345	0.775	0.058	0.547	0.733	0.071	0.598	0.426
I19	247.5	0.851	0.409	0.136	0.219	0.902	0.058	0.675	0.857	0.074	0.725	0.470
I20	225	0.755	0.358	0.126	0.246	0.815	0.054	0.605	0.800	0.064	0.655	0.308
I21	202.5	0.858	0.424	0.124	0.102	0.867	0.052	0.663	0.819	0.064	0.707	0.483
I22	292.5	0.758	0.358	0.117	0.179	0.791	0.046	0.612	0.730	0.059	0.646	0.646
I23	202.5	0.757	0.250	0.112	0.307	0.699	0.056	0.480	0.631	0.068	0.523	0.562
I24	135	0.888	0.453	0.129	0.030	0.938	0.057	0.714	0.891	0.072	0.763	0.476

**TOWER B-C THE PROBABILITY DISTRIBUTION FOR THE PEAK OF REGION PEAK PRESSURE**

TAP	STATISTICAL OF TIME HISTORIES				GAUSSIAN PROBABILITY DISTRIBUTION				GAMMA PROBABILITY DISTRIBUTION				
	Observed	Mean	Rms	Skewness	Est.Peak	Peak factor	$N = \nu T$	PPCC	Est.Peak	Shape	Scale	Location	PPCC
A25	0.784	0.328	0.098	-0.093	0.663	3.411	186	0.9854	0.799	6.667	0.038	0.074	0.9995
A26	0.612	0.306	0.082	0.001	0.590	3.475	232	0.9982	0.655	20.811	0.018	-0.066	0.9929
A27	0.670	0.237	0.068	0.617	0.480	3.579	334	0.9912	0.537	20.811	0.015	-0.071	0.9963
A28	0.406	0.114	0.090	-0.415	0.434	3.562	315	0.9948	0.404	30.414	0.016	-0.609	0.9989
A29	0.471	0.148	0.069	0.389	0.400	3.639	416	0.9948	0.450	30.414	0.016	-0.609	0.9989
A30	0.559	0.138	0.070	0.767	0.389	3.599	359	0.9852	0.478	9.744	0.022	-0.080	0.9987
A31	0.326	0.142	0.047	0.424	0.314	3.651	435	0.9995	0.357	20.811	0.010	-0.074	0.9946
A32	0.369	0.154	0.051	0.525	0.337	3.594	353	0.9920	0.390	14.240	0.013	-0.038	0.9998
A33	0.388	0.159	0.055	0.358	0.356	3.595	354	0.9958	0.394	30.414	0.010	-0.142	0.9996
A35	0.446	0.026	0.100	-0.090	0.391	3.662	453	0.9984	0.401	433.080	0.005	-2.100	0.9986
A36	0.432	-0.071	0.074	-0.168	0.220	3.944	1324	0.9989	0.369	138.740	0.006	-0.796	0.9997
A37	0.620	0.248	0.106	-0.008	0.627	3.568	322	0.9994	0.633	925	0.003	-3.473	0.9995
A38	0.484	0.190	0.075	0.015	0.455	3.552	304	0.9990	0.463	925	0.002	-2.084	0.9990
A39	0.469	0.103	0.105	-0.087	0.476	3.536	287	0.9989	0.466	433.080	0.005	-2.297	0.9991
A40	0.386	0.058	0.106	-0.748	0.441	3.593	352	0.9837	0.368	6.667	0.041	-0.333	0.9975
A41	0.326	-0.024	0.100	0.007	0.325	3.488	242	0.9995	0.334	925	0.003	-3.065	0.9996
A42	0.282	-0.020	0.110	-0.369	0.367	3.514	266	0.9952	0.325	30.414	0.020	-0.587	0.9988
A43	0.360	0.058	0.086	-0.618	0.361	3.518	269	0.9980	0.316	14.240	0.023	-0.383	0.9899
A44	0.666	0.179	0.135	-0.626	0.649	3.490	244	0.9979	0.721	44.448	0.020	-0.718	0.9963
A45	0.832	0.330	0.111	-0.569	0.723	3.528	279	0.9911	0.836	14.240	0.030	-0.091	0.9997
A46	0.966	0.346	0.159	-0.131	0.915	3.577	332	0.9957	0.889	30.414	0.029	-1.220	0.9924

**TOWER B-C THE PROBABILITY DISTRIBUTION FOR THE PEAK OF REGION PEAK PRESSURE**

TAP	STATISTICAL OF TIME HISTORIES				GAUSSIAN PROBABILITY DISTRIBUTION				GAMMA PROBABILITY DISTRIBUTION				
	Observed	Mean	Rms	Skewness	Est.Peak	Peak factor	$N = \nu T$	PPCC	Est.Peak	Shape	Scale	Location	PPCC
B04	0.840	0.312	0.151	-0.375	0.844	3.516	267	0.9979	0.805	30.414	0.027	-1.144	0.9946
B05	0.785	0.350	0.117	0.384	0.766	3.551	303	0.9994	0.864	20.811	0.026	-0.184	0.9950
B06	0.896	0.336	0.166	-0.894	0.925	3.544	295	0.9934	0.835	6.667	0.064	-0.763	0.9785
B07	0.788	0.319	0.137	-0.367	0.808	3.567	321	0.9930	0.802	64.959	0.017	-1.418	0.9950
B08	0.592	0.196	0.102	0.171	0.560	3.578	333	0.9978	0.591	138.740	0.009	-0.998	0.9986
B09	0.748	0.292	0.099	0.586	0.650	3.600	361	0.9894	0.777	9.744	0.032	-0.017	0.9994
B10	0.687	0.281	0.082	-0.013	0.638	4.341	6887	0.9999	0.634	925	0.003	-2.783	1.0000
B11	0.656	0.287	0.089	0.545	0.600	3.527	278	0.9905	0.690	14.240	0.024	-0.048	0.9995
B12	0.612	0.259	0.094	0.352	0.588	3.495	248	0.9994	0.651	30.414	0.017	-0.260	0.9960
B13	0.573	0.240	0.078	0.626	0.525	3.633	406	0.9993	0.628	9.744	0.025	-0.005	0.9882
B14	0.738	0.306	0.085	0.734	0.607	3.551	303	0.9844	0.736	6.667	0.033	0.087	0.9997
B15	0.470	0.196	0.052	0.557	0.389	3.679	481	0.9917	0.447	14.240	0.014	-0.002	0.9997
B16	0.354	0.175	0.045	0.430	0.340	3.704	529	0.9996	0.381	20.811	0.010	-0.029	0.9945
B17	0.369	0.173	0.047	0.520	0.346	3.671	467	0.9994	0.399	14.240	0.013	-0.005	0.9921
B18	0.408	0.141	0.065	0.358	0.396	3.940	1305	0.9997	0.453	30.414	0.012	-0.216	0.9959
B19	0.382	0.135	0.064	0.076	0.365	3.635	409	0.9996	0.374	633	0.003	-1.463	0.9998
B20	0.405	0.113	0.061	0.198	0.334	3.601	362	0.9944	0.357	94.935	0.006	-0.481	0.9955
B21	0.479	0.144	0.071	0.681	0.396	3.560	313	0.9855	0.505	6.667	0.027	-0.038	0.9990
B22	0.647	0.288	0.088	0.736	0.597	3.497	250	0.9988	0.726	6.667	0.034	0.060	0.9820
B23	0.678	0.321	0.098	0.429	0.653	3.400	179	0.9986	0.726	20.811	0.021	-0.124	0.9927
B25	0.664	0.301	0.086	0.695	0.605	3.558	310	0.9995	0.736	6.667	0.033	0.080	0.9859

**TOWER B-C THE PROBABILITY DISTRIBUTION FOR THE PEAK OF REGION PEAK PRESSURE**

TAP	STATISTICAL OF TIME HISTORIES				GAUSSIAN PROBABILITY DISTRIBUTION				GAMMA PROBABILITY DISTRIBUTION				
	Observed	Mean	Rms	Skewness	Est.Peak	Peak factor	$N = \nu T$	PPCC	Est.Peak	Shape	Scale	Location	PPCC
B26	0.678	0.253	0.082	0.898	0.537	3.477	233	0.9787	0.680	4.562	0.038	0.078	0.9997
B27	0.539	0.162	0.061	1.004	0.386	3.663	454	0.9773	0.507	4.562	0.029	0.031	0.9973
B28	0.442	0.036	0.056	0.846	0.247	3.778	697	0.9829	0.345	6.667	0.022	-0.108	0.9986
B29	0.388	0.131	0.058	0.208	0.359	3.889	1066	0.9967	0.386	94.935	0.006	-0.437	0.9977
B30	0.595	0.280	0.084	0.438	0.579	3.559	311	0.9993	0.650	20.811	0.018	-0.104	0.9935
B31	0.317	0.127	0.050	0.256	0.310	3.636	411	0.9997	0.334	64.959	0.006	-0.279	0.9979
B32	0.386	0.143	0.060	-0.044	0.393	4.183	3501	0.9989	0.405	925	0.002	-1.961	0.9989
B33	0.282	0.106	0.047	0.028	0.278	3.661	450	0.9998	0.283	925	0.002	-1.325	0.9998
B34	0.261	-0.072	0.100	-1.061	0.324	3.948	1343	0.9700	0.281	3.122	0.079	-0.175	0.9992
B35	0.483	0.060	0.110	-0.278	0.464	3.676	476	0.9953	0.467	94.935	0.011	-1.129	0.9966
B36	0.434	-0.024	0.116	-0.548	0.398	3.637	413	0.9970	0.361	14.240	0.031	-0.413	0.9906
B37	0.566	0.125	0.114	-0.211	0.533	3.579	334	0.9995	0.514	94.935	0.012	-1.236	0.9982
B38	0.454	0.114	0.085	-0.031	0.447	3.915	1180	0.9948	0.486	925	0.003	-2.685	0.9949
B39	0.475	0.068	0.091	-0.471	0.429	3.982	1538	0.9982	0.396	20.811	0.020	-0.481	0.9930
B40	0.326	-0.002	0.056	-0.008	0.242	4.346	7033	0.9999	0.243	925	0.002	-1.708	0.9998
B41	0.352	-0.025	0.102	-0.095	0.328	3.455	216	0.9989	0.305	296.340	0.006	-1.733	0.9986
B42	0.332	-0.035	0.106	-0.054	0.337	3.493	247	0.9997	0.305	925	0.003	-3.201	0.9996
B43	0.461	0.059	0.126	-0.583	0.507	3.554	306	0.9988	0.413	9.744	0.040	-0.452	0.9893
B44	0.789	0.257	0.165	-0.074	0.885	3.798	753	0.9991	0.869	632.930	0.007	-4.417	0.9993
B45	0.723	0.096	0.223	-0.324	0.858	3.418	190	0.9956	0.714	30.414	0.040	-1.324	0.9989
B46	1.013	0.330	0.146	-0.149	0.848	3.531	282	0.9959	0.859	138.740	0.012	-2.050	0.9965

**TOWER B-C THE PROBABILITY DISTRIBUTION FOR THE PEAK OF REGION PEAK PRESSURE**

TAP	STATISTICAL OF TIME HISTORIES				GAUSSIAN PROBABILITY DISTRIBUTION				GAMMA PROBABILITY DISTRIBUTION				
	Observed	Mean	Rms	Skewness	Est.Peak	Peak factor	$N = \nu T$	PPCC	Est.Peak	Shape	Scale	Location	PPCC
C25	0.769	0.313	0.082	0.419	0.606	3.554	306	0.9926	0.662	30.414	0.015	-0.140	0.9975
C26	0.647	0.232	0.103	-0.183	0.642	3.986	1565	0.9984	0.635	138.740	0.009	-1.442	0.9977
C27	0.542	0.149	0.081	0.726	0.438	3.570	324	0.9866	0.540	9.744	0.026	-0.104	0.9993
C28	0.528	0.191	0.065	0.497	0.449	3.990	1587	0.9928	0.520	20.811	0.014	-0.105	0.9989
C29	0.668	0.144	0.120	0.450	0.607	3.871	995	0.9967	0.756	14.240	0.032	-0.306	0.9893
C30	0.665	0.202	0.094	0.589	0.580	4.035	1903	0.9890	0.738	9.744	0.030	-0.090	0.9992
C31	0.430	0.165	0.059	0.348	0.410	4.123	2733	0.9998	0.468	30.414	0.011	-0.163	0.9966
C32	0.472	0.194	0.053	0.450	0.389	3.646	427	0.9943	0.436	20.811	0.012	-0.050	0.9998
C33	0.441	0.177	0.066	0.357	0.450	4.130	2809	0.9998	0.515	30.414	0.012	-0.188	0.9963
C34	0.330	0.039	0.104	-1.261	0.458	4.020	1792	0.9575	0.327	2.136	0.071	-0.191	0.9937
C35	0.640	0.202	0.099	0.389	0.577	3.799	755	0.9955	0.657	30.414	0.018	-0.342	0.9994
C36	0.427	0.098	0.081	-0.004	0.419	3.969	1464	0.9990	0.430	925	0.003	-2.555	0.9989
C37	0.480	0.155	0.083	0.217	0.483	3.937	1287	0.9997	0.532	64.959	0.010	-0.516	0.9983
C38	0.364	0.056	0.083	0.237	0.356	3.625	395	0.9997	0.396	64.959	0.010	-0.612	0.9980
C39	0.293	0.039	0.069	0.273	0.288	3.602	364	0.9996	0.329	44.448	0.010	-0.421	0.9974
C40	0.276	0.001	0.070	0.144	0.252	3.595	355	0.9990	0.270	202.770	0.005	-0.991	0.9996
C41	0.296	0.030	0.075	-0.023	0.303	3.644	423	0.9997	0.298	925	0.002	-2.306	0.9997
C42	0.320	0.024	0.083	-0.014	0.317	3.537	288	0.9993	0.300	925	0.003	-2.543	0.9993
C43	0.366	0.061	0.115	-0.694	0.468	3.546	297	0.9869	0.419	14.240	0.030	-0.492	0.9953
C44	0.906	0.192	0.181	-0.006	0.979	4.347	7040	1.0000	0.969	925	0.006	-5.696	0.9999
C45	0.760	0.330	0.100	0.017	0.766	4.346	7026	0.9999	0.784	925	0.003	-2.720	1.0000

**TOWER B-C THE PROBABILITY DISTRIBUTION FOR THE PEAK OF REGION PEAK PRESSURE**

TAP	STATISTICAL OF TIME HISTORIES				GAUSSIAN PROBABILITY DISTRIBUTION				GAMMA PROBABILITY DISTRIBUTION				
	Observed	Mean	Rms	Skewness	Est.Peak	Peak factor	$N = \nu T$	PPCC	Est.Peak	Shape	Scale	Location	PPCC
C46	0.906	0.350	0.120	0.055	0.871	4.344	6965	0.9999	0.892	925	0.004	-3.300	1.0000
D04	0.809	0.398	0.118	0.303	0.808	3.474	231	0.9988	0.885	30.414	0.021	-0.252	0.9959
D05	0.861	0.392	0.123	0.391	0.818	3.461	221	0.9991	0.915	20.811	0.027	-0.168	0.9942
D06	0.872	0.299	0.210	-0.882	1.036	3.510	262	0.9749	0.854	4.562	0.098	-0.745	0.9952
D07	0.803	0.309	0.203	-1.080	1.030	3.557	309	0.9649	0.839	3.122	0.114	-0.664	0.9923
D08	0.794	0.330	0.157	-1.091	0.880	3.508	260	0.9699	0.803	6.667	0.060	-0.729	0.9865
D09	0.890	0.403	0.111	0.405	0.787	3.474	231	0.9909	0.873	20.811	0.024	-0.100	0.9970
D10	0.927	0.358	0.115	0.426	0.782	3.698	516	0.9950	0.888	20.811	0.025	-0.165	0.9997
D11	0.845	0.366	0.107	0.539	0.741	3.518	269	0.9919	0.848	14.240	0.028	-0.036	0.9997
D12	0.818	0.330	0.112	0.425	0.728	3.562	315	0.9945	0.822	20.811	0.025	-0.180	0.9995
D13	0.760	0.305	0.116	0.243	0.710	3.501	254	0.9979	0.761	64.959	0.014	-0.627	0.9995
D14	0.773	0.352	0.101	0.550	0.707	3.522	273	0.9906	0.808	14.240	0.027	-0.028	0.9996
D15	0.666	0.302	0.097	0.462	0.647	3.540	291	0.9993	0.745	14.240	0.026	-0.066	0.9926
D16	0.708	0.320	0.095	0.462	0.653	3.505	257	0.9931	0.748	14.240	0.025	-0.038	0.9996
D17	0.701	0.306	0.085	0.521	0.607	3.526	277	0.9910	0.692	14.240	0.023	-0.016	0.9993
D18	0.697	0.191	0.108	0.426	0.566	3.491	245	0.9947	0.653	20.811	0.024	-0.300	0.9994
D19	0.619	0.257	0.100	0.324	0.599	3.434	201	0.9995	0.662	30.414	0.018	-0.293	0.9964
D20	0.738	0.279	0.112	0.201	0.664	3.425	195	0.9967	0.710	64.959	0.014	-0.626	0.9979
D21	0.662	0.304	0.100	0.403	0.653	3.480	236	0.9993	0.733	20.811	0.022	-0.154	0.9942
D22	0.704	0.370	0.102	0.303	0.719	3.419	191	0.9988	0.783	30.414	0.019	-0.194	0.9959
D23	-0.281	-0.360	0.020	-0.009	-0.273	4.345	6978	0.9996	-0.273	925	0.001	-0.247	0.9997

**TOWER B-C THE PROBABILITY DISTRIBUTION FOR THE PEAK OF REGION PEAK PRESSURE**

TAP	STATISTICAL OF TIME HISTORIES				GAUSSIAN PROBABILITY DISTRIBUTION				GAMMA PROBABILITY DISTRIBUTION				
	Observed	Mean	Rms	Skewness	Est.Peak	Peak factor	$N = \nu T$	PPCC	Est.Peak	Shape	Scale	Location	PPCC
D25	0.862	0.391	0.109	0.506	0.769	3.449	212	0.9925	0.873	14.240	0.029	-0.022	0.9994
D26	0.760	0.327	0.101	0.473	0.677	3.459	219	0.9924	0.773	14.240	0.027	-0.054	0.9993
D27	0.617	0.241	0.089	0.577	0.565	3.618	385	0.9996	0.681	9.744	0.029	-0.038	0.9901
D28	0.567	0.142	0.105	0.530	0.519	3.575	330	0.9986	0.628	14.240	0.028	-0.255	0.9893
D29	0.602	0.164	0.121	0.349	0.595	3.551	303	0.9985	0.677	30.414	0.022	-0.503	0.9944
D30	0.697	0.271	0.091	0.685	0.599	3.592	351	0.9862	0.716	9.744	0.029	-0.014	0.9996
D31	0.793	0.268	0.110	0.701	0.691	3.852	926	0.9854	0.894	6.667	0.043	-0.016	0.9997
D32	0.738	0.279	0.103	0.448	0.679	3.892	1079	0.9932	0.786	20.811	0.023	-0.190	0.9994
D33	0.738	0.302	0.104	0.278	0.705	3.860	955	0.9991	0.776	44.448	0.016	-0.392	0.9965
D34	0.634	0.248	0.106	0.374	0.678	4.046	1994	0.9996	0.777	30.414	0.019	-0.338	0.9954
D35	0.660	0.232	0.097	0.528	0.616	3.968	1459	0.9998	0.745	14.240	0.026	-0.133	0.9924
D36	0.787	0.227	0.146	-0.074	0.741	3.523	274	0.9977	0.735	632.930	0.006	-3.890	0.9976
D37	0.467	0.087	0.113	-0.044	0.544	4.050	2025	0.9989	0.547	925	0.004	-3.519	0.9989
D38	0.342	-0.024	0.078	0.203	0.261	3.646	427	0.9986	0.292	94.935	0.008	-0.784	0.9998
D39	0.257	-0.049	0.072	0.393	0.214	3.673	470	0.9951	0.267	30.414	0.013	-0.443	0.9991
D40	0.288	-0.122	0.082	0.429	0.195	3.881	1035	0.9943	0.280	20.811	0.018	-0.495	0.9996
D41	0.249	-0.059	0.057	0.199	0.150	3.639	416	0.9983	0.169	138.740	0.005	-0.736	0.9992
D42	0.291	-0.110	0.092	0.023	0.227	3.660	449	0.9996	0.238	925	0.003	-2.912	0.9996
D43	0.339	0.067	0.081	-0.272	0.354	3.559	311	0.9973	0.336	64.959	0.010	-0.717	0.9990
D44	0.735	0.310	0.138	-0.307	0.790	3.473	230	0.9969	0.749	64.959	0.017	-1.424	0.9990
D45	0.749	0.317	0.121	-0.009	0.739	3.475	232	0.9993	0.716	925.000	0.004	-4.007	0.9994

**TOWER B-C THE PROBABILITY DISTRIBUTION FOR THE PEAK OF REGION PEAK PRESSURE**

TAP	STATISTICAL OF TIME HISTORIES				GAUSSIAN PROBABILITY DISTRIBUTION				GAMMA PROBABILITY DISTRIBUTION				
	Observed	Mean	Rms	Skewness	Est.Peak	Peak factor	$N = \nu T$	PPCC	Est.Peak	Shape	Scale	Location	PPCC
D46	0.883	0.342	0.140	0.165	0.831	3.498	251	0.9983	0.872	138.740	0.012	-1.303	0.9992
E01	0.066	-0.213	0.079	0.217	0.067	3.557	309	0.9985	0.064	64.959	0.010	-0.848	0.9999
E02	0.357	0.082	0.072	0.096	0.339	3.580	336	0.9994	0.351	433.080	0.003	-1.418	0.9996
E03	0.583	0.263	0.092	0.227	0.589	3.553	305	0.9996	0.632	64.959	0.011	-0.479	0.9980
E04	0.724	0.357	0.102	0.309	0.711	3.465	224	0.9991	0.777	30.414	0.019	-0.207	0.9961
E05	0.775	0.398	0.091	0.015	0.791	4.345	7007	0.9999	0.808	925	0.003	-2.357	1.0000
E06	0.935	0.440	0.119	0.209	0.851	3.449	212	0.9974	0.892	94.935	0.012	-0.721	0.9988
E07	0.817	0.301	0.205	-0.726	1.019	3.509	261	0.9799	0.846	6.667	0.079	-0.827	0.9944
E08	0.906	0.418	0.128	-0.106	0.872	3.559	312	0.9968	0.885	925	0.004	-4.287	0.9968
E09	0.837	0.438	0.111	0.302	0.820	3.427	196	0.9982	0.889	30.414	0.020	-0.176	0.9951
E10	0.800	0.426	0.111	0.338	0.808	3.454	215	0.9956	0.877	30.414	0.020	-0.182	0.9913
E11	0.895	0.391	0.117	0.597	0.801	3.501	254	0.9894	0.942	9.744	0.038	0.026	0.9995
E12	0.821	0.385	0.107	0.433	0.757	3.495	248	0.9937	0.843	20.811	0.023	-0.101	0.9996
E13	0.731	0.346	0.121	0.202	0.767	3.470	228	0.9988	0.819	64.959	0.015	-0.629	0.9976
E14	0.770	0.408	0.107	0.407	0.773	3.403	181	0.9985	0.853	20.811	0.023	-0.080	0.9931
E15	0.775	0.425	0.112	0.212	0.808	3.434	201	0.9979	0.846	94.935	0.011	-0.661	0.9965
E16	0.822	0.407	0.106	0.431	0.777	3.479	235	0.9939	0.862	20.811	0.023	-0.079	0.9996
E17	0.801	0.405	0.103	0.435	0.759	3.456	217	0.9933	0.840	20.811	0.022	-0.063	0.9992
E18	0.764	0.349	0.112	0.260	0.732	3.430	198	0.9972	0.779	64.959	0.014	-0.552	0.9992
E19	0.729	0.369	0.111	0.215	0.756	3.477	233	0.9996	0.805	64.959	0.014	-0.529	0.9983
E20	0.820	0.376	0.118	0.083	0.829	3.829	845	0.9999	0.848	632.930	0.005	-2.602	0.9997

**TOWER B-C THE PROBABILITY DISTRIBUTION FOR THE PEAK OF REGION PEAK PRESSURE**

TAP	STATISTICAL OF TIME HISTORIES				GAUSSIAN PROBABILITY DISTRIBUTION				GAMMA PROBABILITY DISTRIBUTION				
	Observed	Mean	Rms	Skewness	Est.Peak	Peak factor	$N = \nu T$	PPCC	Est.Peak	Shape	Scale	Location	PPCC
E21	0.734	0.395	0.113	0.195	0.785	3.460	220	0.9984	0.824	94.935	0.012	-0.703	0.9971
E22	0.849	0.423	0.114	0.518	0.813	3.422	193	0.9985	0.918	14.240	0.030	-0.006	0.9899
E23	0.886	0.421	0.124	0.333	0.852	3.463	222	0.9996	0.932	30.414	0.023	-0.266	0.9963
E24	0.857	0.404	0.140	0.054	0.899	3.523	274	0.9995	0.913	925	0.005	-3.867	0.9994
F01	0.060	-0.305	0.106	-0.546	0.073	3.577	332	0.9914	0.066	14.240	0.029	-0.109	0.9984
F02	0.351	0.103	0.063	0.205	0.332	3.640	417	0.9984	0.357	94.935	0.006	-0.511	0.9997
F03	0.627	0.288	0.094	0.339	0.620	3.548	299	0.9989	0.684	30.414	0.017	-0.228	0.9951
F04	0.694	0.357	0.099	0.336	0.711	3.583	339	0.9994	0.780	30.414	0.018	-0.187	0.9961
F05	0.969	0.448	0.117	0.413	0.854	3.467	225	0.9938	0.947	20.811	0.026	-0.086	0.9992
F06	0.879	0.477	0.113	0.314	0.877	3.553	305	0.9992	0.955	30.414	0.020	-0.143	0.9962
F07	0.923	0.263	0.247	-0.589	1.142	3.552	304	0.9840	0.909	9.744	0.079	-1.031	0.9947
F08	0.900	0.481	0.130	0.171	0.953	3.625	395	0.9986	1.004	94.935	0.013	-0.786	0.9977
F09	0.910	0.485	0.125	0.315	0.930	3.548	300	0.9988	1.015	30.414	0.023	-0.206	0.9957
F10	0.930	0.448	0.125	0.549	0.887	3.507	259	0.9986	1.038	9.744	0.040	0.058	0.9891
F11	0.851	0.436	0.120	0.232	0.852	3.473	230	0.9989	0.904	64.959	0.015	-0.530	0.9971
F12	0.984	0.445	0.123	0.503	0.868	3.435	202	0.9922	0.985	14.240	0.033	-0.020	0.9997
F13	0.845	0.393	0.139	0.085	0.864	3.378	166	0.9995	0.883	433.080	0.007	-2.506	0.9993
F14	0.790	0.430	0.112	0.392	0.814	3.418	190	0.9983	0.899	20.811	0.025	-0.081	0.9931
F15	0.928	0.437	0.112	0.339	0.821	3.435	202	0.9948	0.891	30.414	0.020	-0.177	0.9984
F16	0.800	0.450	0.110	0.353	0.833	3.464	223	0.9981	0.903	30.414	0.020	-0.158	0.9940
F17	0.861	0.441	0.104	0.347	0.803	3.477	233	0.9958	0.871	30.414	0.019	-0.134	0.9995

**TOWER B-C THE PROBABILITY DISTRIBUTION FOR THE PEAK OF REGION PEAK PRESSURE**

TAP	STATISTICAL OF TIME HISTORIES				GAUSSIAN PROBABILITY DISTRIBUTION				GAMMA PROBABILITY DISTRIBUTION				
	Observed	Mean	Rms	Skewness	Est.Peak	Peak factor	$N = \nu T$	PPCC	Est.Peak	Shape	Scale	Location	PPCC
F18	0.883	0.418	0.116	0.286	0.818	3.461	221	0.9967	0.879	44.448	0.017	-0.352	0.9993
F19	0.762	0.394	0.113	0.243	0.791	3.500	253	0.9994	0.841	64.959	0.014	-0.519	0.9976
F20	0.872	0.423	0.113	0.369	0.812	3.433	200	0.9955	0.884	30.414	0.021	-0.203	0.9995
F21	0.865	0.424	0.117	0.328	0.831	3.470	228	0.9992	0.907	30.414	0.021	-0.224	0.9958
F22	0.855	0.438	0.114	0.402	0.826	3.419	191	0.9993	0.912	20.811	0.025	-0.080	0.9943
F23	0.850	0.439	0.124	0.255	0.864	3.419	191	0.9991	0.927	44.448	0.019	-0.388	0.9971
F24	0.900	0.493	0.129	0.106	0.944	3.480	236	0.9994	0.968	296.340	0.008	-1.733	0.9991
G01	0.450	-0.022	0.144	44.116	0.497	3.593	352	0.7793	0.430	925	0.000	-0.126	0.7798
G02	0.455	0.164	0.071	0.302	0.422	3.649	431	0.9971	0.464	44.448	0.011	-0.309	0.9996
G03	0.639	0.288	0.093	0.342	0.619	3.569	323	0.9995	0.684	30.41	0.017	-0.225	0.9963
G04	0.850	0.378	0.108	0.221	0.760	3.532	283	0.9981	0.800	94.935	0.011	-0.675	0.9995
G05	0.908	0.443	0.119	0.272	0.857	3.490	244	0.9961	0.921	44.448	0.018	-0.348	0.9986
G06	0.955	0.508	0.130	0.444	0.965	3.508	260	0.9985	1.094	14.240	0.034	0.017	0.9923
G07	0.632	0.299	0.100	0.210	0.654	3.551	303	0.9994	0.700	64.959	0.012	-0.508	0.9982
G08	0.978	0.505	0.132	0.070	1.040	4.045	1981	0.9987	1.064	632.930	0.005	-2.822	0.9985
G09	0.907	0.486	0.120	0.204	0.908	3.506	258	0.9978	0.951	94.935	0.012	-0.684	0.9964
G10	0.911	0.429	0.120	0.403	0.882	3.796	746	0.9995	1.000	20.811	0.026	-0.117	0.9947
G11	0.911	0.444	0.129	0.319	0.887	3.444	208	0.9992	0.969	30.414	0.023	-0.265	0.9959
G12	0.836	0.475	0.120	0.195	0.891	3.467	225	0.9977	0.933	94.935	0.012	-0.693	0.9965
G13	0.852	0.433	0.134	0.150	0.890	3.415	188	0.9986	0.927	138.740	0.011	-1.142	0.9979
G14	0.906	0.469	0.118	0.399	0.875	3.449	212	0.9992	0.967	20.811	0.026	-0.068	0.9942

**TOWER B-C THE PROBABILITY DISTRIBUTION FOR THE PEAK OF REGION PEAK PRESSURE**

TAP	STATISTICAL OF TIME HISTORIES				GAUSSIAN PROBABILITY DISTRIBUTION				GAMMA PROBABILITY DISTRIBUTION				
	Observed	Mean	Rms	Skewness	Est.Peak	Peak factor	$N = \nu T$	PPCC	Est.Peak	Shape	Scale	Location	PPCC
G15	0.963	0.481	0.125	0.268	0.907	3.402	180	0.9970	0.969	44.448	0.019	-0.353	0.9993
G16	0.888	0.476	0.122	0.274	0.892	3.410	185	0.9983	0.954	44.448	0.018	-0.337	0.9956
G17	0.847	0.459	0.111	0.394	0.841	3.440	205	0.9993	0.928	20.811	0.024	-0.049	0.9946
G18	0.889	0.456	0.126	0.322	0.884	3.392	174	0.9983	0.961	30.414	0.023	-0.240	0.9949
G19	0.760	0.398	0.108	0.153	0.769	3.443	207	0.9990	0.798	138.740	0.009	-0.869	0.9983
G20	0.830	0.446	0.130	-0.006	0.898	3.489	243	0.9990	0.885	925	0.004	-4.383	0.9989
G21	0.820	0.462	0.121	0.189	0.874	3.416	189	0.9987	0.914	94.935	0.012	-0.712	0.9975
G22	0.883	0.469	0.122	0.355	0.889	3.434	201	0.9988	0.966	30.414	0.022	-0.205	0.9949
G23	0.877	0.470	0.126	0.233	0.916	3.533	284	0.9985	0.973	64.959	0.016	-0.547	0.9967
G24	0.827	0.361	0.134	0.202	0.823	3.443	207	0.9991	0.880	64.959	0.017	-0.720	0.9978
H01	-0.044	-0.194	0.039	0.102	-0.049	3.752	632	0.9995	-0.042	433.080	0.002	-0.999	0.9998
H02	0.342	0.082	0.066	0.359	0.317	3.551	303	0.9962	0.363	30.414	0.012	-0.284	0.9998
H03	0.575	0.252	0.094	0.189	0.586	3.540	291	0.9989	0.621	94.935	0.010	-0.667	0.9976
H04	0.739	0.331	0.108	0.336	0.718	3.577	332	0.9996	0.793	30.414	0.020	-0.264	0.9964
H05	0.839	0.354	0.107	0.375	0.727	3.480	236	0.9951	0.797	30.414	0.019	-0.237	0.9995
H06	0.843	0.433	0.128	0.206	0.879	3.496	249	0.9985	0.934	64.959	0.016	-0.595	0.9970
H07	0.926	0.468	0.130	0.204	0.927	3.539	290	0.9994	0.975	94.935	0.013	-0.793	0.9981
H08	0.847	0.461	0.137	0.156	0.941	3.490	244	0.9973	0.979	138.740	0.012	-1.155	0.9966
H09	0.876	0.445	0.138	0.157	0.933	3.529	280	0.9991	0.974	138.740	0.012	-1.181	0.9983
H10	0.854	0.384	0.140	0.233	0.877	3.535	286	0.9996	0.940	64.959	0.017	-0.741	0.9979
H11	1.001	0.441	0.131	0.193	0.904	3.537	288	0.9981	0.944	138.740	0.011	-1.101	0.9993

**TOWER B-C THE PROBABILITY DISTRIBUTION FOR THE PEAK OF REGION PEAK PRESSURE**

TAP	STATISTICAL OF TIME HISTORIES				GAUSSIAN PROBABILITY DISTRIBUTION				GAMMA PROBABILITY DISTRIBUTION				
	Observed	Mean	Rms	Skewness	Est.Peak	Peak factor	$N = \nu T$	PPCC	Est.Peak	Shape	Scale	Location	PPCC
H12	0.866	0.434	0.134	0.172	0.907	3.514	266	0.9984	0.955	94.935	0.014	-0.874	0.9973
H13	0.912	0.405	0.138	0.178	0.892	3.518	269	0.9994	0.942	94.935	0.014	-0.944	0.9986
H14	0.831	0.418	0.124	0.349	0.852	3.510	262	0.9984	0.934	30.414	0.022	-0.264	0.9944
H15	0.913	0.476	0.133	0.217	0.941	3.482	237	0.9983	0.998	64.959	0.017	-0.597	0.9967
H16	0.963	0.448	0.129	0.222	0.910	3.587	344	0.9974	0.971	64.959	0.016	-0.590	0.9990
H17	0.845	0.428	0.121	0.279	0.851	3.504	256	0.9993	0.916	44.448	0.018	-0.376	0.9969
H18	0.854	0.426	0.128	0.197	0.876	3.527	278	0.9997	0.923	94.935	0.013	-0.817	0.9985
H19	0.836	0.429	0.120	0.079	0.841	3.440	205	0.9989	0.855	632.930	0.005	-2.583	0.9987
H20	0.909	0.435	0.121	0.533	0.862	3.525	276	0.9993	0.984	14.240	0.032	-0.022	0.9906
H21	0.883	0.462	0.123	0.237	0.885	3.444	208	0.9987	0.937	64.959	0.015	-0.529	0.9969
H22	0.948	0.426	0.128	0.406	0.879	3.531	282	0.9938	0.985	20.811	0.028	-0.159	0.9988
H23	0.883	0.425	0.131	0.278	0.894	3.584	341	0.9991	0.968	44.448	0.020	-0.445	0.9967
H24	0.912	0.498	0.133	0.071	0.973	3.583	339	0.9993	0.990	632.930	0.005	-2.836	0.9992
I01	0.028	-0.170	0.052	0.061	0.027	3.754	636	0.9990	0.026	925	0.001	-1.489	0.9989
I02	0.356	0.088	0.069	0.240	0.333	3.561	314	0.9979	0.365	64.959	0.009	-0.465	0.9997
I03	0.556	0.187	0.085	0.204	0.490	3.551	303	0.9983	0.522	94.935	0.009	-0.643	0.9995
I04	0.583	0.237	0.098	0.314	0.582	3.519	270	0.9991	0.648	30.414	0.018	-0.303	0.9960
I05	0.728	0.302	0.110	0.267	0.692	3.545	296	0.9975	0.754	44.448	0.017	-0.433	0.9996
I06	0.804	0.363	0.123	0.284	0.798	3.543	294	0.9983	0.865	44.448	0.018	-0.455	0.9955
I07	0.883	0.429	0.128	0.123	0.882	3.551	303	0.9989	0.913	202.770	0.009	-1.385	0.9983
I08	0.874	0.398	0.137	0.189	0.883	3.543	294	0.9995	0.934	94.935	0.014	-0.935	0.9984

**TOWER B-C THE PROBABILITY DISTRIBUTION FOR THE PEAK OF REGION PEAK PRESSURE**

TAP	STATISTICAL OF TIME HISTORIES				GAUSSIAN PROBABILITY DISTRIBUTION				GAMMA PROBABILITY DISTRIBUTION				
	Observed	Mean	Rms	Skewness	Est.Peak	Peak factor	$N = \nu T$	PPCC	Est.Peak	Shape	Scale	Location	PPCC
I09	0.765	0.316	0.129	0.265	0.773	3.540	291	0.9993	0.845	44.448	0.019	-0.546	0.9970
I10	0.571	0.203	0.093	0.299	0.542	3.646	427	0.9964	0.597	44.448	0.014	-0.415	0.9993
I11	0.740	0.343	0.131	0.148	0.807	3.549	301	0.9986	0.846	138.74	0.011	-1.193	0.9979
I12	0.886	0.368	0.138	0.203	0.850	3.507	259	0.9974	0.900	94.935	0.014	-0.972	0.9987
I13	0.912	0.434	0.138	0.265	0.913	3.475	232	0.9985	0.986	44.448	0.021	-0.484	0.9964
I14	0.749	0.325	0.133	0.136	0.794	3.524	275	0.9992	0.826	202.77	0.009	-1.568	0.9986
I15	0.760	0.357	0.129	0.191	0.813	3.541	292	0.9975	0.859	94.935	0.013	-0.894	0.9964
I16	0.762	0.391	0.121	0.109	0.811	3.485	240	0.9978	0.838	202.77	0.008	-1.324	0.9974
I17	0.802	0.395	0.130	0.277	0.848	3.4933	247.000	0.998	0.918	44.448	0.019	-0.471	0.996
I18	0.737	0.319	0.109	0.345	0.700	3.4945	248.000	0.996	0.771	30.414	0.020	-0.282	0.999
I19	0.851	0.409	0.136	0.219	0.890	3.5398	291.000	0.999	0.951	64.959	0.017	-0.683	0.997
I20	0.755	0.358	0.126	0.246	0.792	3.4562	217.000	0.997	0.856	44.448	0.019	-0.477	0.995
I21	0.858	0.424	0.124	0.102	0.859	3.4933	247.000	0.998	0.882	296.340	0.007	-1.715	0.998
I22	0.758	0.358	0.117	0.179	0.776	3.5656	319.000	0.999	0.820	94.935	0.012	-0.784	0.998
I23	0.757	0.250	0.112	0.307	0.656	3.6179	385.000	0.996	0.722	44.448	0.017	-0.497	0.999
I24	0.888	0.453	0.129	0.030	0.915	3.57	324.000	1.000	0.928	925	0.004	-3.483	1.000

**TOWER B-C THE EXTREME VALUE DISTRIBUTION FOR THE PEAK OF REGION PEAK SUCTION**

TAP	STATISTICAL OF TIME HISTORIES					EVD TYPE I (GUMBEL)			GENERALIZED EXTREME VALUE			
	Degree	Observed	Mean	Rms	Skewness	Est.Peak	Scale	Location	Est.Peak	Scale	Location	Shape
A25	337.5	-0.473	-0.301	0.034	-0.093	-0.452	0.020	0.374	-0.428	0.024	0.389	0.564
A26	0	-0.551	-0.410	0.042	0.001	-0.581	0.025	0.484	-0.589	0.029	0.510	0.187
A27	0	-0.534	-0.390	0.046	0.617	-0.564	0.023	0.475	-0.572	0.026	0.499	0.187
A28	202.5	-0.818	-0.013	0.108	-0.442	-0.631	0.090	0.279	-0.502	0.108	0.345	0.631
A29	202.5	-0.732	-0.264	0.056	-2.002	-0.709	0.085	0.379	-0.488	0.095	0.414	1.270
A30	180	-1.045	-0.481	0.098	-0.597	-1.054	0.085	0.722	-0.952	0.108	0.788	0.590
A31	180	-0.638	-0.305	0.070	-0.820	-0.712	0.059	0.480	-0.679	0.075	0.533	0.410
A32	202.5	-0.590	-0.355	0.050	-0.282	-0.615	0.037	0.468	-0.574	0.047	0.498	0.550
A33	202.5	-0.783	-0.420	0.075	-0.470	-0.812	0.050	0.615	-0.733	0.065	0.650	0.741
A35	112.5	-1.042	-0.540	0.148	0.247	-1.096	0.055	0.880	-1.078	0.067	0.931	0.331
A36	135	-1.193	-0.572	0.146	-0.138	-1.268	0.090	0.916	-1.181	0.112	0.990	0.506
A37	135	-0.751	-0.120	0.160	-0.278	-0.823	0.090	0.474	-0.775	0.110	0.554	0.387
A38	225	-0.615	-0.353	0.062	-0.436	-0.628	0.033	0.498	-0.595	0.041	0.525	0.503
A39	202.5	-0.773	-0.471	0.078	-0.697	-0.835	0.048	0.650	-0.852	0.054	0.699	0.170
A40	225	-1.005	-0.503	0.085	-1.100	-1.004	0.081	0.690	-0.841	0.101	0.736	0.930
A41	90	-1.031	-0.539	0.104	-0.515	-1.048	0.073	0.763	-0.954	0.094	0.818	0.631
A42	90	-1.247	-0.496	0.121	-0.263	-1.234	0.123	0.756	-1.050	0.154	0.843	0.697
A43	90	-1.344	-0.460	0.213	-0.843	-1.520	0.146	0.952	-1.543	0.169	1.097	0.215
A44	292.5	-0.626	-0.159	0.074	-0.626	-0.593	0.066	0.337	-0.464	0.081	0.376	0.887
A45	112.5	-0.809	-0.394	0.071	-0.569	-0.775	0.052	0.572	-0.679	0.064	0.605	0.830

**TOWER B-C THE EXTREME VALUE DISTRIBUTION FOR THE PEAK OF REGION PEAK SUCTION**

TAP	STATISTICAL OF TIME HISTORIES					EVD TYPE I (GUMBEL)			GENERALIZED EXTREME VALUE			
	Degree	Observed	Mean	Rms	Skewness	Est.Peak	Scale	Location	Est.Peak	Scale	Location	Shape
A46	225	-0.582	-0.368	0.058	-0.131	-0.609	0.040	0.452	-0.575	0.050	0.486	0.472
B04	135	-0.696	-0.437	0.059	-0.285	-0.720	0.042	0.555	-0.691	0.053	0.592	0.433
B05	67.5	-0.969	-0.233	0.314	0.082	-1.040	0.080	0.728	-1.001	0.097	0.800	0.368
B06	90	-1.528	-0.549	0.247	-0.383	-1.734	0.155	1.129	-1.770	0.177	1.286	0.194
B07	90	-0.960	-0.157	0.157	-1.061	-1.076	0.144	0.515	-1.065	0.168	0.654	0.261
B08	0	-1.440	-0.594	0.115	-0.691	-1.336	0.120	0.868	-1.135	0.149	0.948	0.756
B09	0	-1.328	-0.660	0.170	0.014	-1.439	0.103	1.035	-1.390	0.126	1.129	0.366
B10	0	-1.065	-1.857	0.298	-0.128	-1.049	0.058	0.824	-0.946	0.072	0.861	0.809
B11	337.5	-1.235	-0.758	0.123	-0.310	-1.303	0.071	1.028	-1.278	0.084	1.093	0.333
B12	315	-1.741	-1.003	0.201	-0.364	-1.803	0.106	1.388	-1.640	0.136	1.462	0.715
B13	292.5	-1.967	-1.030	0.220	-0.440	-2.099	0.159	1.478	-1.931	0.202	1.605	0.544
B14	292.5	-1.278	-0.637	0.125	-0.546	-1.291	0.098	0.907	-1.179	0.123	0.984	0.562
B15	292.5	-0.807	-0.391	0.077	-0.775	-0.852	0.070	0.581	-0.764	0.090	0.633	0.623
B16	270	-0.728	-0.380	0.066	-0.722	-0.758	0.056	0.540	-0.687	0.071	0.582	0.620
B17	270	-0.636	-0.343	0.073	-0.531	-0.685	0.042	0.522	-0.698	0.047	0.565	0.168
B18	270	-0.665	-0.302	0.087	-0.211	-0.670	0.046	0.489	-0.624	0.058	0.527	0.512
B19	247.5	-1.076	-0.600	0.111	-0.505	-1.150	0.081	0.835	-1.140	0.096	0.913	0.280
B20	247.5	-1.316	-0.574	0.184	-0.411	-1.463	0.139	0.919	-1.363	0.175	1.039	0.445
B21	180	-1.126	-0.498	0.121	-0.762	-1.199	0.107	0.782	-1.140	0.129	0.877	0.380
B22	202.5	-0.836	-0.499	0.094	0.296	-0.870	0.045	0.694	-0.836	0.057	0.733	0.455

**TOWER B-C THE EXTREME VALUE DISTRIBUTION FOR THE PEAK OF REGION PEAK SUCTION**

TAP	STATISTICAL OF TIME HISTORIES					EVD TYPE I (GUMBEL)			GENERALIZED EXTREME VALUE			
	Degree	Observed	Mean	Rms	Skewness	Est.Peak	Scale	Location	Est.Peak	Scale	Location	Shape
B23	337.5	-0.470	-0.324	0.040	0.142	-0.492	0.021	0.408	-0.497	0.023	0.430	0.163
B25	0	-0.488	-0.337	0.036	-0.223	-0.505	0.021	0.422	-0.502	0.025	0.443	0.280
B26	0	-0.604	-0.437	0.047	-0.056	-0.622	0.025	0.524	-0.605	0.031	0.546	0.413
B27	270	-0.760	-0.432	0.070	0.090	-0.733	0.038	0.584	-0.680	0.047	0.612	0.630
B28	292.5	-0.589	-0.310	0.088	0.488	-0.617	0.034	0.482	-0.582	0.043	0.510	0.518
B29	225	-0.550	-0.318	0.056	-0.064	-0.573	0.034	0.440	-0.534	0.044	0.467	0.584
B30	202.5	-0.759	-0.445	0.073	-0.380	-0.790	0.043	0.621	-0.833	0.043	0.669	0.014
B31	180	-0.656	-0.337	0.071	-1.012	-0.755	0.064	0.505	-0.677	0.081	0.554	0.592
B32	202.5	-0.580	-0.338	0.056	-0.108	-0.626	0.040	0.470	-0.614	0.048	0.507	0.323
B33	202.5	-0.666	-0.357	0.057	-0.765	-0.678	0.050	0.483	-0.623	0.063	0.523	0.547
B34	180	-1.409	-0.791	0.130	-0.479	-1.463	0.101	1.069	-1.383	0.123	1.155	0.445
B35	90	-1.289	-0.194	0.259	-1.080	-1.476	0.184	0.760	-1.560	0.200	0.951	0.132
B36	90	-1.449	-0.586	0.161	-0.339	-1.459	0.121	0.987	-1.271	0.153	1.071	0.717
B37	135	-0.775	-0.256	0.159	-0.074	-0.832	0.065	0.580	-0.845	0.071	0.645	0.179
B38	225	-0.712	-0.263	0.102	-0.577	-0.739	0.060	0.504	-0.689	0.074	0.555	0.464
B39	202.5	-1.005	-0.334	0.096	0.118	-0.854	0.082	0.533	-0.696	0.099	0.584	0.857
B40	67.5	-1.019	-0.032	0.012	-2.313	-0.868	0.036	0.727	-0.765	0.036	0.740	1.408
B41	90	-1.113	-0.525	0.092	-0.707	-1.092	0.091	0.737	-0.952	0.112	0.801	0.691
B42	90	-1.018	-0.530	0.081	-0.105	-1.011	0.077	0.711	-0.912	0.096	0.769	0.606
B43	67.5	-1.553	-0.656	0.232	-0.527	-1.579	0.111	1.145	-1.522	0.132	1.245	0.360

**TOWER B-C THE EXTREME VALUE DISTRIBUTION FOR THE PEAK OF REGION PEAK SUCTION**

TAP	STATISTICAL OF TIME HISTORIES					EVD TYPE I (GUMBEL)			GENERALIZED EXTREME VALUE			
	Degree	Observed	Mean	Rms	Skewness	Est.Peak	Scale	Location	Est.Peak	Scale	Location	Shape
B44	180	-0.654	-0.354	0.060	0.011	-0.638	0.043	0.471	-0.599	0.053	0.507	0.485
B45	112.5	-0.684	-0.395	0.063	-0.430	-0.708	0.040	0.551	-0.659	0.050	0.582	0.582
B46	157.5	-0.598	-0.385	0.039	-0.298	-0.587	0.031	0.466	-0.540	0.039	0.488	0.688
C25	337.5	-0.487	-0.345	0.031	-0.307	-0.497	0.021	0.415	-0.486	0.026	0.434	0.390
C26	270	-0.815	-0.361	0.110	0.233	-0.833	0.070	0.561	-0.799	0.084	0.624	0.362
C27	270	-0.718	-0.413	0.093	0.036	-0.746	0.041	0.587	-0.713	0.051	0.621	0.465
C28	225	-0.555	-0.303	0.070	-0.043	-0.595	0.038	0.447	-0.579	0.046	0.481	0.352
C29	0	-0.608	-0.260	0.063	-0.237	-0.608	0.052	0.406	-0.553	0.065	0.447	0.542
C30	180	-0.803	-0.416	0.066	-0.773	-0.817	0.056	0.598	-0.768	0.070	0.645	0.483
C31	180	-0.806	-0.420	0.070	-0.470	-0.842	0.059	0.612	-0.798	0.074	0.662	0.454
C32	202.5	-0.735	-0.400	0.070	-0.435	-0.762	0.042	0.598	-0.764	0.049	0.639	0.232
C33	202.5	-0.643	-0.349	0.060	-0.587	-0.672	0.049	0.483	-0.622	0.061	0.522	0.533
C34	180	-1.343	-0.774	0.116	-0.508	-1.307	0.067	1.047	-1.208	0.083	1.094	0.681
C35	112.5	-1.013	-0.486	0.160	0.134	-1.113	0.064	0.864	-1.087	0.081	0.922	0.382
C36	112.5	-1.155	-0.519	0.152	-0.251	-1.244	0.088	0.900	-1.157	0.112	0.971	0.525
C37	112.5	-1.119	-0.178	0.114	-1.102	-0.950	0.124	0.465	-0.701	0.150	0.539	0.892
C38	67.5	-0.766	-0.363	0.086	-0.243	-0.772	0.050	0.579	-0.736	0.060	0.622	0.430
C39	67.5	-1.071	-0.459	0.188	0.024	-1.172	0.086	0.837	-1.093	0.111	0.908	0.518
C40	67.5	-1.522	-0.719	0.169	-0.061	-1.462	0.096	1.086	-1.300	0.118	1.151	0.745
C41	67.5	-1.344	-0.682	0.192	0.110	-1.427	0.091	1.072	-1.376	0.112	1.153	0.392

**TOWER B-C THE EXTREME VALUE DISTRIBUTION FOR THE PEAK OF REGION PEAK SUCTION**

TAP	STATISTICAL OF TIME HISTORIES					EVD TYPE I (GUMBEL)			GENERALIZED EXTREME VALUE			
	Degree	Observed	Mean	Rms	Skewness	Est.Peak	Scale	Location	Est.Peak	Scale	Location	Shape
C42	67.5	-1.701	-0.906	0.188	-0.115	-1.725	0.109	1.300	-1.616	0.136	1.388	0.515
C43	67.5	-1.523	-0.722	0.204	-0.757	-1.616	0.109	1.191	-1.672	0.115	1.305	0.109
C44	315	-0.760	-0.087	0.219	-0.247	-0.796	0.081	0.481	-0.715	0.101	0.546	0.519
C45	225	-0.725	-0.471	0.054	-0.280	-0.722	0.036	0.581	-0.680	0.045	0.609	0.572
C46	135	-0.711	-0.419	0.062	-0.425	-0.718	0.045	0.543	-0.691	0.054	0.583	0.388
D04	67.5	-0.962	-0.377	0.087	-1.160	-1.022	0.093	0.660	-0.915	0.117	0.732	0.573
D05	67.5	-1.288	-0.617	0.282	0.619	-1.430	0.102	1.033	-1.491	0.109	1.141	0.101
D06	90	-1.814	-0.701	0.204	-0.705	-1.782	0.165	1.140	-1.627	0.200	1.276	0.484
D07	90	-1.453	-0.253	0.244	-0.532	-1.618	0.190	0.876	-1.484	0.235	1.041	0.432
D08	22.5	-2.030	-0.795	0.199	-0.422	-1.969	0.174	1.289	-1.787	0.215	1.429	0.522
D09	0	-1.251	-0.584	0.130	-0.574	-1.221	0.072	0.939	-1.146	0.089	0.997	0.522
D10	0	-1.589	-0.720	0.146	-0.783	-1.656	0.135	1.130	-1.499	0.172	1.234	0.583
D11	337.5	-1.674	-0.871	0.182	-0.432	-1.721	0.116	1.267	-1.521	0.147	1.343	0.788
D12	315	-3.034	-1.251	0.403	-0.952	-3.405	0.345	2.060	-3.274	0.422	2.376	0.350
D13	292.5	-2.735	-1.401	0.295	-0.589	-2.797	0.198	2.023	-2.642	0.246	2.192	0.452
D14	292.5	-1.799	-0.930	0.199	-0.384	-1.807	0.131	1.295	-1.672	0.165	1.401	0.531
D15	270	-1.080	-0.571	0.095	-0.513	-1.104	0.071	0.826	-1.022	0.090	0.881	0.572
D16	270	-1.009	-0.409	0.120	-1.143	-1.100	0.097	0.720	-1.036	0.121	0.805	0.424
D17	270	-1.140	-0.486	0.123	-0.804	-1.106	0.086	0.769	-0.993	0.107	0.834	0.613
D18	247.5	-1.134	-0.636	0.117	-0.621	-1.221	0.083	0.898	-1.218	0.097	0.978	0.254

**TOWER B-C THE EXTREME VALUE DISTRIBUTION FOR THE PEAK OF REGION PEAK SUCTION**

TAP	STATISTICAL OF TIME HISTORIES					EVD TYPE I (GUMBEL)			GENERALIZED EXTREME VALUE			
	Degree	Observed	Mean	Rms	Skewness	Est.Peak	Scale	Location	Est.Peak	Scale	Location	Shape
D19	247.5	-1.911	-0.882	0.223	-0.308	-1.881	0.152	1.288	-1.750	0.186	1.416	0.466
D20	225	-1.722	-0.885	0.210	-0.609	-1.924	0.144	1.361	-1.995	0.161	1.511	0.142
D21	202.5	-1.202	-0.349	0.167	-1.106	-1.216	0.106	0.804	-1.229	0.117	0.909	0.195
D22	202.5	-0.772	-0.467	0.059	-0.676	-0.788	0.043	0.620	-0.769	0.052	0.659	0.360
D23	337.5	-0.533	-0.373	0.034	-0.273	-0.549	0.024	0.454	-0.522	0.031	0.473	0.560
D25	337.5	-0.544	-0.390	0.034	-0.442	-0.558	0.024	0.463	-0.538	0.030	0.484	0.465
D26	337.5	-0.613	-0.449	0.043	-0.492	-0.651	0.030	0.536	-0.647	0.036	0.564	0.295
D27	225	-0.663	-0.453	0.053	0.138	-0.685	0.030	0.566	-0.652	0.038	0.590	0.550
D28	247.5	-0.573	-0.337	0.047	-0.304	-0.562	0.031	0.440	-0.513	0.039	0.461	0.710
D29	247.5	-0.612	-0.335	0.051	-0.210	-0.570	0.032	0.446	-0.514	0.039	0.467	0.778
D30	202.5	-1.005	-0.479	0.084	-0.963	-1.060	0.090	0.709	-0.929	0.115	0.773	0.686
D31	180	-1.004	-0.348	0.094	-1.537	-1.069	0.113	0.629	-1.036	0.133	0.734	0.308
D32	180	-1.396	-0.418	0.131	-1.469	-1.459	0.162	0.828	-1.218	0.209	0.942	0.708
D33	202.5	-1.463	-0.487	0.189	-0.677	-1.535	0.148	0.957	-1.332	0.187	1.066	0.645
D34	180	-1.481	-0.520	0.225	-0.441	-1.548	0.117	1.093	-1.369	0.149	1.174	0.718
D35	135	-1.331	-0.407	0.203	-0.273	-1.226	0.100	0.838	-1.120	0.121	0.917	0.520
D36	202.5	-1.205	-0.449	0.209	0.131	-1.189	0.083	0.866	-1.128	0.099	0.938	0.417
D37	135	-1.293	-0.300	0.177	-1.370	-1.478	0.172	0.808	-1.312	0.220	0.948	0.527
D38	67.5	-1.196	-0.493	0.147	-0.501	-1.173	0.086	0.836	-1.109	0.104	0.910	0.420
D39	67.5	-1.112	-0.579	0.105	-0.329	-1.097	0.067	0.836	-1.027	0.082	0.890	0.519

**TOWER B-C THE EXTREME VALUE DISTRIBUTION FOR THE PEAK OF REGION PEAK SUCTION**

TAP	STATISTICAL OF TIME HISTORIES					EVD TYPE I (GUMBEL)			GENERALIZED EXTREME VALUE			
	Degree	Observed	Mean	Rms	Skewness	Est.Peak	Scale	Location	Est.Peak	Scale	Location	Shape
D40	292.5	-1.222	-0.728	0.112	-0.444	-1.237	0.061	1.000	-1.214	0.072	1.056	0.330
D41	67.5	-1.550	-0.858	0.142	-0.444	-1.531	0.088	1.187	-1.423	0.110	1.255	0.591
D42	292.5	-1.345	-0.873	0.130	-0.282	-1.429	0.069	1.160	-1.377	0.087	1.219	0.458
D43	67.5	-1.118	-0.430	0.125	-0.884	-1.077	0.091	0.720	-1.001	0.111	0.798	0.451
D44	67.5	-1.002	-0.218	0.190	0.111	-1.151	0.072	0.872	-1.076	0.088	0.930	0.522
D45	67.5	-1.213	-0.438	0.081	-0.582	-0.936	0.052	0.731	-0.774	0.045	0.747	1.643
D46	180	-0.721	-0.406	0.067	-0.320	-0.722	0.043	0.553	-0.681	0.055	0.589	0.507
E01	292.5	-1.847	-0.827	0.147	-0.801	-1.810	0.162	1.179	-1.466	0.197	1.268	0.975
E02	67.5	-1.632	-0.681	0.235	-0.219	-1.696	0.118	1.234	-1.582	0.150	1.330	0.515
E03	67.5	-1.350	-0.690	0.184	-0.199	-1.436	0.084	1.110	-1.453	0.095	1.194	0.196
E04	67.5	-1.158	-0.544	0.227	0.254	-1.218	0.082	0.897	-1.196	0.097	0.975	0.305
E05	67.5	-1.485	-0.255	0.152	-0.769	-1.535	0.042	1.371	-1.525	0.051	1.410	0.309
E06	67.5	-1.348	-0.670	0.142	-0.460	-1.377	0.099	0.991	-1.264	0.126	1.068	0.574
E07	90	-1.060	-0.359	0.178	-0.134	-1.109	0.084	0.782	-1.051	0.102	0.855	0.415
E08	22.5	-2.775	-0.781	0.195	-1.733	-2.637	0.338	1.318	-2.064	0.424	1.541	0.772
E09	0	-1.145	-0.505	0.237	-0.051	-1.203	0.079	0.894	-1.209	0.091	0.972	0.226
E10	337.5	-1.369	-0.712	0.136	-0.524	-1.451	0.109	1.027	-1.338	0.137	1.114	0.534
E11	337.5	-1.641	-0.804	0.196	-0.725	-1.766	0.150	1.181	-1.771	0.167	1.328	0.213
E12	315	-2.848	-1.037	0.355	-1.075	-2.761	0.298	1.598	-2.424	0.364	1.834	0.544
E13	292.5	-2.708	-1.484	0.377	-0.463	-2.933	0.192	2.185	-2.835	0.235	2.357	0.382

**TOWER B-C THE EXTREME VALUE DISTRIBUTION FOR THE PEAK OF REGION PEAK SUCTION**

TAP	STATISTICAL OF TIME HISTORIES					EVD TYPE I (GUMBEL)			GENERALIZED EXTREME VALUE			
	Degree	Observed	Mean	Rms	Skewness	Est.Peak	Scale	Location	Est.Peak	Scale	Location	Shape
E14	292.5	-1.783	-1.092	0.184	-0.104	-1.850	0.111	1.418	-1.787	0.134	1.517	0.384
E15	270	-1.208	-0.584	0.143	-1.220	-1.362	0.116	0.911	-1.363	0.137	1.024	0.253
E16	270	-0.983	-0.468	0.119	-0.437	-1.047	0.078	0.741	-1.017	0.094	0.813	0.341
E17	270	-1.161	-0.603	0.127	-0.576	-1.202	0.073	0.919	-1.158	0.091	0.983	0.415
E18	247.5	-1.571	-0.763	0.172	-0.670	-1.620	0.127	1.125	-1.530	0.158	1.234	0.437
E19	247.5	-2.264	-1.045	0.364	-0.306	-2.402	0.187	1.672	-2.385	0.221	1.852	0.270
E20	225	-2.153	-1.020	0.316	-0.577	-2.382	0.181	1.676	-2.420	0.204	1.858	0.190
E21	202.5	-1.347	-0.397	0.181	-1.022	-1.327	0.128	0.828	-1.128	0.160	0.917	0.712
E22	202.5	-0.876	-0.409	0.102	-0.639	-0.908	0.064	0.656	-0.877	0.076	0.715	0.349
E23	180	-0.935	-0.452	0.089	-1.097	-0.940	0.071	0.662	-0.891	0.087	0.724	0.419
E24	135	-1.988	-0.413	0.273	-1.415	-2.164	0.249	1.192	-2.191	0.286	1.439	0.219
F01	90	-1.365	-0.748	0.126	-0.442	-1.418	0.092	1.058	-1.309	0.117	1.129	0.582
F02	67.5	-1.472	-0.746	0.196	-0.037	-1.563	0.097	1.184	-1.494	0.121	1.267	0.438
F03	67.5	-1.349	-0.690	0.184	-0.199	-1.436	0.084	1.110	-1.453	0.095	1.194	0.196
F04	67.5	-1.218	-0.591	0.147	-0.350	-1.277	0.083	0.952	-1.182	0.105	1.017	0.564
F05	67.5	-1.078	-0.676	0.110	0.292	-1.131	0.053	0.922	-1.118	0.063	0.973	0.302
F06	67.5	-1.373	-0.386	0.289	-0.288	-1.458	0.112	1.023	-1.472	0.126	1.134	0.203
F07	90.00	-1.110	-0.441	0.153	-0.367	-1.183	0.084	0.856	-1.145	0.102	0.932	0.362
F08	22.50	-1.614	-0.809	0.227	-0.031	-1.668	0.086	1.334	-1.575	0.109	1.401	0.555
F09	0	-1.258	-0.447	0.167	-1.020	-1.282	0.108	0.862	-1.164	0.135	0.947	0.550

**TOWER B-C THE EXTREME VALUE DISTRIBUTION FOR THE PEAK OF REGION PEAK SUCTION**

TAP	STATISTICAL OF TIME HISTORIES					EVD TYPE I (GUMBEL)			GENERALIZED EXTREME VALUE			
	Degree	Observed	Mean	Rms	Skewness	Est.Peak	Scale	Location	Est.Peak	Scale	Location	Shape
F10	337.5	-1.242	-0.705	0.139	-0.265	-1.338	0.091	0.982	-1.291	0.112	1.064	0.380
F11	337.5	-1.537	-0.756	0.203	-0.686	-1.644	0.123	1.162	-1.632	0.142	1.281	0.258
F12	315	-2.575	-0.957	0.351	-1.168	-2.889	0.342	1.556	-2.545	0.439	1.831	0.539
F13	292.5	-3.004	-1.352	0.349	-0.739	-2.684	0.084	2.357	-2.694	0.099	2.440	0.230
F14	292.5	-1.665	-1.099	0.166	-0.203	-1.787	0.091	1.432	-1.817	0.102	1.525	0.172
F15	270	-1.340	-0.642	0.178	-0.934	-1.503	0.124	1.018	-1.422	0.158	1.126	0.436
F16	270	-1.206	-0.528	0.138	-0.239	-1.116	0.083	0.793	-1.000	0.100	0.854	0.628
F17	270	-1.363	-0.648	0.146	-0.681	-1.370	0.098	0.988	-1.242	0.121	1.062	0.610
F18	247.5	-1.557	-0.760	0.196	-0.401	-1.602	0.107	1.183	-1.543	0.129	1.279	0.377
F19	247.5	-2.318	-0.939	0.380	-0.771	-2.538	0.228	1.646	-2.482	0.268	1.862	0.297
F20	225	-2.305	-1.092	0.293	-0.521	-2.529	0.211	1.706	-2.538	0.247	1.913	0.240
F21	202.5	-1.305	-0.489	0.157	-1.074	-1.422	0.150	0.835	-1.385	0.182	0.977	0.317
F22	202.5	-0.916	-0.507	0.074	-0.807	-0.906	0.061	0.667	-0.813	0.077	0.710	0.708
F23	180	-1.044	-0.371	0.160	-0.528	-1.130	0.101	0.735	-1.081	0.122	0.827	0.365
F24	135	-1.786	-0.483	0.191	-0.888	-1.658	0.171	0.991	-1.404	0.215	1.112	0.684
G01	135	-1.198	-0.556	0.156	-0.845	-1.284	0.087	0.947	-1.228	0.108	1.022	0.424
G02	67.5	-1.338	-0.607	0.137	-0.220	-1.248	0.091	0.893	-1.128	0.113	0.961	0.617
G03	67.5	-1.339	-0.467	0.206	-0.261	-1.290	0.100	0.901	-1.177	0.120	0.980	0.534
G04	67.5	-1.082	-0.582	0.128	-0.060	-1.132	0.072	0.853	-1.074	0.092	0.913	0.483
G05	67.5	-0.992	-0.605	0.095	0.019	-1.032	0.061	0.794	-1.003	0.074	0.849	0.365

**TOWER B-C THE EXTREME VALUE DISTRIBUTION FOR THE PEAK OF REGION PEAK SUCTION**

TAP	STATISTICAL OF TIME HISTORIES					EVD TYPE I (GUMBEL)			GENERALIZED EXTREME VALUE			
	Degree	Observed	Mean	Rms	Skewness	Est.Peak	Scale	Location	Est.Peak	Scale	Location	Shape
G06	67.5	-1.092	-0.429	0.227	0.233	-1.185	0.072	0.903	-1.157	0.088	0.969	0.351
G07	45	-1.087	-0.313	0.091	-0.613	-0.937	0.098	0.555	-0.748	0.119	0.615	0.858
G08	22.5	-1.505	-0.751	0.219	-0.114	-1.580	0.091	1.224	-1.518	0.114	1.303	0.436
G09	0	-1.502	-0.466	0.253	-0.560	-1.611	0.155	1.006	-1.521	0.188	1.144	0.388
G10	0	-1.485	-0.722	0.140	-0.577	-1.521	0.123	1.040	-1.390	0.157	1.138	0.548
G11	337.5	-1.693	-0.863	0.246	-0.322	-1.886	0.157	1.272	-1.870	0.186	1.424	0.272
G12	315	-2.791	-1.192	0.429	-0.515	-2.942	0.266	1.905	-2.698	0.331	2.124	0.493
G13	292.5	-3.040	-1.471	0.353	-0.535	-3.017	0.239	2.085	-2.902	0.280	2.302	0.345
G14	292.5	-1.676	-1.113	0.169	-0.146	-1.776	0.092	1.416	-1.757	0.111	1.504	0.304
G15	270	-1.270	-0.632	0.171	-0.881	-1.408	0.108	0.987	-1.486	0.116	1.103	0.087
G16	270	-0.940	-0.510	0.111	-0.342	-1.014	0.070	0.742	-1.005	0.084	0.809	0.288
G17	270	-1.246	-0.637	0.137	-0.425	-1.244	0.079	0.935	-1.126	0.100	0.991	0.687
G18	247.5	-1.583	-0.734	0.145	-1.082	-1.623	0.154	1.023	-1.355	0.196	1.122	0.803
G19	247.5	-2.338	-1.285	0.246	-0.539	-2.368	0.166	1.721	-2.218	0.202	1.859	0.472
G20	225	-2.587	-1.183	0.403	-0.437	-2.820	0.232	1.914	-2.882	0.257	2.149	0.171
G21	202.5	-1.185	-0.566	0.157	-0.702	-1.292	0.099	0.907	-1.267	0.116	1.000	0.298
G22	202.5	-0.966	-0.412	0.069	-0.970	-0.886	0.080	0.575	-0.783	0.099	0.635	0.606
G23	180	-1.162	-0.407	0.139	-0.255	-1.101	0.095	0.729	-1.058	0.112	0.816	0.338
G24	157.5	-1.246	-0.470	0.141	-0.825	-1.353	0.134	0.832	-1.214	0.170	0.939	0.546
H01	67.5	-1.850	-0.940	0.168	-0.279	-1.760	0.101	1.368	-1.624	0.124	1.443	0.621

**TOWER B-C THE EXTREME VALUE DISTRIBUTION FOR THE PEAK OF REGION PEAK SUCTION**

TAP	STATISTICAL OF TIME HISTORIES					EVD TYPE I (GUMBEL)			GENERALIZED EXTREME VALUE			
	Degree	Observed	Mean	Rms	Skewness	Est.Peak	Scale	Location	Est.Peak	Scale	Location	Shape
H02	67.5	-1.140	-0.614	0.111	-0.224	-1.154	0.076	0.857	-1.062	0.094	0.916	0.579
H03	67.5	-1.258	-0.648	0.133	-0.158	-1.251	0.083	0.926	-1.167	0.104	0.993	0.521
H04	67.5	-1.056	-0.511	0.164	-0.416	-1.161	0.082	0.841	-1.170	0.094	0.923	0.219
H05	67.5	-1.159	-0.555	0.110	-0.864	-1.159	0.099	0.773	-1.025	0.123	0.846	0.627
H06	67.5	-1.074	-0.464	0.172	0.386	-1.124	0.082	0.806	-1.030	0.104	0.869	0.580
H07	67.5	-0.969	-0.472	0.074	-0.564	-0.947	0.079	0.637	-0.858	0.099	0.700	0.555
H08	22.5	-1.752	-0.773	0.225	-0.262	-1.818	0.138	1.282	-1.737	0.169	1.403	0.400
H09	0	-1.108	-0.340	0.186	-0.852	-1.231	0.119	0.765	-1.210	0.143	0.878	0.294
H10	0	-1.162	-0.707	0.117	-0.275	-1.252	0.063	1.008	-1.291	0.067	1.074	0.102
H11	337.5	-1.512	-0.791	0.148	-0.644	-1.524	0.110	1.093	-1.426	0.136	1.185	0.476
H12	315	-1.976	-1.237	0.244	-0.095	-2.128	0.102	1.731	-2.205	0.108	1.840	0.078
H13	292.5	-2.524	-1.464	0.255	-0.421	-2.705	0.177	2.013	-2.748	0.204	2.193	0.197
H14	292.5	-1.752	-1.064	0.193	-0.298	-1.840	0.108	1.421	-1.867	0.122	1.529	0.186
H15	270	-0.974	-0.510	0.084	-0.836	-0.986	0.079	0.678	-0.870	0.100	0.734	0.685
H16	157.5	-0.947	-0.521	0.107	-0.229	-0.963	0.052	0.762	-0.951	0.060	0.811	0.288
H17	270	-1.173	-0.649	0.120	-0.443	-1.247	0.087	0.908	-1.157	0.110	0.977	0.537
H18	247.5	-1.576	-0.820	0.146	-0.679	-1.611	0.123	1.133	-1.398	0.155	1.212	0.798
H19	247.5	-1.944	-1.203	0.197	-0.391	-2.005	0.111	1.572	-1.944	0.132	1.672	0.369
H20	225	-1.737	-0.998	0.213	-0.500	-1.873	0.111	1.441	-1.826	0.139	1.541	0.374
H21	202.5	-1.236	-0.660	0.157	-0.633	-1.356	0.091	1.001	-1.403	0.100	1.096	0.131

**TOWER B-C THE EXTREME VALUE DISTRIBUTION FOR THE PEAK OF REGION PEAK SUCTION**

TAP	STATISTICAL OF TIME HISTORIES					EVD TYPE I (GUMBEL)			GENERALIZED EXTREME VALUE			
	Degree	Observed	Mean	Rms	Skewness	Est.Peak	Scale	Location	Est.Peak	Scale	Location	Shape
H22	90	-0.839	-0.341	0.083	-0.323	-0.800	0.071	0.521	-0.663	0.088	0.564	0.869
H23	180	-0.934	-0.402	0.105	-0.239	-0.919	0.065	0.666	-0.821	0.081	0.712	0.686
H24	90	-0.906	-0.425	0.098	-0.692	-0.988	0.078	0.683	-0.961	0.096	0.755	0.349
I01	67.5	-1.690	-0.906	0.168	-0.318	-1.740	0.099	1.354	-1.738	0.114	1.451	0.242
I02	67.5	-1.144	-0.683	0.123	-0.008	-1.191	0.065	0.937	-1.173	0.077	0.998	0.309
I03	67.5	-1.160	-0.658	0.119	-0.111	-1.217	0.076	0.921	-1.105	0.098	0.974	0.704
I04	67.5	-1.224	-0.678	0.174	-0.037	-1.330	0.079	1.021	-1.360	0.090	1.103	0.166
I05	67.5	-1.351	-0.631	0.139	-0.592	-1.324	0.098	0.941	-1.228	0.119	1.021	0.492
I06	67.5	-1.101	-0.566	0.106	-0.505	-1.045	0.071	0.769	-1.008	0.082	0.833	0.345
I07	67.5	-1.004	-0.440	0.117	-0.714	-1.065	0.077	0.764	-1.082	0.085	0.842	0.177
I08	22.5	-2.054	-0.802	0.260	-0.671	-2.120	0.187	1.391	-1.866	0.239	1.528	0.651
I09	0	-0.899	-0.386	0.074	-0.564	-0.837	0.067	0.575	-0.681	0.079	0.609	1.078
I10	0	-0.792	-0.456	0.073	-0.417	-0.830	0.048	0.643	-0.780	0.061	0.681	0.543
I11	337.5	-1.222	-0.780	0.106	-0.318	-1.252	0.059	1.023	-1.188	0.073	1.070	0.546
I12	315	-2.119	-1.246	0.272	-0.110	-2.355	0.162	1.723	-2.396	0.187	1.887	0.195
I13	292.5	-2.033	-1.285	0.203	-0.357	-2.135	0.123	1.655	-2.193	0.133	1.783	0.125
I14	270	-1.374	-0.768	0.139	-0.676	-1.400	0.076	1.102	-1.319	0.097	1.163	0.547
I15	270	-0.970	-0.445	0.105	-0.700	-1.029	0.082	0.709	-0.958	0.100	0.778	0.463
I16	270	-1.043	-0.509	0.083	-0.633	-1.012	0.075	0.718	-0.885	0.095	0.768	0.768
I17	270	-1.120	-0.605	0.112	-0.448	-1.164	0.072	0.883	-1.116	0.089	0.946	0.418

**TOWER B-C THE EXTREME VALUE DISTRIBUTION FOR THE PEAK OF REGION PEAK SUCTION**

TAP	STATISTICAL OF TIME HISTORIES					EVD TYPE I (GUMBEL)			GENERALIZED EXTREME VALUE			
	Degree	Observed	Mean	Rms	Skewness	Est.Peak	Scale	Location	Est.Peak	Scale	Location	Shape
I18	270	-1.256	-0.749	0.152	0.119	-1.303	0.076	1.006	-1.234	0.095	1.069	0.493
I19	247.5	-1.976	-1.210	0.203	-0.341	-2.068	0.115	1.620	-2.091	0.126	1.736	0.176
I20	225	-2.096	-1.102	0.219	-0.506	-2.079	0.141	1.530	-2.022	0.161	1.660	0.314
I21	202.5	-1.007	-0.528	0.109	-0.830	-1.078	0.076	0.780	-1.052	0.092	0.851	0.329
I22	292.5	-0.719	-0.344	0.053	-0.923	-0.703	0.060	0.469	-0.616	0.074	0.512	0.663
I23	202.5	-0.987	-0.402	0.099	-0.430	-0.990	0.086	0.656	-0.857	0.107	0.716	0.711
I24	135	-0.940	-0.387	0.081	-0.914	-0.973	0.095	0.601	-0.786	0.120	0.657	0.907

**TOWER B-C THE PROBABILITY DISTRIBUTION FOR THE PEAK OF REGION PEAK SUCTION**

TAP	STATISTICAL OF TIME HISTORIES				GAUSSIAN PROBABILITY DISTRIBUTION				GAMMA PROBABILITY DISTRIBUTION				
	Observed	Mean	Rms	Skewness	Est.Peak	Peak factor	$N = \nu T$	PPCC	Est.Peak	Shape	Scale	Location	PPCC
A25	-0.473	-0.301	0.034	-0.093	-0.427	3.713	545	0.9994	-0.432	632.930	0.001	-0.552	0.9997
A26	-0.551	-0.410	0.042	0.001	-0.563	3.657	444	0.9994	-0.567	925	0.001	-1.688	0.9995
A27	-0.534	-0.390	0.046	0.617	-0.560	3.716	552	0.9881	-0.549	44.448	0.007	-0.693	0.9919
A28	-0.818	-0.013	0.108	-0.442	-0.399	3.592	350	0.9939	-0.861	42.749	0.016	-0.689	0.9975
A29	-0.732	-0.264	0.056	-2.002	-0.473	3.738	599	0.9385	-0.639	2.136	0.038	0.183	0.9803
A30	-1.045	-0.481	0.098	-0.597	-0.842	3.685	492	0.9905	-0.952	14.240	0.026	0.111	0.9997
A31	-0.638	-0.305	0.070	-0.820	-0.582	3.991	1598	0.9995	-0.721	6.667	0.027	0.125	0.9818
A32	-0.590	-0.355	0.050	-0.282	-0.544	3.750	627	0.9975	-0.570	64.959	0.006	-0.052	0.9995
A33	-0.783	-0.420	0.075	-0.470	-0.712	3.910	1159	0.9937	-0.791	20.811	0.016	0.078	0.9999
A35	-1.042	-0.540	0.148	0.247	-1.119	3.923	1220	0.9951	-1.125	125	0.013	-2.182	0.9942
A36	-1.193	-0.572	0.146	-0.138	-1.103	3.639	415	0.9923	-1.157	94.935	0.015	-0.842	0.9932
A37	-0.751	-0.120	0.160	-0.278	-0.695	3.592	350	0.9972	-0.788	44.448	0.024	-0.947	0.9996
A38	-0.615	-0.353	0.062	-0.436	-0.578	3.603	365	0.9940	-0.632	20.811	0.014	0.069	0.9997
A39	-0.773	-0.471	0.078	-0.697	-0.748	3.573	327	0.9982	-0.868	6.667	0.030	0.270	0.9846
A40	-1.005	-0.503	0.085	-1.100	-0.804	3.551	303	0.9711	-0.995	3.122	0.048	0.353	0.9983
A41	-1.031	-0.539	0.104	-0.515	-0.907	3.542	293	0.9911	-1.013	14.240	0.028	0.147	0.9994
A42	-1.247	-0.496	0.121	-0.263	-0.928	3.582	338	0.9917	-0.965	125	0.011	-0.843	0.9927
A43	-1.344	-0.460	0.213	-0.843	-1.209	3.522	273	0.9974	-1.524	6.667	0.082	-0.089	0.9803
A44	-0.626	-0.159	0.074	-0.626	-0.424	3.586	343	0.9900	-0.501	14.240	0.020	-0.120	0.9988
A45	-0.809	-0.394	0.071	-0.569	-0.654	3.648	429	0.9911	-0.731	14.240	0.019	0.126	0.9996
A46	-0.582	-0.368	0.058	-0.131	-0.579	3.643	422	0.9998	-0.593	202.770	0.004	-0.456	0.9992

**TOWER B-C THE PROBABILITY DISTRIBUTION FOR THE PEAK OF REGION PEAK SUCTION**

TAP	STATISTICAL OF TIME HISTORIES				GAUSSIAN PROBABILITY DISTRIBUTION				GAMMA PROBABILITY DISTRIBUTION				
	Observed	Mean	Rms	Skewness	Est.Peak	Peak factor	$N = \nu T$	PPCC	Est.Peak	Shape	Scale	Location	PPCC
B04	-0.696	-0.437	0.059	-0.285	-0.652	3.652	436	0.9977	-0.687	44.448	0.009	0.043	0.9999
B05	-0.969	-0.233	0.314	0.082	-1.257	3.265	114	0.9762	-0.951	125	0.027	-3.656	0.9759
B06	-1.528	-0.549	0.247	-0.383	-1.415	3.499	252	0.9930	-1.576	30.414	0.045	-0.811	0.9965
B07	-0.960	-0.157	0.157	-1.061	-0.715	3.557	309	0.9655	-1.067	3.122	0.089	-0.119	0.9970
B08	-1.440	-0.594	0.115	-0.691	-1.012	3.637	412	0.9877	-1.152	11.180	0.034	0.211	0.9981
B09	-1.328	-0.660	0.170	0.014	-1.277	3.635	409	0.9993	-1.279	125	0.015	-2.558	0.9985
B10	-1.065	-1.857	0.298	-0.128	-0.970	4.344	6958	0.9999	-1.032	125	0.011	-0.888	0.9991
B11	-1.235	-0.758	0.123	-0.310	-1.201	3.594	353	0.9997	-1.272	44.448	0.018	-0.064	0.9970
B12	-1.741	-1.003	0.201	-0.364	-1.686	3.399	178	0.9989	-1.809	30.414	0.036	-0.104	0.9947
B13	-1.967	-1.030	0.220	-0.440	-1.812	3.548	300	0.9945	-1.997	20.811	0.048	0.025	0.9993
B14	-1.278	-0.637	0.125	-0.546	-1.095	3.655	440	0.9922	-1.231	14.240	0.033	0.164	0.9991
B15	-0.807	-0.391	0.077	-0.775	-0.677	3.704	529	0.9846	-0.807	6.667	0.030	0.192	0.9996
B16	-0.728	-0.380	0.066	-0.722	-0.621	3.660	449	0.9864	-0.708	9.744	0.021	0.175	0.9996
B17	-0.636	-0.343	0.073	-0.531	-0.611	3.670	465	0.9990	-0.692	14.240	0.019	0.067	0.9906
B18	-0.665	-0.302	0.087	-0.211	-0.634	3.795	742	0.9973	-0.680	64.959	0.011	-0.401	0.9988
B19	-1.076	-0.600	0.111	-0.505	-0.994	3.557	309	0.9925	-1.108	14.240	0.029	0.182	0.9998
B20	-1.316	-0.574	0.184	-0.411	-1.210	3.460	220	0.9947	-1.355	20.811	0.040	-0.264	0.9996
B21	-1.126	-0.498	0.121	-0.762	-0.964	3.841	885	0.9841	-1.186	6.667	0.047	0.184	0.9998
B22	-0.836	-0.499	0.094	0.296	-0.839	3.604	366	0.9991	-0.816	42.749	0.014	-1.116	0.9969
B23	-0.470	-0.324	0.040	0.142	-0.470	3.677	478	0.9997	-0.463	202.770	0.003	-0.889	0.9992
B25	-0.488	-0.337	0.036	-0.223	-0.471	3.760	650	0.9984	-0.490	64.959	0.004	0.049	0.9998

**TOWER B-C THE PROBABILITY DISTRIBUTION FOR THE PEAK OF REGION PEAK SUCTION**

TAP	STATISTICAL OF TIME HISTORIES				GAUSSIAN PROBABILITY DISTRIBUTION				GAMMA PROBABILITY DISTRIBUTION				
	Observed	Mean	Rms	Skewness	Est.Peak	Peak factor	$N = \nu T$	PPCC	Est.Peak	Shape	Scale	Location	PPCC
B26	-0.604	-0.437	0.047	-0.056	-0.606	3.592	351	0.9998	-0.611	925	0.002	-0.994	0.9997
B27	-0.760	-0.432	0.070	0.090	-0.721	4.158	3159	0.9989	-0.721	125	0.006	-1.209	0.9989
B28	-0.589	-0.310	0.088	0.488	-0.626	3.584	341	0.9929	-0.581	14.620	0.023	-0.647	0.9990
B29	-0.550	-0.318	0.056	-0.064	-0.542	3.991	1596	0.9997	-0.550	925	0.002	-1.394	0.9998
B30	-0.759	-0.445	0.073	-0.380	-0.717	3.717	555	0.9957	-0.773	30.414	0.013	0.041	0.9998
B31	-0.656	-0.337	0.071	-1.012	-0.599	3.685	492	0.9989	-0.743	4.562	0.033	0.185	0.9740
B32	-0.580	-0.338	0.056	-0.108	-0.567	4.097	2450	0.9990	-0.583	296	0.003	-0.622	0.9993
B33	-0.666	-0.357	0.057	-0.765	-0.566	3.708	535	0.9842	-0.661	6.667	0.022	0.211	0.9997
B34	-1.409	-0.791	0.130	-0.479	-1.261	3.614	380	0.9937	-1.374	20.811	0.029	0.198	0.9996
B35	-1.289	-0.194	0.259	-1.080	-1.068	3.371	162	0.9945	-1.666	2.236	0.173	-0.191	0.9529
B36	-1.449	-0.586	0.161	-0.339	-1.172	3.646	427	0.9940	-1.267	44.448	0.024	-0.484	0.9967
B37	-0.775	-0.256	0.159	-0.074	-0.863	3.822	824	0.9966	-0.893	433.080	0.008	-3.040	0.9963
B38	-0.712	-0.263	0.102	-0.577	-0.635	3.641	418	0.9893	-0.770	9.744	0.033	-0.055	0.9994
B39	-1.005	-0.334	0.096	0.118	-0.688	3.689	499	0.9928	-0.716	125.000	0.009	-1.401	0.9933
B40	-1.019	-0.032	0.012	-2.313	-0.802	4.345	7002	0.9997	-0.833	125	0.005	-0.133	0.9989
B41	-1.113	-0.525	0.092	-0.707	-0.857	3.626	396	0.9796	-0.972	9.744	0.029	0.241	0.9895
B42	-1.018	-0.530	0.081	-0.105	-0.822	3.624	393	0.9890	-0.827	925	0.003	-1.896	0.9892
B43	-1.553	-0.656	0.232	-0.527	-1.459	3.460	220	0.9954	-1.727	9.744	0.074	-0.066	0.9854
B44	-0.654	-0.354	0.060	0.011	-0.595	4.013	1740	0.9992	-0.604	925	0.002	-2.180	0.9992
B45	-0.684	-0.395	0.063	-0.430	-0.622	3.613	378	0.9949	-0.677	20.811	0.014	0.107	0.9997
B46	-0.598	-0.385	0.039	-0.298	-0.530	3.717	555	0.9953	-0.550	64.959	0.005	0.072	0.9971

**TOWER B-C THE PROBABILITY DISTRIBUTION FOR THE PEAK OF REGION PEAK SUCTION**

TAP	STATISTICAL OF TIME HISTORIES				GAUSSIAN PROBABILITY DISTRIBUTION				GAMMA PROBABILITY DISTRIBUTION				
	Observed	Mean	Rms	Skewness	Est.Peak	Peak factor	$N = \nu T$	PPCC	Est.Peak	Shape	Scale	Location	PPCC
C25	-0.487	-0.345	0.031	-0.307	-0.462	3.732	587	0.9972	-0.482	44.448	0.005	0.136	0.9998
C26	-0.815	-0.361	0.110	0.233	-0.798	3.958	1400	0.9992	-0.774	73.100	0.013	-1.305	0.9977
C27	-0.718	-0.413	0.093	0.036	-0.742	3.540	291	0.9979	-0.710	125	0.008	-1.449	0.9973
C28	-0.555	-0.303	0.070	-0.043	-0.560	3.652	436	0.9995	-0.567	925	0.002	-1.835	0.9994
C29	-0.608	-0.260	0.063	-0.237	-0.516	4.097	2450	0.9968	-0.548	94.935	0.006	-0.349	0.9978
C30	-0.803	-0.416	0.066	-0.773	-0.663	3.718	557	0.9848	-0.776	6.667	0.026	0.245	0.9996
C31	-0.806	-0.420	0.070	-0.470	-0.703	4.025	1832	0.9940	-0.782	20.811	0.015	0.099	0.9992
C32	-0.735	-0.400	0.070	-0.435	-0.677	3.951	1364	0.9948	-0.752	20.811	0.015	0.081	0.9998
C33	-0.643	-0.349	0.060	-0.587	-0.573	3.712	544	0.9908	-0.642	14.240	0.016	0.121	0.9997
C34	-1.343	-0.774	0.116	-0.508	-1.195	3.626	396	0.9925	-1.320	14.240	0.031	0.335	0.9998
C35	-1.013	-0.486	0.160	0.134	-1.094	3.801	760	0.9990	-1.088	125	0.014	-2.273	0.9994
C36	-1.155	-0.519	0.152	-0.251	-1.078	3.677	478	0.9974	-1.155	65	0.019	-0.708	0.9990
C37	-1.119	-0.178	0.114	-1.102	-0.612	3.822	823	0.9728	-0.862	4.562	0.053	-0.065	0.9982
C38	-0.766	-0.363	0.086	-0.243	-0.680	3.699	519	0.9974	-0.722	64.959	0.011	-0.326	0.9989
C39	-1.071	-0.459	0.188	0.024	-1.133	3.586	343	0.9981	-1.116	125	0.017	-2.555	0.9972
C40	-1.522	-0.719	0.169	-0.061	-1.358	3.774	686	0.9996	-1.379	925	0.006	-4.428	0.9997
C41	-1.344	-0.682	0.192	0.110	-1.414	3.811	789	0.9992	-1.364	125	0.017	-2.828	0.9993
C42	-1.701	-0.906	0.188	-0.115	-1.581	3.584	341	0.9995	-1.619	296.340	0.011	-2.336	0.9999
C43	-1.523	-0.722	0.204	-0.757	-1.447	3.559	312	0.9958	-1.821	4.562	0.095	0.289	0.9767
C44	-0.760	-0.087	0.219	-0.247	-0.844	3.452	214	0.9915	-0.953	44.448	0.033	-1.361	0.9889
C45	-0.725	-0.471	0.054	-0.280	-0.668	3.629	401	0.9967	-0.700	44.448	0.008	0.109	0.9987

**TOWER B-C THE PROBABILITY DISTRIBUTION FOR THE PEAK OF REGION PEAK SUCTION**

TAP	STATISTICAL OF TIME HISTORIES				GAUSSIAN PROBABILITY DISTRIBUTION				GAMMA PROBABILITY DISTRIBUTION				
	Observed	Mean	Rms	Skewness	Est.Peak	Peak factor	$N = \nu T$	PPCC	Est.Peak	Shape	Scale	Location	PPCC
C46	-0.711	-0.419	0.062	-0.425	-0.644	3.629	401	0.9947	-0.697	20.811	0.014	0.135	0.9997
D04	-0.962	-0.377	0.087	-1.160	-0.697	3.664	456	0.9707	-0.870	4.562	0.041	0.191	0.9969
D05	-1.288	-0.617	0.282	0.619	-1.596	3.475	232	0.9758	-1.298	8.550	0.095	-1.431	0.9875
D06	-1.814	-0.701	0.204	-0.705	-1.421	3.529	280	0.9857	-1.671	9.744	0.065	0.066	0.9981
D07	-1.453	-0.253	0.244	-0.532	-1.125	3.574	329	0.9915	-1.332	20.811	0.053	-0.859	0.9977
D08	-2.030	-0.795	0.199	-0.422	-1.517	3.623	392	0.9938	-1.658	30.414	0.036	-0.302	0.9973
D09	-1.251	-0.584	0.130	-0.574	-1.057	3.637	412	0.9885	-1.228	9.744	0.042	0.178	0.9992
D10	-1.589	-0.720	0.146	-0.783	-1.270	3.754	636	0.9848	-1.522	6.667	0.057	0.342	0.9991
D11	-1.674	-0.871	0.182	-0.432	-1.521	3.568	322	0.9936	-1.675	20.811	0.040	0.041	0.9993
D12	-3.034	-1.251	0.403	-0.952	-2.638	3.440	205	0.9724	-3.329	4.562	0.189	0.390	0.9990
D13	-2.735	-1.401	0.295	-0.589	-2.422	3.456	217	0.9898	-2.763	9.744	0.095	0.479	0.9995
D14	-1.799	-0.930	0.199	-0.384	-1.627	3.501	254	0.9956	-1.760	30.414	0.036	-0.167	0.9998
D15	-1.080	-0.571	0.095	-0.513	-0.929	3.760	652	0.9931	-1.041	14.240	0.025	0.212	0.9994
D16	-1.009	-0.409	0.120	-1.143	-0.836	3.542	293	0.9537	-1.157	2.136	0.082	0.234	0.9965
D17	-1.140	-0.486	0.123	-0.804	-0.911	3.461	221	0.9721	-1.119	4.562	0.057	0.225	0.9954
D18	-1.134	-0.636	0.117	-0.621	-1.054	3.585	342	0.9886	-1.202	9.744	0.037	0.272	0.9994
D19	-1.911	-0.882	0.223	-0.308	-1.646	3.421	192	0.9955	-1.758	44.448	0.033	-0.605	0.9985
D20	-1.722	-0.885	0.210	-0.609	-1.615	3.475	232	0.9994	-1.864	9.744	0.067	0.230	0.9884
D21	-1.202	-0.349	0.167	-1.106	-0.939	3.532	283	0.9616	-1.307	3.122	0.094	0.055	0.9968
D22	-0.772	-0.467	0.059	-0.676	-0.681	3.653	437	0.9878	-0.759	9.744	0.019	0.283	0.9996
D23	-0.533	-0.373	0.034	-0.273	-0.503	3.758	646	0.9977	-0.521	64.959	0.004	0.095	0.9995

**TOWER B-C THE PROBABILITY DISTRIBUTION FOR THE PEAK OF REGION PEAK SUCTION**

TAP	STATISTICAL OF TIME HISTORIES				GAUSSIAN PROBABILITY DISTRIBUTION				GAMMA PROBABILITY DISTRIBUTION				
	Observed	Mean	Rms	Skewness	Est.Peak	Peak factor	$N = \nu T$	PPCC	Est.Peak	Shape	Scale	Location	PPCC
D25	-0.544	-0.390	0.034	-0.442	-0.517	3.678	479	0.9943	-0.548	20.811	0.008	0.233	0.9998
D26	-0.613	-0.449	0.043	-0.492	-0.605	3.655	440	0.9996	-0.651	14.240	0.011	0.288	0.9928
D27	-0.663	-0.453	0.053	0.138	-0.665	3.981	1535	0.9995	-0.661	125	0.005	-1.049	0.9990
D28	-0.573	-0.337	0.047	-0.304	-0.509	3.695	511	0.9969	-0.538	44.448	0.007	0.025	0.9996
D29	-0.612	-0.335	0.051	-0.210	-0.525	3.737	597	0.9973	-0.538	44.448	0.007	0.025	0.9996
D30	-1.005	-0.479	0.084	-0.963	-0.788	3.688	497	0.9786	-0.956	4.562	0.039	0.301	0.9982
D31	-1.004	-0.348	0.094	-1.537	-0.694	3.680	483	0.9438	-0.971	2.136	0.064	0.211	0.9979
D32	-1.396	-0.418	0.131	-1.469	-0.896	3.643	422	0.9526	-1.275	2.136	0.090	0.227	0.9981
D33	-1.463	-0.487	0.189	-0.677	-1.165	3.588	346	0.9846	-1.459	6.667	0.073	0.000	0.9990
D34	-1.481	-0.520	0.225	-0.441	-1.351	3.694	509	0.9895	-1.602	14.240	0.059	-0.327	0.9968
D35	-1.331	-0.407	0.203	-0.273	-1.135	3.592	350	0.9946	-1.251	44.448	0.030	-0.942	0.9973
D36	-1.205	-0.449	0.209	0.131	-1.191	3.553	305	0.9959	-1.106	125	0.019	-2.775	0.9956
D37	-1.293	-0.300	0.177	-1.370	-0.943	3.631	404	0.9532	-1.454	2.136	0.121	0.041	0.9984
D38	-1.196	-0.493	0.147	-0.501	-1.025	3.621	389	0.9930	-1.183	14.240	0.039	-0.060	0.9997
D39	-1.112	-0.579	0.105	-0.329	-0.984	3.855	936	0.9968	-1.056	44.448	0.016	-0.120	0.9995
D40	-1.222	-0.728	0.112	-0.444	-1.149	3.738	600	0.9945	-1.255	20.811	0.025	0.215	0.9998
D41	-1.550	-0.858	0.142	-0.444	-1.362	3.558	310	0.9937	-1.482	20.811	0.031	0.211	0.9996
D42	-1.345	-0.873	0.130	-0.282	-1.337	3.570	324	0.9996	-1.409	44.448	0.019	0.007	0.9971
D43	-1.118	-0.430	0.125	-0.884	-0.871	3.548	299	0.9778	-1.101	4.562	0.058	0.164	0.9989
D44	-1.002	-0.218	0.190	0.111	-1.136	4.345	7008	0.9999	-0.632	925	0.007	-6.332	1.0000
D45	-1.213	-0.438	0.081	-0.582	-0.823	4.344	6948	0.9993	-0.835	925	0.002	-1.600	0.9992

**TOWER B-C THE PROBABILITY DISTRIBUTION FOR THE PEAK OF REGION PEAK SUCTION**

TAP	STATISTICAL OF TIME HISTORIES				GAUSSIAN PROBABILITY DISTRIBUTION				GAMMA PROBABILITY DISTRIBUTION				
	Observed	Mean	Rms	Skewness	Est.Peak	Peak factor	$N = \nu T$	PPCC	Est.Peak	Shape	Scale	Location	PPCC
D46	-0.721	-0.406	0.067	-0.320	-0.652	3.657	444	0.9970	-0.693	44.448	0.010	-0.043	0.9999
E01	-1.847	-0.827	0.147	-0.801	-1.356	3.604	366	0.9849	-1.543	9.744	0.047	0.371	0.9959
E02	-1.632	-0.681	0.235	-0.219	-1.527	3.592	350	0.9961	-1.635	64.959	0.029	-1.212	0.9980
E03	-1.350	-0.690	0.184	-0.199	-1.337	3.508	260	0.9982	-1.418	64.959	0.023	-0.794	0.9967
E04	-1.158	-0.544	0.227	0.254	-1.316	3.405	182	0.9869	-1.122	55.902	0.030	-2.220	0.9888
E05	-1.485	-0.255	0.152	-0.769	-1.633	4.344	6956	0.9999	-1.616	925	0.006	-6.631	0.9999
E06	-1.348	-0.670	0.142	-0.460	-1.179	3.586	343	0.9940	-1.301	20.811	0.031	0.022	0.9993
E07	-1.060	-0.359	0.178	-0.134	-1.028	3.753	635	0.9991	-1.079	202.770	0.013	-2.182	0.9997
E08	-2.775	-0.781	0.195	-1.733	-1.485	3.607	370	0.9462	-1.929	2.924	0.112	0.455	0.9768
E09	-1.145	-0.505	0.237	-0.051	-1.315	3.425	195	0.9852	-1.337	433.080	0.011	-4.350	0.9849
E10	-1.369	-0.712	0.136	-0.524	-1.208	3.638	414	0.9927	-1.355	14.240	0.036	0.198	0.9998
E11	-1.641	-0.804	0.196	-0.725	-1.499	3.547	298	0.9992	-1.796	6.667	0.076	0.298	0.9833
E12	-2.848	-1.037	0.355	-1.075	-2.239	3.382	168	0.9647	-2.945	3.122	0.201	0.409	0.9993
E13	-2.708	-1.484	0.377	-0.463	-2.749	3.356	154	0.9968	-3.078	14.240	0.100	0.067	0.9892
E14	-1.783	-1.092	0.184	-0.104	-1.737	3.498	251	0.9994	-1.765	433.080	0.009	-2.744	0.9997
E15	-1.208	-0.584	0.143	-1.220	-1.086	3.506	258	0.9955	-1.462	2.136	0.098	0.375	0.9506
E16	-0.983	-0.468	0.119	-0.437	-0.885	3.509	261	0.9892	-1.003	14.240	0.031	0.021	0.9966
E17	-1.161	-0.603	0.127	-0.576	-1.058	3.588	345	0.9889	-1.220	9.744	0.041	0.208	0.9994
E18	-1.571	-0.763	0.172	-0.670	-1.361	3.486	241	0.9876	-1.567	9.744	0.055	0.227	0.9998
E19	-2.264	-1.045	0.364	-0.306	-2.236	3.271	116	0.9914	-2.472	20.811	0.079	-0.601	0.9865
E20	-2.153	-1.020	0.316	-0.577	-2.077	3.348	150	0.9966	-2.417	9.744	0.101	0.037	0.9842

**TOWER B-C THE PROBABILITY DISTRIBUTION FOR THE PEAK OF REGION PEAK SUCTION**

TAP	STATISTICAL OF TIME HISTORIES				GAUSSIAN PROBABILITY DISTRIBUTION				GAMMA PROBABILITY DISTRIBUTION				
	Observed	Mean	Rms	Skewness	Est.Peak	Peak factor	$N = \nu T$	PPCC	Est.Peak	Shape	Scale	Location	PPCC
E21	-1.347	-0.397	0.181	-1.022	-1.030	3.496	249	0.9625	-1.415	3.122	0.102	0.078	0.9959
E22	-0.876	-0.409	0.102	-0.639	-0.772	3.547	298	0.9864	-0.901	9.744	0.033	0.090	0.9988
E23	-0.935	-0.452	0.089	-1.097	-0.772	3.610	374	0.9623	-0.978	3.122	0.050	0.295	0.9976
E24	-1.988	-0.413	0.273	-1.415	-1.379	3.533	284	0.9509	-2.107	2.136	0.187	0.014	0.9965
F01	-1.365	-0.748	0.126	-0.442	-1.200	3.589	347	0.9944	-1.308	20.811	0.028	0.174	0.9991
F02	-1.472	-0.746	0.196	-0.037	-1.460	3.647	428	0.9993	-1.481	925	0.006	-5.212	0.9993
F03	-1.349	-0.690	0.184	-0.199	-1.337	3.508	260	0.9982	-1.418	64.959	0.023	-0.794	0.9967
F04	-1.218	-0.591	0.147	-0.350	-1.118	3.590	348	0.9958	-1.221	30.414	0.027	-0.218	0.9995
F05	-1.078	-0.676	0.110	0.292	-1.079	3.654	439	0.9941	-1.085	125	0.010	-1.903	0.9931
F06	-1.373	-0.386	0.289	-0.288	-1.414	3.549	301	0.9958	-1.606	30.414	0.052	-1.204	0.9923
F07	-1.110	-0.441	0.153	-0.367	-0.996	3.637	413	0.9962	-1.107	30.414	0.028	-0.400	0.9997
F08	-1.614	-0.809	0.227	-0.031	-1.635	3.644	423	0.9987	-1.659	925.000	0.007	-6.075	0.9986
F09	-1.258	-0.447	0.167	-1.020	-1.050	3.599	359	0.9610	-1.434	3.122	0.094	0.153	0.9957
F10	-1.242	-0.705	0.139	-0.265	-1.209	3.641	418	0.9997	-1.292	44.448	0.021	-0.219	0.9976
F11	-1.537	-0.756	0.203	-0.686	-1.517	3.753	633	0.9945	-1.863	6.667	0.078	0.235	0.9770
F12	-2.575	-0.957	0.351	-1.168	-2.201	3.547	298	0.9979	-3.152	2.136	0.240	0.445	0.9554
F13	-3.004	-1.352	0.349	-0.739	-2.776	4.345	6998	1.0000	-2.869	202.770	0.022	-3.171	0.9993
F14	-1.665	-1.099	0.166	-0.203	-1.687	3.539	290	0.9996	-1.748	94.935	0.017	-0.520	0.9983
F15	-1.340	-0.642	0.178	-0.934	-1.262	3.479	235	0.9964	-1.642	3.122	0.101	0.328	0.9661
F16	-1.206	-0.528	0.138	-0.239	-1.010	3.504	256	0.9917	-1.081	44.448	0.021	-0.385	0.9945
F17	-1.363	-0.648	0.146	-0.681	-1.166	3.559	312	0.9866	-1.349	9.744	0.047	0.194	0.9998

**TOWER B-C THE PROBABILITY DISTRIBUTION FOR THE PEAK OF REGION PEAK SUCTION**

TAP	STATISTICAL OF TIME HISTORIES				GAUSSIAN PROBABILITY DISTRIBUTION				GAMMA PROBABILITY DISTRIBUTION				
	Observed	Mean	Rms	Skewness	Est.Peak	Peak factor	$N = \nu T$	PPCC	Est.Peak	Shape	Scale	Location	PPCC
F18	-1.557	-0.760	0.196	-0.401	-1.427	3.408	184	0.9898	-1.572	20.811	0.043	-0.129	0.9962
F19	-2.318	-0.939	0.380	-0.771	-2.194	3.305	130	0.9888	-2.765	4.562	0.176	0.136	0.9631
F20	-2.305	-1.092	0.293	-0.521	-2.088	3.402	180	0.9923	-2.358	14.240	0.078	-0.013	0.9997
F21	-1.305	-0.489	0.157	-1.074	-1.060	3.629	401	0.9668	-1.433	3.122	0.089	0.211	0.9988
F22	-0.916	-0.507	0.074	-0.807	-0.768	3.537	288	0.9815	-0.879	6.667	0.029	0.316	0.9997
F23	-1.044	-0.371	0.160	-0.528	-0.936	3.523	274	0.9921	-1.097	14.240	0.043	-0.235	0.9997
F24	-1.786	-0.483	0.191	-0.888	-1.154	3.517	268	0.9804	-1.439	6.538	0.074	-0.004	0.9979
G01	-1.198	-0.556	0.156	-0.845	-1.103	3.513	265	0.9965	-1.383	4.562	0.073	0.225	0.9720
G02	-1.338	-0.607	0.137	-0.220	-1.091	3.533	284	0.9968	-1.141	94.935	0.014	-0.725	0.9983
G03	-1.339	-0.467	0.206	-0.261	-1.206	3.584	341	0.9935	-1.322	44.45	0.031	-0.902	0.9963
G04	-1.082	-0.582	0.128	-0.060	-1.044	3.616	382	0.9996	-1.057	925	0.004	-3.298	0.9997
G05	-0.992	-0.605	0.095	0.019	-0.951	3.630	402	0.9990	-0.961	125	0.009	-1.670	0.9982
G06	-1.092	-0.429	0.227	0.233	-1.233	3.545	296	0.9947	-1.135	73.100	0.026	-2.361	0.9960
G07	-1.087	-0.313	0.091	-0.613	-0.648	3.700	520	0.9905	-0.734	19.118	0.021	-0.082	0.9970
G08	-1.505	-0.751	0.219	-0.114	-1.537	3.590	348	0.9983	-1.592	202.770	0.015	-2.365	0.9977
G09	-1.502	-0.466	0.253	-0.560	-1.387	3.638	414	0.9951	-1.716	9.744	0.081	-0.320	0.9824
G10	-1.485	-0.722	0.140	-0.577	-1.228	3.614	379	0.9909	-1.375	14.240	0.037	0.195	0.9980
G11	-1.693	-0.863	0.246	-0.322	-1.697	3.385	170	0.9933	-1.876	20.811	0.054	-0.253	0.9884
G12	-2.791	-1.192	0.429	-0.515	-2.683	3.472	229	0.9938	-3.181	9.744	0.137	-0.140	0.9823
G13	-3.040	-1.471	0.353	-0.535	-2.652	3.342	147	0.9909	-2.965	14.240	0.094	0.139	0.9996
G14	-1.676	-1.113	0.169	-0.146	-1.704	3.497	250	0.9991	-1.752	138.740	0.014	-0.877	0.9984

**TOWER B-C THE PROBABILITY DISTRIBUTION FOR THE PEAK OF REGION PEAK SUCTION**

TAP	STATISTICAL OF TIME HISTORIES				GAUSSIAN PROBABILITY DISTRIBUTION				GAMMA PROBABILITY DISTRIBUTION				
	Observed	Mean	Rms	Skewness	Est.Peak	Peak factor	$N = \nu T$	PPCC	Est.Peak	Shape	Scale	Location	PPCC
G15	-1.270	-0.632	0.171	-0.881	-1.227	3.486	241	0.9935	-1.587	3.122	0.096	0.332	0.9663
G16	-0.940	-0.510	0.111	-0.342	-0.905	3.577	332	0.9984	-0.982	30.414	0.020	-0.100	0.9950
G17	-1.246	-0.637	0.137	-0.425	-1.124	3.558	310	0.9936	-1.239	20.811	0.030	0.014	0.9994
G18	-1.583	-0.734	0.145	-1.082	-1.234	3.460	220	0.9726	-1.485	4.562	0.068	0.425	0.9984
G19	-2.338	-1.285	0.246	-0.539	-2.117	3.389	172	0.9905	-2.342	14.240	0.065	0.359	0.9993
G20	-2.587	-1.183	0.403	-0.437	-2.528	3.336	144	0.9941	-2.867	14.240	0.106	-0.329	0.9860
G21	-1.185	-0.566	0.157	-0.702	-1.108	3.451	213	0.9985	-1.329	6.667	0.061	0.160	0.9824
G22	-0.966	-0.412	0.069	-0.970	-0.667	3.677	477	0.9788	-0.781	6.667	0.027	0.233	0.9970
G23	-1.162	-0.407	0.139	-0.255	-0.951	3.925	1231	0.9977	-1.032	64.959	0.017	-0.710	0.9993
G24	-1.246	-0.470	0.141	-0.825	-0.967	3.539	290	0.9814	-1.177	6.667	0.054	0.108	0.9979
H01	-1.850	-0.940	0.168	-0.279	-1.573	3.768	671	0.9976	-1.682	44.448	0.025	-0.181	0.9997
H02	-1.140	-0.614	0.111	-0.224	-1.013	3.578	333	0.9975	-1.055	94.935	0.011	-0.472	0.9988
H03	-1.258	-0.648	0.133	-0.158	-1.131	3.642	421	0.9988	-1.165	202.770	0.009	-1.241	0.9995
H04	-1.056	-0.511	0.164	-0.416	-1.100	3.602	363	0.9983	-1.242	20.811	0.036	-0.233	0.9929
H05	-1.159	-0.555	0.110	-0.864	-0.941	3.511	263	0.9817	-1.103	6.667	0.043	0.272	0.9987
H06	-1.074	-0.464	0.172	0.386	-1.089	3.641	418	0.9973	-1.030	25.000	0.034	-1.321	0.9934
H07	-0.969	-0.472	0.074	-0.564	-0.741	3.624	394	0.9917	-0.821	14.240	0.020	0.191	0.9987
H08	-1.752	-0.773	0.225	-0.262	-1.592	3.647	428	0.9964	-1.726	44.448	0.034	-0.722	0.9987
H09	-1.108	-0.340	0.186	-0.852	-1.007	3.592	351	0.9931	-1.428	3.122	0.104	0.014	0.9646
H10	-1.162	-0.707	0.117	-0.275	-1.141	3.708	535	0.9998	-1.214	44.448	0.018	-0.074	0.9978
H11	-1.512	-0.791	0.148	-0.644	-1.320	3.570	324	0.9881	-1.507	9.744	0.047	0.328	0.9998

**TOWER B-C THE PROBABILITY DISTRIBUTION FOR THE PEAK OF REGION PEAK SUCTION**

TAP	STATISTICAL OF TIME HISTORIES				GAUSSIAN PROBABILITY DISTRIBUTION				GAMMA PROBABILITY DISTRIBUTION				
	Observed	Mean	Rms	Skewness	Est.Peak	Peak factor	$N = \nu T$	PPCC	Est.Peak	Shape	Scale	Location	PPCC
H12	-1.976	-1.237	0.244	-0.095	-2.091	3.499	252	0.9991	-2.128	433.080	0.012	-3.843	0.9989
H13	-2.524	-1.464	0.255	-0.421	-2.368	3.549	301	0.9950	-2.582	20.811	0.056	0.302	0.9996
H14	-1.752	-1.064	0.193	-0.298	-1.746	3.546	297	0.9990	-1.853	44.448	0.029	-0.219	0.9961
H15	-0.974	-0.510	0.084	-0.836	-0.815	3.636	411	0.9826	-0.949	6.667	0.033	0.293	0.9990
H16	-0.947	-0.521	0.107	-0.229	-0.915	3.673	471	0.9977	-0.969	64.959	0.013	-0.343	0.9993
H17	-1.173	-0.649	0.120	-0.443	-1.080	3.614	379	0.9940	-1.185	20.811	0.026	0.103	0.9997
H18	-1.576	-0.820	0.146	-0.679	-1.345	3.593	352	0.9876	-1.532	9.744	0.047	0.364	0.9998
H19	-1.944	-1.203	0.197	-0.391	-1.882	3.455	216	0.9991	-2.038	20.811	0.043	0.306	0.9944
H20	-1.737	-0.998	0.213	-0.500	-1.720	3.395	176	0.9982	-1.914	14.240	0.056	0.197	0.9901
H21	-1.236	-0.660	0.157	-0.633	-1.209	3.488	242	0.9987	-1.393	9.744	0.050	0.170	0.9868
H22	-0.839	-0.341	0.083	-0.323	-0.640	3.621	390	0.9955	-0.678	64.959	0.010	-0.323	0.9973
H23	-0.934	-0.402	0.105	-0.239	-0.786	3.644	424	0.9953	-0.826	94.935	0.011	-0.621	0.9966
H24	-0.906	-0.425	0.098	-0.692	-0.778	3.595	354	0.9854	-0.901	9.744	0.031	0.120	0.9960
I01	-1.690	-0.906	0.168	-0.318	-1.544	3.793	738	0.9966	-1.654	44.448	0.025	-0.216	0.9992
I02	-1.144	-0.683	0.123	-0.008	-1.131	3.640	417	0.9998	-1.144	925	0.004	-3.062	0.9998
I03	-1.160	-0.658	0.119	-0.111	-1.088	3.605	368	0.9992	-1.108	433.080	0.006	-1.823	0.9995
I04	-1.224	-0.678	0.174	-0.037	-1.290	3.525	276	0.9982	-1.306	925	0.006	-4.597	0.9981
I05	-1.351	-0.631	0.139	-0.592	-1.132	3.604	366	0.9895	-1.312	9.744	0.045	0.197	0.9994
I06	-1.101	-0.566	0.106	-0.505	-0.940	3.544	295	0.9899	-1.047	14.240	0.028	0.168	0.9980
I07	-1.004	-0.440	0.117	-0.714	-0.865	3.644	423	0.9863	-1.055	6.667	0.045	0.138	0.9995
I08	-2.054	-0.802	0.260	-0.671	-1.720	3.532	283	0.9870	-2.037	9.744	0.083	-0.007	0.9986

**TOWER B-C THE PROBABILITY DISTRIBUTION FOR THE PEAK OF REGION PEAK SUCTION**

TAP	STATISTICAL OF TIME HISTORIES				GAUSSIAN PROBABILITY DISTRIBUTION				GAMMA PROBABILITY DISTRIBUTION				
	Observed	Mean	Rms	Skewness	Est.Peak	Peak factor	$N = \nu T$	PPCC	Est.Peak	Shape	Scale	Location	PPCC
I09	-0.899	-0.386	0.074	-0.564	-0.663	3.737	597	0.9918	-0.732	20.811	0.016	0.050	0.9981
I10	-0.792	-0.456	0.073	-0.417	-0.732	3.755	638	0.9952	-0.802	20.811	0.016	0.121	0.9999
I11	-1.222	-0.780	0.106	-0.318	-1.173	3.703	526	0.9969	-1.239	44.448	0.016	0.073	0.9998
I12	-2.119	-1.246	0.272	-0.110	-2.193	3.484	239	0.9982	-2.255	202.77	0.019	-2.620	0.9977
I13	-2.033	-1.285	0.203	-0.357	-2.002	3.533	284	0.9989	-2.139	30.414	0.037	0.167	0.9950
I14	-1.374	-0.768	0.139	-0.676	-1.279	3.681	485	0.9991	-1.508	6.667	0.054	0.410	0.9859
I15	-0.970	-0.445	0.105	-0.700	-0.831	3.689	499	0.9867	-0.974	9.7435	0.034	0.119	0.9997
I16	-1.043	-0.509	0.083	-0.633	-0.818	3.704	528	0.9898	-0.910	14.24	0.022	0.196	0.9988
I17	-1.120	-0.605	0.112	-0.448	-1.022	3.707	534	0.9945	-1.126	20.811	0.025	0.093	0.9998
I18	-1.256	-0.749	0.152	0.119	-1.281	3.4956	249	0.9980	-1.234	125	0.014	-2.448	0.9983
I19	-1.976	-1.210	0.203	-0.341	-1.939	3.5842	341	0.9989	-2.081	30.414	0.037	0.089	0.9950
I20	-2.096	-1.102	0.219	-0.506	-1.861	3.4601	220	0.9926	-2.073	14.240	0.058	0.274	0.9998
I21	-1.007	-0.528	0.109	-0.830	-0.906	3.4875	242	0.9795	-1.101	4.562	0.051	0.296	0.9987
I22	-0.719	-0.344	0.053	-0.923	-0.539	3.6719	469	0.9807	-0.625	6.667	0.020	0.207	0.9970
I23	-0.987	-0.402	0.099	-0.430	-0.763	3.666	459	0.9929	-0.835	30.414	0.018	-0.140	0.9964
I24	-0.940	-0.387	0.081	-0.914	-0.684	3.6457	426	0.9764	-0.811	6.667	0.031	0.179	0.9895